

Terrengkalking i Gjerstad, Aust-Agder Effekter på skogsvegetasjon og sopp

Tor Erik Brandrud
Vegar Bakkestuen
Egil Bendiksen
Odd Eilertsen
Per Arild Aarrestad



LAGSPILL



ENTUSIASME



INTEGRITET



KVALITET

NINA Norsk institutt for naturforskning

Terrengkalking i Gjerstad, Aust-Agder Effekter på skogsvegetasjon og sopp

Tor Erik Brandrud
Vegar Bakkestuen
Egil Bendiksen
Odd Eilertsen
Per Arild Arrestad

NINAs publikasjoner

NINA utgir følgende faste publikasjoner:

NINA Fagrapp

Her publiseres resultater av NINAs eget forskningsarbeid, problemoversikter, kartlegging av kunnskapsnivået innen et emne, og litteraturstudier. Rapporter utgis også som et alternativ eller et supplement til internasjonal publisering, der tidsaspekt, materialets art, målgruppe m.m. gjør dette nødvendig.

NINA Oppdragsmelding

Dette er det minimum av rapportering som NINA gir til oppdragsgiver etter fullført forsknings- eller utredningsprosjekt. I tillegg til de emner som dekkes av fagrappene, vil oppdragsmeldingene også omfatte befaringsrapporter, seminar- og konferanseforedrag, års-rapporter fra overvåkningsprogrammer, o.a.

NINA Project Report

Serien presenterer resultater fra begge instituttene sine prosjekter når resultatene må gjøres tilgjengelig på engelsk. Serien omfatter original egenforskning, litteraturstudier, analyser av spesielle problemer eller tema, etc.

NINA Temahefte

Disse behandler spesielle tema og utarbeides etter behov bl.a. for å informere om viktige problemstillinger i samfunnet. Målgruppen er "allmennheten" eller særskilte grupper, f.eks. landbruket, fylkesmennenes miljøvern-avdelinger, turist- og friluftlivskretser o.l. De gis derfor en mer populærfaglig form og med mer bruk av illustrasjoner enn ovennevnte publikasjoner.

Fakta-ark

Hensikten med disse er å gjøre de viktigste resultatene av NINAs faglige virksomhet, og som er publisert andre steder, tilgjengelig for et større publikum (presse, ideelle organisasjoner, naturforvaltningen på ulike nivåer, politikere og interesserte enkeltpersoner).

I tillegg publiserer NINA -ansatte sine forskningsresultater i internasjonale vitenskapelige journaler, gjennom populær-faglige tidsskrifter og aviser.

Tilgjengelighet: åpen

Prosjekt nr.: 15412

Ansvarlig signatur:

Brandrud, T.E., Bakkestuen, V., Bendiksen, E., Eilertsen, O. & Arrestad, P.A. 2003. Terregenkalking i Gjerstad, Aust-Agder. Effekter på skogsvegetasjon og sopp. – NINA Fagrapp 75. 79pp.

Oslo, desember 2003

ISSN 0805-469x

ISBN 82-426-1442-3

Rettighetshaver:

Norsk institutt for naturforskning (NINA)

Publikasjonen kan siteres fritt med kildeangivelse

Ansvarlig kvalitetssikrer:

Erik Framstad

NINA,

Design og layout:

Kari Svertsen, NINA

Kopiering: Norservice

Opplag: 125

Kontaktadresse:

NINA

Tungasletta 2

7485 Trondheim

Telefon: 73 80 14 00

<http://www.nina.no>

Oppdragsgiver:

Direktoratet for naturforvaltning, DN

Referat

Brandrud, T.E., Bakkestuen, V., Bendiksen, E., Eilertsen, O. & Aarrestad, P.A. 2003. Terregenkalking i Gjerstad, Aust-Agder. Effekter på skogsvegetasjon og sopp. – NINA Fagrappor 75. 79pp.

Det er med få unntak registrert små vegetasjonsendringer i gran- og furuskog i Gjerstad som følge av terregenkalking med lavdose grovdolomit (3 tonn/ha). Disse ser ut til å være mindre enn endringene/fluktuasjonene som forårsakes av klima-endringer/variasjoner. Hvis man aksepterer små endringer og små, reversible skader som innenfor akseptable tålegrenser, så er tålegrensene for kalkdose ikke overskredet i dette forsøket, med mulig unntak for mykorrhizasopp-floraen.

Karplante- mose- og lavvegetasjonens sammensetning og dominansforhold har endret seg lite de fem første årene etter kalking. Det har riktignok skjedd en økning av en del mosearter fra 1994 til 1999, men denne økningen er påtagelig også i referansefeltet, og skyldes trolig klimavariasjoner/klimaendringer.

Det ble registrert noe akutte sviskader på mose og lav rett etter kalking. Skadene var særlig påtagelige på torvmoser og enkelte store, eksponerte levermoser, alle med liten dekningsgrad. Basert på forekomster i rutene, var disse skadene restituert etter 5 år. Delvis skyldes nok den raske restitueringssafsen det generelt gunstige (fuktige) klimaet for mosevekst i undersøkelsesperioden.

Sannsynligvis er dette et av meget få kalkingsforsøk der man har kunnet dokumentere mer eller mindre restituering ("recovery") av sviskader på så kort tid.

Indirekte gjødslingseffekter (eutrofieringseffekter) er knapt påvisbare i vegetasjonen, muligens med unntak av en relativt sett økning av "lågurtskogs-arter" i kalkingsfeltet de to første årene, noe som kan skyldes en akutt elektrolytt/næringspuls knyttet til en liten, lettloselig fraksjon av grov-dolomitten.

Soppfloraen er den eneste komponenten som viser klare og økende endringer etter kalking. Fruktlegeme-produksjonen av

mykorrhizasopp var betydelig redusert i kalkingsfeltet i f. t. referansefeltet, og endringen var størst i antatt nitrogen-sensitive grupper som slørsopp (*Cortinarius*) med 90% relativ nedgang i produksjonen. Reduksjonen var mest markert etter 6 år. Det er uklart i hvor stor grad en kraftig reduksjon i fruktlegemeddannelsen medfører svekkelse i selve sopp-individene nede i bakken på kort sikt, men det er sannsynlig at en langvarig inhibering vil medføre tilbakegang og tap av mangfold.

Nedgangen i fruktlegeme-produksjonen tolkes som en indirekte eutrofieringsrespons og kan indikere at det har skjedd en mineralisering der nitratet blir fanget opp i røttene og bare i meget liten grad synes som forhøyede nitrat-verdier i jordvann eller avrenningsvann. Tilbakegangen er kun knyttet til fattige skogtyper med råhumus, mens brunjordstypene (med andre arter og et helt annet nitrogen-regime) er uforandret.

Hvis hypotesen om en eutrofieringsrespons hos mykorrhizasoppene er riktig, kan man også muligens forvente en mer langsiglig eutrofieringsresponses hos karplantene, en respons som i så fall ennå ikke er fanget opp i undersøkelsen.

Terregenkalkingsprosjektet i Gjerstad indikerer at ikke-torvmoserike skogtyper som er dominerende i store deler av for eksempel Aust-Agder og Telemark tåler relativt godt kalking med grovdolomit. Grovdolomit ser ut til å være langt mer skånsom når det gjelder sviskader enn kalksteinsmel. Det synes å være mulig å kalke disse skogtypene med tilstrekkelig kalkdose for langvarig avsyring uten større skader på vegetasjonen. Langvarig, skadelig effekt på og tålegrenser for mykorrhizasopp i råhumus må derimot ansees som uavklart i disse skogtypene.

Emneord: terregenkalking – effektstudier – tålegrenser - sviskader – restituering - skogvegetasjon – mykorrhizasopp

Tor Erik Brandrud, Vegar Bakkestuen og Egil Bendiksen, NINA Postboks 736 Sentrum, 0105 Oslo
Odd Eilertsen, NIJOS, Postboks 115, 1430 Ås
Per Arild Aarrestad, NINA, Tungasletta 2, 7005 Trondheim

Abstract

Brandrød, T.E., Bakkestuen, V., Bendiksen, E., Eilertsen, O. & Aarrestad, P.A. 2003. Whole-catchment liming at Gjerstad, Aust-Agder. Effects on forest vegetation and fungus flora. – NINA Fagrapport 75. 79pp.

Effects of liming with a low dose of coarse dolomite powder (3 tons per hectare) are studied in spruce- and pine forests at Gjerstad, SE Norway. With few exceptions small changes in the vegetation of vascular plants, bryophytes and lichens are recorded. These changes seem to be smaller than the changes/fluctuations caused by climate changes/variations, such as an growth increase in a number of bryophyte species (seen also in reference plots). If small changes and small, reversible damages are regarded to be within acceptable critical limits, the critical loads with respect to lime dose are not exceeded for terrestrial vegetation in this experiment, with the possible exception of the mycorrhizal fungus flora.

Some short-term contact-damage were seen in bryophyte and lichen species. The damage were most substantial in forest floor or peat mosses (*Sphagnum* spp.) and some large, exposed liverwort species. According to the data from the analysed plots, the most sensitive species had recovered from these injuries after 5 years. The quick recovery phase seems partly to be due to the generally favourable (moist) climate for bryophyte growth during the investigation period.

The catchment liming experiment at Gjerstad seems to be one of very few in which a such short-term recovery after treatment has been documented, and the liming must be regarded to be within critical limits for the biota of the studied forest types.

Indirect nutrition effects (eutrophication effects) were hardly observable in the vegetation, possibly with the exception of a slight relative increase in "low-herb forest species" in the limed site the two first years. This increase might be due to a short-term electrolyte pulse from a small, instantly dissolved fraction of the coarse dolomite.

The fungus flora is the sole terrestrial component showing distinct and increasing changes after liming. The fruit-body production of mycorrhizal fungi became substantially reduced in the limed plots relative to the reference ones. The decrease was most pronounced in the supposed nitrogen-sensitive groups such as members of the large genus *Cortinarius*, which almost ceased to produce fruit-bodies 6 years after liming (90% relative decrease). It is not clear whether the strong reduction in fruit-body formation might lead to a corresponding short-term decrease in the growth of the fungus mycelium below-ground. It seems probable, however, that a long-term inhibition of fruit-body production will lead to decrease in fungal individuals and finally a loss of biodiversity.

The decrease in fruit-body production is interpreted as an indirect response to eutrophication, and might indicate an in-

creased nitrogen mineralization with the nitrate being captured by the roots, and only to a very little extent leaking to soil- or runoff water. The decline in production is seen only in the poor, raw humus forest types, whereas the richer brown earth soil types (with other species and a quite different nitrogen regime) are unchanged.

If the hypothesis on an eutrophication response of the mycorrhizal fungi is correct, one can possibly expect a long-term eutrophication response of the vascular plants as well. However, a such response is so far not reflected in the data.

The catchment liming project at Gjerstad indicates that non-*Sphagnum*-rich forest types dominating in Aust-Agder and Telemark are little affected by liming with coarse-grained dolomite. Coarse-grained dolomite appears to much less harmful with regard to contact-damages than limestone powder. It seems to be possible to lime these forest types with sufficient lime-dose for a long-term buffer-effect of acid surface waters without extensive damages to the terrestrial vegetation. The data might, however, indicate some long-term, negative effects and critical loads of mycorrhizal fungi in raw humus in these forest types.

Key words: catchment liming – effect studies – critical limits – contact damages – recovery – forest vegetation – mycorrhizal fungi

Tor Erik Brandrud, Vegar Bakkestuen og Egil Bendiksen, NINA Postboks 736 Sentrum, 0105 Oslo
 Odd Eilertsen, NIJOS, Postboks 115, 1430 Ås
 Per Arild Aarrestad, NINA, Tungasletta 2, 7005 Trondheim

Innhold

| | |
|--|-----------|
| Referat | 3 |
| Abstract | 4 |
| Forord | 5 |
| 1 Innledning | 6 |
| 1.1 Kalkingsprosjektet i Gjerstad | 6 |
| 2 Materiale og metoder | 7 |
| 2.1 Områdebeskrivelse | 7 |
| 2.2 Kalkingen | 7 |
| 2.3 Vegetasjonsundersøkelser (karplanter, moser og lav) | 7 |
| 2.3.1 Ruteanalyser | 7 |
| 2.3.2 Nomenklatur | 7 |
| 2.3.3 Miljøparametres | 7 |
| 2.3.4 Numerisk behandling | 8 |
| 2.4 Soppundersøkelser | 8 |
| 3 Basisundersøkelsen: Vegetasjonstyper, floristisk variasjon og viktige miljøparametres | 9 |
| 3.1 Jordsmønnstyper og nærings- og forsuringssstatus | 9 |
| 3.2 Ordinasjon av 1994-data med miljøvariabler | 10 |
| 3.3 Vegetasjonstyper og artsmangfold | 11 |
| 3.3.1 Røsslyng-lavfuruskog | 11 |
| 3.3.2 Blåbærgran(furu)skog | 11 |
| 3.3.3 Fuktig småbregnegranskog-fattig sumpskog | 11 |
| 3.3.4 Rik (sesong)fuktig lågurtgranskog-rik sumpskog | 12 |
| 4 Vegetasjonsutvikling 1994-99 | 12 |
| 4.1 Ordinasjon: Endringer i analyserutenes artssammensetning | 12 |
| 4.1.1 Referanseområdet | 12 |
| 4.1.2 Kalkingsområdet | 15 |
| 4.1.3 Endringer i artsmangfold | 15 |
| 4.2 Endringer i enkeltarters mengde | 15 |
| 4.2.1 Viktigste forskjeller mellom kalkings- og referanse område (mulige kalkingseffekter) | 16 |
| 4.2.2 Tidsutvikling 1994-99 for karplanter | 16 |
| 4.2.3 Tidsutvikling 1994-99 for moser og lav | 16 |
| 5 Vurdering av vegetasjonsutvikling og kalkings-effekter i Gjerstad 1994-99 | 20 |
| 5.1 Vurdering av mulige kalkingseffekter | 20 |
| 5.1.1 Skader og straks-effekter; omfang og reversibilitet | 20 |
| 5.1.2 Mulige indirekte kalkingseffekter 1994-99 | 21 |
| 5.2 Referanseområdet Mulige klimarelaterte endringer | 23 |
| 6 Endringer i soppfloraen 1994-2000 | 24 |
| 6.1 Mykorrhizasopp | 24 |
| 6.1.1 Forskjeller mellom kalkings- og referanseområdet | 24 |
| 6.1.2 Utvikling i de enkelte vegetasjonstyper | 27 |
| 6.1.3 Røddistearter og andre sjeldne arter | 27 |
| 6.2 Saprofytter | 28 |
| 6.3 Vurdering av kalkingseffekter | 28 |
| 6.3.1 Mykorrhizasopp | 28 |
| 6.3.2 Saprofytter | 30 |
| 6.3.3 Usikkerheter i materialet | 30 |
| 7 Sammenfattende diskusjon | 31 |
| 7.1 Hovedeffekter av kalking i Gjerstad | 31 |
| 7.1.1 Effekter på sjeldne og røddistede arter | 31 |
| 7.1.2 Vurdering i f. t. svenske undersøkelser | 32 |
| 7.1.3 Kunnskapsbehov og videre bruk av Gjerstad-feltene | 32 |
| 8 Sammendrag | 33 |
| 9 Summary | 34 |
| 10 Litteratur | 35 |
| Vedlegg | 37 |

Forord

Skogkalkingsprosjektet i Gjerstad inngår i Direktoratet for naturforvaltning sitt terregenkalkingsprosjekt (jfr. bl.a. DN 2001a,b, 2003), og fram til 1998 inngikk dette også i FoU-programmet Miljøtiltak i skog (jfr. Nilsen 1998).

I terregenkalkingsprosjektet er utført storskala forsøkskalking med lavdose grovdolomit i nedbørfelt i Gjerstad, Suldal og Flekke-Guddal. Prosjektet omfatter undersøkelser av nedbørkjemi (NILU), vannkjemi (NIVA), skogtilvekst (Skogforsk) og terrestrisk vegetasjon (NINA) (jfr. bl.a. Hindar et al. 1999, DN 2001a,b, 2003). Prosjektet i Gjerstad var det første som ble igangsatt i terregenkalkingsprogrammet, med forundersøkelser og kalking i 1994.

Selv om det fortsatt kan være ønskelig å følge opp feltene med enkelte registreringer, er den første intensive FoU-fasen avsluttet, og den foreliggende publisering representerer sluttrapporten for vegetasjonsundersøkelsene i Gjerstad.

Prosjektledere for NINAs del av Gjerstad-prosjektet har vært Odd Eilertsen (1994-1999) og Tor Erik Brandrud (1999-2003). Feltarbeid med vegetasjonsanalyser er utført av overnevnte, samt Per Arild Arrestad og Vegar Bakkestuen, mens soppanalyser er utført av Egil Bendiksen. Databearbeiding er i hovedsak utført av Vegar Bakkestuen, mens alle de overnevnte har bidratt til utarbeidelse av rapporten. Anders Often, Odd Stabbetorp og Bodil Willman, alle fra NINA, har bistått med innlegging av data, og sistnevnte også med drifting av den botaniske databasen. Erik Framstad, NINA, har lest korrektur og kommet med innspill i rapporteringsfasen.

Oppdragsgiver har vært Direktoratet for naturforvaltning ved Roy Langåker, som takkes for godt samarbeid underveis. NINA har også bidratt med egenfinansiering i prosjektet.

Tor Erik Brandrud
Oslo, desember 2003

1 Innledning

Sør-Norge har de seinere tiårene vært utsatt for betydelige forsuringsskader pga. langtransportert forurensning. Forsuringen har særlig rammet vann- og vassdrag på Sør- og Vestlandet, der bufferkapasiteten i overflatevann er meget lav pga. særlig lavt kalkinnhold i berggrunn og løsmasser (jfr. DN 2001a,b, 2003). Selv om syredepositjonen er nærmere halvert de siste 10 årene og mange forekomster har hatt en forbedring i vannkvalitet og organismesamfunn ("naturlig recovery"), er fortsatt mange vassdrag kronisk sure eller rammet av periodiske surstøt.

Kalking er det viktigste mottiltaket som benyttes mot forsuringsskader i ferskvann. Det har imidlertid vist seg at de vanligst benyttede kalkingsmetodene med direkte kalking i vassdrag har en del begrensninger; kort og usikker varighet, og dårlig evne til å bøfne kraftige forsuringsepisoder ved flom og såkalte sjøsalte episoder (jfr. Hindar et al. 1999, DN 2001a,b, 2003). I denne sammenheng framtrer terregenkalking som et mulig egnet alternativ til mer stabil og (lang)varig avsyring og avgifting av forsuringsskadete vannforekomster. Erfaringer fra tidlige forsøk med terregenkalking i Tjønnstrond i Telemark (kalket 1983) og Røyneland i Aust-Agder (kalket 1990) viste at potensialet for en varig, god vannkvalitet var tilstede (jfr. DN 2001).

Terregenkalking har imidlertid i en del tilfeller vist seg å gi store skader på terrestrisk vegetasjon, og dette var også tilfelle i de to ovennevnte, første norske forsøkskalkingene (Høiland & Pedersen 1994, jfr. også svenske undersøkelser; Staaf et al. 1996, Rafstedt 1993, 2000, Pleijel et al. 2001). En registrering av vegetasjonsendringer og eventuelle skader har derfor vært prioritert i de norske terregenkalkingsprosjektene.

Målsettingen med terregenkalkingsprogrammet er primært å undersøke mulighetene for terregenkalking som en effektiv og langvarig avsyringsmetode av overflatevann, spesielt i situasjoner der det er vanskelig å få til en stabil, god vannkvalitet ved tradisjonell vassdragskalking (jfr. DN 2001). Videre har det, med utgangspunkt i Miljøtiltak i skog-programmet, vært en målsetting å se spesielt på effekter av terregenkalking i produktiv skog (og ikke myr/våmark), og dette er spesielt fokusert i Gjerstad-prosjektet. Dessuten er det en målsetting å komme fram til en kalkingsstrategi som minimaliserer skader på terrestrisk vegetasjon.

I tråd med dette er de viktigste, spesifikke målsettingene for NINAs del av prosjektet (dvs. vegetasjonsundersøkelsene) følgende:

- undersøke hvorvidt terregenkalking fører til endringer i vegetasjonens artssammensetning og artsmengder, herunder:
- registrere initial-skader og restitueringstid ("recovery")
- registrere mer langsiktige eutrofieringseffekter
- vurdere tålegrenser for ulike plantegrupper og skogtyper

Disse målsettingene gjelder for Gjerstad-prosjektet så vel som for de andre terregenkalkingsprosjektene. For å oppnå disse

målsettingene er det gjennomført en omfattende, vegetasjons-økologisk tidsserie-studie, etter tilsvarende metodikk som benyttes i de andre terregenkalkingsprosjektene, samt i andre effekt-studier og overvåkingsprogram.

Denne rapporten representerer en sammenstilling og analyse av vegetasjonsendringene 1994-1999, dvs. fra før terregenkalking til 5 år etter kalking. For soppvegetasjonen inkluderer rapporten data for tidsrommet 1994-2000.

1.1 Kalkingsprosjektet i Gjerstad

I terregenkalkingsprosjektet i Gjerstad har det vært benyttet en lav dose med dolomittkalk (ca. 2,9 tonn/ha) som ble sprengt over et skogkledd nedbørfelt (jfr. Hindar et al. 1999). Til tross for lav dose har det vist seg at kalkingen har hatt en vedvarende effekt på avrenningsvannet, med betydelig reduksjon av giftig, labilt aluminium (Hindar et al. 1999). Empiriske data samt modellering, indikerer at kalkingeffekten med tilfredstillende vannkvalitet for fisk og andre ferskvannsorganismer vil vare ved i mer enn 50 år i Gjerstad (DN 2001a,b).

Årsrapportene fra vegetasjonsundersøkelsene de første årene etter kalking (Eilertsen et al. 1996, 1997, 1998), indikerer at endringene i den terrestriske vegetasjonen av denne grovdolomitt-kalkingen er små.

Man kan dermed ane konturene av en slags "ideal-situasjon", der man ved lavdose terregenkalking kan oppnå en stabil og varig avsyring av overflatevann, samtidig som det ser ut til at man kan unngå skader og tålegrenseoverskridelser på terrestrisk vegetasjon. Det er de sistnevnte aspektene som er nærmere presentert og vurdert i denne sluttrapporten.

2 Materiale og metoder

2.1 Områdebeskrivelse

Forsøksområdet i Gjerstad ligger ved Ulltveit i Gjerstad kommune, sør for Gjerstadvann, og er et variert gran- og furuskogsområde med kronisk, langvarig forsuret overflatevann. Nærmere områdebeskrivelse er gitt bl.a. i Hindar et al. (1999), og de undersøkte skogtypene er nærmere omhandlet i kap. 3.3.

2.2 Kalkingen

Kalkingen ble foretatt med helikopter 20-22 september 1994. Tiltaks-nedbørfeltet (Fugliåsen) ble kalket med 240 tonn grovdolomit (0,2-2 mm korn, finfraksjon < 0,2 mm kun 5%). Dosen tilsvarer ca. 2,9 tonn/ha. Vegetasjonsanalyserutene var da tildekket, og de ble seinere (14. oktober) håndkalket for å få en nøyaktig dosering (3 tonn/ha).

2.3 Vegetasjonsundersøkelser (karplanter, moser og lav)

Metodikken som er benyttet er den samme som benyttes i alle terregenkalkingsprosjektene (jfr. bl.a. Arrestad & Bakkestuen 2001, Arrestad et al. 2003). Denne metodikken følger NINAs, NIJOS' og UIOs konsept for vegetasjonsøkologiske tidsserieundersøkelser, herunder "Program for terrestrisk naturovervåking" – TOV (jfr. bl.a. Økland & Eilertsen 1993, 1996, Økland et al. 2001; se også metodemanual i Lawesson et al. 2000). Nærmere beskrivelse av lokaliseringen til de ulike botaniske feltene og analyserutene er gitt i Eilertsen et al. (1996, 1997, 1998).

2.3.1 Ruteanalyser

Det er foretatt vegetasjonsanalyser i 1994 (rett før kalking), 1995, 1996 og 1999. Analysene er i alle år foretatt i slutten av juli.

Ti analysefelter (storruter 5x10m) bestående av fem analyse-ruter (1x1m) er lagt ut både i tiltaksområdet (kalkingsområdet; Fugliåsen) og i referanseområdet (Spjøtåsen) i tilsvarende vegetasjonsutforminger. Begrepet "analysefelt" er brukt endel i de tidligere vegetasjonsrapportene. Dette kan imidlertid forveksles med begrep som "kalkingsfelt" og "referansefelt" som har vært brukt om hele de undersøkte nedbørfeltene (jfr. bl.a. DN 2001). Derfor er her begrepet "analysefelt" vanligvis forsøkt erstattet med "storrute".

Rutene er lagt ut og inndelt etter standard "TOV-metodikk" (se referanser ovenfor). Innen hver storrute er det ved tilfeldig utvalg trukket ut fem 1 m² analyseruter som her betegnes "mesoruter". Hver mesorute er inndelt i 16 småruter. Storrutene er lagt ut slik at de fanger opp alle de viktigste skogtypene innenfor undersøkelsesområdet (se skogtype-beskrivelser i kap. 4.3).

Vegetasjonsrutene er undersøkt ved hjelp av en analyseramme på 1 m² som er delt i 4 x 4 småruter. I hver av de 1/16 m² store smårutene er forekomst/fravær av alle arter av karplanter, moser og lav registrert. Disse registreringene danner grunnlag for utregning av artenes smårutefrekvens, som nyttes som mengdeangivelse for hver art i analyseruta. I tillegg er det i hver analyserute angitt prosent dekning av hver art. Eventuelle skader på vegetasjon ble registrert, og alle analyserutene er fotografert med 28 mm objektiv.

Hver av de 100 analyserutene ble i 1994 markert med pinner i to hjørner og aluminiumsrør i hvert hjørne. Under feltarbeidet i 1999 ble pinnene supplert med trepåler som ble satt ned i nederste venstre hjørne av hver analyserute. Alle analyserutene er blitt gjenfunnet under feltarbeidene, og enkelte manglende aluminiumsrør er supplert etterhvert.

2.3.2 Nomenklatur

Nomenklaturen følger Elven et al. (1994) for karplanter, Corley et al. (1981) for levermoser, Smith (1990) for bladmoser og Krog et al. (1994) for lav.

2.3.3 Miljøparametre

Det ble tatt humusprøver både i 1994 før kalking og i 1995. I tillegg er det foretatt enkelte økologiske målinger som jorddybde, helning og konkavitet i tilknytning til rutene. Oppsummering av de økologiske målingene er gitt i Eilertsen m fl. (1996, 1998).

Jordundersøkelsene omfatter analyser av humusprøver tatt i forbindelse med vegetasjonsanalyseflatene. De følger således vegetasjonsgradientene, og de kan benyttes til å studere variasjonen av jordparametere over tid i forskjellige vegetasjonsutforminger. Prøvene ble tatt med flere mindre stikk noen cm utenfor rutene, slik at de ikke skadet vegetasjonen i rutene. Stikkene med humus ble slått sammen til én prøve. Humusprøver for 1994 og 1995 er analysert av Skogforsk (NISK) etter standard prosedyrer (Ogner et al. 1999). Det ble også gjort innsamlinger av humusprøver i 1996 og 1999. Disse er tørket og lagret for eventuelle analyser på senere tidspunkt. Resultatene er sammenlignbare med jordparametrene fra andre kalkingsområder som Suldal og Flekke-Guddal (jfr. Arrestad et al. 2003), med andre TOV-områder (Økland & Eilertsen 1993, 1996) og overvåkningsflatene til NIJOS i boreal barskog (Økland 1999).

Følgende kjemiske parametere ble målt: pH, glødetap (GLTAP), ekstrahert P (E1P), NH₄NO₃-utbyttbart kationer; H, K, Mg, Ca, Na, Mn og Al, samt en rekke tungmetaller som Fe, Pb, Sr og Zn, samt utbyttbart P og S. Totalkonsentrasjoner av mange av de samme elementene ble også bestemt.

2.3.4 Numerisk behandling

Ordinasjon

Det er foretatt DCA-ordinasjon av vegetasjonsdataene ved hjelp av programpakken CANOCO (ter Braak & Smilauer 1998). Ved bearbeidingen av reanalysene i 1999, ble analyserutene for både 1994, 1995 og 1996 slått sammen til et felles datasett. Det er dette datasettet som er utgangspunkt for en DCA-ordinasjon hvor hovedhensikten er å se om det har skjedd endringer i vegetasjonssammensetningen langs hovedgradientene i materialet. Ettersom man bruker alle datasettene (1994 til 1999) aktivt i ordinasjonen, må hovedstrukturene langs ordinasjonsaksene tolkes på nytt hvis det har skjedd store forandringer i selve analysrutenes plassering langs de ulike aksene. Hvis den overordnede strukturen er bevart i ordinasjonsdiagrammet, kan tolkningen av ordinasjonen som ble gjort i 1994 (Eilertsen et al. 1996, 1997, 1998), også i år legges til grunn når eventuelle endringer langs de ulike aksene skal tolkes.

Det ble benyttet detrending med segmenter og ikke-lineær reskalering av ordinasjonsaksene, for å hindre negativ bue-effekt og kant-effekt. Aksene blir da skalert i såkalte standardavvik-enheter (SD-enheter). Disse SD-enheterne framkommer ved beregning av gjennomsnittlig standardavvik for alle artene i materialet, gitt tilnærmet normalfordelt artsrespons. En art vil stort sett komme inn, nå sitt optimum og forsvinne i løpet av 4 SD-enheter. Ordinasjonsaksenes lengde kan således tolkes som et mål på hvor stor endring av artssammensetning som skjer langs gradientene. Videre vil avstanden mellom rutesentroidenes posisjoner i ordinasjonsdiagrammet angi grad av ulikhet mellom rutene, på samme måte som avstanden mellom artssentroidenes posisjoner vil beskrive ulikheten mellom artene.

To datasett ble benyttet i DCA-analysene:

- frekvens-datasettet på 100 ruter der artsmengder ble angitt med smårutefrekvens-verdier, og
- prosent-datasett på 100 ruter der artsmengder ble angitt med prosent deknings-verdier.

Endringer i artssammensetning 1994-1999

Registreringene 1994-1999 i mesorutene ble analysert sammen ved hjelp av DCA-ordinasjon. I denne ble hver rute behandlet som fire separate analyseenheter; basert på registreringene i h.h.v. 1994, 1995, 1996 og 2001. Hver enkelt rutes endring i ordinasjonsscore er benyttet som mål på grad av endring av vegetasjonen. Endringen ble vurdert ved hjelp av en tosidig Wilcoxon ettutvalgstest hvor nullhypotesen er at median forflytning av rutene er lik null. Det ble kjørt DCA-ordinasjonsanalyser for både frekvens- og prosentdataene. Endringene mellom enkelrutenes posisjon ble utregnet og visualisert i diagrammet som en enkelt strek som starter i analyserutas posisjon i 1994.

Skalering og veiing av vegetasjonsdata

Skalaen for artenes mengdeangivelse har i utgangspunktet rekkevidde $r = 16$ for smårutefrekvens-datasettet og $r = 100$ for dekningsgrads-datasettet. Dette gir en vesentlig forskjellig vektlegging av dominanter i de to datasettene. Da ordinasjonsre-

sultater varierer med skalarekkevidder, har vi derfor valgt å sette $r = 16$ for begge datasettene, noe som gir en moderat vektlegging av dominanter (Økland 1986). Redusjon av rekkevidden på prosentdeknings-datasettet er utført ved hjelp av følgende formel (van der Maarel 1979, Clymo 1980);

$$y_{ij} = a \cdot x_{ij}^w$$

der x_{ij} er de opprinnelige og y_{ij} er de veide verdiene av art i i analyserute j , a er en rekkevidde-skalar og w en veieparameter. w framkommer ved å dividere \ln til den nye rekkevidden med \ln til den opprinnelige. For prosentdekning-datasettet blir dermed $w = \ln 16 / \ln 100 = 0.6$.

Arter med lav frekvens i totalmaterialet kan bidra til støy eller opptre som avvikere (outliers) i ordinasjonen, fordi de kan representere tilfeldige forekomster som gir liten informasjon om de økologiske forholdene i ruta. En vanlig måte å redusere støyen på er å fjerne disse artene. Problemet er at en da også reduserer noe av strukturen i materialet, ved at lavfrekvente arter med økologisk informasjon elimineres. En måte å beholde alle artene på, men samtidig å redusere betydningen av lavfrekvente arter, er å foreta nedveiing av disse. Vi har nedveiet alle arter som har under median frekvens med formelen (jf. Pedersen 1988)

$$v_i' = (F_i/F_m)^n \cdot v_i$$

der v_i' er den nye og v_i dens opprinnelige verdien til art i , F_i er artens frekvens (på mesorutenivå), F_m er medianfrekvensen i materialet, og n er en positiv skalar som bestemmer graden av nedveiing av lavfrekvente arter. I TOV-sammenheng har vi valgt $n = 1$. Nedveiing er foretatt ved hjelp av programpakken BDP, Biological Data Program/PC (Pedersen 1988).

Kjemiske miljøparametre ble levert fra Skogforsks laboratorium på standard regnearkformat. De ble importert til statistikkpakken SPSS (SPSS 1999) for korrelasjonsanalyser med ordinasjonsresultatene.

Analyse av endringer i artsmengder 1994-1999: I de ulike statistiske testene er det fokusert på endringer i forhold til 1994 (før kalking), dvs. for perioden 1994-1995, 1994-1996 og 1994-1999 hvis annet ikke er nevnt. Hvorvidt endringer i arters smårutefrekvens og prosent dekning i disse periodene var statistisk signifikante, ble testet ved tosidig Wilcoxon ettutvalgstest (jf. Sokal & Rohlf 1995). Nullhypotesen i denne testen er at artens mediane smårutefrekvens ikke er endret. Wilcoxon-testene ble utført i SPSS (SPSS 1999).

Test av hvorvidt antall arter med signifikant mengdeendring i et område var større enn det forventede antallet innen en gitt tidsperiodene, ble gjort ved hjelp av ensidig G-test (jf. Sokal & Rohlf 1995). Kun arter som hadde hatt endringer i 5 eller flere ruter ble inkludert i testen.

2.4 Soppundersøkelser

Det ble foretatt analyse av soppvegetasjonen (fruktlegemeregistrering) etter tilsvarende metodikk som for den grønne vegetasjonen. Ruteanalyser av jordboende sopp, både mykorrhizi-

zasopp og saprofyter (strønedbrytere) ble foretatt i 1994, 1995 og 1996. I år 2000 ble det foretatt en re-analyse av bare mykorrhizasopp, da denne gruppen er antatt å være mest følsom overfor kalkning. Rutene har blitt registrert tre ganger i løpet av den optimale soppesongen i perioden ultimo august – medio oktober.

Hver av analyserutene for grønn vegetasjon (mesorute) er sentralrute i en 3×3 m sopp-analyserute (mesorute). Som kvantitativt mål på fruktlegeme-forekomst er benyttet smårutefrekvens (forekomst/fravær av fruktlegemer i hver 1 m^2 smårute i løpet av soppesongen). Grunnlaget for vurdering av kvantitative endringer er gitt ved bl.a sammenlikning mellom år for summen av artsforekomster i småruter. For hvert av storrutene med 5 mesoruter med 9 småruter vil således verdien kunne variere fra 0 til 45. I motsetning til de tidligere årene er det i 2000 også talt opp antall fruktlegemer, som vil kunne være basis for eventuell seinere oppfølging.

Grunnet relativt dårlige soppesonger (bortsett fra år 2000), og få arter pr. analyserute, har det ikke vært grunnlag for multivariat analyse av soppdataene.

Nomenklaturen følger "Nordic Macromycetes" (Hansen & Knudsen 1992).

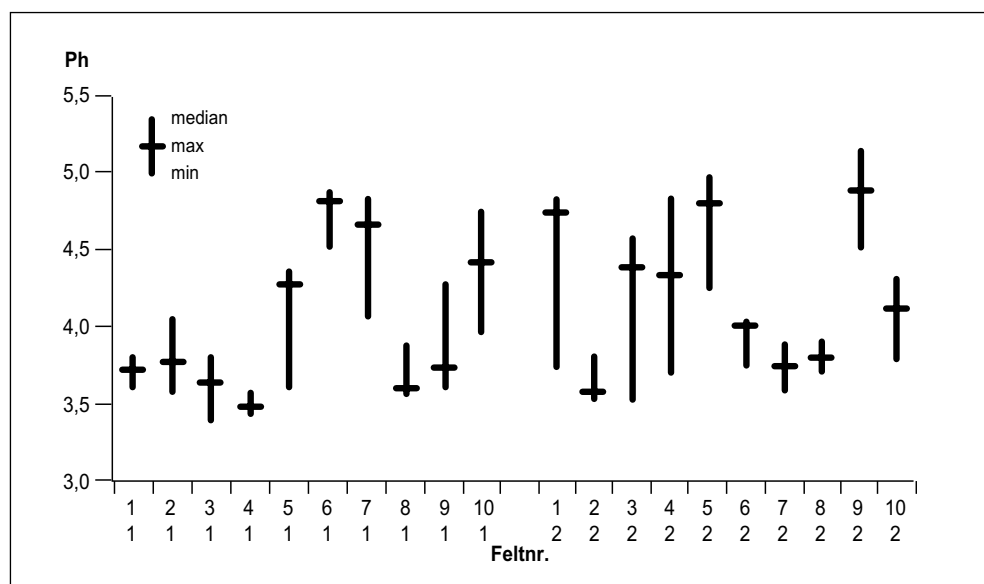
3 Basisundersøkelsen: Vegetasjonstyper, floristisk varia- sjon og viktige miljøparametre

Nedenfor beskrives vegetasjonstyper og miljøfaktorer innenfor undersøkelsesområdet før kalkning, for å gi en nærmere karakteristikk av den forholdsvis brede variasjon i skogtyper og miljøforhold som fanges opp av denne kalkingseffektstudien.

Det er registrert 160 arter innenfor de 20 analysefeltene/storrutene i Gjerstad, herunder 60 karplanter, 82 mosearter og 18 lavarter (sopp er behandlet separat i kap. 6). De fleste og de vanligste av artene er nøysonne arter knyttet til fattig lyngskog, men materialet omfatter også 70 mer eller mindre kravfulle arter knyttet til lågurtskog og rikere sumpskog.

3.1 Jordsmønnstyper og nærings- og forsu- ringsstatus

Rutene er lagt ut slik at de skal fange opp mest mulig av nærings- og fuktighetsgradienten i gran- og furuskog i området (jfr. figur 3.2). Drøyt halvparten av rutene er lagt ut i helt næringsfattig lav- og røsslyngfuruskog og blåbærgranskog, med jordsmøn av podsol-type, et råhumuslag på toppen og $\text{pH} < 4,0$ (28 kalkingsruter, 31 referanseruter, jfr. tabell 3.1). pH i det øvre råhumuslaget er gjennomgående svært lik i den tørre lyngfuruskogen og i blåbærskogen (figur 3.1).



Figur 3.1

pH i humus i 1994 (før kalkning) i de ulike vegetasjonsfeltene (storrutene). Medianverdi og spredning av de fem analyserutene (innenfor hver storrute) er angitt. Felt 1-2 i referansen og 7-8 i kalkingsfeltet er lav-røsslyngfuruskog; felt 3-4 og 8-9 i referansen, og 2, 6 og 10 i kalkingsfeltet er dominert av blåbærgran(-furu)skog, mens resten av feltene/storrutene er dominert av rikere lågurt-, småbregne- og sumpskog (fra Eilertsen et al. 1997). - pH of the humus layer in 1994 (before liming) in the different analyzed plots (macro-plots). Plots 1-2 in the reference site and 7-8 in the limed site are situated in oligotrophic lichen-heather pine forests; plots 3-4 and 8-9 in the reference site, and 2, 6 og 10 in the limed site are situated in oligotrophic blueberry spruce(-pine) forests, whereas the the other plots are situated in richer low-herb- fern- and swamp forest (from Eilertsen et al. 1997).

De laveste pH-verdiene i humus (pH 3,4-3,5) er registrert i enkelte blåbærgranskogsruuter. Dette er lavere verdier enn normalt for norsk råhumus (jfr. Økland et al. 2000), og kan indikere en forsuringseffekt på råhumusen i området. Gjerstad er av de områdene som har vært kraftig forsuret lengst i Norge, og en effekt på jordsmonn har også tidligere vært vurdert (jfr. Økland et al. 2000). Her er det også målt meget lave Ca-verdier i jordvannet (0,4-0,5 mg Ca/l, se Hindar et al. 1999).

De ikke-podsoliserte rutene omfatter brunjordsprofiler og overganger mot sumpjord. De to rikeste storrutene i hvert område har pH 4,5-5,0(-5,2) i humussjiktet (jfr. figur 2 i Eilertsen et al. 1998). Kalsium-verdiene i jordvannet på den rikeste storruta (kalkingsfelt storrute 9) ligger i intervallet 2,0-3,5 mg Ca/l (før kalkning, jfr. Hindar et al. 1999), dvs. omtrent 5 ganger så mye Ca som i de fattigste, sureste partiene.

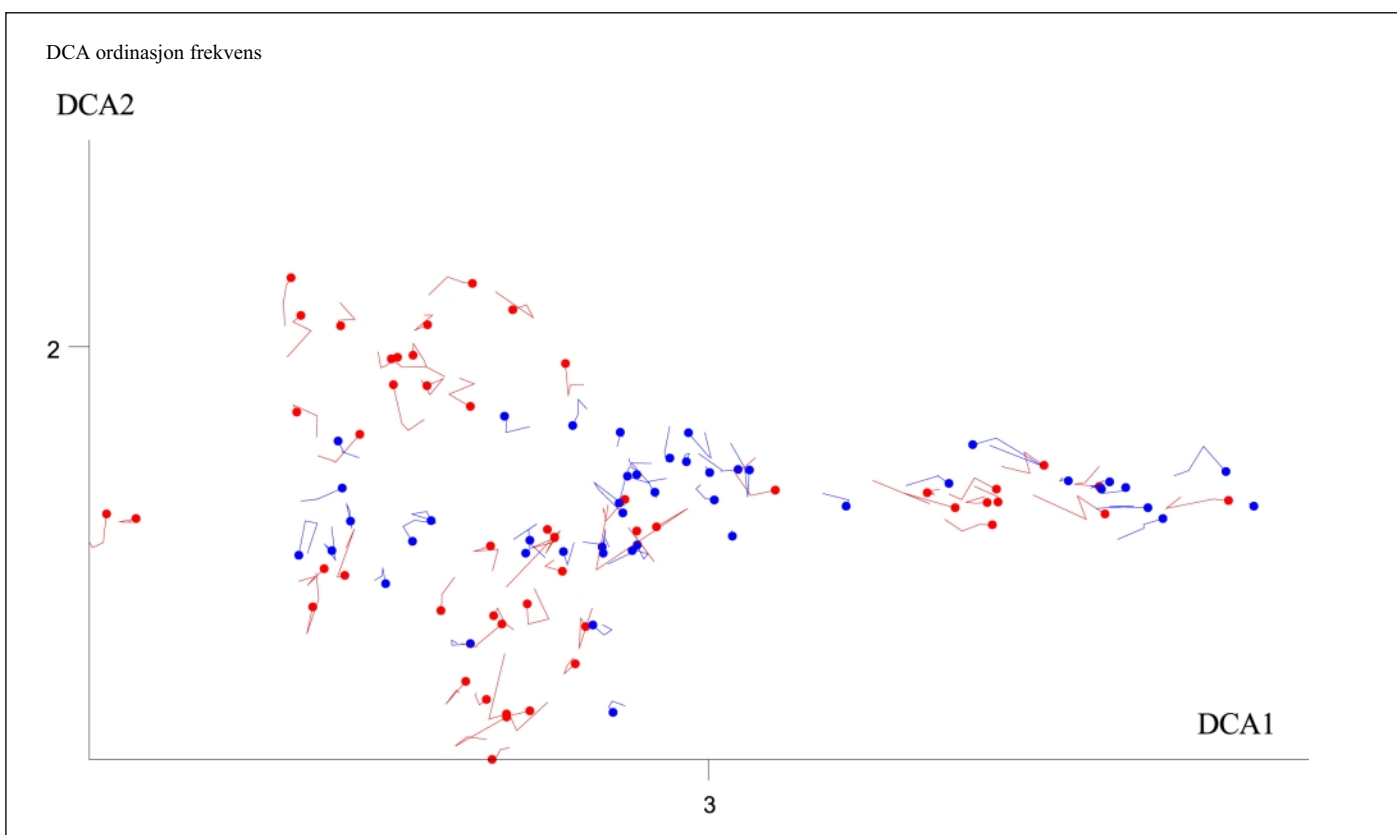
Det ble analysert jordprøver (humusprøver) tilknyttet alle analyserutene både i 1994 og 1995 (jfr. Eilertsen et al. 1998). Det ble imidlertid kun registrert små endringer og nesten bare knyttet til en direkte kalkingseffekt med økt Ca, Mg og pH. Det var en signifikant pH-økningen i kalkingsrutene, men økningen var for de fleste rutene meget liten (jfr. Eilertsen et al. 1998). Videre ble det registrert noe endringer i organisk innhold (glødetap). Reduksjonen i glødetap kan muligens tilskrives innsamlingsmetodikk. Det er stedvis svært tynt jordsmonn, og det kan være vanskelig å unngå å få med en varierende mengde mine-

raljord i enkelte av humusprøvene. Jordvannsprøver (lysimeterprøver i forskjellig dybde) som er tatt fra fire av storrutene 1994-97 viser knapt målbare endringer etter kalkning, heller ikke i de primære kalkingsparameterene (Hindar et al. 1999). Mangelen på målbare endringer i jordvannet, i motsetning til endel tydelig målbare effekter av kalkingen i avrenningsvannet, indikerer at kalkkornene bare har hatt en influens på overflateavrenningen, og i meget liten grad har påvirket jordsmonn og porevann videre nedover (Hindar et.al. 1999).

3.2 Ordinasjon av 1994-data med miljøvariabler

Rutene i kalkings- og referanseområdet er forholdsvis likt fordelt i ordinasjonsdiagrammet, dvs. de fanger i grove trekk opp den samme floristiske og vegetasjonsmessige variasjonen i de to områdene (**figur 3.2**).

Den første aksen spenner ut en stor del av den floristiske variasjonen, og representerer i hovedsak en tørr-fuktig gradient, først og fremst en gradient i jorddybde, fra grunnlendte, tørre røsslyng-lavfuruskoger (med høye verdier på akse 1), til blåbærskoger og fuktige lågurtskoger på dypere jordsmonn (med lave verdier). Jorddybde er den målte miljøparametren som er sterkest korrelert med akse 1 (se **Vedleggstabell 1**)



Figur 3.2

DCA-ordinasjon av 100 analyseruter fra 1994, før kalkning. Akse 1 og 2. Kalkede ruter er angitt i rødt, referanseruter i blått. Tørre furuskogsruter til høyre. Basert på smårutefrekvens. - DCA-ordination of 100 sample plots from 1994, prior to liming. Axes 1 and 2. Limed plots indicated in red, reference plots in blue.

3.3 Vegetasjonstyper og artsmangfold

Ut fra en multivariat gruppering av rutene (cluster-analyse), kan materialet klassifiseres i tre hovedvegetasjonstyper: (i) tørre røsslyng-lavfuruskoger, (ii) blåbærgran(-furu)skoger og (iii) fuktig småbregne-lågurt-sumpskog (jfr. Eilertsen et al. 1998). Inndelingen reflekterer de to viktigste økologiske faktorene i materialet, grad av fuktighet og rikhet. Røsslyng-lavfuruskogene skiller seg fra de andre pga. tørrere forhold med ekstremt grunt jordsmonn, mens den siste gruppen skiller seg fra de andre pga. fuktigere og rikere jordsmonn med brunjord-sumpjord og pH > 4,0.

Den siste gruppen er heterogen, med stor floristisk variasjon. Grunnet sterke grader i næring og fuktighet over små avstander, bl.a. med en viss heterogenitet innenfor rutene, greier imidlertid ikke analysen å fange opp tydelige, floristiske skiller innenfor denne. Basert primært på en gradient i rikhet, og en tendens til økt artsmangfold og frodighet med økt rikhet, kan en subjektivt inndele denne gruppen i en småbregne-fattig lågurt-fattig sumpskog-gruppe, samt en rik, lågurt-rik sumpskog-høystaude-gruppe (tabell 3.1):

Det framgår av tabell 3.1 at fordelingen av de fattige vegetasjonstypene i de to områdene er svært lik. Begge områder har 10 ruter i grunnlendt røsslyng-lavfuruskog, og har også svært likt antall i blåbærskog. De fem rikeste lågurtrutene i referansen er noe avvikende, tørrere og mer kulturpåvirket enn rutene i kalkingsfeltet, og to har også vært utsatt for erosjon i løpet av undersøkelsesperioden. Disse rutene er derfor tatt ut av ordinansjonsanalysen og analysen av artsandringer (se kap. 4).

3.3.1 Røsslyng-lavfuruskog

Denne ekstremtørr utformingen dekker små arealer i undersøkelsesområdet, kun på enkelte små rabber. Disse rabbene er imidlertid inkludert for å spenne ut tørr-fuktighetsgradienten i materialet, og for å fange opp endel lavarter, som antas å være følsomme overfor kalkning (jfr. bl.a. Traaen et al. 1997, Brandrud 2000). Typen opptrer som "svabergfuruskog" med ekstremt liten jorddekning og glisset tresjikt. Feltsjiktet er dominert av

røsslyng (på litt tykkere humus) og tyttebær, med sigdomoser (*Dicranum* spp.) og en rekke ulike begerlav og reinlav (*Cladonia* spp.) i bunnsgjiktet. Pga. den artsrike lavfloraen er disse svabergfuruskogene mer artsrike enn de fuktigere blåbærskogene. En del slitasje pga. dyretrakk forekommer i flere av rutene, særlig i kalkingsfeltet. For øvrig er rutene i kalking- og referansefeltene svært like og kommer ut helt likt i ordinasjonen (figur 3.2). Jordsmonnet er tynt og lite utviklet, gjerne bare et tynt råhumuslag med pH 3,5-4,0 (jfr. figur 3.1).

3.3.2 Blåbærgran(furu)skog

Denne kategorien består mest av typisk blåbærgranskog, som er den vanligste skogstypen i undersøkelsesområdet, og som også dominerer analysematerialet (tabell 3.1). Det forekommer imidlertid også endel noe tørrere, furudominert blåbær-skog/bærlyngbarblandingsskog. Floristisk er disse typene svært like hverandre, bortsett fra at furuskogen er noe mer åpen med frodigere og tettere lyngsjikt.

Feltsjiktet er artsfattig, gjerne med 3-5 arter pr. analyserute, med dominans av blåbær (*Vaccinium myrtillus*) og smyle (*Deschampsia flexuosa*), og innslag av blåtopp (*Molinia caerulea*) der det er litt fuktigere. Bunnsgjiktet er gjerne dominert av blanksigd (*Dicranum majus*), stedvis av kystjamnemose (*Plagiothecium undulatum*), og med et relativt konstant innslag av etasjemose (*Hylocomium splendens*), furumose (*Pleurozium schreberi*), samt endel små levermoser (*Calypogeia* spp., *Cephalozia* spp., m. fl.) på beskyttede steder under røtter o.l.

3.3.3 Fuktig småbregnegranskog-fattig sumpskog

Disse utformingene danner gjerne en overgang mellom tørrere blåbærskog ovenfor og en bekkekant eller mer stagnerende sump på nedrsiden. I storrutene kan disse typene opptre som smale stripor eller mikromosaikker, slik at elementer av begge kan forekomme innenfor én rute. Ordinasjonsmessig kommer da disse også ut svært likt. Småbregne-sumpskogstypene er noe mer næringsrike enn blåbærskogen og har også flere arter. Dominerende planter er småbregner (hengeving *Thelypteris*

Tabell 3.1. Fordeling av analyserutene på 4 hoved-vegetasjonstyper. - Affinity of the analyzed plots to major vegetation types.

| | kalket | referanse |
|---|--------|-----------|
| røsslyng-lavfuruskog ("svabergfuruskog") | 10 | 10 |
| blåbærgran(-furu)skog | 18 | 21 |
| småbregnegranskog – rel. fattig sumpranskog/bekkekant | 8 | 12 |
| fuktig lågurtgranskog/rik sumpskog | 14 | 2[7]* |
| sum | 50 | 45[50]* |

*5 ruter tatt ut av analysene pga. avvikende, noe kulturpåvirket, tørr, rik utforming som ikke har noen parallel i kalkingsfeltet

phegopteris, fugletelg *Gymnocarpium dryopteris*) og skogrørkvein (*Calamagrostis purpurea*). Overganger mot sumpskog/bekkekant har et betydelig innslag av torvmoser (særlig i kalkingsområdet), som regnes som en kalkingsfølsom artsgruppe. Den typen er grunnlendt og utsatt for periodevis uttørking, er det overgangen mot fattig lågurtttype (gjelder særlig tre av rutene i storrute 5 i referanseområdet).

3.3.4 Rik (sesong)fuktig lågurtgranskog-rik sumpskog

Urte- og grasrik, fuktig lågurtskog(-sumpskog) er sjeldent i området og opptrer som små flekker/striper i forsenkninger med høyt grunnvannsnivå eller som overganger mot bekk/sump. Det er åpenbart at de næringsrike forholdene her skyldes påvirkning av rikere sigevann.

Typisk for denne typen er en høy artsdiversitet, med opp til 20 karplanter pr. rute og opp til 40 arter totalt i felt- og bunnsjikt. Feltsjiktet er gjerne frodig grasdominert av skogrørkvein, hengsaks og starrarter, samt med rikelig innslag av lågurer som teibær, skogfiol, skogstorkenebb, og med innslag av kravfulle sumpskogsarter som mjødurt og sumphaukeskjegg. Bunnsjiktet har innslag av kravfulle arter som skogfagermose (*Plagiomnium affine*), stor thujamose (*Thuidium tamariscinum*) og kransemose (*Rhytidadelphus triquetrus*). Disse flekkene fungerer som små biomangfoldsoaser i en ellers homogen fattig barskognatur i Gjerstad. Den tørrere delen av typen inneholder også flere rødlistede og sjeldne sopparter (se kap. 6). Slike flekker med fuktig lågurtskog ser ut til å ha et tyngdepunkt langs forkastningslinjen i Egddalen, dvs. områder der berggrunnen kan være noe rikere og mer oppknust, og dermed med tilgang på mer elektrolyttrikt grunnvann. Pga. sin sjeldenhets og høye biomangfold er denne typen av særlig verdi, og det er spesielt viktig at denne ikke blir endret og utarmet ved kalking.

Innenfor typen er det grader fra grunnlendte flekker med sesongmessig uttørking (rikt lågurtpreg), via skrânende flekker med stabilt sigevann (høystaudepreg), til mer stagnerede, sterkt fuktige flekker (rikt sumpskogspreg)

4 Vegetasjonsutvikling 1994-99

De kvantitative ruteanalyserne 1994-1999 gir mulighet for å fange opp selv små endringer på arts- og samfunnsnivå. Endringer på samfunnsnivå er primært undersøkt ved multivariate analyser (ordinasjon). Hovedspørsmålet blir; har vegetasjonsutviklingen vært annerledes i kalkingsfeltet enn i referansefeltet?

4.1 Ordinasjon: Endringer i analyserutenes artssammensetning

Figur 4.1 og **4.2** viser forflytningene av alle analyserutene fra 1994 til 1999 langs de to første aksene i en DCA, basert på h.h.v. artenes frekvens og %-dekning i rutene. Generelt er hovedinntrykket at forflytningsmønsteret er ganske likt i de to områdene, men at utslagene er større i kalkingsfeltet.

Nedenfor presenteres først endringer i referanseområdet, som karakteriserer den generelle vegetasjonsutviklingen i området 1994-1999. Dernest presenteres utviklingen i kalkingsområdet, med fokus på avvik fra den generelle vegetasjonsutviklingen.

4.1.1 Referanseområdet

Frekvensdata

Referanseområdet viser relativt små endringer gjennom undersøkelsesperioden, og det er ingen statistisk signifikant forflytning av rutene langs den første første DCA-aksen (**Vedleggstabell 2**). Derimot er det en signifikant forflytning av rutene på akse 2 mot høyere verdier, selv om forflytningen av hver rute er liten (**figur 4.1, Vedleggstabell 2**).

Det er liten grad av rettet endring gjennom perioden 1994-99, dvs. de fleste ruter går ikke i en bestemt retning gjennom hele perioden, men oppviser et hestesko- eller siksak-formet forflytningsmønster. De røsslyng(-lav)dominerte furuskogene avviker noe, med en tydelig rettet forflytning langs akse 1 (signifikant forflytning mot lavere verdier; jfr. **Vedleggstabell Z1**).

Prosent dekningsdata

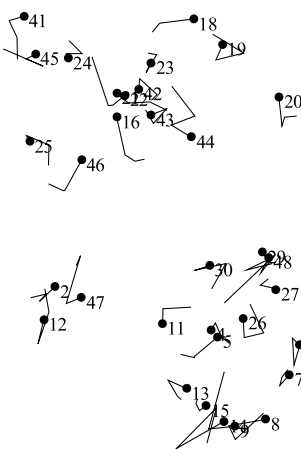
Forflytningene blir noe større når ordinasjonen er basert på prosent dekningsdata (**figur 4.2**). Som for frekvensdatasettet er det ingen statistisk signifikant rettede endringer på akse 1 (**Vedleggstabell 2**). Derimot er det en signifikant endring på akse 3 og 4 fra 1994 til 1999. For blåbær-småbregne-lågurt rutene er det også en signifikant forflytning på akse 2 mot høyere verdier 1996-99 (**Vedleggstabell 2**). Her framtrer en form for sik-sak-mønster relativt tydelig, ved at de fleste rutene forflytter seg den andre veien 1995-96. De tørre røsslyng-furuskogsrutene har her som med frekvensdataene en tydelig forskjynning i retning av lavere verdier (dvs. fuktigere miljø) på akse 1.

DCA2

Kalket

2

• 3



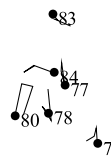
3

DCA1

DCA2

Kontroll

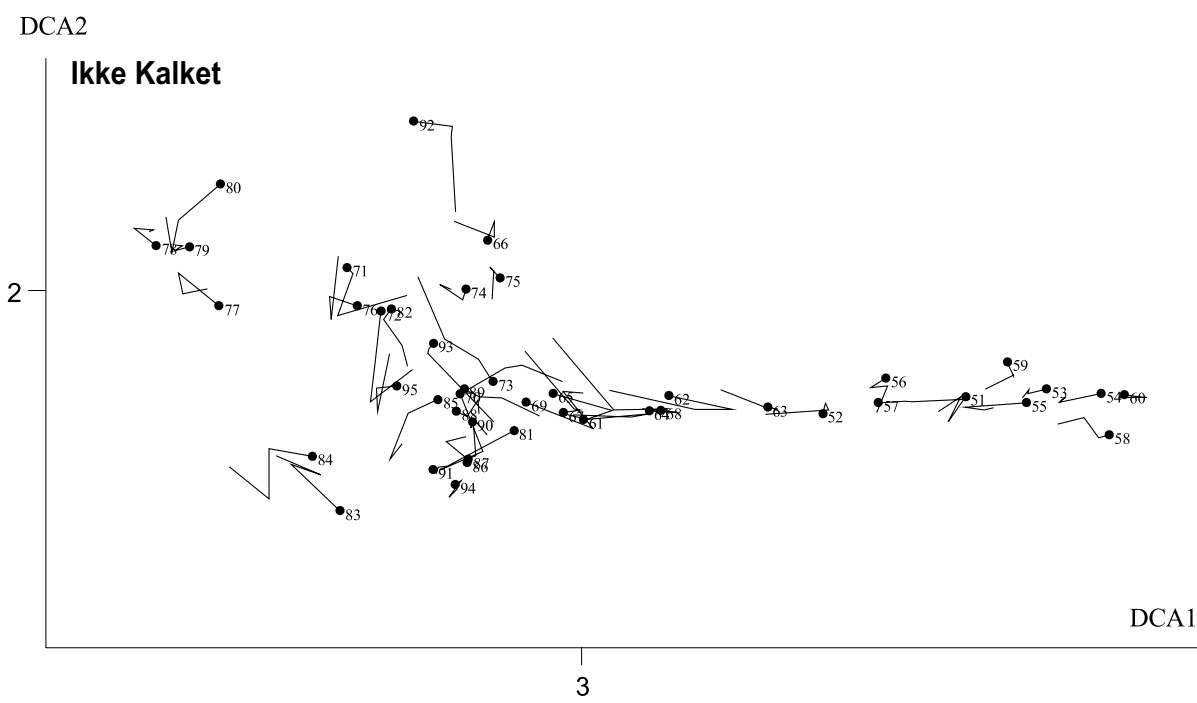
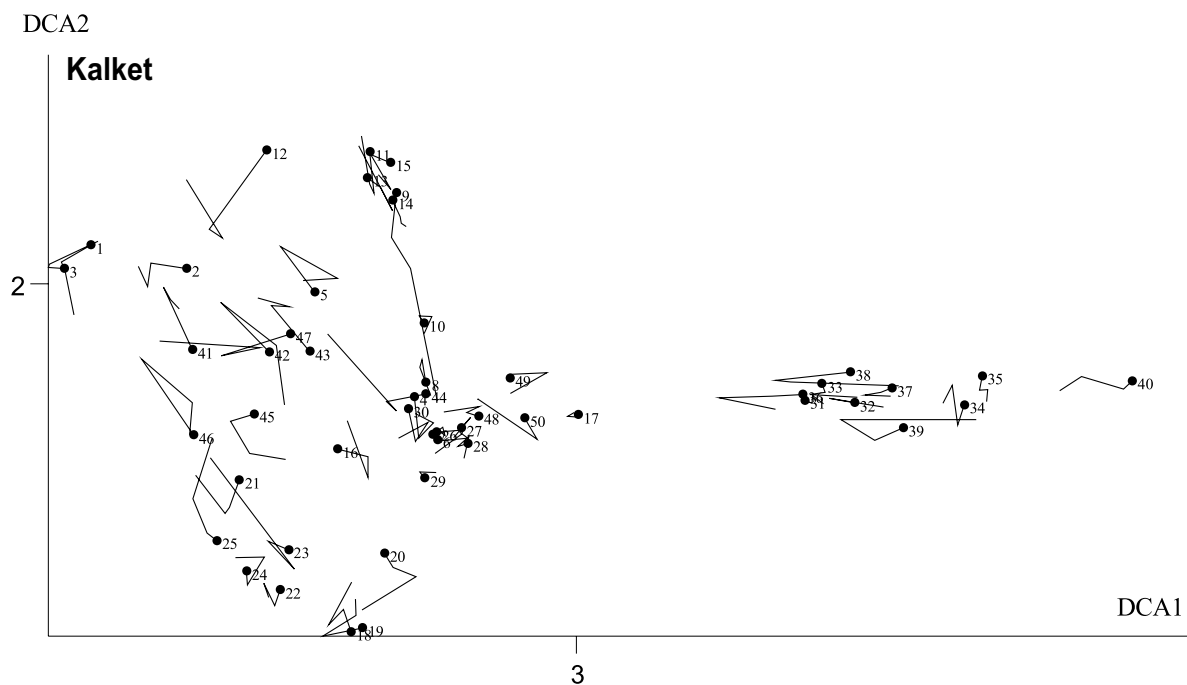
2



3

DCA1

Figur 4.1
DCA-ordinasjon frekvensdata



Figur 4.2
DCA-ordinasjon prosent dekningsdata

4.1.2 Kalkingsområdet

Frekvensdata

Mønsteret i ordinasjonsdiagrammet er mye av det samme i kalkingsområdet som i referanseområdet, med en hestesko-sik-sak-formet forflytning av rutene.

Graden av forflytninger av rutene langs akse 1 og 2 er imidlertid generelt større enn i referanseområdet (**figur 4.1**). Fra 1994 til 1995 (ett år etter kalking) er det en statistisk signifikant rettet forflytning av rutene mot lavere verdier på akse 1 og 2 (dvs. mot origo, jfr. **figur 4.1** og **Vedleggstabell 2**). Etter 1995 har imidlertid mange av analyserutene forflyttet seg noe tilbake mot høyere verdier på DCA-aksene. Rutene har imidlertid innen 1999 ikke returnert tilbake til utgangspunktet, dvs. at forflytningen fra 1994 til 1999 fortsatt er signifikant rettet mot lavere akseverdier. Blåbær-småbregne-lågurt-rutene har mer eller mindre det samme forflytningsmønster som det totale materialet fra kalkingsområdet.

Den tørre røsslyngfuruskogen (**figur 4.1, Vedleggstabell 2**) viser den samme markerte forflytningen mot lavere verdier på akse 1 etter kalkingen, men i motsetning til blåbær-småbregne-lågurt rutene viser disse rutene ikke signifikante endringer tilbake mot høyere verdier etter 1995. Tvert imot har flere av røsslyng-rutene en tendens til fortsatt å forflytte seg videre mot lavere verdier. Det ser således ut til at endringen i vegetasjonen i røsslyngskogen etter kalking, basert på frekvensdata, er mer ensrettet enn endringen i blåbær-småbregne-lågurt-vegetasjonen. For øvrig er endringene i røsslyngfuruskogene i kalkingsområdet forholdsvis like de som er registrert i referanseområdet.

Prosent dekningsdata

DCA-analysen av prosentdekningsdataene gir en større ruteflytning enn med frekvensdataene (**figur 4.2** og **Vedleggstabell 2**). De mest signifikante endringene skjer også her fra 1994 til 1995 mot lavere verdier på akse 1, og også her forflytter rutene seg tilbake igjen fra 1995-96 (ikke signifikant). De rikeste, fuktigste lågurtrutene (i den øvre, venstre delen av ordinasjonsdiagrammet, **figur 4.2**) viser en markert forskyvning i rikere retning, dvs. mot lavere verdier på akse 1, og høyere verdier på akse 2.

For de tørre røsslyngfuruskogsrutenes del framtrer en liten forskjell fra referanseområdet; rabbene viser en signifikant endring fra 1996 til 1999, tilbake mot mer opprinnelig verdier fra 1994 (mot høyere verdier langs DCA-akse 1).

4.1.3 Endringer i artsmangfold

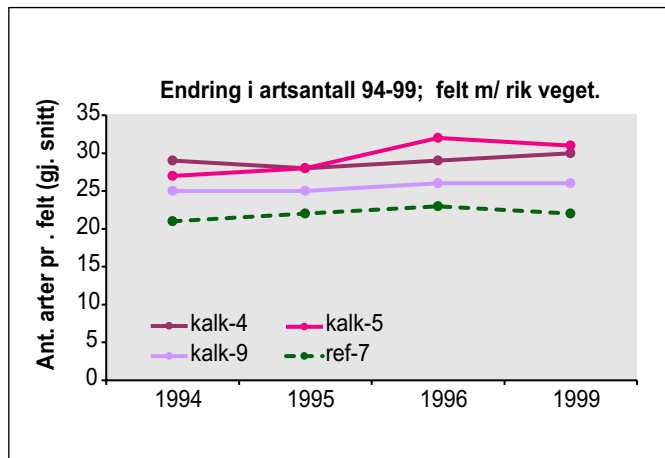
Det har skjedd svært liten endring i artsantallet i rutene gjennom de 5 årene undersøkelsen har pågått. Hvis vi ser på de rikeste storrutene (som har forflyttet seg mest i ordinasjonen 1994-99) så framtrer imidlertid en viss endring: Artsantallet var tilnærmet uforandret 1994-95, mens det fra 1995 til 1996

skjedde en svak økning i de fleste storrutene, fulgt av en utflasting 1996-99 (**figur 4.3**). Mønsteret i kalkingsområdet og referanseområdet er imidlertid nokså tilsvarende.

4.2 Endringer i enkeltarters mengde

Det har skjedd en mengde små og større endringer i enkeltarters mengde, både i kalkingsområdet og i referanseområdet i løpet av undersøkelsesperioden (**tabell 4.1, 4.2**; se også **Vedleggstabell 3**). Frekvensdatasettet og prosentdatasettet fanger opp mengde-endringer av til dels ulike arter, da endringene bl.a. er avhengig av om artene er klumpvis fordelt eller ikke innen ruta. En økning av arter med få, små forekomster i alle småruter vil for eksempel bare fanges opp av prosentdatasettet, mens en nytablering av en tuedannende art oftest vil bli fanget best av frekvensdatasettet. Få arter har gått tilbake i analyserutene, mens flere har vist framgang. Noen arter har vist sterkt tilbakegang for så å øke igjen.

Tabell 4.1 & 4.2 oppsummerer de viktigste endringene for hver enkelt art av h.h.v. karplanter og moser/lav gjennom undersøkelsesperioden. *Hovedtrendene er de samme i kalkings- og referanseområdet:* Hovedmønsteret er at svært mange arter har hatt en framgang i den siste delen av undersøkelsesperioden (1996-99). Mange arter har hatt en signifikant framgang i begge områdene 1994-1999 (**tabell 4.1 & 4.2**). Kun fire mosearter viser en tilbakegang i begge områder 1994-99.



Figur 4.3

Endring i artsmangfold i feltene (storrutene) med rik, fuktig lågurtvegetasjon 1994-99. Felt 4, 5 og 9 innenfor kalket område; felt 7 innenfor referansen. Verdiene representer gjennomsnittlig artsantall pr rute for hvert felt (1 x 1 m; N = 5). - Changes in species richness in the macroplots with rich, moist low-herb vegetation 1994-99. Macroplots 4, 5 and 9 are from the limed site; macroplot 7 from the reference. The numbers represent average number of species per meso-plot (1 x 1 m; N = 5).

4.2.1 Viktigste forskjeller mellom kalkings- og referanse-område (mulige kalkingseffekter)

Det er få og små systematiske forskjeller på de to områdene. Etter 5 år har det skjedd en større og mer gjennomgående framgang/økning av arter i det kalkede området i f. t. referansen. Om man summerer frekvens-data fra **tabell 4.1 & 4.2**, har til sammen 32 arter hatt en økning 1994-99 i kalkingsområdet, mens 23 har økt i referanseområdet (arter som forekommer kun i étt av områdene er her utelatt). Av disse har h.h.v. 14 og 5 arter hatt en signifikant framgang 1994-99. For dataene som baserer seg på % dekning er tallene h.h.v. 23 og 15 i kalkings- og referanseområdet (arter med signifikant framgang 1994-99).

For enkelt-arter er det imidlertid svært få som har en klar og entydig større økning i kalkingsfeltet (jfr. tabell 4.1 og 4.2, se også Vedleggstabell 3), dvs. de som har en sterkt (og signifikant) økning i kalkingsområdet har gjerne økt betydelig også i referanseområdet, og de som bare har økt i kalkingsområdet, har gjerne kun en svak og ikke-signifikant økning her.

4.2.2 Tidsutvikling 1994-99 for karplanter

For karplantene er det en svak tendens til større grad av økning i kalkingsfeltet, særlig de to første årene. I 1995 (ett år etter kalking) var det 11 arter som gikk fram (2 signifikant) i kalkingsfeltet, mot 6 arter (ingen signifikant) i referansefeltet (prosent-data; jfr. **tabell 4.1**). Etter to år var forholdet omrent det samme, 13 (7 signifikant) mot 10 (1 signifikant) arter med framgang. Over hele perioden 1994-99 er forskjellene utvist, og 21 (13) mot 22 (11) arter har gått fram i h.h.v. kalkings- og referanseområdet.

To arter utmerker seg med en relativt større økning i kalkingsfeltet, bregnene einstape (*Pteridium aquilinum*) og myrfiol (*Viola palustris*), begge svakt næringskrevende arter med lange, underjordiske utløpere, og stor evne til rask forflytning. Blåbær (*Vaccinium myrtillus*) skiller seg ut ved en signifikant framgang i kalkingsfeltet de to første årene, på et tidspunkt da arten ikke hadde gått fram i referansefeltet (**tabell 4.1**). Av de artene som har hatt en tilbakegang, kan nevnes frøplanter av gran (*Picea abies*) som ser ut til å ha hatt en dårlig spiring etter kalking, med signifikant tilbakegang det første året, samt ingen framgang over perioden 1994-99 (i motsetning til i referanseområdet).

Hovedtypen av tidsutvikling hos karplantene er status quo/svak framgang de første to årene 1995 og 1996, med en deretter gjennomgående økning 1996-99. Dette mønsteret er tydelig hos følgende arter:

- | | |
|------------|--|
| grasarter: | skogrørkvein <i>Calamagrostis purpurea</i> |
| | blåtopp <i>Molinia caerulea</i> |
| | hengeaks <i>Melica nutans</i> |
| urer: | tepperot <i>Potentilla erecta</i> |
| | skogstjerne <i>Trientalis europaea</i> |
| lyngarter: | røsslyng <i>Calluna vulgaris</i> |
| | tyttebær <i>Vaccinium vitis-idaea</i> |

Videre forekommer enkelte arter med klart avvikende mønster: Smyle (*Deschampsia flexuosa*) og rogn (*Sorbus aucuparia*) hadde en signifikant tilbakegang i begge områdene de første årene, for så å gå fram, mens linnea (*Linnea borealis*) oppviste svært liten endring over hele undersøkelsesperioden. Maiblom (*Maianthemum bifolium*) oppviste liten endring eller noe nedgang i perioden, mens stormarimjelle (*Melampyrum pratense*) opptrådte svært tallrik i årene 1996 og 1999 (signifikant framgang fra 1994).

For de fleste artene er utviklingstrendene omrent de samme med frekvens- eller prosent-data (**tabell 4.1**). Men generelt er utslagene større for prosent-dekning hos endel arter. Særlig er dette utpreget på en tuedannende art som blåtopp (*Molinia caerulea*) som har hatt en signifikant framgang 1994-99 målt i prosent dekning (pga. økt frodighet og fortetning i tuene), men den har ikke økt i frekvens, dvs. den har ikke kommet inn i nye småruter. Enkelte urter med jordstengel (geofytter) som hvitveis og maiblom viser en delvis motsatt trend med de to hyppighetsmålene. Dette kommer trolig av at disse artene har en så årstidsmessig variabel bladproduksjon at prosentmålene derfor kan variere veldig, noe uavhengig av den reelle tetteheten av arten i ruta. For disse artene vil derfor smårutefrekvens antagelig best fange opp trender, mens prosent dekning vil være mest egnet for tue/mattedannende gras som nevnt over.

4.2.3 Tidsutvikling 1994-99 for moser og lav

Hovedtrend

For mosene er hovedtrenden noe avvikende fra karplantene ved at mange arter først viste en nedgang 1994-96, og deretter en betydelig framgang 1996-99 (tabell 4.2). Denne trenden gjelder bl.a. en del av de viktigere bladmossene:

- blanksigd *Dicranum majus*
- ribbesigd *Dicranum scoparium*
- flettemose *Hypnum cupressiforme*
- glansjammnemose *Plagiothecium laetum*
- kystbjørnemose *Polytrichastrum formosum*

Blanksigd (*Dicranum majus*) er her kanskje det mest ekstreme eksemplet. I blåbærgranskog hvor denne kan være mattedannende og dominerende, hadde arten fra 1996 til 1999 i flere ruter mer enn doblet sin dekningsgrad, f.eks. fra 25% til 60% dekning. Sannsynligvis er dette av de mer økologisk viktige vegetasjonsendringene som er registrert.

Observerte skader

Det ble observert endel tegn til skader på enkelte mosearter i rutene de første to årene (**tabell 4.2**), i form av klorofyllmangel (klorose; hyaline-grå skudd), misfarging og tegn til visning. Imidlertid har det hele tiden vært grønne skudd av artene til stede, og det er åpenbart at denne visningen kun har gitt små utslag i analysematerialet, dvs. disse mosene har regenerert raskt ettersom enkelte skudd har visnet. Det er imidlertid en svak tendens til en større nedgang de første to årene i kalkingsområdet enn i referanseområdet, særlig når det gjelder torvmoser (*Sphagnum* spp., **tabell 4.2, figur 4.4**).

Tabell 4.1. De viktigste endringer i karplantevegetasjonen i Gjerstad 1994-99. Basert på Vedleggstabell 3. De tre første kolonnene for hvert område angir endring basert på %-dekningsdata, den fjerde ("94-9 frekv") er basert på endring i smårutefrekvens 1994-99. $+/\div$ = framgang/tilbakegang i perioden. $++/\div/\div$ = betydelig framgang/tilbakegang ($p < 0,1$). $++/\div/\div$ (med raster) = sterkt og signifikant framgang/tilbakegang ($p < 0,05$). - Important changes of vascular plants in Gjerstad 1994-99. Based on Appendix table 3. Columns 1-4 are data from the limed site. Columns 1-3, 5-7 indicate changes based on % coverage data, whereas columns 4 and 8 ("94-9 frekv") are based on changes in micro-plot-frequencies 1994-99. $+/\div$ = increase/decrease in the period. $++/\div/\div$ = considerable increase/decrease ($p < 0,1$). $++/\div/\div$ (shaded) = significant increase/decrease ($p < 0,05$)

| Arter med: | Kalkingsområdet | | | | Referanseområdet | | | |
|---|-----------------|--------------|--------------|---------------|------------------|--------------|--------------|---------------|
| | 94-5 %dek | 94-6 %dek | 94-9 %dek | 94-9 frekv | 94-5 %dek | 94-6 %dek | 94-9 %dek | 94-9 frekv |
| framgang både i kalk- og referanse-omr: | | | | | | | | |
| Hvitveis <i>Anemone nemorosa</i> | \div | ++ | | \div/\div | | ++ | | \div/\div |
| Bjønnkam <i>Blechnum spicant</i> | $+$ | | $+$ | | | \div | $+$ | $+$ |
| Bergrørkvein <i>Calamagrostis epigeios</i> | $+$ | $+$ | ++ | $+$ | | | $+$ | $+$ |
| Skogrørkvein <i>Calamagrostis purpurea</i> | $+$ | | ++ | $+$ | | | $++$ | |
| Røsslyng <i>Calluna vulgaris</i> | $+$ | \div | ++ | $+$ | | | ++ | $+$ |
| Smyle <i>Deschampsia flexuosa</i> | \div/\div | \div/\div | ++ | $+$ | \div/\div | \div/\div | ++ | $++$ |
| Stormarimjelle <i>Melampyrum pratense</i> | | ++ | ++ | ++ | | ++ | ++ | ++ |
| Blåtopp <i>Molinia caerulea</i> | | $+$ | ++ | | | \div | | ++ |
| Furu (frøplanter) <i>Pinus sylvestris</i> | | ++ | ++ | ++ | \div | $+$ | ++ | ++ |
| Osp <i>Populus tremula</i> | $+$ | \div | $+$ | \div | $+$ | $+$ | $+$ | $+$ |
| Tepperot <i>Potentilla erecta</i> | \div | | ++ | ++ | | | ++ | |
| Teibær <i>Rubus saxatilis</i> | $+$ | | $+$ | | | \div | | $+$ |
| Rogn <i>Sorbus aucuparia</i> | \div | \div/\div | ++ | | \div/\div | \div/\div | ++ | ++ |
| Hengeving <i>Thelypteris phegopteris</i> | ++ | ++ | ++ | ++ | $+$ | $+$ | ++ | $+$ |
| Blåbær <i>Vaccinium myrtillus</i> | $+$ | ++ | ++ | $+$ | \div/\div | | ++ | $+$ |
| Tyttebær <i>Vaccinium vitis-idaea</i> | | $+$ | ++ | $+$ | $+$ | $+$ | ++ | $+$ |
| Skogfiol <i>Viola riviniana</i> | $+$ | ++ | | | $+$ | $+$ | $+$ | $+$ |
| framgang i kalk-omr.: | | | | | | | | |
| Engkvein <i>Agrostis capillaris</i> | | | | $+$ | $+$ | \div | | \div |
| Fugletelg <i>Gymnocarpium drypoteris</i> | | $+$ | ++ | $+$ | $+$ | $+$ | $+$ | $+$ |
| Linnea <i>Linnea borealis</i> | | | | | $+$ | \div | | |
| Einstape <i>Pteridium aquilinum</i> | $+$ | ++ | ++ | | $+$ | $+$ | $+$ | \div |
| Sommereik <i>Quercus robur</i> | \div | | ++ | ++ | | | | |
| Skogstjerne <i>Trientalis europaea</i> | | | | ++ | $+$ | \div | $+$ | $+$ |
| Myrfiol <i>Viola palustris</i> | ++ | ++ | ++ | ++ | \div | \div | $+$ | $+$ |
| tilbakegang i kalk-omr. (i f. t. referanse): | | | | | | | | |
| Sølvbunke <i>Deschampsia cespitosa</i> | | | | | \div | \div | ++ | $+$ |
| Maiblom <i>Maianthemum bifolium</i> | \div/\div | $+$ | \div | \div | | $+$ | | |
| Gran (frøplanter) <i>Picea abies</i> | \div/\div | | | | \div | \div | ++ | |
| bare i étt av områdene: | | | | | | | | |
| Bergkvein <i>Agrostis vinealis</i> | | $+$ | ++ | $+$ | | | | |
| Skogstorkenebb <i>Geranium sylvaticum</i> | | \div | $+$ | | | | | |
| Stiv kråkefot <i>Lycopodium annotinum</i> | \div | | ++ | | | | | |
| Hengeaks <i>Melica nutans</i> | $+$ | $+$ | ++ | $+$ | | | | |
| Bringebær <i>Rubus idaeus</i> | | | | | | \div | \div | \div/\div |
| Sum framgang* | 11 | 13 | 21 | 16 | 6 | 10 | 22 | 16 |
| Sum signifikant framgang* | 2 | 7 | 13 | 4 | 0 | 1 | 11 | 3 |
| Sum tilbakegang* | 7 | 4 | 1 | 3 | 12 | 6 | 0 | 3 |
| Sum signifikant tilbakegang* | 2 | 1 | 0 | 0 | 2 | 1 | 0 | 1 |

* Kun arter som finnes i begge områdene summert

Tabell 4.2. De viktigste endringer i mose- og lavvegetasjonen i Gjerstad 1994-99. Basert på Vedleggstabell 3. De tre første kolonnene for hvert område angir endring basert på %-dekningsdata, den fjerde ("99frek") er basert på endring i smårutefrekvens 1994-99. s = skader (gråfarge, visning). +/- = framgang/tilbakegang i perioden. ++/-÷ = betydelig framgang/tilbakegang ($p < 0,1$). +/+/-÷ (med raster) = sterkt og signifikant framgang/tilbakegang ($p < 0,05$). - Important changes of mosses and lichens in Gjerstad 1994-99. Based on Appendix table 3. Columns 1-4 are data from the limed site. Columns 1-3, 5-7 indicate changes based on % coverage data, whereas columns 4 and 8 ("94-9 frek") are based on changes in micro-plot-frequencies 1994-99. s = damages (discolouration, wilting. +/- = increase/decrease in the period. ++/-÷ = considerable increase/decrease ($p < 0,1$). +/+/-÷ (shaded) = significant increase/decrease ($p < 0,05$).

| Moser med: | Kalkingsområdet | | | | Referanseområdet | | | |
|---|-----------------|--------------|--------------|---------------|------------------|--------------|--------------|---------------|
| | 94-5 %dek | 94-6 %dek | 94-9 %dek | 94-9 frekv | 94-5 %dek | 94-6 %dek | 94-9 %dek | 94-9 frekv |
| samme utvikling i kalk- og referanse-omr: | | | | | | | | |
| Skjeggmose <i>Barbilophozia coll.</i> * | + | + | ÷ | | + | | ÷ | ÷ |
| Sumpflak <i>Calyptogea muelleriana</i> agg | | + | ++ | ++ | ÷ | ++ | ++ | + |
| Bergsigd <i>Dicranum fuscescens</i> | | | | ÷ | | | ÷ | |
| Blanksigd <i>Dicranum majus</i> | ÷s | ÷÷s | ++ | ++ | ÷ | ÷ | ++ | + |
| Ribbesigd <i>Dicranum scoparium</i> | ÷s | s | ++ | + | ÷ | ÷ | + | |
| Etasjehusmose <i>Hylocomium splendens</i> | + | ++ | ++ | + | ÷÷ | ÷÷ | ++ | ++ |
| Matteflette <i>Hypnum cupressiforme</i> | ÷ | | + | ++ | | | + | |
| Glansjammemose <i>Plagiothecium laetum</i> | ÷ | | + | | | | + | + |
| Kystjammemose <i>Plagiothecium undulatum</i> | | + | ++ | ++ | ÷ | ÷ | ++ | ++ |
| Vegnike <i>Pohlia nutans</i> agg. | ÷ | ÷ | ÷÷ | ÷÷ | ÷ | ÷ | | ÷ |
| Kystbjørnemose <i>Polytrichastrum formosum</i> | ÷ | ÷ | + | | ÷÷ | ÷÷ | ++ | |
| Fjærermose <i>Ptilium crista-castrensis</i> | | | + | + | ÷÷ | ÷ | + | |
| Kystkransmose <i>Rhytidadelphus loreus</i> | + | + | + | | + | + | ++ | + |
| Furutorvmose <i>Sphagnum capillifolium</i> | s | ÷s | ÷ | | | | ÷ | ÷ |
| framgang i kalk-omr.: | | | | | | | | |
| Krussigd <i>Dicranum polysetum</i> | ÷ | + | ++ | ++ | | | + | ÷÷ |
| Skyggehusmose <i>Hylocomiastrum umbratum</i> | ++ | ++ | ++ | ++ | | ÷ | | ÷ |
| Bakkefrynse <i>Ptilidium ciliare</i> | ÷ | + | + | | | | ÷ | ÷ |
| Engkransmose <i>Rhytidadelphus squarrosus</i> | | | ++ | + | ÷ | | + | |
| Storkransemose <i>Rhytidadelphus triquetrus</i> | ÷ | | ++ | + | | | | |
| Sumptorvmose <i>Sphagnum palustre</i> | + | + | ++ | ++ | | | + | |
| Tvaretorvmose <i>Sphagnum russowii</i> | | | + | + | | | | |
| Spraketorvmose <i>Sphagnum squarrosum</i> | ÷ | | ++ | | | | | ÷ |
| tilbakegang i kalk-omr. (i f. t. referanse): | | | | | | | | |
| Storstylte <i>Bazzania trilobata</i> | s | ÷÷s | ÷÷ | | ÷ | ÷ | | |
| Stubbeblonde <i>Chiloscyphus profundus</i> | | | | | | | | |
| (= <i>Lophocolea heterophylla</i>) | | | ÷ | ÷ | + | + | ++ | |
| Prakthinnemose <i>Plagiochila asplenoides</i> | ÷÷ | ÷÷ | | ++ | ÷ | ÷ | ÷÷ | ÷÷ |
| Furumose <i>Pleurozium schreberi</i> | ÷÷s | s | + | ++ | + | | ++ | |
| Grantorvmose <i>Sphagnum gigrensohnii</i> | ÷÷s | ÷÷s | + | ÷÷ | ÷ | | ++ | + |
| Lyngtorvmose <i>Sphagnum quinquefarium</i> | ÷s | ÷s | ++ | ++ | | | + | |
| bare i étt av områdene: | | | | | | | | |
| Grasmose <i>Calliergon stramineum</i> | | + | ++ | | | | | |
| Kjempesigd <i>Dicranum drummondii</i> | | | + | + | | | | |
| Bekkerundmose <i>Rhizomnium punctatum</i> | | + | ++ | + | | | | |
| Stortujamose <i>Thuidium thamariscinum</i> | + | + | ++ | + | | | | |
| Sum framgang** | 5 | 10 | 21 | 16 | 4 | 3 | 17 | 7 |
| Sum signifikant framgang** | 0 | 1 | 10 | 10 | 0 | 0 | 4 | 2 |
| Sum tilbakegang** | 14 | 9 | 5 | 4 | 12 | 10 | 5 | 8 |
| Sum signifikant tilbakegang** | 3 | 2 | 1 | 2 | 2 | 2 | 0 | 1 |

*alle skjeggmose-artene her behandlet under ett pga. delvis forskjellige arter som forekommer i kalkings- og referanseområdet.

**kun arter som finnes i begge områdene summert

Tabell 4.2. Fortsetter

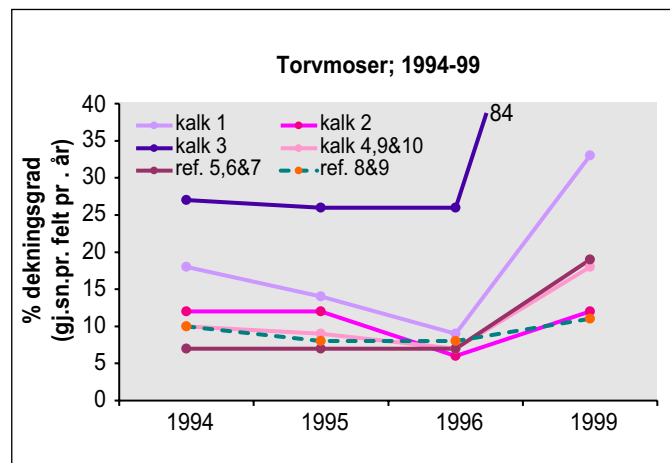
| | Kalkingsområdet | | | | Referanseområdet | | | |
|--|-----------------|--------------|--------------|---------------|------------------|--------------|--------------|---------------|
| | 94-5 %dek | 94-6 %dek | 94-9 %dek | 94-9 frekv | 94-5 %dek | 94-6 %dek | 94-9 %dek | 94-9 frekv |
| Iav: | | | | | | | | |
| Lys reinlav <i>Cladonia arbuscula</i> | ÷ | | | | ÷ | | ++ | ÷ |
| Begerlav <i>Cladonia chlorophaeae</i> agg. | ÷ | ÷ | | ÷ | ÷ | ÷ | + | + |
| Kyststrødtopp <i>Cladonia floerkeana</i> | ++ | ++ | + | ÷ | | | | |
| Gaffellav <i>Cladonia furcata</i> | ÷÷ | ÷÷ | ÷÷ | ÷÷ | | | | |
| Grå reinlav <i>Cladonia rangiferina</i> | + | + | + | | | + | ++ | ++ |
| Pigglav <i>Cladonia uncinalis</i> | ÷ | ÷ | ÷ | ÷÷ | ÷ | ÷ | + | ÷ |

Av arter som ble observert med skader, er det en signifikant nedgang i kalkingsrutene av blanksigd (*Dicranum majus*), furumose (*Pleurozium schreberii*) og grantorvmose (*Sphagnum girgensohnii*) i begynnelsen. Bortsett fra tilfellet blanksigd, avviker denne nedgangen betydelig fra situasjonen i referanseområdet. For alle artene med observerte skader gjelder at de har kommet tilbake og var vanligere i 1999 enn før kalking i 1994. Unntaket på dette var storstylte (*Bazzania trilobata*) og furutorvmose (*Sphagnum capillifolium*) som begge gikk tilbake over hele undersøkelsesperioden, men det gjaldt for begge områdene.

Den storvokste levermosen storstylte (*Bazzania trilobata*) ble observert nøyne i rutene fordi en på forhånd antok denne for å være blant de mest følsomme artene. Det ble registrert skader på denne etter det første året (grå-hyaline skudd der det lå kalkkorn i mosen), og arten forsvant fra kalkingsfeltet etter det andre året. Denne levermosen er imidlertid registrert i så få ruter at statistiske analyser ikke er holdbare, og dessuten viste den som en av få moser en tilbakegang 1994-99 også i referansefeltet. Det ble også observert skader på enkelte liknende levermosearter (skjeggmoser *Barbilophozia* spp.), men også her var materialet for lite til at denne effekten ble fanget opp i rutearalysene.

Torvmoser (*Sphagnum* spp.) er den eneste taksonomiske/fysiognomiske gruppen som viser en gruppemessig mer eller mindre tydelig tilbakegang som knapt reflekteres i referanseområdet. Det er særlig tre fuktige blåbær-småbregnegranskogfelter i kalkingsområdet (felt 1-3) som har mye torvmose, av de tre "blåbærskogsartene" grantorvmose, lyngtorvmose og tvarretorvmose. Hvis en ser på disse tre artene tilsammen, får en følgende trender (figur 4.4): Alle feltene i kalkingsområdet oppviste en negang i begynnelsen, med laveste dekningsgrad i 1996. For feltene 1 og 2 ble det registrert en halvering i % dekning. Blåbærskogstorvmosene som gruppe hadde en signifikant tilbakegang i kalkingsområdet 1994-96. Deretter økte forekomstene betydelig. Særlig felt 3 utmerker seg med en økning fra 26 % gjennomsnittlig dekningsrad i 1994 til 84 % som snitt for 1999. I referansefeltet er det kun få ruter med torvmoser, men det er en helt gjennomgående trend at dekningsgraden var uforandret de første årene, for så å stige i noen ruter (figur 4.4).

Lavarter av den store reinlav/begerlav-slekten *Cladonia* viste en tendens til relativ tilbakegang i kalkingsrutene i forhold til referansen. Dette innebærer at (i) tilbakegangen var noe større i kalkingsområdet enn i referansen 1994-96, og at (ii) framgangen 1996-99 (særlig av de dominerende grå- og lys reinlav *C. rangiferina*, *C. arbuscula*) var større i referansen enn i kalkings-

**Figur 4.4**

Tidsutvikling 1994-99 for gruppen av torvmoser (*Sphagnum* spp.) i blåbærgranskog-sumpgranskog. Forekomst angitt som gjennomsnittlig %-dekning pr felt/storute. Inkluderer artene grantorvmose (*S. girgensohnii*), lyngtorvmose (*S. quinquefarium*) og tvarretorvmose (*S. russowii*). Kalk 1, 2 og 3 = de torvmoserike kalkfeltene 1, 2 og 3 (N=5). NB: Gjennomsnittlig dekning i kalkingsfelt 3 i 2000 var 84% (utenfor figuren). De andre kurvene representerer gjennomsnittlig dekning per enkelt-ruter med torvmosedekning > 5% for étt av årene for h.h.v. kalkingsfelt 4, 9 & 10 (N=3), referansefelt 5,6 & 7 (N=5) og referansefelt 8 & 9 (N=5). - Abundance 1994-99 for species of *Sphagnum* belonging in blueberry-swamp spruce forests. Abundance given as average % coverage per macroplot. Includes the species *Sphagnum girgensohnii*, *S. quinquefarium* and *S. russowii*. Kalk 1, 2 og 3 = the *Sphagnum*-rich limed plots 1, 2 og 3 (N=5). NB: Average coverage in limed plot 3 in 2000 was 84% (not shown in the figure). The other curves represent average of 3-5 (meso)plots with *Sphagnum* coverage > 5% for limed macroplots 4, 9 & 10 (N=3), reference macroplots 5,6 & 7 (N=5) and reference macroplots 8 & 9 (N=5).

området (**figur 4.2**). Alle artene som gikk tilbake i kalkingsfeltet oppviste imidlertid mer eller mindre tilbakegang også i referansen (bortsett fra gaffellav *Cladonia furcata*).

Andre, mulig kalkingsrelaterte trender

Mange moser har hatt en mer markert økning i kalkingsområdet enn i referanseområdet. For hele perioden 1994-99 er det 10 arter (både med % dekning og frekvens) som går signifikant fram i kalkingsområdet, mot h.h.v. 4 og 2 i referanseområdet. Det er imidlertid en del eksempler på arter som går signifikant fram i kalkingsområdet, og nesten signifikant i referanseområdet, f.eks. blanksigd (*Dicranum majus*), kystjamnemose (*Plagiothecium undulatum*), engmose (*Rhytidadelphus squarrosus*) og levermosen *Calypogeia muelleriana* agg. For øvrig er noen arter (som kransemose *Rhytidadelphus triquetris*) så sjeldne i referansefeltet at det er vanskelig å vurdere endringer her. Kun skyggehusmose (*Hylocomium umbratum*) skiller seg klart ut med en signifikant framgang allerede fra 1996 i kalkingsområdet, mens det ikke er registrert noen økning i referansefeltet. Etasjehusmose har en liknende trend, men her utjenes forskjellen i den siste delen av perioden, ved at arten går kraftig fram også i referansefeltet (**tabell 4.2**).

5 Vurdering av vegetasjonsutvikling og kalkingseffekter i Gjerstad 1994-99

5.1 Vurdering av mulige kalkingseffekter

Selv om forskjellene er små, har kalkingsfeltet oppvist større endringer enn referansefeltet, siden forflytningene av rutene langs 1. aksen i ordinasjonen er signifikant for kalkingsfeltet, men ikke for referansefeltet. Men forskjellene har blitt mindre i løpet av undersøkelsesperioden, noe som kan tyde på at kalkingsresponsen som er fanget opp i ordinasjonen primært er en straks-effekt knyttet til de observerte sviskadene, samt en kortvarig vekststimulans av visse karplanter.

5.1.1 Skader og straks-effekter; omfang og reversibilitet

Gjerstadprosjektet framtrer som det terregenkalkingsprosjektet i Norge (og trolig også i Sverige) med *minst* observerte skader på terrestrisk vegetasjon (Brandrud et al. 2001, Arrestad m. fl. 2003, Staaf et al. 1996, Rafstedt 1993, 2000, Pleijel et al. 2001).

I likhet med i de andre, norske terregenkalkingsprosjektene med dolomitt-kalkning (jfr. DN 2001) ble det *ikke* observert straks-effekter på karplanter, og det virker rimelig godt dokumentert at gras, urter og lyngarter normalt tåler en tilførsel av lavdose grovdolomitt (opp til 3 tonn Ca/ha) uten å ta direkte skade (jfr. Brandrud et al. 2001, 2003, Arrestad et al. 2003).

De mest markerte endringene har, som forventet på forhånd, vært tilløp til skader og tilbakegang av de sårbarer elementene torvmoser, levermoser, og marklevende lavarter. Videre var det påtagelig at disse skadene ikke lenger var observerbare etter fem år, og artene virket da re-vitalisert med en økende dekningsgrad (jfr. **fig. 4.4**). Det ser m.a.o. ut til at forsøket har fanget opp en restituering ("recovery") etter de initiale sviskadene over denne perioden. En slik kort-tids "recovery" av sviskader på sårbarer plantegrupper er såvidt vi kjener til ikke tidligere dokumentert i noe terregenkalkingsforsøk i Norden, bl.a. ser det ut til at recovery vil stedvis ta betydelig lengre tid i terregenkalkingsprosjektene i Suldal og Fleske-Guddal (Arrestad et al. 2003, Brandrud et al. 2001, 2003).

Når det gjelder mosearter, er det observert akutte skader, i form av kontaktskader (svi-effekter) av dolomitt-kalkingen det første året etter kalkning i alle de norske terregenkalkingsprosjektene (jfr. Høiland & Pedersen 1994, Brandrud 2000, Arrestad & Bakkestuen 2001, Brandrud et al. 2001). Videre er skadene størst på torvmoser og større levermoser i alle disse prosjektene. I Gjerstad var imidlertid disse skadene mer beskjedne enn i de andre forsøksområdene, og kun observert på et fåtall arter. Videre er det påtagelig at disse observerte skadene på moseskudd i liten grad gav seg utslag i hyppighetsmål.

Klarest var effekten på levermosen storstylte (*Bazzania trilobata*) som visnet og forsvant fra de få rutene den fantes i kalkingsområdet (arten gikk imidlertid tilbake også i referanseområdet). Re-vitaliserte planter av arten har for øvrig vært observert i kalkingsområdet (utenfor rutene) i 1999, men for denne arten har materialet vært for lite til å kunne fullt ut dokumentere skader og restituering. Andre, store og antatt følsomme levermosearter, som skjeggmosene (*Barbilophozia spp.*) er også sparsomt forekommende, og til tross for enkelte observerte skader ble det ikke registrert noen tilbakegang i rutene (jfr. **tabell 4.2**).

På torvmosene ser det ut til å være en tydelig skade-effekt på artene knyttet til fuktig skog (jfr. **figur 4.4**). Disse artene gikk tilbake i forekomst (målt som prosent-dekning) i de fleste kalkingsrutene i 1996, men alle artene var tilbake med større og frodigere bestander allerede i 1999. Tilsvarende utvikling ble også observert på furumose og enkelte andre bladmøser.

En kan m.a.o. beskrive følgende *skadeutvikling* på følsomme mosgrupper i Gjerstad:

- 1.år etter kalking:** Små skader i form av enkelte misfargete, klorofyllmangler skuddspisser, særlig på torvmosearter.
- 2.år etter kalking:** Skadete skudd stort sett visnet bort, og skadene slår dermed ut i en *redusert dekningsgrad* i analyserutene (inntil en halvering av små torvmose-forekomster).
- 5.år etter kalking** (og med et gunstig, fuktig klima): Skadene virker restituert, og mosene har økt i forekomst, til dels betydelig ut over nivået før kalking (restituering m.h.p. sviskader).

Resultatene for 1994-99 indikerer at moseskadene i den størrelsesordenen som ble observert i Gjerstad, er reversible og hurtig restitueres (med unntak av enkelte små levermose-populasjoner). Det tok tre år fra skadene var målbare (1996) til bestandene virket restituerte med kraftig vekstøkning, selv for torvmosene. Det kan være verdt å merke seg at disse mosene restituerte seg i et gunstig, fuktig klima i perioden 1996-99 (se nedenfor), og at re-estableringen sannsynligvis ville gått langsommere i et ugunstig klima f. eks. med lange perioder med tørkestress.

Hvorfor ble skadene mindre i Gjerstad enn i de andre terrengekalkingsprosjektene? Hovedårsaken er antageligvis at de følsomme artsgruppene (torvmoser, storvokste, eksponerte levermøser) spiller en langt mindre rolle i skogsvegetasjonen i Gjerstad enn i for eksempel Suldal og Flekke-Guddal (jfr. Brandrud et al. 2001, 2003, Arrestad et al. 2003). Faktisk er disse artene så sjeldne, at det kun var én av dem (grantorvrose) som slo ut med en signifikant tilbakegang de første to årene etter kalking i Gjerstad. Går vi disse artene nærmere etter i sømmene, kan skadene her i virkeligheten for enkelte være like store som i Suldal og Flekke-Guddal. I de små grantorvmost-bestandene ble det f. eks. registrert opp til 50% tilbakegang i dekningsgrad. Observasjoner så langt (Arrestad et al. 2003, Brandrud et al. 2003) indikerer at restitusjonen går betydelig saktere i Flekke-Guddal og Suldal enn i Gjerstad. Den raske restitueringen i Gjerstad kan bl.a. skyldes at torvmosene i blåbær-sumpskogen her er mer hurtigvoksende, og ikke danner

større torvsystemer, men bare småflekker som kan ha store, naturlige fluktusjoner. Men utviklingen vil sannsynligvis også være en del klimabetinget (se nedenfor).

Skader på torvmoser er velkjent og veldokumentert fra myr-systemer (Høiland & Pedersen 1994, Røyneland i Aust-Agder; Korsmo et al. 1996, 2001, Fjorda i Oppland; Brandrud 2000, Store Hovvatn i Aust-Agder; Arrestad & Bakkestuen 2001, Arrestad et al. 2003, Flekke-Guddal i Sogn & Fjordane, samt svenske undersøkelser som Staaf et al. 1996, Rafstedt 2000, Pleijel et al. 2001). Derimot er effekter på torvmoser i fuktige (bar)skogstyper mindre kjent og dokumentert. Det foreligger fra tidligere ingen dokumentasjon av denne type lavdose dolomittkalking med små/ubetydelige skader og rask og tilnærmet fullstendig re-establering av mosefloraen, slik det er registrert i feltene i Gjerstad. Etter 5 år tyder alt på at skogstorvmosene i Gjerstad har tålt en kalkdose på 3 tonn grovdolomitt pr. ha, dvs. tiltaket har vært innenfor tälegrensene for de mest sårbarer komponentene i den grønne vegetasjonen.

Negative effekter på levermøser etter kalking er lite dokumentert, men en begynner nå å samle endel erfaring med dette fra pågående kalkingsprosjekter i Vest-Norge, hvor slike moser er mer vanlige (Flekke-Guddal: Arrestad & Bakkestuen 2001, Arrestad et al. 2003; Suldal: Brandrud et al. 2001, 2003). Generelt framtrer levermosen storstylte (*Bazzania trilobata*) sammen med visse torvmoser som den mest kalkingsfølsomme plantearten i de undersøkte skog- og myr-systemer i Norge.

Sviskader/kontaktskader på lav er veldokumentert fra ulike kalkingsprosjekter. Staaf et al. (1996) og Pleijel et al. (2001) påpeker at de fleste svenske prosjekter har funnet negative effekter på lav, og det er i Norge dokumentert betydelige, negative effekter på ulike lavarter på eksponerte svaberg (Tjønnstrond, Telemark: Traaen et al. 1997; Store Hovvatn, Aust-Agder, jfr. Brandrud 2000). Det kan synes som Gjerstad-prosjektet er det første som opererer med en kalktype og en kalkmengde som har gitt små og reversible skader på lav i skogbunnen. Den samlede responsen i de lavrike furuskogsrutene er ikke forskjellig i kalkings- og referansefeltet.

Erfaringene fra Gjerstad, Suldal og Store Hovvatn indikerer at det er en stor fordel å benytte kornet grovdolomitt der finfraksjonen < 0,2 mm er fjernet. Alle prosjekter som inkluderer kalksteinsmjøl har gitt betydelig større (mose)skader, selv ved lavdose (jfr. bl.a. Fjorda Korsmo et al. 1996, 2001).

5.1.2 Mulige indirekte kalkingseffekter 1994-99

Kalkingsprosjektet i Gjerstad har gått over så vidt lang tid (5 år) at det burde være mulig å vurdere eventuelle, mer langsiktige, økologiske effekter av kalkingen. Hovedinntrykket er imidlertid at slike indirekte effekter er lite synlige i materialet. Utviklingen i kalkingsområdet og referanseområdet 1994-99 har i store trekk vært svært lik. Begge feltene har hatt en økning i forekomst og frodigheit av en rekke arter, og det er stort sett de samme artene som går fram i kalkingsområdet som i refe-

ransen. Videre er forflytningsmønsteret mye av det samme i ordinasjonen, det er mye siksak-hesteskomønstre, hvor forflytningen 1995-96 avviker fra de siste årene.

Det er imidlertid en tendens til *større økning* av arter i kalkingsområdet. Dette kan i utgangspunktet se ut som en kalkingseffekt, dvs. en gjødslingseffekt med økt pH/basekationer og eutrofiering som har gitt sterkere vekst i kalkingsfeltet enn ellers. Jordkjemisk vil kalkingen ha som en primæreffekt at elektrolyttinnhold og pH i jordvannet øker, og som sekundæreffekt at omsetning og mineralisering av organisk materiale øker, med økt tilgjengelighet av nitrogen som følge (jfr. bl.a. Eilertsen et al. 1998, Hindar et al. 1999, Högbom et al. 2001). På arts/rutenivå vil følgende effekter være å forvente av dette:

- *økning i pH/Ca-krevende (\pm basifile) brunjordsarter* på bekostning av acidofile råhumusarter (særlig forventet økning av svakt krevende arter i marginale forekomster)
- en *forflytning av rutene mot rikere områder* i ordinasjonsdiagrammet (særlig forventet forflytning av "halvrike" svak lågurt/småbregneskogsruer)
- *økning i \pm nitrofile arter* som blåtopp og andre grasarter på bekostning av saktevoksende lyngarter (gjelder særlig i tynt, næringsfattig jordsmonn som kan nærmere seg nitrogenmetning)

I forsuringssundersøkelser av skog på Sørlandet er det indikert at de største og første endringene skjer i de svakt rikere vegetasjonstypene, med tilbakegang av svakt krevende karplanter i lågurt-småbregneskog som fugletelg (*Gymnocarpion dryopteris*), gaukesyre (*Oxalis acetosella*), tepperot (*Potentilla erecta*) og teiebær (*Rubus saxatilis*) (Økland 1999, Økland & Eilertsen 1996, Framstad et al 2003). Ved kalking skulle man på tilsvarende måte kunne forvente størst endringer i svak lågurt/småbregneskog med semipodsoll og pH i området 4,0-4,5 (dvs. en del ruter i felt 1, 3, 4 og 10). Det er imidlertid i ordinasjonsdiagrammet ikke noen indikasjon på større endringer i disse rutene. Derimot er det i ordinasjonen basert på prosent-deknings-data en tydelig større endring innenfor hele gruppen av rik lågurtskog (pH (4,2)-4,5-5,0). Disse rutene har det første året etter kalking en klar forflytning i retning av rikere områder i ordinasjonen (dvs. mot lavere verdier langs akse 1, og mot høyere verdier langs akse 2; forflytningen langs akse 1 er signifikant for hele gruppen av lågurt-blåbærruter).

På artsnivå er det ingen uforholdsmessig økning av svake lågurt/småbregnearter som fugletelg, tepperot og teiebær over hele perioden 1994-99, men det er en overrepresentasjon av svakt/middels krevende lågurtarter (karplanter; jfr. **tabell 4.1**) som går fram i kalkingsområdet første året. Hele 9 lågurtarter går fram i kalkingsområdet 1994-95 (to signifikant), mens det bare er to utpregete blåbærskogsarter som går fram (jfr. **tabell 4.1**). I referansefeltet er det i samme periode kun tre lågurtarter som går fram. Over hele perioden 1994-99 ser det ut som forskjellene er utvannet, for det første går lågurter så vel som blåbærskogsarter fram, og antall arter som øker er nesten like stort i referanseområdet.

Det kan m.a.o. se ut som lågurtartene/brunjordsartene muligens har hatt en kortvarig vekststimulans det første året etter kalking som følge av økt pH/elektrolyttinnhold og muligens en akutt "næringspuls". Sannsynligvis er denne effekten knyttet til det som var av lettloselig kalsium rett etter spredning, som kun kan ha kommet i kontakt med det aller øverste rotsjiktet siden svært lite endring verken da eller seinere er målt i jordvannet lengre ned i jordsmonnet (jfr. Hindar et al. 1999).

For mosenes del går de fleste artene tilbake det første året. Det andre året og for hele perioden er det imidlertid langt flere arter som går fram i kalkingsområdet enn i referansen. Men her er det ikke mulig å spore noen overrepresentasjon av lågurtarter. Også utpreget nøyssomme/acidofile arter som furumose og de fleste torvmosene går fram, noe som synes lite sannsynlig å være noen kalkeffekt. Det er også store variasjoner innenfor det kalkede området. For eksempel er det registrert kraftig framvekst av blanksigd (*Dicranum majus*) i ett blåbærgranskogsfelt (kalket), mens de tre andre reine blåbærskogsfeltene (ett kalket, to referanse) kun har en liten økning av denne. Denne forskjellen kan muligens forklares av topografiske forhold; feltet med mye økning (felt 6) synes å være mer grunnlendt enn de andre (og litt sesongfuktig), og kan være mer utsatt for tørkestress og svingninger enn de tre andre med dyptere jordsmonn og mer stabile fuktighetsforhold.

Når det gelder en mulig nitrogen-effekt, synes det å være lite å spore. Arter som kan opptre som nitrofile i mager heivegassjon, som for eksempel blåtopp, viser ingen framgang i kalkingsområdet de første to årene. For hele perioden er det ingen overrepresentasjon av nitrofile arter, tvert i mot er det like stor framgang av "nitrofobe" arter som røsslyng. Vi vet imidlertid ikke over hvilken tidshorisont sekundæreffekter pga. økt mineralisering av råhumusen kan opptre. Det er indikasjoner i soppfloraen (kap. 6) at mineralisering og frigjøring av nitrat er økende i råhumusen 6 år etter kalking, og det er således ikke umulig at vegetasjonen kan oppvise en langsiktig eutrofieringsrespons, som ennå ikke er fanget opp i forsøket.

Mer langsiktige, mulige økologiske effekter av kalking i Gjerstad kan dermed oppsummeres slik:

- Endringene i kalkingsområdet er i struktur og retning så like endringene i referansefeltet, at en indirekte kalkingseffekt (eutrofierungseffekt) ser ut til å være liten eller manglende.
- Unntaket kan være rutene i lågurtskog i kalkingsområdet som har hatt en markert forflytning i retning av større rikhet det første året, samtidig som mange lågurtarter (karplanter) har økt (kun) i kalkede ruter. Dette synes å være en effekt av økt pH/Ca i overflaten, muligens med en tilhørende "næringspuls".
- Endring i mosevegetasjonen som følge av økt elektrolytt- og næringstilgang synes å ha uteblitt.
- Endring i karplantefloraen som følge av en eutrofierung/økt nitrogen over tid, synes heller ikke å være påvisbar.

5.2 Referanseområdet: Mulige klimarelaterte endringer

Det er registrert forholdsvis tydelige vegetasjonsendringer i referansefeltet over perioden 1994-99. De tørre røsslyngfuruskogsrutene har nokså entydig beveget seg i en fuktigere retning på ordinansjonsdiagrammet, og det samme er også tilfelle med kalkingsrutene. De fuktigere blåbær-lågurt-rutene har en mindre entydig endring, men også disse har en signifikant flytning langs akse 1 (som i stor grad representerer en tørr-fuktighetsgradient).

Ser en på enkelt-arter, er også endringene tydelige. De fleste artene har hatt en framgang 1994-99, dvs. vegetasjonsdekket har blitt et hakk frodigere og tettere, særlig fra 1996-99. Mest bemerkelsesverdig er enkelte av skogbunnsmosene, som stedsvis har gått kraftig fram.

Det er ingen klare endringer i jordvannskjemi eller jordkjemi (humus) gjennom perioden (Eilertsen et al. 1998, Hindar et al. 1999) som skulle tilsi at vegetasjonsendringene har med redusert forsuring eller andre, jordkjemiske endringer gjennom undersøkelsesperioden. De to følgende faktorene framtrer som de mest sannsynlige hovedårsakene til endringene:

- skoglige suksesjoner (brannsuksesjon, suksesjon etter hogst eller opphør av hevd)
- klimaendringer/fluktuasjoner

Suksesjoner virker lite sannsynlig som hovedårsak, men er vanskelig å se helt bort i fra i et skoglandskap som er under stedsvis betydelig endring pga. endret kulturpåvirkning. Imidlertid er undersøkelsene foretatt i eldre skog som i undersøkelsesperioden ikke har endret seg merkbart m.h.p. skogstruktur. Det er for eksempel ikke registrert bestand i oppløsningsfase med vindfall som kunne gi økt lystilgang, ei heller økt tilgroing. Ett felt (nr. 20) ligger riktig nok i et område med tidligere kulturpåvirkning, trolig tidligere beiteskog, og er også påvirket av en tidvis eroderende flombekk. Dette feltet er imidlertid holdt utenfor analysene pga. overnevnte "støy", samt at dette feltet ikke har noen parallel i kalkingsområdet.

Klimavariasjoner/endringer virker derimot som en sannsynlig hovedårsak til endringene. Framveksten, særlig av moser, har vært mest påtagelig i perioden 1996-99, som faller sammen med en periode med relativt fuktige somre (uten tørkestress; særlig sommeren 1998) og tre milde vintre. Generelt har vinterne vært milde på Sørlandet gjennom hele 1990-tallet (fra 1988; jfr. NMI 1988-2000, Framstad et al. 2003). Slike vintermilde, oseaniske forhold er gunstige for mange mosearter (jfr, bl.a. Økland & Eilertsen 1996, Dahl 1998), og det er også registrert en økning i mosevegetasjonen i flere, andre undersøkelser i Sør- og Vestlandsregionen gjennom 1990-tallet; Gjerstad (1988-93; Økland & Eilertsen 1996), Vennesla og Drangedal (1990-95; Økland 1999), Suldal (1998-2000, Brandrud et al. 2001) og Flekke-Guddal (1997-1999, Aarrestad & Bakkestuen 2001). Noe av moseøkningene på 1990-tallet kan muligens også forklares ved den store mosetilbakegangen med moseskader som ble observert på Sørlandet (bl.a. i Gjerstad)

omkring 1988-89 (trolig relatert delvis til forsuringsepisoden (1988) og delvis til tørkestress (1989); Flatberg et al. 1994).

Det milde klimaet på Sør- og Vestlandet (1988)-1990-2000 antas å være representativt for det "nye" klimaet som antas å ville prege Norge de nærmeste tiårene. De overnevnte undersøkelsene med fokus på Sør- og Vestlandet, sammen med foreliggende undersøkelse, gir sannsynligvis noen av de første, mer entydige indikasjonene på endringer i norsk skogsvegetasjon som følge av et mer nedbørrikt, vintermildt klima. Typisk for denne mulige, første fase av klimaendringer synes å være:

- framvekst/økt frodighet av de fleste arter, men særlig av allerede dominante arter som smyle, blåtopp og lyngarter
- stedsvis kraftig framvekst av en del skogbunnsmoser som blanksigd, etasjehusmose, kystjammemose, kystkransmose m.fl.

Uavhengig av årsakssammenhenger viser de overnevnte undersøkelsene at det bilde som mange trolig har av skogbunnsvgetasjonen i gammelskog som noe urstabilt og statisk faktisk er urettig. Særlig mosevegetasjonen oppviser store variasjoner og svingninger.

6 Endringer i soppfloraen 1994-2000

For hele analyseperioden er det registrert 234 storsopparter i analyserutene, fordelt på 134 mykorrhizasopper (inklusive rødsrikesopper *Entoloma* av underslekt *Entoloma*) og 100 saprofyter. Begge disse hovedgrupperne av storsopper var inkludert i undersøkelsene 1994-96, mens registreringene i 2000 ble begrenset til mykorrhizasopper. En del resultater fra de tre første års registreringer er referert hos Eilertsen et al. (1996, 1997).

6.1 Mykorrhizasopp

Mykorrhizasopper, dvs. arter som danner symbiose med (fin)røtter av skogstrær, er antatt å være en av de mer følsomme organismegruppene overfor skogsgjødsling, særlig med nitrogen, men også overfor skogskalking (Ohenoja 1988, Kuyper 1988, 1989, Pleijel et al. 2001). Denne gruppen er derfor fokusert i den foreliggende undersøkelsen.

Mykorrhizasoppfloraen var dominert av slørsopper (*Cortinarius*) som utgjorde knapt 30% av artene (42 arter). Videre ble det registrert mange kremler (*Russula*; 20 arter) og risker (*Lactarius*; 14 arter).

Soppsesongene var noe varierende m.h.p. fruktlegemeproduksjon, med en moderat soppsesong før kalking i 1994 (relativt dårlig for mykorrhizasopp), en dårlig sesong i 1995, en moderat sesong i 1996, og en relativt god sesong i 2000. I 2000 hadde riktignok de fuktigste rutene en dårlig fruktifisering, fordi de tidvis lå under vann.

Det ble registrert nesten 5 ganger så mange sopp (målt som antall småruteforekomster) i referansefeltet i år 2000 i forhold til 1994, men artsantallet var ikke så forskjellig (37 arter i 1994 mot 49 i 2000; jfr. figur 6.1, 6.2).

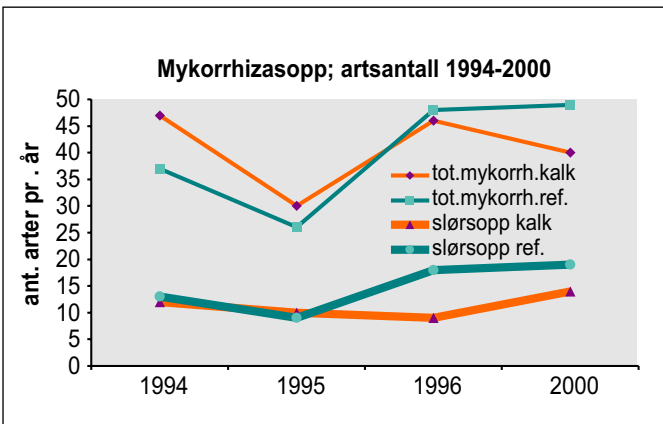
6.1.1 Forskjeller mellom kalkings- og referanseområdet

Mens referansefeltet hadde en større fruktlegemeproduksjon i 1996 og betydelig større i 2000 i f. t. 1994, så hadde kalkingsfeltet nesten ikke noen økning i samme periode (figur 6.2).

Særlig er det blant de antatt forurensningsfølsomme/gjødslingsfølsomme gruppene som slørsopp (*Cortinarius*) en relativt sett betydelig nedgang i fruktlegemeforekomster i kalkingsområdet. I 1994 (før kalking) var antall fruktlegemeforekomster noe høyere i kalkingsrutene enn i referansen, mens det i 1996 og i 2000 var h.h.v. litt lavere og betydelig lavere antall småruteforekomster i kalkingsfeltet (figur 6.2). I referanseområdet var småruteforekomstene nærmest 10-doblet fra 1994 til 2000. Det var m.a.o. en god slørsoppsesong i distriktet i 2000, likevel ble det registrert en uforandret fruktlegemeproduksjon i kalkingsfeltet i år 2000 i f. t. 1994. Sett i f.t. referansen, er fruktlegemeforekomstene av slørsopp i kalkingsfeltet kun en tidel av forventet i 2000.

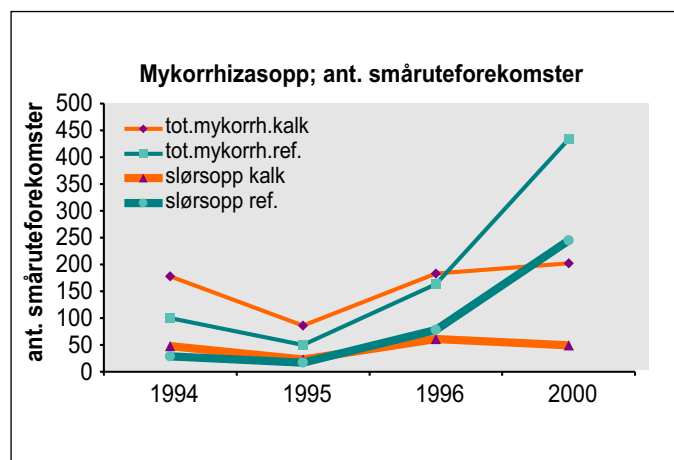
Også kremlene (*Russula*), en annen, artsrik gruppe viser samme trend. Her er også småruteforekomstene nærmest ti-doblet 1994-2000 i referanseområdet, mens kalkingsfeltet bare har en dobling.

En gruppe på 35 arter kan betegnes som næringskrevende brunjordsarter, knyttet til lågurtskog eller rik sumpskog (hu-



Figur 6.1

Antall arter registrert i kalkingsrutene versus referansen 1994-2000 (dvs. fruktifiserende arter). Øverst totalt antall mykorrhizasopp pr. år pr. område (10 felter/storruter, 450 m²), nederst antall arter av slørsopp (*Cortinarius*). - Number of species recorded in the limed plots versus the reference plots 1994-2000 (only fruit-body-producing species included). Above total number of mycorrhizal species per year per site (10 macroplots, 450 m²), below number of species of *Cortinarius*.



Figur 6.2

Antall småruteforekomster av mykorrhizasopp i kalkingsrutene versus referansen 1994-2000 (dvs. fruktlegeme-forekomster). Øverst: alle arter; nederst: forekomster av slørsopp-arter (*Cortinarius*). - The fruit-body frequency (measured as number of microplots with presence of each species) of mycorrhizal fungi in the limed plots versus the reference plots 1994-2000. Above: all species, below: species of *Cortinarius*.

mus pH > 4,0). Denne gruppen hadde en annen utvikling enn de nøy somme artene knyttet til blåbær- og røsslyngskog (**figur 6.3, 6.4**). Her er tidsutviklingen relativt parallel i de to feltene 1994-96. Det er faktisk en økning av småruteforekomstene i kalkingsområdet i f. t. referanseområdet i 1996 (**figur 6.4**), men siden det delvis er forskjellige lågurtskogsarter som opptrer i de to feltene er denne trenden ikke entydig. Hvis en ser bare på de lågurtskogsartene som opptrer i kalkingsfeltet, har disse hatt en dobling i småruteforekomster både i kalkings- og referanseområdet 1994-96. For år 2000 er det en relativt sett betydelig økning i kalkingsfeltet (**figur 6.3, 6.4**). Denne forskjellen kan imidlertid skyldes tilfeldige, sesongmessige forskjeller, da deler av de rike, fuktige rutene periodevis var oversvømmet i 2000.

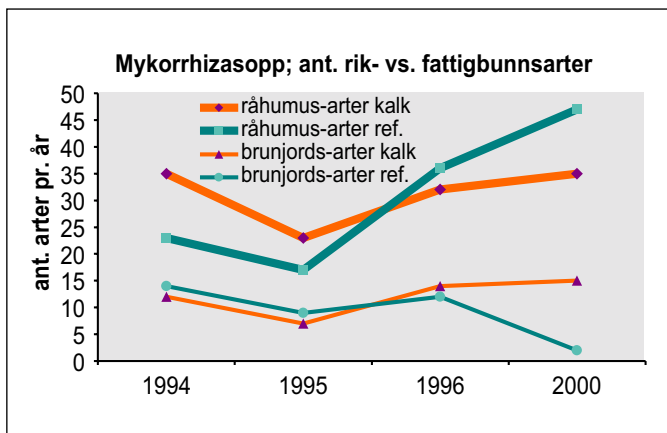
På arts nivå er trendene mer usikre, fordi mange av artene hadde svært få eller ingen fruktlegeme-forekomster i 1994 før kalking. Av arter med forekomst før kalking, kan nevnes de dominante slørsoppartene jodslørsopp (*Cortinarius obtusus*) og mørkbrun slørsopp (*C. brunneus*). Disse har begge hatt en kraftig økning i referanseområdet, mens de har hatt en tilbakegang i kalkingsområdet, - til tross for en bra slørsoppsesong 2000 (**tabell 6.1**).

Bemerkelsesverdig er de store forekomstene av rødkivekanelslørsopp (*C. semisanguineus*) og sennepsslørsopp (*C. croceus*) i referansefeltet i 2000, mens disse artene ikke ble funnet i kalkingsfeltet (heller ikke før start kalking). Vi vet derfor ikke om disse artene hadde færre og mindre mycel-forekomster i utgangspunktet i kalkingsområdet. Imidlertid er det en rekke ar-

ter som ikke ble funnet i 1994 som har hatt en stor fruktlegemeproduksjon i år 2000 i referansen, - og ikke i kalkingsfeltet (oransjeslørsopp, rødbrun pepperriske, dufriske, hulriske; **tabell 6.1**). Dette er vanlige arter i de skogtypene som her er undersøkt, og under normale omstendigheter i et godt soppår er det sannsynlig at disse ville hatt en høy småruteforekomst også i kalkingsrutene.

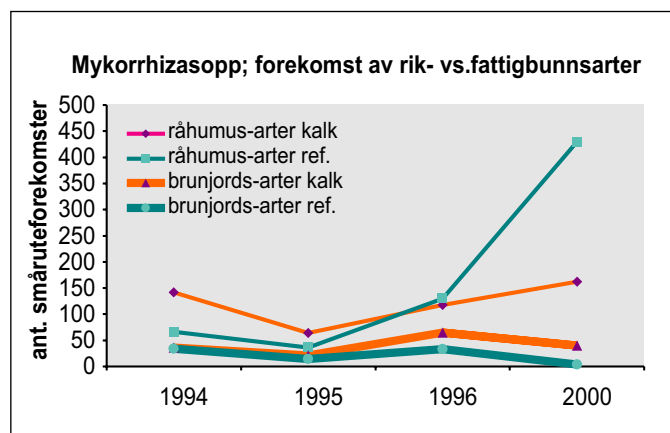
Enkelte arter viser en tilsvarende utvikling i de to områdene. Det klareste eksemplet på dette er traktkantarell (*Cantharellus tubaeformis*), som hadde større forekomster både i kalkings- og referanseområde før kalking, **tabell 6.1**). I store trekk har denne arten hatt en jevn og uforandret småruteforekomst 1994-2000 i begge felter, riktignok med noe økning i referansen i 2000. Også lågurtskogsarten skjeggmusserong (*Tricholoma vaccinum*) har en jevn fruktlegemeproduksjon i kalkingsområdet (bortsett fra 2000 da forekomstene var periodevis oversvømmet).

Flere enkeltarter har hatt en økning i kalkingsområdet i forhold til referansen. Dette gjelder særlig svabergfuruskogsartene furutårekremle (*Russula sardonia*) og matriskearten *Lactarius quieticolor*, dessuten pionérarten vanlig lakssopp (*Laccaria laccata*) (**tabell 6.1**). Videre er det flere lågurtskogsarter som ser ut til å gå fram etter kalking; lumsk rødkivesopp (*Entoloma rhodopodium* coll.), kakaoreddiksopp (*Hebeloma edurum*) og rødgul pigg-sopp (*Hydnus rufescens*).



Figur 6.3

Antall arter registrert i kalkingsrutene versus referansen 1994-2000 (dvs. fruktifiserende arter). Øverst: antall nøy somme råhumus-arter (blåbær-røsslyngskogsarter); nederst: antall kravfulle arter knyttet til brunjord/rik sumpjord (lågurtskogsarter). Artsantall pr. år pr. område (å 10 felter/storruter, til sammen 450 m²). - Number of mycorrhizal species recorded in the limed plots versus the reference plots 1994-2000 (only fruit-body-producing species included). Above number of acidophilous raw humus species (in Vaccinium-Calluna forest types), below number of more basiphilous brown earth soil species (in low-herb forest types).



Figur 6.4

Antall småruteforekomster av mykorrhizasopp i kalkingsrutene versus referansen 1994-2000 (dvs. fruktlegeme-forekomster). Øverst: forekomster av nøy somme arter knyttet til råhumus (blåbær-røsslyngskogsarter); nederst: forekomster av kravfulle arter knyttet til brunjord/rik sumpjord (lågurtskogsarter). - The fruit-body frequency (measured as number of microplots with presence of each species) of mycorrhizal fungi in the limed plots versus the reference plots 1994-2000. Above number of acidophilous raw humus species (in Vaccinium-Calluna forest types), below number of more basiphilous brown earth soil species (in low-herb forest types).

Tabell 6.1

Sopper med høy frekvens, samt med en tydelig avvikende utvikling i forekomst i kalkingsområdet i f. t. referanseområdet. Tallene angir forekomst i antall småruter á 1m₂ (av tilsammen 900). kalk eff(ekt) = relativ fram- eller tilbakegang i kalkingsområdet i f. t. referansen; ÷÷ (markert, relativ tilbakegang) bare gitt til arter med > 4 småruteforekomster før kalkning i 1994. - Fungal species with high plot frequency, and a distinctly deviating trend in the limed area versus the reference. The numbers indicate occurrence in 1 m₂ micro-plots(n = 900). kalk eff(ekt) = relativ fram- eller tilbakegang i kalkingsområdet i f. t. referansen; ÷÷ (markert, relativ tilbakegang) bare gitt til arter med > 4 småruteforekomster før kalkning i 1994.

| | | kalk eff. | kalk 94 | kalk 95 | kalk 96 | kalk 2000 | ref. 94 | ref. 95 | ref. 96 | ref. 2000 |
|------------------------|-------------------------------------|--------------|------------|------------|------------|--------------|------------|------------|------------|--------------|
| mykorrhizasopp: | | | | | | | | | | |
| Kantarell | <i>Cantharellus cibarius</i> | + | 1 | 1 | 4 | 5 | - | - | - | - |
| Traktkantarell | <i>Cantharellus tubaeformis</i> | | 20 | 15 | 2 | 15 | 9 | 8 | 7 | 14 |
| Okerskjellet slørs. | <i>Cortinarius angelesianus</i> | ÷ | - | - | - | - | - | - | 6 | 10 |
| Mørkbrun slørs. | <i>Cortinarius brunneus</i> | ÷÷ | 5 | 5 | 4 | 2 | 4 | 3 | 2 | 24 |
| Sennepsslørsopp | <i>Cortinarius casimiri</i> | + | 1 | 1 | 2 | 6 | 1 | 1 | - | - |
| Pelargoniumslørs. | <i>Cortinarius croceus</i> | ÷ | - | - | - | - | - | - | - | 22 |
| Oransjeslørsopp | <i>Cortinarius flexipes</i> | | - | - | 12 | 15 | 1 | - | 10 | 32 |
| Oransjeslørsopp | <i>Cortinarius limonius</i> | ÷ | - | - | - | 1 | - | - | - | 18 |
| Jodslørsopp | <i>Cortinarius obtusus</i> | ÷÷ | 23 | 9 | 32 | 6 | 5 | 3 | 37 | 45 |
| Spiss giftslørsopp | <i>Cortinarius rubellus</i> | | 1 | - | 3 | 5 | - | - | - | 8 |
| Grønnskiveslørs. | <i>Cortinarius scaurus coll.</i> | ÷ | 3 | 1 | - | 1 | - | - | 1 | 4 |
| Rødkiveslørs. | <i>Cortinarius semisanguineus</i> | ÷ | - | - | - | - | - | - | - | 45 |
| Bitter slørsopp | <i>Cortinarius vibratilis</i> | | - | - | - | - | - | - | 3 | 8 |
| Lutrødkivesopp | <i>Entoloma nidorosum</i> | + | 8 | 8 | 18 | 11 | 6 | 2 | 1 | 2 |
| Kakaoreddiksopp | <i>Hebeloma edurum</i> | + | - | - | - | 7 | - | - | - | - |
| Rødgul piggsopp | <i>Hydnum rufescens</i> | | 1 | - | 1 | 5 | 3 | - | 6 | - |
| Mørkprikket vokss. | <i>Hygrophorus pustulatus</i> | | - | - | 2 | 2 | - | - | 13 | - |
| Lakssopp | <i>Laccaria laccata</i> | + | 2 | 5 | 13 | 25 | 1 | - | - | - |
| Duftriske | <i>Lactarius camphoratus</i> | ÷ | - | - | - | 8 | - | - | 1 | 36 |
| Lakrisriske | <i>Lactarius helvus</i> | ÷ | - | - | - | - | - | - | 1 | 6 |
| Matriske-gruppen | <i>Lactarius quieticolor</i> | + | - | - | - | 12 | - | - | - | - |
| Rødbrun pepperr. | <i>Lactarius rufus</i> | ÷ | - | - | 1 | - | - | - | - | 8 |
| Hulriske | <i>Lactarius trivialis</i> | ÷ | - | - | - | 1 | - | - | - | 10 |
| Gulrød kremle | <i>Russula decolorans</i> | | - | - | - | 6 | - | - | 1 | 8 |
| Giftkremle | <i>Russula emetica</i> | ÷÷ | 5 | 1 | 1 | 2 | 1 | 1 | - | 24 |
| Storkremle | <i>Russula paludosa</i> | ÷ | 1 | 1 | - | - | - | - | - | 7 |
| Mild frøkenkremle | <i>Russula puellaris</i> | | 2 | 2 | - | - | 4 | 2 | 6 | - |
| Grantårekremle | <i>Russula queletii</i> | + | 1 | - | 4 | - | - | - | - | - |
| Lakkremle | <i>Russula rhodopoda</i> | | 1 | - | - | 5 | - | - | - | 5 |
| Furutårekremle | <i>Russula sardonia</i> | + | - | - | 7 | 13 | - | - | 1 | 4 |
| Sandsopp | <i>Suillus variegatus</i> | | 2 | 1 | - | - | 13 | 1 | - | 10 |
| Skjeggmusserong | <i>Tricholoma vaccinum</i> | | 8 | 4 | 7 | 1 | - | - | - | - |
| saprofytter: | | | | | | | | | | |
| Kritttraktsopp | <i>Clitocybe candicans</i> | ++* | 3 | 3 | 2 | !* | 12 | 6 | 4 | |
| Rustoker grynhatt | <i>Cystoderma jasonis</i> | ÷ | 1 | - | - | - | - | - | - | 19 |
| Dunklokkehatt | <i>Galerina atkinsoniana</i> | ÷÷ | 7 | 11 | 1 | | 8 | 18 | 31 | |
| Moseklokkehatt | <i>Galerina hypnorum</i> | ÷÷ | 15 | 6 | 14 | | 9 | 10 | 80 | |
| Lyngseigsopp | <i>Marasmius androsaceus</i> | | 105 | 80 | 79 | | 196 | 129 | 165 | |
| Grannålseigsopp | <i>Marasmius wettsteinii</i> | + | 17 | 13 | 23 | | 13 | 7 | 5 | |
| Løvseigsopp | <i>Marasmius epiphylloides</i> | + | 10 | 10 | 33 | | - | - | 2 | |
| Melkehette | <i>Mycena galopus</i> | ÷ | 41 | 28 | 40 | | 38 | 35 | 85 | |
| Frosthette | <i>Mycena metata</i> | ÷ | 12 | 9 | 11 | | 14 | 12 | 43 | |
| Slimhette | <i>Mycena rorida</i> | | 78 | 118 | 16 | | 85 | 123 | 18 | |
| Rosehette | <i>Mycena rosella</i> | | 5 | 4 | 23 | | 11 | 10 | 78 | |
| Kantblodhette | <i>Mycena sanguinolenta</i> | ÷÷ | 38 | 4 | 7 | | 19 | 12 | 17 | |
| Blåbærhette | <i>Mycena septentrionalis</i> | ÷ | 37 | 113 | 44 | | 53 | 78 | 105 | |
| Melhette-gruppen | <i>Mycena cineroides</i> | ÷ | - | - | 61 | | - | - | 173 | |

*store forekomster i kalkingsområdet i 1999 og 2000

6.1.2 Utvikling i de enkelte vegetasjonstyper

Røsslyng-lavfuruskog

Disse typene er representert i to (nabo)felter hver i kalkingsområdet (FU 7 og 8) og referanseområdet (SP 1 og 2). Begge parallellene er plassert på grunnlende høydedrag med svært lik vegetasjonssammensetning. Det ble registrert meget få arter her i 1994 før kalking, slik at det er vanskelig å vurdere hvor like disse parallelene i utgangspunktet er soppmessig. I 2000 var det et bra soppår i svabergfuruskogene, og mykorrhizasoppfloraen var da bemerkelsesverdig forskjellig i de to områdene.

Vanligste arter i referanseområdet i 2000 var rødkivekanelslørsopp (*Cortinarius semisanguineus*) og sennepslørsopp (*C. croceus*) – vanlige arter i furuskog, som begge totalt manglet i kalkingsområdet. I det sistnevnte ble imidlertid lista toppet av furutårekremle (*Russula sardonia*) (også et par funn i referansefelt) og matriskearten *Lactarius quieticolor*, begge med 12 småruteforekomster hver. Videre var det kraftig økning av kantarell (*Cantharellus cibarius*) gjennom perioden fra beskjeden forekomst i 1 m²-rute før kalking til 5 ruter og et stort antall fruktlegemer i 2000. Dette er en art som er typisk for fuktigere skogtyper enn dette og bare unntaksvise forekommer så tørt som i lavfuruskog. I tillegg var det flere funn av frostvokssopp (*Hygrophorus hypothejus*) (kun) i referansen (SP 2) i 1996. Arten fruktifiserer sjeldent uten forutgående frost og uteble helt den milde høsten 2000. De generelt vanlige furuskogsartene rødbrun pepperriske (*Lactarius rufus*) og storkremle (*Russula paludosa*) er også bare observert i referanseområdet i 2000.

Blåbærgranskog

Selv om de tidligere års registreringer gir et spinkelt grunnlag, framgår også i denne typen betydelige forskjeller i utvikling mellom de to områdene. Sammenliknbare felter er kalkingsrurene FU 1 (øvre del), 2 og 6, og referanserutene SP 4, 8 og 9. Flere arter viste en markert økning og hadde et stort antall forekomster i referansefeltet i 2000 i forhold til de tidligere årene, mens for kalkingsfeltet var det en synkende eller uklar tendens. Det gjelder først og fremst jodslørsopp (*Cortinarius obtusus*), mørkbrun slørsopp (*C. brunneus*) og delvis også duftriske (*Lactarius camphoratus*) og giftkremle (*Russula emetica*). De for året nyregistrerte artene oransjeslørsopp (*Cortinarius limonius*) og okerskjellet slørsopp (*C. angelesianus*) hadde stedvis høye tall i referanseområdet, men glimret mer eller mindre med sitt travær i ruter med tilsvarende økologiske forhold i kalkingsområdet. Surbunnsartene spiss giftslørsopp (*Cortinarius rubellus*) og traktkantarell (*Cantharellus tubaeformis*) viser imidlertid en mer likeverdig utvikling i begge områder.

Rikere vegetasjonstyper

Noen mer krevende arter som ble registrert i Fugleliåsen (kalkingsområdet) før kalking i 1994 har manglet eller gått kraftig tilbake siden. Det gjelder brun fluesopp (*Amanita regalis*) og pepperrørsopp (*Chalciporus piperatus*), som fruktifiserte i et større antall ruter i FU 4, dessuten skjeggmusserong (*Tricholoma vaccinum*) som først og fremst hadde sterkt nedgang i 2000. De to første er typiske seinsommerarter som kan ha

uteblitt i 2000 fordi soppesongen på Sørlandet startet relativt sent dette året. Det samme gjelder også for enkelte kremlearter registrert tidligere. Skjeggmusserong kan ha blitt redusert i 2000 pga. tidvis oversvømmelse av forekomsten.

6.1.3 Rødlisterarter og andre sjeldne arter

Fem rødlisterarter er registrert i analyserutene (tall angir felt/storrutenr.):

Cortinarius anthracinus (karminslørsopp) (R) – SP 7 (1996), FU 10 (2000),
Cortinarius lustratus (hvit melslørsopp) (V) – SP 7 (1994),
Phellodon niger (svartsølvigg) (V+) – SP 3 (2000),

Russula amethystina (amethystkremle) (V+) – FU 4,6,9 (1996)

Sarcodon versipellis (gulbrun storpig) (V+) – SP 9 (1994)
(V = sårbar, R = sjeldent, V+ = hensynskrevende)

De fleste av artene er funnet i lågurtgranskog, et par også i bærlyng/lavfuruskog. Videre er det registrert flere regionalt sjeldne lågurtgranskogsarter som her er nær sin sørvestgrense; fagerbrunpig (Hydnellum geogenium), duftbrunpig (H. suaveolens).

Nedenfor følger kommentarer til enkelte av de sjeldne, kritiske og lite kjente arter:

Cortinarius lustratus (hvit melslørsopp) er oppført som en sårbar art på den norske rødlista for sopparter i Norge (Bendiksen et al. 1998). Det dreier seg om en lett kjennbar art (hvit og med typisk mellukt) i underslekt *Phlegmacium*, som er funnet i flere europeiske land, men som synes svært sjeldent i hele sitt utbredelsesområde. I Norge er den nå observert på 5 lokaliteter (Aust-Agder og Telemark) i nyere tid, samt at det er to usikre lokaliteter fra Vestlandet på 1800-tallet. I Norge er arten knyttet til nemoral – boreonemoral blandingsskog med mest gran og eik, og på flere av lokalitetene kan det synes å være eika som den danner mykorrhiza med. Dette treslaget var også spredt til stede i den vestlige delen av referanseområdet, hvor arten ble funnet. Her vokser den i eldre, litt rikere naturskog dominert av gran. Lokalitetens øvrige kvaliteter (inkludert tilliggende forekomst av intermediær sumpskog) kombinert med forekomst av denne arten tilsier at området også på lengre sikt bør avsettes som nøkkelmetop, og bør inkluderes i MiS- Miljøregistreringer i skog.

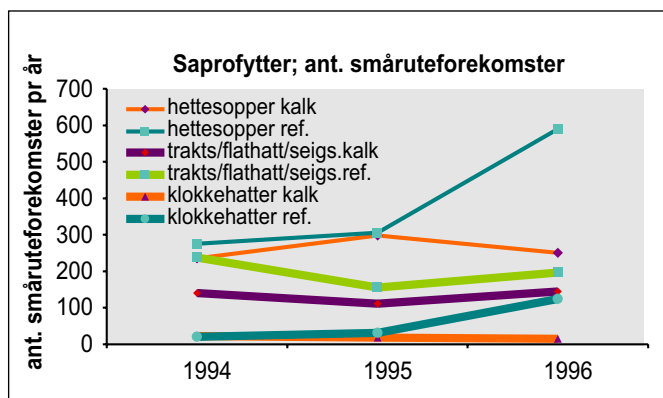
Cortinarius licinipes er en stor og delvis knippevoksende art i underslekt *Telamonia*, blant annet karakterisert ved en velutviklet ringsone på stilken. Arten synes å være den samme som tidligere er rapportert fra Lunner i Oppland, under navnet *C. cf. humilior* (Bendiksen 1980). For øvrig synes det å dreie seg om en "glemt" art som ikke har vært omtalt i Norden etter Fries, som har en god plansje av arten (Fries 1877-84). Muligens kan den være blandet med liten glimmerslørsopp (*C. biformis*) og aprikossłørsopp (*C. armeniacus*), men på grunnlag av den karakteristiske ringsonen på stilken og at denne soppgruppen er godt studert i Skandinavia, synes arten å være sjeldent. Den ble funnet i Spjotåsen, SP 3, i bærlyng-barblandingsskog dominert av furu og dominans av blåbær (/tyttebær), 2 analyseruter (tro-

lig samme individ), ca 5 m fra forekomst av svartsølvpigg (*Phellodon niger*), nevnt ovenfor.

Lactarius quieticolor, diskutert ovenfor, fra lavfuruskog, FU 7 (se også diskusjon i 7.1.1). Denne tilhører seksjon matriske (*Dapetes*), og forekomst av arten i Norge har ikke vært kjent før sept. 2000, da danske eksperter på slekten identifiserte den under Nordisk Mykologisk Kongress i Sogndal. Arten har obligat (tvungen) mykorrhiza med furu og anslås som "lokalt temmelig vanlig på sur og våt, ofte sandig jord..." hos Heilmann-Clausen et al. (1998). Det ser ut som arten har en vid utbredelse i allfall på Sør- og Vestlandet, og den må tilsligere ha vært forvekslet med furumatriske (*Lactarius deliciosus*), og i barblandingsskog evt. også med granmatriske (*L. deterrimus*). De to nevnte arter er imidlertid begge næringskrevende og mangler i sure barskogstyper. At det ikke tilsligere er rapportert noen matriskeart i fattig furuskog indikerer at arten kan mangle i de sentrale barskogsområder i innlandet som er bedre undersøkt. (Furumatriske er kjent som en næringskrevende art, særlig knyttet til kalkfuruskog.) Et mulig norsk navn kunne være *lyngmatriske*, eventuelt *glatt furumatriske*.

6.2 Saprofytter

Soppfloraen av saprofytter (først og fremst strønedbrytere og vedboende arter) ble registrert i 1994, 95 og 96. Som for mykorrhizasoppfloraen var artsantall og fruktlegeme-forekomst i referanse-rutene noe større i 1996 enn de foregående år, pga. en god seinhøst-sesong.



Figur 6.5

Antall småruteforekomster av saprofytter i kalkingsrutene versus referansen 1994-2000 (dvs. fruktlegeme-forekomster). Øverst: forekomster av strønedbrytende arter av hettessopp (*Mycena*); dernest andre, viktige grupper av strønedbrytere (traktsopp *Clitocybe*, flathatter *Collybia* og seigsoppr *Marasmius* og *Microomphale*); nederst: bryophile klokkehatter (*Galerina*). The fruit-body frequency (measured as number of microplots with presence of each species) of saprotrophic fungi in the limed plots ("kalk") versus the reference plots 1994-2000. From above downwards: occurrence of litter-decomposing species of *Mycena* ("hettessopper"), then other, important litter-decomposers (*Clitocybe*, *Collybia*, *Marasmius* and *Microomphale*), and finally bryophilous *Galerina* spp ("klokkehatter").

For enkelte store grupper av saprofytter ble det som for mykorrhizasoppene registrert en relativt sett nedgang i artsantall og fruktlegeme-forekomst i kalkingsrutene i f. t. referansen (figur 6.5), men forskjellene var gjennomgående mindre enn for sistnevnte. Den største forskjellen ble registrert for gruppen av moselevende (bryofile) klokkehatter (8 arter), dominert av de moseklokkehatt (*Galerina hypnorum*) og dunklokkehatt (*Galerina atkinsoniana*). Denne gruppen oppviste som helhet en svak tilbakegang i kalkingsområdet 1994-96, mens gruppen i samme periode hadde en 6-dobling i referanseområdet (se også Eilertsen et al. 1997).

Strønedbryterne utgjør den største gruppen av saprofytter. Her var tidsutviklingen noe forskjellig i ulike slekter. Den største slekten hettesopp (*Mycena*) oppviste en tilbakegang i kalkingsrutene i f. t. referansen i 1996 (figur 6.5), mens de andre, viktige gruppene (slekten traktsopp *Clitocybe*, flathatt *Collybia* og seigsopp *Marasmius* inkl. *Microomphale*) tilsammen hadde en svært lik utvikling i de to områdene. På artsnivå hadde de dominerende artene lyngseigsopp (*Marasmius androsaceus*) og slimhette (*Mycena rorida*) en helt tilsvarende utvikling i de to områdene, mens de fire viktige hettesoppene melkehette (*M. galopoda*), frosthette (*M. metata*), kantblodhette (*M. sanguinolenta*) og blåbærhette (*M. septentrionalis*) hadde en klar tilbakegang i kalkingsrutene i f. t. referansen.

I 1999 og 2000 ble det observert en rekke forekomster av den kravfulle, iøynefallende kritt-traktsoppen (*Clitocybe candicans*) i røsslyng- og blåbærskog i kalkingsområdet. I 1999 ble det registrert anslagsvis 8-10 forekomster (omtrent 50 fruktlegemer), mens det ikke ble observert noe i referansen. I 2000 ble det like nedenfor kalkingsrute 31 funnet store mengder av arten. Det ble observert hele ca 140 fruktlegemer, dels på rekke. Arten er en typisk indikator for rike skogtyper, bl.a. lågurtgranskog (Bendiksen, in prep.) og den er ikke registrert i noen av de tidligere soppøkologiske undersøkelsene foretatt i fattig furuskog (arbeider referert i innl.kpt. hos Bendiksen et al. 2004). Like ved (10 cm vest for rute 31) vokste også reddikhette (*Mycena pura*) som ytterst sjeldent er funnet i fattig barskog. Ingen av disse ble observert her i 1994, som var et brukbart år for saprofyttsopper.

6.3 Vurdering av kalkingseffekter

6.3.1 Mykorrhizasopp

Mykorrhizasoppfloraen knyttet til blåbær- og røsslyngskogsrutene viser en klar tendens 1994-2000, med en synkende fruktlegeme-forekomst i kalkingsområdet i forhold til referanseområdet. Forekomstene i kalkingsrutene i 2000 var kun en tiendedel av forventet når det gjelder den antatt forurennings/gjødslingsfølsomme gruppen slørsopper (*Cortinarius*) (jf. figur 6.2). Denne trenden gjelder alle de større slektene, og hele gruppen av råhumus-arter knyttet til fattig blåbær-røsslyngskog.

Denne utviklingen i mykorrhizasoppfloraen i fattig råhumus-skog framtrer som den klareste kalkingseffekten i skogøkosy-

stemet i Gjerstad. Endringene er (i) såvidt markerte (90% relativ nedgang i følsomme grupper), og (ii) gjelder såvidt store artsgrupper, at disse neppe kan være tilfeldige på gruppenivå, selvom usikkerheten kan være større på artsnivå (se kap. 6.3.3). Videre er det ikke andre utviklingstrekk/påvirkningsfaktorer i Gjerstad 1994-2000 som skiller seg mellom de to områdene (m.h.p. blåbær/røsslyng-skog) som skulle kunne forklare denne negative utviklingen, slik at kalkingen synes å være den eneste mulige forklaringen på endringene.

Det er påtagelig at det er først ved re-analysen som dekker perioden 2-6 år etter kalkning at denne kalkingseffekten framtrer tydelig. På følsomme grupper som slørsopp (*Cortinarius*) synes det å være en begynnende, negativ trend allerede etter 2 år (1996), men denne er markert først etter 6 år. Denne forsinkede responsen ("lag-time") indikerer at man her har å gjøre med sekundær-effekter knyttet til forhøyet pH/Ca i jorda, eller en økt omsetning/mineralisering av humus som følge av dette (eutrofiering).

Det er først og fremst fruktlegeme-produksjonen som har gått ned (i forhold til referansen) etter kalkning. Artsantallet er i mindre grad berørt. Dette er et trekk man har sett også i en rekke andre gjødslings- og forurensningsexperimenter; at fruktlegemeproduksjonen er sterkt følsom overfor enkelte typer påvirkninger.

Undersøkelser med nitrogen-gjødsling/nitrogenbelastning indikerer at fruktlegeme-produksjonen i blåbær/røsslyngskog er særlig sårbar overfor periodevis N-metning/N-lekkasje i jordmonnet (jfr.bl.a. Brandrud & Timmermann 1998), og i kalkingsforsøk har man også knyttet tilbakegang av fruktlegeme-produksjon til mobilisering av inorganisk nitrogen (ammonium og nitrat; mineralisering) (Hora 1959, Wästerlund 1982, Kuyper 1988, 1989, Kuyper & de Vries 1990, Høiland 1994). Fruktlegeme-inhiberingen forklares videre ved at det mobiliserte nitrogenet bindes i trærnes finrøtter som proteiner og "bruker opp" karbohydratreserven som soppen er avhengig av for å kunne danne fruktlegemer (jfr. Brandrud & Timmermann 1998).

En slik sekundær nitrogen-effekt virker som en sannsynlig forklaring på nedgangen i fruktlegeme-produksjonen i Gjerstad. Selvom det er registrert svært små og få signaler på sekundære eutrofierungseffekter av kalkingen i Gjerstad, ble det fra 1996 registrert en periodevis økning av nitrat-innholdet i avrenningsvannet fra kalkingsnedbørfeltet (Hindar et al. 1999). Dette indikerer periodevis nitrogen-metning og nitrogen-lekkasjer. Den betydelige fruktlegeme-reduksjonen kan indikere at det meste av det mineraliserte nitrogenet fanges opp av trærne i mykorrhiza-rotmatten i bunnen av strøsjiktet der kalkkornene ligger. Med andre ord, den antatte økte mineraliseringen etter kalkning kan være større enn signalene i jordvann og avrenningsvann tilsier, men at dette fanges i det tette nitrogen-kretslopet som preger næringsfattig skog med råhumus. I råhumus med sterk knapphet på nitrogen har mykorrhizasoppene evnen til å nedbryte og å ta opp enkle proteiner fra nålene, - slik at trærne direkte "spiser sine egne nåler".

Det er også verdt å merke seg at den negative effekten på mykorrhizafloraen er begrenset til råhumus. For artene knyttet til brunjorda/sumpjorda i de rike vegetasjonstypene er fruktlegeme-produksjonen uforandret eller den synes for enkelte å være økende etter kalkning. I disse jordsmønnstypene er innholdet av inorganisk nitrogen langt høyere enn i råhumus-typene (jfr. Dahl et al. 1967), og artene er sannsynligvis tilpasset et helt annet N-regime.

Undersøkelser av mykorrhiza-soppfloraen nede i bakken, dvs. m.h.p. mycel og mykorrhizarøtter, viser at artssammensetningen og dominansforhold her i langt mindre grad blir berørt av økt forekomst av inorganisk nitrogen enn fruktlegeme-produksjonen (jfr. bl.a. Brandrud & Timmermann 1998, Jonsson et al. 2000). Dette indikerer at den negative effekten av N-mobiliseringen kan være forbipående og reversibel. Imidlertid kan man tenke seg at en drastisk fruktlegeme-reduksjon på lang sikt kan føre til tap av mangfold pga. mangel på spredning. Siden de fleste artene fortsatt ble registrert med fruktlegemer (selv om produksjonen var sterkt redusert) i Gjerstad, virker det sannsynlig at effektene her vil være reversible, og at de langsomt vil avta ettersom kalkhorisonten synker ned i råhumusmatten under den mest aktive, tette mykorrhizarotmatten (jfr. Brandrud & Timmermann 1998). En kan imidlertid merke seg at en av de viktigste, økologiske argumentene mot en storskalig skogskalking i Sverige nettopp har vært frykten for skader på mykorrhizasystemet (Staaf et al. 1996, Pleijel et al. 2001), og det er et behov for flere og lengre tidsserier m.h.p. lavdose-kalkning.

Endringer/tilbakegang etter kalkning har ofte også vært forklart som en ren pH-effekt, ved at pH-økning har negativ påvirkning av sopp som er tilpasset sur jord (jfr. bl.a. Heinrich & Wojewoda 1976). En moderat kalkning fører imidlertid til liten pH-endring, og i Gjerstad er endringene svært små både i humus og jordvann (Hindar et al. 1999). En mulig forklaring på tilbakegang av acidofile arter kan være at konkurrerende, mer næringskrevende arter har fått et fortynn, men noe slikt har ikke vært mulig å registrere på grunnlag av fruktlegeme-observasjoner i Gjerstad. Det er meget få indikasjoner på (ny-)etablering eller økning av kravfulle arter i blåbær-røsslyng-skogsruuter (bortsett fra et par saprofyter, se kap. 6.2), derimot er det noen som har økt i de rikeste rutene. Det kan imidlertid ha skjedd konkurranseforskynninger i forhold til sopp som sjeldent eller aldri fruktifiserer.

Et argument for at kalsium (og/eller magnesium) også kan ha en selvstendig rolle framgår av kalkingsresultatene til Jonsson et al. (1999). De fant at antall rotspisser var signifikant høyere i feltet kalket med ulik mengde dolomittkalk enn i referansen. Dette ble tatt som indikasjon på at tilførsel av dolomittkalk som sådan var viktigere for utviklingen av rotspisser enn endring av pH, siden gjennomsnittlig pH i referansefelt og lavkonsentrasijs-dolomittfelt var hhv 4,1 og 4,0, mens verdien i høykonsentrasijs-dolomittfelt var 5,5.

Enkelte nøyssomme arter røsslyng-lavfuruskogen som kantarell (*Cantharellus cibarius*) og furutårekremle (*Russula sardonia*) opp-

viste en økning etter kalking. Begge er typisk på steder hvor det har vært en viss forstyrrelse av jordsmonnet, ikke minst langs stikkanter (vel kjent for enhver kantarellplukker). Dette kan tyde på at disse er noe konkurransesvake i mer stabil skogbunn i barskog. Kalkingen kan tenkes å ha representert en forstyrrelse som har begunstiget disse. For furutårekremle er det påtagelig at denne også ofte opptrer i tynn humus i kanten av svaberg, med god kontakt mot bergflater. Trolig er arten, som en del andre furuskogsarter, i stand til å trenge inn i og forvitre mineralkorn, og er avhengig av god mineralkontakt. Det er mulig at tilførsel av relativt lettforvitrelige mineralkorn som dolomitt kan virke stimulerende på enkelte slike "mineralofile" arter. En tilsvarende framgang av furutårekremle etter kalking er imidlertid ikke observert i de tilsvarende undersøkelsene i terrengekalkingsfeltet i Suldal (Brandrud et al. 2003).

6.3.2 Saprofytter

Utviklingen i saprofytfloraen synes å være mindre entydig avvikende i kalkingsfeltet enn tilfellet er for mykorrhizasoppene knyttet til råhumus. Det må imidlertid her tas et forbehold, da saprofytene ikke ble registrert i 2000.

De mosetilknyttede (bryofile) klokkehattene (*Galerina*) synes å ha den klareste, negative responsen på kalkning. Denne artsguppen, inkludert en av de dominerende artene dunklokkehatt (*Galerina atkinsoniana*) er også tidligere registrert med tilbakegang etter kalkning (Kuyper & de Vries 1990). Årsakssammenhengen her er imidlertid noe usikker. Det ble observert noe svískader og nedsatt vitalitet på mosevegetasjonen rett etter kalkning i Gjerstad, men det virker mer sannsynlig at dette skulle ha stimulert disse bryofile saprofytene, snarere enn det motsatte.

Også i den store gruppen av typisk strønedbrytende hettesopp (*Mycena*) ble det registrert tilbakegang i kalkingsrutene i forhold til referansen i 1996. Dette er også i tråd med tidligere undersøkelser (jfr. bl.a. Kuyper 1989, Kuyper & de Vries 1990). Muligens kan dette være en direkte pH/Ca-effekt, eller en forskyning av konkurranseforhold i forhold til andre strønedbrytende sopper og bakterier. Det er tidligere i liten grad registrert negative effekter av forhøyete N-verdier på saprofyttsoppfloraen.

Den markerte økningen 5-6 år etter kalkning av den kravfulle krittraksoppen i blåbærskog er trolig den eneste eksemplet i Gjerstad av framvekst av mer eller mindre "kalkrevende" brunjordsarter i blåbær- og røsslyngskogen etter tiltaket. Hvorvidt det dreier seg om nytablering, eller aktivering av allerede eksisterende mycel i jorda er usikkert, men det er i hvert fall ellers ytterst sjeldent å finne denne arten i helt fattig blåbærskog. Ut over disse observasjonene av krittraksopp, ser det ikke ut til at dolomitt-kalkingen har ført til nevneverdig kvalitative endringer i artssammensetningen i de fattige skogsfunnene i Gjerstad.

6.3.3 Usikkerheter i materialet

For å kunne vurdere trender i fluktuerende organismesamfunn som soppfloraen, med sterkt varierende fruktlegemeproduksjon fra år til år, er man helt avhengig av en tidsserie som strekker seg over flere år, slik at gode soppesonger blir fanget opp. Videre er man avhengig av et referanseområdet med stor likhet med tiltaksområdet, slik at man kan vurdere effekter i tiltaksområdet opp mot utviklingen i referanseområdet. I Gjerstad er det vegetasjonsøkologisk svært stor likhet mellom blåbær- og røsslyngskogsrutene i de to områdene, mens de rike lågurt-/sumpskogsrutene er noe mer forskjellig (jfr. kap. 4.1.3). Det virker derfor å være et rimelig grunnlag for å sammenlikne blåbær/røsslyngskogs-soppfloraen i kalkings- versus referanseområdet, mens en sammenlikning av lågurtskogsfloraen må gjøres med noe større forsiktighet.

I effektstudier bør man også helst ha (minst) én god soppesong før tiltaket iverksettes, for nøyaktig å definere naturtilstanden og påfølgende eventuelle avvik fra dette. Soppesongen i 1994 før kalkning var imidlertid såvidt dårlig at en må regne med endel tilfeldig variasjon mellom ruter, felter og områder. F. eks. ble det registrert 61 mykorrhizasopper i analyserutene i 1994 (ytterligere 39 arter i 4 omkringliggende 100 x 100 m ruter), mens det etter 4 sesonger totalt var registrert 134 arter, og fortsatt var en rekke arter registrert kun én gang. Dette indikerer at 1994-sesongen fanget opp mindre enn halvparten av det totale artsinventaret av mykorrhizasopp i rutene, kanskje bare en tredjedel. Omrent halvparten av mykorrhizasoppene var felles i de to områdene i 1994 og 1994/95 (noe høyere antall fellesarter for saprofytene), og det ble registrert noe høyere artsmangfold i kalkingsområdet enn i referansen. Hvis vi sammenlikner artsinventaret i kalkingsfeltet 1994-95 (før antatte kalkingseffekter inntrådte) med artsinventaret i referanseområdet for hele perioden, så er 11 av 38 blåbær-/røsslyngskogsarter ikke funnet i sistnevnte.

Alle disse mer eller mindre tilfeldige variasjonene mellom ruter og sesonger gjør det vanskelig å vurdere tidsutvikling og kalkingseffekter på artsnivå for endel arter, - særlig for de artene som manglet eller var svært fåtallig i kalkingsområdet før kalkning. På gruppenivå er det derimot bedre muligheter for sammenlikninger. Således var f.eks. artsantallet av de dominante slekten slørsopper *Cortinarius* svært likt i de to områdene i 1994 (h.h.v. 12 & 13 arter i kalkings- versus referanseområdet).

7 Sammenfattende diskusjon

Gjerstad-prosjektet er spesielt i nordisk sammenheng når det gjelder kalking og vegetasjonseffekter, fordi:

- (i) Det har fulgt kvantitative arts- og vegetasjonsendringer for alle plantegrupper og sopp over en såvidt lang periode etter kalking, og har kunnet dokumentere "recovery"-fasen etter små initial-skader
- (ii) Det har kunnet dokumentere gode og langvarige effekter for avsyring og avgifting av vassdrag, samtidig som det er påvist små og (med få unntak) hurtig reversible skader.

7.1 Hovedeffekter av kalking i Gjerstad

Kalkingsforsøket bør kunne ha stor overføringsverdi på flere nivåer:

Regionsvis: Forsuringsgrad, avrenningsforhold og skogtyper i Gjerstad tilsier at forsøket bør ha overføringsverdi til de store forsuringsskadde områdene i Telemark-Agder-regionen, dessuten også til områder i Vest-Sverige som er preget av tilsvarende tynne jordlag og avrenningsforhold som Gjerstad.

Skogtype: Det ser ut til at en lavdose grovdolomit (3 tonn/ha; tilstrekkelig for avsyring) ikke gir tålegrenseoverskridelser (bortsett fra for fruktlegemeproduksjonen av sopp) i granskog generelt og tørre furuskogstyper uten mye torvmoser. En kan nok imidlertid også innenfor overnevnte områder finne heipregete furuskoger med mer torvmoser som vil kunne være mer sårbar overfor kalking.

Organismegruppe: Her ser det ut til at man i Gjerstad-prosjektet kan skille ut tre kategorier av arter i forhold til kalkingsfølsomhet og tålegrenser (se **tabell 7.1**):

1. **Tålegrenser overskredet?** Mykorrhizasopp i fattig råhumusskog, der fruktlegemeproduksjonen rammes. Grad av restituering/restitueringstid ikke kjent (> 6 år, minst 10 år?). Det er imidlertid sannsynlig at soppindividene (nede i bakken) kan tåle perioder uten fruktlegemeproduksjon.
2. **Tålegrenser nær overskredet.** Torvmoser, (store) levermoser og reinlav/begerlav. Klare straks-effekter (svikskader), men rask restituering ("recovery").
3. **Tålegrenser ikke overskredet.** Andre plantegrupper. Her er det registrert enkelte signifikante endringer, men ikke skader.

Generelt er det de fattigste skogstypene med råhumus eller torvjord og pH < ca. 4,0 som ser ut til å være mest sårbare.

Skadeomfang ved terregenkalking synes i stor grad å være knyttet til kalktype, med mer omfattende skader for finfraksjonert kalk. I Tjønnstrondfeltet i Telemark ble det brukt samme kalkmengde som i Gjerstad (3 tonn/ha) men en annen kalktype (kalksteinsmel), og her ble det registrert store og langvarige skader (Traaen et al. 1997). Tilsvarende er det også registrert store skader ved bruk av lav dose kalksteinsmel ved myrkalking (Korsmo et al. 2001). Også i Sverige er det registrert større skader ved bruk av kalksteinsmel enn ved bruk av grovdolomit (Pleijel et al. 2001).

7.1.1 Effekter på sjeldne og rødlistede arter

Prosjektet er ikke spesielt designet for å avdekke effekter på rødlisterarter eller "rødlisethabitater" (med mange rødlisterarter). Det er imidlertid ikke sannsynlig at det finnes rødlisterarter innenfor de mest sårbarer plantegruppene (torvmoser og levermoser) i undersøkelsesområdet i Gjerstad, ei heller i tilsvarende, aktuelle kalkingsobjekter.

Tabell 7.1. Oppsummering av kalkingseffekter på terrestrisk vegetasjon og sopp i Gjerstad. - Liming effects on the major groups of terrestrial vegetation and fungus flora at Gjerstad. Damages ("skader"), decline ("tilbakegang") and increase ("framgang").

| | skader straks-eff. | tilbakegang 94-99 | framgang 94-95(-99) | "recovery" tid |
|--|-----------------------|----------------------|------------------------|-------------------|
| mykorrhizasopp (fruktlegeme prod) | - | X | - | >6 år |
| saprofyttssopper | - | ?* | - | ? |
| torvmoser (<i>Sphagnum</i>) | x** | - | - | 3-5 år |
| store levermoser (<i>Bazzania, m.m.</i>) | x** | - | - | 5 år? |
| bladmosene <i>Pleurozium, Dicranum</i> | (x) | - | - | 3-5 år |
| reinlav & begerlav | (x) | - | - | 3-5 år |
| andre moser | - | - | - | - |
| karplanter | - | - | (x)*** | - |

*svak tilbakegang 1994-96 (ikke unders. 1999/2000) **vegetasjonsmessig ubetydelig, men stedvis betydelige skader registrert på små forekomster. ***gjelder mest arter knyttet til noe rikere (lågurt)skog.

Når det gjelder sopp, er det registrert flere rødlisterarter og regionalt sjeldne arter i undersøkelsesområdet (se kap. 6.1.3). Men disse er mest knyttet til rikere lågurtskog, der soppfloraen ikke er endret etter kalkning. Kalkingen vil trolig snarere virke positivt på disse artene, som her befinner seg på marginale lokaliteter m.h.p. naturlig kalsium-innhold og pH.

7.1.2 Vurdering i f. t. svenska undersøkelser

Det er få svenska effekt-studier som opererer med så lav dose og skånsom kalk-type som i Gjerstad (Pleijel et al. 2001). Det er videre påtagelig at det i Sverige i liten grad har vært gjennomført tilsvarende tidsserie-studier med en kvantitativ metoddikk (men jfr. Weibull 1999 på moser og lav). For øvrig er svenske resultater i tråd med de foreliggende når det gjelder følsomme grupper: torvmoser, lav og mykorrhizasopp er anført som de mest sensitive organismegruppene. Videre er det også registrert relativt stor kalkingsfølsomhet hos bladmossene furumose (*Pleurozium schreberi*) og sigdmoser (*Dicranum spp.*), helt i samsvar med resultatene i Gjerstad.

For sopp er det også i Sverige fokusert på skadelige effekter på mykorrhizasopp knyttet til mobilisering av nitrogen. I en oversiktsrapport om forsuring og kalkning konkluderer: "We regard the effects of acidification *per se* on mycorrhizal fungi as a much less serious threat than those of N deposition or of remedial actions such as liming." (Taylor i Pleijel et al. 2001).

Når det gjelder sårbarhet i skogstyper, indikerer svenske – som norske undersøkelser – at de fattigste, sure (råhumus-)typene er mest sårbar for mose- og lav-skader (Pleijel et al. 2001). I Sverige konkluderer man videre med at de naturlig nitrogenrike typene (brunjordstyper i N-forurensede områder) er mest utsatt for indirekte eutrofierungseffekter. Her indikerer for så vidt Gjerstad-resultatene noe annet; at de fattige, sure råhumus-typene er mest utsatt for negative nitrogen-effekter (på mykorrhiza-flora). Her kan det tillegges at det er fattige, grunn-

lendte, heipregete furuskoger som har de lavestestålegrensene for nitrogen-depositjon og som er mest utsatt for nitrogen-lekkasjer (jfr. Bobbink et al. 1992). Således kan man tenke seg at disse også vil være mest sårbar for indirekte kalkingeffekter.

7.1.3 Kunnskapsbehov og videre bruk av Gjerstad-feltene

Gjerstad-prosjektet har gitt endel svar om mulige kalkingseffekter, kanskje flere enn det man strengt tatt kunne forvente i løpet av en seksårsperiode. Når det gjelder den grønne vegetasjonen kan det se ut som initiale skader og mye av "recovery"-perioden er fanget opp. Undersøkelsesperioden har fanget opp redusert vitalitet hos mykorrhiza-soppfloraen, men har vært for kort til å fange opp eventuell restituering til normal fruktlegemeproduksjon. Etter seks år var effektene på mykorrhizasoppene tilsynelatende fortsatt økende eller utflatende. Hvis denne mykorrhiza-utviklingen er et signal på økende/vedvarende forhøyet nitrat-dannelse i jordsmonnet, er det heller ikke utenkelig med en langsiktig gjødsel-effekt på karplantavegetasjonen som eventuelt ennå ikke er fanget opp i undersøkelsen. Disse forholdene tilsier behov for en ny undersøkelse etter 10 år.

Selv om en gjennom prosjektet har fått en del kunnskap omstålegrensene, er det generelt et behov for et bedre kunnskapsgrunnlag m.h.p.stålegrensene for de mest følsomme vegetasjonskomponentene, dvs. torvmoser, store levermoser og mykorrhizasopp i næringsfattige, sure skogstyper.

Det er også et behov for bedre kunnskap om de forholdsvis store, antatt klima-relaterte svingningene som er påvist i referansefeltet i Gjerstad, og som er i tråd med de trender som er registrert i enkelte andre overvåkingsfelter på Sørlandet. Referansefeltet framtrer som en verdifult område for framtidig klima-overvåking, sammen med det nærliggende Solhomfjellområdet som inngår i terrestrisk naturovervåningsprogrammet (TOV).

8 Sammendrag

Det er med få unntak registrert små vegetasjonsendringer i gran- og furuskog i Gjerstad som følge av terrengkalking med lavdose grovdolomit (3 tonn/ha). Disse ser ut til å være mindre enn endringene/fluktuasjonene som forårsakes av klima-endringer/variasjoner. Hvis man aksepterer små endringer og små, reversible skader som innenfor akseptable tålegrenser, så er tålegrensene for kalkdose ikke overskredet i dette forsøket, med mulig unntak for mykorrhizasopp-floraen.

Karplante- mose- og lavvegetasjonens sammensetning og dominansforhold har endret seg lite de fem første årene etter kalking. Det har riktignok skjedd en økning av en del mosearter fra 1994 til 1999, men denne økningen er påtagelig også i referansefeltet, og skyldes trolig klimavariasjoner/klimaendringer.

Det ble registrert noe akutte sviskader på mose og lav rett etter kalking. Skadene var særlig påtagelige på torvemoser og enkelte store, eksponerte levermoser, alle med liten dekningsgrad. Basert på forekomster i rutene, var disse skadene restituert etter 5 år. Delvis skyldes nok den raske restitueringssiden det generelt gunstige (fuktige) klimaet for mosevekst i undersøkelsesperioden.

Sannsynligvis er dette et av meget få kalkingsforsøk der man har kunnet dokumentere mer eller mindre restituering ("recovery") av sviskader på så kort tid.

Indirekte gjødslingseffekter (eutrofieringseffekter) er knapt påvisbare i vegetasjonen, muligens med unntak av en relativt sett økning av "lågurtskogs-arter" i kalkingsfeltet de to første årene, noe som kan skyldes en akutt elektrolytt/næringspuls knyttet til en liten, lett løselig fraksjon av grov-dolomitten.

Soppfloraen er den eneste komponenten som viser klare og økende endringer etter kalking. Fruktlegeme-produksjonen av mykorrhizasopp var betydelig redusert i kalkingsfeltet i f. t. referansefeltet, og endringen var størst i antatt nitrogen-sensitive grupper som slørsopp (*Cortinarius*) med 90% relativ nedgang i produksjonen. Reduksjonen var mest markert etter 6 år. Det er uklart i hvor stor grad en kraftig reduksjon i fruktlegemedannelsen medfører svekkelse i selve sopp-individene nede i bakken på kort sikt, men det er sannsynlig at en langvarig inhibering vil medføre tilbakegang og tap av mangfold.

Nedgangen i fruktlegeme-produksjonen tolkes som en indirekte eutrofieringsrespons og kan indikere at det har skjedd en mineralisering der nitratet blir fanget opp i røttene og bare i meget liten grad synes som forhøyede nitrat-verdier i jordvann eller avrenningsvann. Tilbakegangen er kun knyttet til fattige skogtyper med råhumus, mens brunjordstypene (med andre arter og et helt annet nitrogen-regime) er uforandret.

Hvis hypotesen om en eutrofieringsresponses hos mykorrhizasoppen er riktig, kan man også muligens forvente en mer langsiglig eutrofieringsresponses hos karplantene, en respons som i så fall ennå ikke er fanget opp i undersøkelsen.

Terrengkalkingsprosjektet i Gjerstad indikerer at ikke-torvemosrike skogtyper som er dominerende i store deler av for eksempel Aust-Agder og Telemark tåler relativt godt kalking med grovdolomit. Grovdolomit ser ut til å være langt mer skånsom når det gjelder sviskader enn kalksteinsmel. Det synes å være mulig å kalke disse skogtypene med tilstrekkelig kalkdose for langvarig avsyring uten større skader på vegetasjonen. Langvarig, skadelig effekt på og tålegrenser for mykorrhizasopp i råhumus må derimot ansees som uavklart i disse skogtypene.

9 Summary

Effects of liming with a low dose of coarse dolomite powder (3 tons per hectare) are studied in spruce- and pine forests at Gjerstad, SE Norway. *Small changes in the vegetation* of vascular plants, bryophytes and lichens are recorded. These changes seem to be smaller than the changes/fluctuations caused by climate changes/variations, such as an growth increase in a number of bryophyte species (seen also in reference plots). If small changes and small, reversible damages are regarded to be within acceptable critical limits, the critical loads with respect to lime dose are not exceeded for terrestrial vegetation in this experiment, with the possible exception of the mycorrhizal fungus flora.

Some short-term contact-damage were seen in bryophyte and lichen species. The damage were most substantial in forest floor or peat mosses (*Sphagnum* spp.) and some large, exposed liverwort species. According to the data from the analysed plots, the most sensitive species had recovered from these injuries after 5 years. The quick recovery phase seems partly to be due to the generally favourable (moist) climate for bryophyte growth during the investigation period.

The liming experiment at Gjerstad seems to be one of very few in which a such short-term recovery after liming has been documented, and the liming must be regarded to be within critical limits for the biota of the studied forest types.

Indirect nutrition effects (eutrophication effects) were hardly observable in the vegetation, possibly with the exception of a slight relative increase in "low-herb forest species" in the limed site the two first years. This increase might be due to a short-term electrolyte pulse from a small, instantly dissolved fraction of the coarse dolomite.

The fungus flora is the sole component showing distinct and increasing changes after liming. The fruit-body production of my-

corrhizal fungi became substantially reduced in the limed plots relative to the reference ones. The decrease was most pronounced in the supposed nitrogen-sensitive groups such as members of the large genus *Cortinarius*, which almost ceased to produce fruit-bodies 6 years after liming (90% relative decrease). It is not clear whether the strong reduction in fruit-body formation might lead to a corresponding short-term decrease in the growth of the fungus mycelium below-ground. It seems probable, however, that a long-term inhibition of fruit-body production will lead to decrease in fungal individuals and finally a loss of biodiversity.

The decrease in fruit-body production is interpreted as an indirect response to eutrophication, and might indicate an increased nitrogen mineralization with nitrate being captured by the roots, and only to a very little extent leaking to soil- or runoff water. The decline in production is seen only in the poor, raw humus forest types, whereas the richer brown earth soil types (with other species and a quite different nitrogen regime) are unchanged.

If the hypothesis on an eutrophication response of the mycorrhizal fungi is correct, one can possibly expect a long-term eutrophication response of the vascular plants as well. However, a such response is so far not reflected in the data.

The catchment liming project at Gjerstad indicates that non-*Sphagnum*-rich forest types dominating in Aust-Agder and Telemark are little affected by liming with coarse-grained dolomite. Coarse-grained dolomite appears to much less harmful with regard to contact-damages than limestone powder. It seems to be possible to lime these forest types with sufficient lime-dose for a long-term buffer-effect of acid surface waters without extensive damages to the terrestrial vegetation. The data might, however, indicate some long-term, negative effects and critical loads of mycorrhizal fungi in raw humus in these forest types.

10 Litteratur

- Bakkestuen, V., Arrestad, P.A., Eilertsen, O. 1999. Terregenkalkning i Suldal, Rogaland - undersøkelser av vegetasjon og jord før kalkning. - NINA Oppdragsmelding 599: 1-69.
- Bendiksen, E. 1980. *Corticarius*, underslekter *Leprocyebe*, *Sericocybe*, *Myxarium* og *Telamonia* i forskjellige suksesjonsstadier av granskogssamfunn i Lunner, Oppland. - Cand. scient. oppgave, Univ. Oslo, 81 s.
- Bendiksen, E., Høiland, K., Jordal, J.B. & Brandrud, T.E. 1998. Truede og sårbare sopparter i Norge - en kommentert rødliste. - Fungiflora, Oslo, 221 s.
- Bendiksen, E., Økland, R.H., Høiland, K. & Eilertsen, O. 2004. Relationships between macrofungi, vegetation and environmental factors in boreal coniferous forests in the Solhomfjell area, Gjerstad, S. Norway. - Sommerfeltia, in prep.
- Bobbink, R., Boxman, D., Fremstad, E., Heil, G., Houdijk, A. & Roelofs, J. 1992. Critical loads for nitrogen eutrophication og terrestrial and wetland ecosystems based upon changes in vegetation and fauna. - [in:] Grennfeldt, P. & Thörnelöf, E., reds. Critical loads for nitrogen - a workshop report. - Nord 1992, 14: 111-159.
- Brandrud, T.E. 2000. Terregenkalkning av Store Hovvatns nedbørfelt. Vegetasjonsforhold, spredningskart og igangsetting av myrundersøkelser. - Årsrap. til DN (upubl.)
- Brandrud, T.E. & Timmermann, V. 1998. Ectomycorrhizal fungi in the NITREX site at Gårdsjön, Sweden; below and above-ground responses to experimentally changed nitrogen inputs 1990-1995. - For. Ecol. & Manage. 101: 207-214.
- Brandrud, T.E., Bakkestuen, V. & Arrestad, P.A. 2001. Terregenkalkning i Suldal, Rogaland – Effekter på vegetasjon og sopp. [i:] Direktoratet for naturforvaltning. Terregenkalkingsprosjektet. Årsrapport 2000. Terregenkalkning for å avgifte surt overflatevann. - DN Notat 2001-4: 57-76.
- Brandrud, T.E., Bakkestuen, V. & Arrestad, P.A. 2003. Terregenkalkning i Suldal, Rogaland – Effekter på vegetasjon og sopp. Resultater fra re-analyse i 2002. [i:] Direktoratet for naturforvaltning. Terregenkalkingsprosjektet. Årsrapport 2002. Terregenkalkning for å avgifte surt overflatevann. - DN Notat 2003.
- Clymo, R.S. 1980. Preliminary survey of the peat-bog Hummel Knowe Moss using various numerical methods. - Vegetatio 42: 129-148.
- Corley, M. F. V., Crundwell, A. C., Düll, R., Hill, M. O. & Smith, A. J. E. 1981. Mosses of Europe and the Azores; an annotated list of species, with synonyms from recent literature. - J. Bryol. 11: 609-689.
- Dahl, E. 1998. The phytogeography of Northern Europe (British Isles, Fennoscandia and adjacent areas). - Cambridge University Press.
- Dahl, E., Gjems, O. & Kielland-Lund, J. 1967. On the vegetation types of Norwegian coniferous forest in relation to the chemical properties of the humus layer. - Meddr norske Skogfors-Vesen 85: 505-531.
- Direktoratet for naturforvaltning 2001. Terregenkalkingsprosjektet. Årsrapporter 1998 og 1999. Terregenkalkning for å avgifte surt overflatevann. - DN-notat 2001-1. Trondheim.
- Direktoratet for naturforvaltning 2001b. Terregenkalkingsprosjektet. Årsrapport 2000. Terregenkalkning for å avgifte surt overflatevann. - DN-notat 2001-4. Trondheim.
- Direktoratet for naturforvaltning 2003. Terregenkalkingsprosjektet. Årsrapport 2001. Terregenkalkning for å avgifte surt overflatevann. - DN-notat 2003-2. Trondheim.
- Eilertsen, O., Stabbetorp, O. E. & Bendiksen, E. 1996. Storskala tilførsel av dolomitt til nedslagsfelt. Variasjon i kalkspredningen og vegetasjonseffekter. I Nilsen, P. (red.) FoU-programmet "Miljøtiltak i skog". Årsmelding 1995. - Aktuelt fra Skogforsk nr. 6-96: 17-20.
- Eilertsen, O., Stabbetorp, O. E. & Bendiksen E. 1997. Vegetasjonsundersøkelser. I: Nilsen, P. (red.) FoU-programmet "Miljøtiltak i skog". Årsmelding 1996. - Aktuelt fra Skogforsk nr. 5-97: 17-20.
- Eilertsen, O., Stabbetorp, O. E., Arrestad, P. A. & Bakkestuen, V. 1998. Skogkalkning med grovdolomitt – effekter på vegetasjon. - I: Nilsen, P. (red.): FoU-programmet "Miljøtiltak i skog". Sluttrapport. - Aktuelt fra Skogforsk nr. 2-98.
- Elven, R., Lid, J. & Lid, D.T. 1994. Norsk flora. 6. utg. - Det norske samlaget.
- Flatberg, K. I., Foss, B. S., Løken, A. & Såstad, S. M. 1994. Moseskader i barskog. Luftforurensning som mulig årsak til skader hos barskogsmosser på Sørlandet. - DN-utredn. 1994-8. Naturens Tålegrenser Fagrapp. 13. Trondheim.
- Framstad, E., Bakkestuen, V., Bruteig, I. E., Kålås, J. A., Nygård, T. & Økland, R. H. 2003. Natur i endring. Terrestrisk naturovervåking 1990-2002. - NINA temahefte 24. Program for terrestrisk naturovervåking rapp. 123. Trondheim.
- Fries, E.M. 1877-84. *Icônes selectæ Hymenomycetum nondum delineatorum sub auspiciis. I.* - Regiae Academiae Scientiarum Holmiensis, Holmiae. 116 s. + 100 pl.
- Hansen, L. & Knudsen, H. 1992. Nordis Macromycetes. Vol. 2. Polyporales, Boletales, Agaricales, Russulales. - Nordsvamp. Copenhagen.
- Heilmann-Clausen, J., Verbeken, A. & Vesterholt, J. 1998. Mælkehatte. Nordeuropas svampe. Bind 2. - Jens Petersen/Low Budget Publ., København.
- Heinrich, Z. & Wojewoda, W. 1976. The effect of fertilization on a pine forest ecosystem in an industrial region IV. Macromycetes. - Ekol. pol. 24: 319-330.
- Hindar, A., Nordgaard, E., Nilsen, P. Høgberget, R. and Wright, R. F. 1999. Whole-catchment Application of Dolomite to an Acidified Forest Ecosystem in Gjerstad, Southern Norway. - NIVA rep. 4097-99.
- Hora, F.B. 1959. Quantitative experiments on toadstool production in woods. - Trans. br. mycol. Soc. 42: 1-14.
- Högblom, L., Nohrstedt, H.-Ö. & Persson, T. 2001. Effekter på kvävedynamiken av markförsurning och motåtgärder. - Skogsstyrelsen rapp. 11E-2001 [Temaserie: Markförsurning och motåtgärder]. Jönköping.
- Høiland, K. 1994. Virkning av kalkning på soppflora (inkludert mikroorganismene). I: Nilsen, P. (red.) Tiltak mot forsuring av skog – en utredning om effekter på ulike deler av skogssystemet. - Aktuelt fra Skogforsk nr. 4-94: 44-49.
- Høiland, K. & Pedersen, O. 1994. Virkning på vegetasjon ved områdekalkning av myr. Undersøkelse foretatt ved Røyne-landsvatn, Birkenes, Aust-Agder. [i:] Kalkning i vann og vass-

- drag. FoU-virksomheten. Årsrapporter 1992. - Direktoratet for naturforvaltning notat 1994-2: 44-71. Trondheim.
- Jonsson, T., Kokalj, S., Finlay, R. & Erland, S. 1999. Ectomycorrhizal community structure in a limed spruce forest. - *Mycol. Res.* 103: 501-508.
- Jonsson, L., Dahlberg, A. & Brandrud, T. E., 2000. Spatio-temporal distribution of an ectomycorrhizal community in an oligotrophic Swedish Picea abies forest subjected to experimental nitrogen addition: above- and below-ground views. - *For. Ecol. & Manage.* 132: 143-156.
- Krog, H., Østhagen, H. & Tønsberg, T. 1980. Lavflora. Norske busk- og bladlav. - Universitetsforlaget.
- Korsmo, H., Eilertsen, O. & Pedersen, A. 1996. Botaniske undersøkelser av kalkede myrområder i Fjordas nedbørfelt, Gran & Jevnaker kommuner i Oppland. - NINA Oppdragsmelding 428. Oslo.
- Korsmo, H., Brandrud, T.E. & Bakkestuen, V. 2001. Botaniske undersøkelser av kalkede myrområder ved Fjorda, Gran og Jevnaker kommuner. Effekter av rekalking. - Fylkesmannen i Oppland, miljøvernnavdelingen rapp. 1/01. Lillehammer.
- Kuyper, T. 1988. The effects of forest fertilization on the abundance and diversity of ectomycorrhizal fungi. I: Jansen, A.E., Dighton, J. & Bresser, A.H.M. (ed.), *Ectomycorrhiza and acid rain*. - Comm. Eur. Commun., Air Pollut. Res. Rep. 12, Bilthoven, s. 146-149.
- Kuyper, T. 1989. Auswirkungen der Walddüngung auf die Mykoflora. - Beitr. Kenntn. Pilze Mitteleur. 5: 5-20.
- Kuyper, T.W. & de Vries, B.W.L. 1990. Effects of fertilization on the mycoflora of a pine forest. - Wageningen Agric. Univ. Papers 90-6: 102-111.
- Lawesson, J. E., Eilertsen, O., Diekmann, M., Reinikainen, A., Gunnlaugsdóttir, E., Fosaa, A. M., Carøe, I., Skov, F., Groom, G., Økland, T., Økland, R. H., Andersen, P. N. & Bakkestuen, V. 2000. A concept for vegetation studies and monitoring in the Nordic countries. - TemaNord 2000: 517.
- Nilsen, P. 1998. FoU-programmet "Miljøtiltak i skog". Slutt-rapport. - Aktuelt fra Skogforsk nr. 2-98.
- Ogner, G., Wickstrøm, T., Remedios, G., Gjelsvik, S., Hensel, G.R., Jacobsen J.E., Olsen, M., Skretting, E. & Sørli, B. 1999. The chemical analysis program of the Norwegian Forest Research Institute, 2000. - Norwegian Forest Research Institute, Ås. 21s.
- Ohenoja, E. 1988. Behaviour of mycorrhizal fungi in fertilized forests. *Karstenia* 28: 27-30.
- Pedersen, O. 1988. Biological data program/PC. Version 1.01. Brukerveiledning. - VegeDataConsult, Oslo.
- Pleijel, H., Bräkenhielm, S., Ericson, L., Finlay, R., Hallingbäck, T., Lundkvist, H. & Taylor, A. 2001. Effekter på biologisk mångfald av markförsurning och motåtgärder. - Skogsstyrelsen rapp. 11C-2001 [Temaserie: Markförsurning och motåtgärder]. Jönköping.
- Rafstedt, T. 1993. Orientering om svenska våtmarksalkningsprojekt. [i:] Kalkning i vann och vassdrag. Seminarreferat. - DN-notat 1993-9: 79-94.
- Rafstedt, T. 2000. Kalkning av våtmarker. Uppföljning av växtekonologiska effekter. - Naturvårdsverket rapport 5075. Stockholm.
- Smith, A.J.E. 1990. The moss flora of Britain & Ireland. - Cambridge University Press.
- Sokal, R. R. & Rohlf, F. J. 1995. *Biometry*, 3. ed. - Freeman, New York.
- SPSS 1999. SPSS Base 9.0 User's Guide. - SPSS Inc., Chicago.
- Staaf, H., Persson, T. & Bertil, U. 1996. Skogsmarksalkning. Resultat och slutsatser från Naturvårdsverkets försöksverksamhet. - Naturvårdsverket rapport 4559. Stockholm.
- Braak, C.J.F. & Smilauer, P. 1998. CANOCO Reference Manual and User Guide to Canoco for Windows: Software for Canonical Community Ordination (version 4). - Microcomputer Power (Ithaca, NY, USA). 352 s.
- Traaen T.S., Frogner T., Hindar A., Kleiven E., Lande A. og Wright R.F. 1997, Whole-catchment liming at Tjønnstrond, Norway: an 11-year record. - *Water, Air and Soil Pollution*, 94: 163-180.
- van der Maarel, E. 1979. Transformation of cover-abundance values in phytosociology and its effect on community similarity. - *Vegetatio* 39: 97-114.
- Wästerlund, I. 1982. Försvinner tallens mykorrhizasvampar vid gödsling? - *Svensk bot. Tidskr.* 76: 411-417.
- Weibull, H. 1999. Studier av skogsmarksalkningens effekter på skogsmarkens mossor och lavar. - Eksamensarbete. Stockholms Universitet.
- Økland, R. H. 1986. Rescaling of ecological gradients. I. Calculation of ecological distance between vegetation stands by means of their floristic composition. - *Nord. J. Bot.* 6: 651-660.
- Økland, R.H. & Eilertsen, O. 1993. Vegetation-environment relationships of boreal coniferous forests in the Solhomfjell area, Gjerstad, S Norway. - *Sommerfeltia* 16: 1-254.
- Økland, R.H. & Eilertsen, O. 1996. Dynamics of understory vegetation in an old-growth boreal coniferous forest, 1988-1993. - *J.Veg. Sci.*: 7: 747-762.
- Økland, R. H., Skrindo, A. & Hansen, K. T. 2000. Endringer i trærs vekst og vitalitet, vegetasjon og humuslagets kjemiske og fysiske egenskaper i permanente prøveflater i barskog i overvåkingsområdet Solhomfjell, 1988-1998. - *Bot. Hage Mus. Univ. Oslo Raoo*. 5: 1-76.
- Økland, T. 1999. Intensivovervåking i granskog: Endringer i undervegetasjonen i fem overvåkingsområder i løpet av en fem-års-periode. - Norsk institutt for jord- og skogkartlegging NIJOS rapp. 19/99.
- Økland, T., Bakkestuen, V., Økland, R.H. & Eilertsen, O. 2001. Vegetasjonsendringer i Nasjonalt nettverk av flater for intensivovervåking i skog. - Norsk institutt for jord- og skogkartlegging NIJOS rapp. 08/2001.
- Arrestad, P.A. & Bakkestuen, V. 2001. Terreqkalking i Fleske-Guddalsvassdraget – effekter på vegetasjon og jord i 1999, ett år etter kalkning. - I: Direktoratet for naturforvaltning, 2001. Terreqkalkningsprosjektet – årsrapporter 1998 og 1999. Terreqkalking for å avgifte surt overflatevatn. - Notat 2001 – 1: 105-118.
- Arrestad, P.A., Bakkestuen, V. & Brandrud, T.E. 2003. Terreqkalking i Fleske-Guddalsvassdraget – effekter på vegetasjon og jord i 2001, tre år etter kalkning. - I: Direktoratet for naturforvaltning, 2003. Terreqkalkningsprosjektet – årsrapport 2001. Terreqkalking for å avgifte surt overflatevatn. - Notat 2003 – 2: 29-56

Vedlegg

Vedleggstabell 1. Miljøparametre som er signifikant korrelert med de to første aksene i DCA-ordinasjonen. Data fra 1994 før kalkning. Sig. = signifikanssannsynlighet. - Environmental parameters significantly correlated to the first two axes in the DCA ordination. Data from 1994 prior to liming.

| Parameter | Korrelasjon (Kendall) | AX1 | AX2 |
|-----------------------|--|--------------------|-------------------|
| Kjeldal Nitrogen | Correlation Coefficient Sig. (2-tailed) | .211(**) 0,002 | 0,026 0,709 |
| Nitrogen% | Correlation Coefficient Sig. (2-tailed) | .211(**) 0,002 | 0,026 0,712 |
| Tørrstoff | Correlation Coefficient Sig. (2-tailed) | -.177(*) 0,011 | -0,03 0,667 |
| Barium | Correlation Coefficient Sig. (2-tailed) | 0,061 0,382 | .174(*) 0,013 |
| Lithium | Correlation Coefficient Sig. (2-tailed) | 0,098 0,201 | .185(*) 0,016 |
| Magnesium | Correlation Coefficient Sig. (2-tailed) | -.149(*) 0,033 | 0,083 0,237 |
| Mangan | Correlation Coefficient Sig. (2-tailed) | .146(*) 0,036 | 0,025 0,719 |
| Nikkel | Correlation Coefficient Sig. (2-tailed) | -0,043 0,541 | .143(*) 0,041 |
| Fosfor | Correlation Coefficient Sig. (2-tailed) | 0,13 0,062 | -.180(**) 0,01 |
| Sovel | Correlation Coefficient Sig. (2-tailed) | .178(*) 0,01 | 0,056 0,418 |
| E1Aluminium | Correlation Coefficient Sig. (2-tailed) | .139(*) 0,046 | -0,009 0,903 |
| E1Magnesium | Correlation Coefficient Sig. (2-tailed) | -.156(*) 0,025 | -0,02 0,772 |
| E1Sovel | Correlation Coefficient Sig. (2-tailed) | .196(**) 0,005 | 0,075 0,283 |
| E1Silisium | Correlation Coefficient Sig. (2-tailed) | 0,107 0,126 | .178(*) 0,011 |
| HELLING | Correlation Coefficient Sig. (2-tailed) | -.349(**) 0 | -.361(**) 0 |
| EKSPOSISJON | Correlation Coefficient Sig. (2-tailed) | 0,041 0,56 | -.301(**) 0 |
| Gj-snitt, jorddybde | Correlation Coefficient Sig. (2-tailed) | -.398(**) 0 | 0,125 0,073 |
| Makro-konkavitet.Bunn | Correlation Coefficient Sig. (2-tailed) | -.172(*) 0,03 | -0,026 0,743 |
| Max jorddybde | Correlation Coefficient Sig. (2-tailed) | -.393(**) 0 | .175(*) 0,013 |
| Median jorddybde | Correlation Coefficient Sig. (2-tailed) | -.396(**) 0 | .146(*) 0,037 |
| Min jorddybde | Correlation Coefficient Sig. (2-tailed) | -.246(**) 0,001 | -0,06 0,412 |

Vedleggstabell 2a. DCA ordinasjon av kalkede ruter fra h.v. 1994, 1995, 1996 og 1999. Wilcoxon signifikantest for forflytninger av analyseruter langs DCA-aksene, basert på frekvens av arter. AX1 = ordinasjonsakse 1, AX2 = ordin.akse 2, osv. Z = Wilcoxon Z-verdi for ettutvalgstest. asymp. Sig. = signifikanssannsynlighet. lavere/høyere verdi = antall ruter med nedgang/økning i akseverdi i aktuelle tidsrom - DCA ordination of limed plots 1994, 1995, 1996 and 1999. Wilcoxon significance test for changes in positions of plots along the DCA axes, based on plot frequency of the species. AX1 = ordination axis 1, AX2 = ordin.axis 2, etc. Z = Wilcoxon Z value. asymp. Sig. = significance probability. lavere/høyere verdi = number of plots with decrease ("lavere")/increase ("høyere") in axis value in the relevant period.

| Kalket | Z | Asymp. Sig. (2-tailed) | lavere verdi | høyere verdi |
|-----------------|-----------|---------------------------|-----------------|-----------------|
| AX1-94 - AX1-95 | -4.243(a) | 0 | 38 | 12 |
| AX1-94 - AX1-96 | -2.051(a) | 0,04 | 29 | 21 |
| AX1-94 - AX1-99 | -2.882(a) | 0,004 | 34 | 16 |
| AX1-95 - AX1-96 | -1.993(b) | 0,046 | 17 | 33 |
| AX1-95 - AX1-99 | -.043(a) | 0,965 | 22 | 28 |
| AX1-96 - AX1-99 | -1.100(a) | 0,271 | 27 | 23 |
| AX2-94 - AX2-95 | -2.032(a) | 0,042 | 32 | 18 |
| AX2-94 - AX2-96 | -2.679(a) | 0,007 | 33 | 17 |
| AX2-94 - AX2-99 | -.463(b) | 0,643 | 22 | 28 |
| AX2-95 - AX2-96 | -.623(a) | 0,534 | 25 | 25 |
| AX2-95 - AX2-99 | -2.119(b) | 0,034 | 16 | 34 |
| AX2-96 - AX2-99 | -2.862(b) | 0,004 | 13 | 37 |
| AX3-94 - AX3-95 | -1.607(b) | 0,108 | 18 | 32 |
| AX3-94 - AX3-96 | -1.424(b) | 0,154 | 20 | 30 |
| AX3-94 - AX3-99 | -2.582(a) | 0,01 | 28 | 22 |
| AX3-95 - AX3-96 | -.024(a) | 0,981 | 24 | 26 |
| AX3-95 - AX3-99 | -4.243(a) | 0 | 27 | 23 |
| AX3-96 - AX3-99 | -3.721(a) | 0 | 33 | 17 |
| AX4-94 - AX4-95 | -2.312(a) | 0,021 | 32 | 18 |
| AX4-94 - AX4-96 | -.507(a) | 0,612 | 26 | 24 |
| AX4-94 - AX4-99 | -2.717(a) | 0,007 | 31 | 19 |
| AX4-95 - AX4-96 | -1.680(b) | 0,093 | 21 | 29 |
| AX4-95 - AX4-99 | -.864(a) | 0,388 | 27 | 23 |
| AX4-96 - AX4-99 | -2.669(a) | 0,008 | 32 | 18 |

Vedleggstabell 2b. DCA ordinasjon av referanse-ruter fra h.v. 1994, 1995, 1996 og 1999. Wilcoxon signifikantest for forflytninger av analyseruter langs DCA-aksene, basert på frekvens av arter. Tabellforklaringer som i 2a. - DCA ordination of reference plots 1994, 1995, 1996 and 1999. Wilcoxon significance test for changes in positions of plots along the DCA axes, based on plot frequency of the species.

| Ikke kalket | Z | Asymp. Sig. (2-tailed) | lavere verdi | høyere verdi |
|-----------------|-----------|---------------------------|-----------------|-----------------|
| AX1-94 - AX1-95 | -1.225(a) | 0,221 | 24 | 21 |
| AX1-94 - AX1-96 | -1.355(a) | 0,176 | 28 | 17 |
| AX1-94 - AX1-99 | -1.281(a) | 0,2 | 26 | 19 |
| AX1-95 - AX1-96 | -.536(a) | 0,592 | 26 | 19 |
| AX1-95 - AX1-99 | -.841(a) | 0,4 | 22 | 23 |
| AX1-96 - AX1-99 | -.852(a) | 0,394 | 25 | 20 |
| AX2-94 - AX2-95 | -2.060(b) | 0,039 | 17 | 28 |
| AX2-94 - AX2-96 | -1.970(b) | 0,049 | 18 | 27 |
| AX2-94 - AX2-99 | -2.495(b) | 0,013 | 15 | 30 |
| AX2-95 - AX2-96 | -.017(b) | 0,986 | 23 | 22 |
| AX2-95 - AX2-99 | -.299(b) | 0,765 | 21 | 24 |
| AX2-96 - AX2-99 | -.356(b) | 0,722 | 21 | 24 |
| AX3-94 - AX3-95 | -.277(a) | 0,782 | 24 | 21 |
| AX3-94 - AX3-96 | -.728(b) | 0,467 | 23 | 22 |
| AX3-94 - AX3-99 | -.672(a) | 0,502 | 21 | 24 |
| AX3-95 - AX3-96 | -1.123(b) | 0,261 | 19 | 26 |
| AX3-95 - AX3-99 | -.931(a) | 0,352 | 23 | 22 |
| AX3-96 - AX3-99 | -1.524(a) | 0,128 | 29 | 16 |
| AX4-94 - AX4-95 | -.141(a) | 0,888 | 23 | 22 |
| AX4-94 - AX4-96 | -.480(a) | 0,631 | 21 | 24 |
| AX4-94 - AX4-99 | -.807(a) | 0,42 | 25 | 20 |
| AX4-95 - AX4-96 | -.378(b) | 0,705 | 18 | 27 |
| AX4-95 - AX4-99 | -.683(a) | 0,495 | 23 | 22 |
| AX4-96 - AX4-99 | -.909(a) | 0,364 | 23 | 22 |

Vedleggstabell 2c. DCA ordinasjon av kalkede ruter h.h.v. 1994, 1995, 1996, 1999. Wilcoxon signifikans-test for forflytninger av analyseruter langs DCA-aksene, basert på prosent dekning av arter. Tabellforklaringer som i 2a. - DCA ordination of limed plots 1994, 1995, 1996 and 1999. Wilcoxon significance test for changes in positions of plots along the DCA axes, based on % coverage of the species.

| Kalket | Z | Asymp. Sig. (2-tailed) | lavere verdi | høyere verdi |
|-----------------|------------|---------------------------|-----------------|-----------------|
| AX1-94 - AX1-95 | -3.451(a) | 0,001 | 34 | 16 |
| AX1-94 - AX1-96 | -1.636(a) | 0,102 | 28 | 22 |
| AX1-94 - AX1-99 | -1.631(a) | 0,103 | 30 | 20 |
| AX1-95 - AX1-96 | -1.810(b) | 0,07 | 20 | 30 |
| AX1-95 - AX1-99 | -.121(b) | 0,904 | 23 | 27 |
| AX1-96 - AX1-99 | -.845(a) | 0,398 | 29 | 21 |
| AX2-94 - AX2-95 | -1.472(a) | 0,141 | 30 | 20 |
| AX2-94 - AX2-96 | -1.154(a) | 0,249 | 26 | 24 |
| AX2-94 - AX2-99 | -.545(a) | 0,585 | 26 | 24 |
| AX2-95 - AX2-96 | -.961(a) | 0,337 | 28 | 22 |
| AX2-95 - AX2-99 | -.285(b) | 0,776 | 26 | 24 |
| AX2-96 - AX2-99 | -.237(a) | 0,813 | 30 | 20 |
| AX3-94 - AX3-95 | -.203(a) | 0,839 | 27 | 23 |
| AX3-94 - AX3-96 | -.825(b) | 0,409 | 26 | 24 |
| AX3-94 - AX3-99 | -.869(b) | 0,385 | 23 | 27 |
| AX3-95 - AX3-96 | -.343(b) | 0,732 | 24 | 26 |
| AX3-95 - AX3-99 | -.661(b) | 0,508 | 16 | 34 |
| AX3-96 - AX3-99 | -.121(b) | 0,904 | 27 | 23 |
| AX4-94 - AX4-95 | -2.051(a) | 0,04 | 35 | 15 |
| AX4-94 - AX4-96 | -1.289(a) | 0,197 | 29 | 21 |
| AX4-94 - AX4-99 | -.140(b) | 0,889 | 28 | 22 |
| AX4-95 - AX4-96 | -.835(b) | 0,404 | 23 | 27 |
| AX4-95 - AX4-99 | -.1.907(b) | 0,057 | 16 | 34 |
| AX4-96 - AX4-99 | -.1.762(b) | 0,078 | 19 | 31 |

Vedleggstabell 2d. DCA ordinasjon av referanse-ruter h.h.v. 1994, 1995, 1996, 1999. Wilcoxon signifikans-test for forflytninger av analyseruter langs DCA-aksene, basert på prosent dekning av arter. Tabellforklaringer som i 2a. - DCA ordination of reference plots 1994, 1995, 1996 and 1999. Wilcoxon significance test for changes in positions of plots along the DCA axes, based on % coverage of the species.

| Ikke kalket | Z | Asymp. Sig. (2-tailed) | lavere verdi | høyere verdi |
|-----------------|------------|---------------------------|-----------------|-----------------|
| AX1-94 - AX1-95 | -.547(a) | 0,584 | 25 | 20 |
| AX1-94 - AX1-96 | -.739(a) | 0,46 | 25 | 20 |
| AX1-94 - AX1-99 | -1.710(a) | 0,087 | 30 | 15 |
| AX1-95 - AX1-96 | -.085(a) | 0,933 | 20 | 25 |
| AX1-95 - AX1-99 | -.762(a) | 0,446 | 22 | 23 |
| AX1-96 - AX1-99 | -.1.067(a) | 0,286 | 25 | 20 |
| AX2-94 - AX2-95 | -.1.349(a) | 0,177 | 28 | 17 |
| AX2-94 - AX2-96 | -.1.134(a) | 0,257 | 23 | 22 |
| AX2-94 - AX2-99 | -.040(a) | 0,968 | 22 | 23 |
| AX2-95 - AX2-96 | -.1.010(a) | 0,312 | 24 | 21 |
| AX2-95 - AX2-99 | -.389(b) | 0,697 | 21 | 24 |
| AX2-96 - AX2-99 | -.1.377(b) | 0,168 | 19 | 26 |
| AX3-94 - AX3-95 | -.1.155(b) | 0,248 | 17 | 27 |
| AX3-94 - AX3-96 | -.672(b) | 0,502 | 20 | 25 |
| AX3-94 - AX3-99 | -.2.568(a) | 0,01 | 30 | 15 |
| AX3-95 - AX3-96 | -.525(a) | 0,6 | 22 | 23 |
| AX3-95 - AX3-99 | -.3.098(a) | 0,002 | 12 | 33 |
| AX3-96 - AX3-99 | -.2.929(a) | 0,003 | 31 | 13 |
| AX4-94 - AX4-95 | -.1.721(a) | 0,085 | 26 | 19 |
| AX4-94 - AX4-96 | -.028(a) | 0,977 | 22 | 23 |
| AX4-94 - AX4-99 | -.2.173(b) | 0,03 | 17 | 28 |
| AX4-95 - AX4-96 | -.1.857(b) | 0,063 | 17 | 28 |
| AX4-95 - AX4-99 | -.3.652(b) | 0 | 12 | 33 |
| AX4-96 - AX4-99 | -.2.681(b) | 0,007 | 14 | 31 |

Vedleggstabell 3a. Artendringer i rutenanalysene. Endringer i frekvens av arter i kalkingsruter (Fugliåsen) 1994-95, 1994-96 og 1994-99. Arter som i en gitt periode har hatt signifikant fram- eller tilbakegang er angitt med fete typer. - Changes in the frequency of species in the limed plots. Significant changes marked in bold-faced types.

| Arter | år | Z | Sign | totalt | tilbake | fram |
|------------------------------|-------|-----------|-------|--------|---------|------|
| Agrostis canina1 | 94-95 | - .736(a) | 0,461 | 8 | 1 | 3 |
| Agrostis canina2 | 94-96 | -1.289(a) | 0,197 | 8 | 1 | 3 |
| Agrostis canina3 | 94-99 | -1.892(a) | 0,058 | 9 | 1 | 5 |
| Agrostis capillaris1 | 94-95 | -1.000(a) | 0,317 | 9 | 2 | 4 |
| Agrostis capillaris2 | 94-96 | -1.897(a) | 0,058 | 9 | 1 | 6 |
| Agrostis capillaris3 | 94-99 | -1.144(a) | 0,253 | 10 | 4 | 6 |
| Anemone nemorosa1 | 94-95 | -2.230(b) | 0,026 | 15 | 9 | 2 |
| Anemone nemorosa2 | 94-96 | -1.497(a) | 0,134 | 16 | 2 | 7 |
| Anemone nemorosa3 | 94-99 | -1.894(b) | 0,058 | 18 | 12 | 6 |
| Athyrium filix-femina1 | 94-95 | -1.342(a) | 0,18 | 3 | 0 | 2 |
| Athyrium filix-femina2 | 94-96 | -1.289(a) | 0,197 | 4 | 1 | 3 |
| Athyrium filix-femina3 | 94-99 | -1.633(a) | 0,102 | 4 | 0 | 3 |
| Atrichum undulatum1 | 94-95 | -1.000(a) | 0,317 | 1 | 1 | 0 |
| Atrichum undulatum2 | 94-96 | .000(b) | 1 | 1 | 0 | 0 |
| Atrichum undulatum3 | 94-99 | -1.000(a) | 0,317 | 1 | 1 | 0 |
| Barbilophozia attenuata1 | 94-95 | -1.000(c) | 0,317 | 3 | 0 | 1 |
| Barbilophozia attenuata2 | 94-96 | -1.633(c) | 0,102 | 5 | 0 | 3 |
| Barbilophozia attenuata3 | 94-99 | .000(b) | 1 | 3 | 1 | 1 |
| Barbilophozia barbata1 | 94-95 | .000(b) | 1 | 0 | 0 | 0 |
| Barbilophozia barbata2 | 94-96 | .000(b) | 1 | 0 | 0 | 0 |
| Barbilophozia barbata3 | 94-99 | .000(b) | 1 | 0 | 0 | 0 |
| Barbilophozia floerkei1 | 94-95 | - .816(a) | 0,414 | 3 | 2 | 1 |
| Barbilophozia floerkei2 | 94-96 | -1.633(a) | 0,102 | 3 | 3 | 0 |
| Barbilophozia floerkei3 | 94-99 | - .816(a) | 0,414 | 3 | 2 | 1 |
| Barbilophozia lycopodioides1 | 94-95 | - .687(c) | 0,492 | 8 | 1 | 4 |
| Barbilophozia lycopodioides2 | 94-96 | - .952(c) | 0,341 | 8 | 2 | 6 |
| Barbilophozia lycopodioides3 | 94-99 | - .355(c) | 0,723 | 8 | 4 | 4 |
| Bazzania trilobata1 | 94-95 | -1.000(a) | 0,317 | 2 | 1 | 0 |
| Bazzania trilobata2 | 94-96 | -1.342(a) | 0,18 | 2 | 2 | 0 |
| Bazzania trilobata3 | 94-99 | -1.342(a) | 0,18 | 2 | 2 | 0 |
| Betula pubescens1 | 94-95 | - .577(a) | 0,564 | 3 | 1 | 2 |
| Betula pubescens2 | 94-96 | -1.000(a) | 0,317 | 2 | 0 | 1 |
| Betula pubescens3 | 94-99 | -1.000(a) | 0,317 | 2 | 0 | 1 |
| Blechnum spicant1 | 94-95 | -1.633(a) | 0,102 | 3 | 0 | 3 |
| Blechnum spicant2 | 94-96 | -1.414(a) | 0,157 | 3 | 0 | 2 |
| Blechnum spicant3 | 94-99 | -1.414(a) | 0,157 | 3 | 0 | 2 |
| Blepharostoma trichophyllum1 | 94-95 | .000(b) | 1 | 1 | 0 | 0 |
| Blepharostoma trichophyllum2 | 94-96 | .000(b) | 1 | 1 | 0 | 0 |
| Blepharostoma trichophyllum3 | 94-99 | .000(b) | 1 | 1 | 0 | 0 |
| Brachythecium reflexum1 | 94-95 | -1.000(c) | 0,317 | 4 | 0 | 1 |
| Brachythecium reflexum2 | 94-96 | -1.414(c) | 0,157 | 4 | 0 | 2 |
| Brachythecium reflexum3 | 94-99 | -1.382(c) | 0,167 | 7 | 2 | 4 |
| Brachythecium rivulare1 | 94-95 | .000(b) | 1 | 0 | 0 | 0 |
| Brachythecium rivulare2 | 94-96 | .000(b) | 1 | 0 | 0 | 0 |
| Brachythecium rivulare3 | 94-99 | .000(b) | 1 | 0 | 0 | 0 |
| Brachythecium rutabulum1 | 94-95 | .000(b) | 1 | 0 | 0 | 0 |
| Brachythecium rutabulum2 | 94-96 | .000(b) | 1 | 0 | 0 | 0 |
| Brachythecium rutabulum3 | 94-99 | .000(b) | 1 | 0 | 0 | 0 |
| Brachythecium salebrosum1 | 94-95 | -1.000(a) | 0,317 | 1 | 1 | 0 |
| Brachythecium salebrosum2 | 94-96 | - .447(a) | 0,655 | 2 | 1 | 1 |

forts neste side

Vedleggstabell 3a. fortsetter:

| Arter | år | Z | Sign | totalt | tilbake | fram |
|------------------------------|-------|-----------|-------|--------|---------|------|
| Brachythecium salebrosum3 | 94-99 | -1.000(a) | 0,317 | 1 | 1 | 0 |
| Brachythecium spp.1 | 94-95 | -1.000(c) | 0,317 | 1 | 0 | 1 |
| Brachythecium spp.2 | 94-96 | .000(b) | 1 | 2 | 1 | 1 |
| Brachythecium spp.3 | 94-99 | -.447(c) | 0,655 | 2 | 1 | 1 |
| Brachythecium velutinum1 | 94-95 | -1.000(c) | 0,317 | 1 | 0 | 1 |
| Brachythecium velutinum2 | 94-96 | -1.000(c) | 0,317 | 1 | 0 | 1 |
| Brachythecium velutinum3 | 94-99 | -1.000(c) | 0,317 | 1 | 0 | 1 |
| Bryum sp.1 | 94-95 | .000(b) | 1 | 0 | 0 | 0 |
| Bryum sp.2 | 94-96 | .000(b) | 1 | 0 | 0 | 0 |
| Bryum sp.3 | 94-99 | .000(b) | 1 | 0 | 0 | 0 |
| Calamagrostis epigeios1 | 94-95 | -1.300(a) | 0,194 | 8 | 1 | 3 |
| Calamagrostis epigeios2 | 94-96 | -1.300(a) | 0,194 | 8 | 1 | 3 |
| Calamagrostis epigeios3 | 94-99 | -1.473(a) | 0,141 | 8 | 1 | 3 |
| Calamagrostis purpurea1 | 94-95 | -.595(a) | 0,552 | 17 | 6 | 6 |
| Calamagrostis purpurea2 | 94-96 | -.063(a) | 0,95 | 17 | 8 | 6 |
| Calamagrostis purpurea3 | 94-99 | -.630(a) | 0,529 | 17 | 7 | 8 |
| Calliergon stramineum1 | 94-95 | -.816(a) | 0,414 | 3 | 2 | 1 |
| Calliergon stramineum2 | 94-96 | -.680(a) | 0,496 | 5 | 3 | 2 |
| Calliergon stramineum3 | 94-99 | -1.105(c) | 0,269 | 5 | 1 | 3 |
| Calluna vulgaris1 | 94-95 | -.647(b) | 0,518 | 9 | 4 | 2 |
| Calluna vulgaris2 | 94-96 | -1.682(b) | 0,093 | 9 | 5 | 1 |
| Calluna vulgaris3 | 94-99 | -1.552(a) | 0,121 | 10 | 2 | 5 |
| Calypogeia fissa1 | 94-95 | .000(b) | 1 | 1 | 0 | 0 |
| Calypogeia fissa2 | 94-96 | .000(b) | 1 | 1 | 0 | 0 |
| Calypogeia fissa3 | 94-99 | -1.000(a) | 0,317 | 1 | 1 | 0 |
| Calypogeia integriflora1 | 94-95 | .000(b) | 1 | 2 | 0 | 0 |
| Calypogeia integriflora2 | 94-96 | -1.000(c) | 0,317 | 3 | 0 | 1 |
| Calypogeia integriflora3 | 94-99 | -.577(c) | 0,564 | 4 | 1 | 2 |
| Calypogeia muelleriana agg.1 | 94-95 | -2.732(c) | 0,006 | 24 | 2 | 13 |
| Calypogeia muelleriana agg.2 | 94-96 | -.836(c) | 0,403 | 25 | 6 | 10 |
| Calypogeia muelleriana agg.3 | 94-99 | -2.842(c) | 0,004 | 29 | 3 | 19 |
| Calypogeia neesiana1 | 94-95 | .000(b) | 1 | 0 | 0 | 0 |
| Calypogeia neesiana2 | 94-96 | .000(b) | 1 | 0 | 0 | 0 |
| Calypogeia neesiana3 | 94-99 | .000(b) | 1 | 0 | 0 | 0 |
| Calypogeia sp.1 | 94-95 | .000(b) | 1 | 0 | 0 | 0 |
| Calypogeia sp.2 | 94-96 | .000(b) | 1 | 0 | 0 | 0 |
| Calypogeia sp.3 | 94-99 | .000(b) | 1 | 0 | 0 | 0 |
| Campanula rotundifolia1 | 94-95 | .000(c) | 1 | 0 | 0 | 0 |
| Campanula rotundifolia2 | 94-96 | .000(c) | 1 | 0 | 0 | 0 |
| Campanula rotundifolia3 | 94-99 | -1.000(a) | 0,317 | 1 | 0 | 1 |
| Carex canescens1 | 94-95 | .000(c) | 1 | 0 | 0 | 0 |
| Carex canescens2 | 94-96 | .000(c) | 1 | 0 | 0 | 0 |
| Carex canescens3 | 94-99 | .000(c) | 1 | 0 | 0 | 0 |
| Carex digitata1 | 94-95 | .000(c) | 1 | 0 | 0 | 0 |
| Carex digitata2 | 94-96 | .000(c) | 1 | 0 | 0 | 0 |
| Carex digitata3 | 94-99 | -1.342(a) | 0,18 | 2 | 0 | 2 |
| Carex echinata1 | 94-95 | .000(c) | 1 | 1 | 0 | 0 |
| Carex echinata2 | 94-96 | -1.000(b) | 0,317 | 1 | 1 | 0 |
| Carex echinata3 | 94-99 | .000(c) | 1 | 1 | 0 | 0 |
| Carex pallescens1 | 94-95 | -.184(a) | 0,854 | 4 | 2 | 2 |
| Carex pallescens2 | 94-96 | -.577(a) | 0,564 | 3 | 1 | 2 |
| Carex pallescens3 | 94-99 | -.577(b) | 0,564 | 3 | 2 | 1 |

fortsetter neste side

Vedleggstabell 3a. fortsetter:

| Arter | år | Z | Sign | totalt | tilbake | fram |
|----------------------------|-------|-----------|-------|--------|---------|------|
| Carex panicea1 | 94-95 | -1.000(b) | 0,317 | 3 | 1 | 0 |
| Carex panicea2 | 94-96 | -1.000(a) | 0,317 | 3 | 0 | 1 |
| Carex panicea3 | 94-99 | -.816(a) | 0,414 | 4 | 1 | 2 |
| Carex pilulifera1 | 94-95 | -1.000(b) | 0,317 | 1 | 1 | 0 |
| Carex pilulifera2 | 94-96 | -1.000(b) | 0,317 | 1 | 1 | 0 |
| Carex pilulifera3 | 94-99 | -.535(a) | 0,593 | 3 | 1 | 2 |
| Cephalozia bicuspidata1 | 94-95 | .000(b) | 1 | 0 | 0 | 0 |
| Cephalozia bicuspidata2 | 94-96 | .000(b) | 1 | 0 | 0 | 0 |
| Cephalozia bicuspidata3 | 94-99 | -2.410(c) | 0,016 | 7 | 0 | 7 |
| Cephalozia spp.1 | 94-95 | -.137(a) | 0,891 | 6 | 3 | 2 |
| Cephalozia spp.2 | 94-96 | -.431(a) | 0,666 | 6 | 4 | 2 |
| Cephalozia spp.3 | 94-99 | -1.725(a) | 0,084 | 6 | 5 | 1 |
| Cephaloziella sp.1 | 94-95 | .000(b) | 1 | 1 | 0 | 0 |
| Cephaloziella sp.2 | 94-96 | .000(b) | 1 | 1 | 0 | 0 |
| Cephaloziella sp.3 | 94-99 | .000(b) | 1 | 1 | 0 | 0 |
| Cetraria islandica1 | 94-95 | .000(b) | 1 | 1 | 0 | 0 |
| Cetraria islandica2 | 94-96 | .000(b) | 1 | 1 | 0 | 0 |
| Cetraria islandica3 | 94-99 | -1.000(a) | 0,317 | 1 | 1 | 0 |
| Cirsium helenioides1 | 94-95 | -1.000(a) | 0,317 | 1 | 0 | 1 |
| Cirsium helenioides2 | 94-96 | -1.000(a) | 0,317 | 1 | 0 | 1 |
| Cirsium helenioides3 | 94-99 | -1.414(a) | 0,157 | 2 | 0 | 2 |
| Cladonia arbuscula agg.1 | 94-95 | -1.000(a) | 0,317 | 2 | 1 | 0 |
| Cladonia arbuscula agg.2 | 94-96 | -.816(a) | 0,414 | 3 | 2 | 1 |
| Cladonia arbuscula agg.3 | 94-99 | .000(b) | 1 | 2 | 1 | 1 |
| Cladonia bellidiflora1 | 94-95 | .000(b) | 1 | 0 | 0 | 0 |
| Cladonia bellidiflora2 | 94-96 | .000(b) | 1 | 0 | 0 | 0 |
| Cladonia bellidiflora3 | 94-99 | .000(b) | 1 | 0 | 0 | 0 |
| Cladonia carneola1 | 94-95 | -1.518(a) | 0,129 | 5 | 4 | 1 |
| Cladonia carneola2 | 94-96 | -1.261(a) | 0,207 | 6 | 4 | 2 |
| Cladonia carneola3 | 94-99 | -1.577(a) | 0,115 | 6 | 4 | 2 |
| Cladonia cenotea1 | 94-95 | -1.000(a) | 0,317 | 1 | 1 | 0 |
| Cladonia cenotea2 | 94-96 | -1.000(a) | 0,317 | 1 | 1 | 0 |
| Cladonia cenotea3 | 94-99 | -1.000(a) | 0,317 | 1 | 1 | 0 |
| Cladonia chlorophaea agg.1 | 94-95 | -1.292(a) | 0,196 | 11 | 5 | 3 |
| Cladonia chlorophaea agg.2 | 94-96 | .000(b) | 1 | 11 | 4 | 3 |
| Cladonia chlorophaea agg.3 | 94-99 | -1.132(a) | 0,258 | 11 | 7 | 3 |
| Cladonia coccifera agg.1 | 94-95 | -1.000(a) | 0,317 | 2 | 1 | 0 |
| Cladonia coccifera agg.2 | 94-96 | -1.000(a) | 0,317 | 2 | 1 | 0 |
| Cladonia coccifera agg.3 | 94-99 | -1.342(a) | 0,18 | 2 | 2 | 0 |
| Cladonia coniocraea1 | 94-95 | .000(b) | 1 | 0 | 0 | 0 |
| Cladonia coniocraea2 | 94-96 | .000(b) | 1 | 0 | 0 | 0 |
| Cladonia coniocraea3 | 94-99 | .000(b) | 1 | 0 | 0 | 0 |
| Cladonia cornuta1 | 94-95 | .000(b) | 1 | 1 | 0 | 0 |
| Cladonia cornuta2 | 94-96 | .000(b) | 1 | 1 | 0 | 0 |
| Cladonia cornuta3 | 94-99 | .000(b) | 1 | 1 | 0 | 0 |
| Cladonia crispata1 | 94-95 | .000(b) | 1 | 0 | 0 | 0 |
| Cladonia crispata2 | 94-96 | .000(b) | 1 | 0 | 0 | 0 |
| Cladonia crispata3 | 94-99 | .000(b) | 1 | 0 | 0 | 0 |
| Cladonia digitata1 | 94-95 | .000(b) | 1 | 0 | 0 | 0 |
| Cladonia digitata2 | 94-96 | .000(b) | 1 | 0 | 0 | 0 |
| Cladonia digitata3 | 94-99 | .000(b) | 1 | 0 | 0 | 0 |
| Cladonia floerkeana1 | 94-95 | -1.300(c) | 0,194 | 4 | 1 | 3 |

fortsetter neste side

Vedleggstabell 3a. fortsetter:

| Arter | år | Z | Sign | totalt | tilbake | fram |
|----------------------------------|-------|-----------|-------|--------|---------|------|
| <i>Cladonia floerkeana</i> 2 | 94-96 | -1.105(c) | 0,269 | 4 | 1 | 3 |
| <i>Cladonia floerkeana</i> 3 | 94-99 | -1.000(a) | 0,317 | 1 | 1 | 0 |
| <i>Cladonia furcata</i> 1 | 94-95 | -2.251(a) | 0,024 | 6 | 6 | 0 |
| <i>Cladonia furcata</i> 2 | 94-96 | -2.232(a) | 0,026 | 6 | 6 | 0 |
| <i>Cladonia furcata</i> 3 | 94-99 | -2.214(a) | 0,027 | 6 | 6 | 0 |
| <i>Cladonia gracilis</i> 1 | 94-95 | -1.000(a) | 0,317 | 1 | 1 | 0 |
| <i>Cladonia gracilis</i> 2 | 94-96 | -1.000(a) | 0,317 | 1 | 1 | 0 |
| <i>Cladonia gracilis</i> 3 | 94-99 | -447(a) | 0,655 | 2 | 1 | 1 |
| <i>Cladonia rangiferina</i> 1 | 94-95 | -.378(a) | 0,705 | 7 | 2 | 2 |
| <i>Cladonia rangiferina</i> 2 | 94-96 | -.707(a) | 0,48 | 7 | 3 | 2 |
| <i>Cladonia rangiferina</i> 3 | 94-99 | -.108(c) | 0,914 | 8 | 3 | 3 |
| <i>Cladonia spp.</i> 1 | 94-95 | .000(b) | 1 | 0 | 0 | 0 |
| <i>Cladonia spp.</i> 2 | 94-96 | .000(b) | 1 | 0 | 0 | 0 |
| <i>Cladonia spp.</i> 3 | 94-99 | -1.414(c) | 0,157 | 2 | 0 | 2 |
| <i>Cladonia squamosa</i> 1 | 94-95 | -.577(a) | 0,564 | 5 | 1 | 2 |
| <i>Cladonia squamosa</i> 2 | 94-96 | -1.000(a) | 0,317 | 5 | 1 | 3 |
| <i>Cladonia squamosa</i> 3 | 94-99 | -1.300(b) | 0,194 | 4 | 3 | 1 |
| <i>Cladonia subulata</i> 1 | 94-95 | -1.000(b) | 0,317 | 1 | 1 | 0 |
| <i>Cladonia subulata</i> 2 | 94-96 | -1.000(b) | 0,317 | 1 | 1 | 0 |
| <i>Cladonia subulata</i> 3 | 94-99 | -1.000(b) | 0,317 | 1 | 1 | 0 |
| <i>Cladonia sulphurina</i> agg.1 | 94-95 | .000(c) | 1 | 0 | 0 | 0 |
| <i>Cladonia sulphurina</i> agg.2 | 94-96 | .000(c) | 1 | 0 | 0 | 0 |
| <i>Cladonia sulphurina</i> agg.3 | 94-99 | .000(c) | 1 | 0 | 0 | 0 |
| <i>Cladonia uncialis</i> 1 | 94-95 | -2.041(b) | 0,041 | 6 | 5 | 0 |
| <i>Cladonia uncialis</i> 2 | 94-96 | -1.761(b) | 0,078 | 6 | 4 | 1 |
| <i>Cladonia uncialis</i> 3 | 94-99 | -2.032(b) | 0,042 | 6 | 5 | 0 |
| <i>Convallaria majalis</i> 1 | 94-95 | .000(c) | 1 | 0 | 0 | 0 |
| <i>Convallaria majalis</i> 2 | 94-96 | .000(c) | 1 | 0 | 0 | 0 |
| <i>Convallaria majalis</i> 3 | 94-99 | .000(c) | 1 | 0 | 0 | 0 |
| <i>Corylus avellana</i> 1 | 94-95 | .000(c) | 1 | 0 | 0 | 0 |
| <i>Corylus avellana</i> 2 | 94-96 | .000(c) | 1 | 0 | 0 | 0 |
| <i>Corylus avellana</i> 3 | 94-99 | .000(c) | 1 | 0 | 0 | 0 |
| <i>Crepis palludosa</i> 1 | 94-95 | .000(c) | 1 | 0 | 0 | 0 |
| <i>Crepis palludosa</i> 2 | 94-96 | .000(c) | 1 | 0 | 0 | 0 |
| <i>Crepis palludosa</i> 3 | 94-99 | -1.342(a) | 0,18 | 2 | 0 | 2 |
| <i>Deschampsia cespitosa</i> 1 | 94-95 | .000(b) | 1 | 1 | 0 | 0 |
| <i>Deschampsia cespitosa</i> 2 | 94-96 | .000(b) | 1 | 1 | 0 | 0 |
| <i>Deschampsia cespitosa</i> 3 | 94-99 | -1.000(c) | 0,317 | 1 | 0 | 1 |
| <i>Deschampsia flexuosa</i> 1 | 94-95 | -1.096(c) | 0,273 | 34 | 5 | 9 |
| <i>Deschampsia flexuosa</i> 2 | 94-96 | -.158(a) | 0,874 | 35 | 8 | 8 |
| <i>Deschampsia flexuosa</i> 3 | 94-99 | -1.061(c) | 0,288 | 35 | 4 | 11 |
| <i>Dicranum drummondii</i> 1 | 94-95 | -1.300(c) | 0,194 | 5 | 1 | 3 |
| <i>Dicranum drummondii</i> 2 | 94-96 | -2.070(c) | 0,038 | 6 | 0 | 5 |
| <i>Dicranum drummondii</i> 3 | 94-99 | -.680(c) | 0,496 | 5 | 1 | 4 |
| <i>Dicranum fuscescens</i> 1 | 94-95 | -1.265(a) | 0,206 | 10 | 5 | 2 |
| <i>Dicranum fuscescens</i> 2 | 94-96 | -1.100(a) | 0,271 | 11 | 5 | 3 |
| <i>Dicranum fuscescens</i> 3 | 94-99 | -1.299(a) | 0,194 | 10 | 5 | 3 |
| <i>Dicranum majus</i> 1 | 94-95 | -2.762(c) | 0,006 | 31 | 5 | 15 |
| <i>Dicranum majus</i> 2 | 94-96 | -3.205(c) | 0,001 | 31 | 4 | 18 |
| <i>Dicranum majus</i> 3 | 94-99 | -2.565(c) | 0,01 | 31 | 6 | 15 |
| <i>Dicranum montanum</i> 1 | 94-95 | -1.000(a) | 0,317 | 1 | 1 | 0 |
| <i>Dicranum montanum</i> 2 | 94-96 | -1.000(a) | 0,317 | 1 | 1 | 0 |

fortsetter neste side

Vedleggstabell 3a. fortsetter:

| Arter | år | Z | Sign | totalt | tilbake | fram |
|----------------------------|-------|-----------|-------|--------|---------|------|
| Dicranum montanum3 | 94-99 | -1.000(a) | 0,317 | 1 | 1 | 0 |
| Dicranum polysetum1 | 94-95 | -.071(a) | 0,944 | 9 | 3 | 5 |
| Dicranum polysetum2 | 94-96 | -1.150(c) | 0,25 | 9 | 2 | 6 |
| Dicranum polysetum3 | 94-99 | -2.201(c) | 0,028 | 9 | 2 | 7 |
| Dicranum scoparium1 | 94-95 | -.584(a) | 0,559 | 35 | 14 | 11 |
| Dicranum scoparium2 | 94-96 | -1.659(c) | 0,097 | 38 | 11 | 18 |
| Dicranum scoparium3 | 94-99 | -.646(c) | 0,518 | 38 | 14 | 17 |
| Dicranum spurium1 | 94-95 | -.816(c) | 0,414 | 3 | 1 | 2 |
| Dicranum spurium2 | 94-96 | -.447(c) | 0,655 | 2 | 1 | 1 |
| Dicranum spurium3 | 94-99 | -.816(c) | 0,414 | 3 | 1 | 2 |
| Drepanocladus exannulatus1 | 94-95 | .000(b) | 1 | 0 | 0 | 0 |
| Drepanocladus exannulatus2 | 94-96 | -1.000(c) | 0,317 | 1 | 0 | 1 |
| Drepanocladus exannulatus3 | 94-99 | -1.342(c) | 0,18 | 2 | 0 | 2 |
| Drepanocladus uncinatus1 | 94-95 | .000(b) | 1 | 1 | 0 | 0 |
| Drepanocladus uncinatus2 | 94-96 | -1.000(c) | 0,317 | 1 | 0 | 1 |
| Drepanocladus uncinatus3 | 94-99 | -1.000(a) | 0,317 | 1 | 1 | 0 |
| Dryopteris expansa agg.1 | 94-95 | -1.000(a) | 0,317 | 1 | 0 | 1 |
| Dryopteris expansa agg.2 | 94-96 | -1.000(a) | 0,317 | 1 | 0 | 1 |
| Dryopteris expansa agg.3 | 94-99 | -1.000(a) | 0,317 | 1 | 0 | 1 |
| Dryopteris filix-mas1 | 94-95 | .000(c) | 1 | 0 | 0 | 0 |
| Dryopteris filix-mas2 | 94-96 | .000(c) | 1 | 0 | 0 | 0 |
| Dryopteris filix-mas3 | 94-99 | -1.000(a) | 0,317 | 1 | 0 | 1 |
| Epilobium angustifolium1 | 94-95 | .000(c) | 1 | 0 | 0 | 0 |
| Epilobium angustifolium2 | 94-96 | .000(c) | 1 | 0 | 0 | 0 |
| Epilobium angustifolium3 | 94-99 | -1.000(a) | 0,317 | 1 | 0 | 1 |
| Filipendula ulmaria1 | 94-95 | -1.000(a) | 0,317 | 1 | 0 | 1 |
| Filipendula ulmaria2 | 94-96 | -1.000(a) | 0,317 | 1 | 0 | 1 |
| Filipendula ulmaria3 | 94-99 | -1.000(a) | 0,317 | 1 | 0 | 1 |
| Frangula alnus1 | 94-95 | -1.000(a) | 0,317 | 1 | 0 | 1 |
| Frangula alnus2 | 94-96 | .000(c) | 1 | 1 | 0 | 0 |
| Frangula alnus3 | 94-99 | -1.000(b) | 0,317 | 1 | 1 | 0 |
| Galeopsis sp.1 | 94-95 | .000(c) | 1 | 0 | 0 | 0 |
| Galeopsis sp.2 | 94-96 | .000(c) | 1 | 0 | 0 | 0 |
| Galeopsis sp.3 | 94-99 | .000(c) | 1 | 0 | 0 | 0 |
| Geranium sylvaticum1 | 94-95 | -.106(b) | 0,915 | 11 | 3 | 3 |
| Geranium sylvaticum2 | 94-96 | -.551(b) | 0,582 | 10 | 5 | 4 |
| Geranium sylvaticum3 | 94-99 | .000(c) | 1 | 10 | 4 | 3 |
| Geum sp.1 | 94-95 | -1.000(a) | 0,317 | 1 | 0 | 1 |
| Geum sp.2 | 94-96 | .000(b) | 1 | 0 | 0 | 0 |
| Geum sp.3 | 94-99 | .000(b) | 1 | 0 | 0 | 0 |
| Goodyera repens1 | 94-95 | .000(b) | 1 | 0 | 0 | 0 |
| Goodyera repens2 | 94-96 | .000(b) | 1 | 0 | 0 | 0 |
| Goodyera repens3 | 94-99 | .000(b) | 1 | 0 | 0 | 0 |
| Gymnocarpium dryopteris1 | 94-95 | -1.897(a) | 0,058 | 13 | 1 | 5 |
| Gymnocarpium dryopteris2 | 94-96 | -2.354(a) | 0,019 | 13 | 1 | 8 |
| Gymnocarpium dryopteris3 | 94-99 | -1.552(a) | 0,121 | 13 | 2 | 5 |
| Hylocomium splendens1 | 94-95 | -.073(a) | 0,941 | 31 | 10 | 11 |
| Hylocomium splendens2 | 94-96 | -.592(a) | 0,554 | 31 | 14 | 11 |
| Hylocomium splendens3 | 94-99 | -.831(c) | 0,406 | 32 | 13 | 16 |
| Hylocomium umbratum1 | 94-95 | -1.580(c) | 0,114 | 9 | 1 | 7 |
| Hylocomium umbratum2 | 94-96 | -2.844(c) | 0,004 | 10 | 0 | 10 |
| Hylocomium umbratum3 | 94-99 | -2.940(c) | 0,003 | 11 | 0 | 11 |

fortsetter neste side

Vedleggstabell 3a. fortsetter:

| Arter | år | Z | Sign | totalt | tilbake | fram |
|---------------------------|-------|-----------|-------|--------|---------|------|
| Hypnum cupressiforme1 | 94-95 | -1.414(a) | 0,157 | 4 | 2 | 0 |
| Hypnum cupressiforme2 | 94-96 | -1.604(c) | 0,109 | 4 | 0 | 3 |
| Hypnum cupressiforme3 | 94-99 | -1.997(c) | 0,046 | 7 | 1 | 5 |
| Isothecium myosuroides1 | 94-95 | -1.000(c) | 0,317 | 1 | 0 | 1 |
| Isothecium myosuroides2 | 94-96 | .000(b) | 1 | 1 | 0 | 0 |
| Isothecium myosuroides3 | 94-99 | -1.000(c) | 0,317 | 1 | 0 | 1 |
| Juniperus communis1 | 94-95 | .000(b) | 1 | 0 | 0 | 0 |
| Juniperus communis2 | 94-96 | .000(b) | 1 | 0 | 0 | 0 |
| Juniperus communis3 | 94-99 | .000(b) | 1 | 0 | 0 | 0 |
| Lathyrus montanus1 | 94-95 | .000(b) | 1 | 0 | 0 | 0 |
| Lathyrus montanus2 | 94-96 | .000(b) | 1 | 0 | 0 | 0 |
| Lathyrus montanus3 | 94-99 | .000(b) | 1 | 0 | 0 | 0 |
| Lepidozia reptans1 | 94-95 | .000(c) | 1 | 0 | 0 | 0 |
| Lepidozia reptans2 | 94-96 | .000(c) | 1 | 0 | 0 | 0 |
| Lepidozia reptans3 | 94-99 | -1.000(a) | 0,317 | 1 | 0 | 1 |
| Leucobryum glaucum1 | 94-95 | -1.000(a) | 0,317 | 2 | 1 | 0 |
| Leucobryum glaucum2 | 94-96 | -.447(b) | 0,655 | 2 | 1 | 1 |
| Leucobryum glaucum3 | 94-99 | -.557(b) | 0,577 | 4 | 1 | 3 |
| Linnea borealis1 | 94-95 | -1.000(a) | 0,317 | 3 | 0 | 1 |
| Linnea borealis2 | 94-96 | -.816(a) | 0,414 | 4 | 1 | 2 |
| Linnea borealis3 | 94-99 | -1.000(a) | 0,317 | 6 | 2 | 4 |
| Listera cordata1 | 94-95 | -1.000(a) | 0,317 | 1 | 0 | 1 |
| Listera cordata2 | 94-96 | -1.000(a) | 0,317 | 1 | 0 | 1 |
| Listera cordata3 | 94-99 | -2.060(a) | 0,039 | 5 | 0 | 5 |
| Lophocolea bidentata1 | 94-95 | .000(c) | 1 | 0 | 0 | 0 |
| Lophocolea bidentata2 | 94-96 | .000(c) | 1 | 0 | 0 | 0 |
| Lophocolea bidentata3 | 94-99 | .000(c) | 1 | 0 | 0 | 0 |
| Lophocolea heterophylla1 | 94-95 | -1.265(b) | 0,206 | 13 | 5 | 2 |
| Lophocolea heterophylla2 | 94-96 | -1.897(b) | 0,058 | 13 | 6 | 1 |
| Lophocolea heterophylla3 | 94-99 | -1.541(b) | 0,123 | 14 | 8 | 3 |
| Lophozia obtusa1 | 94-95 | -1.000(b) | 0,317 | 1 | 1 | 0 |
| Lophozia obtusa2 | 94-96 | .000(c) | 1 | 1 | 0 | 0 |
| Lophozia obtusa3 | 94-99 | -1.000(b) | 0,317 | 1 | 1 | 0 |
| Lophozia ventricosa agg.1 | 94-95 | -1.000(b) | 0,317 | 5 | 1 | 0 |
| Lophozia ventricosa agg.2 | 94-96 | -1.000(a) | 0,317 | 6 | 0 | 1 |
| Lophozia ventricosa agg.3 | 94-99 | -1.890(b) | 0,059 | 5 | 4 | 0 |
| Luzula pilosa1 | 94-95 | .000(c) | 1 | 0 | 0 | 0 |
| Luzula pilosa2 | 94-96 | .000(c) | 1 | 0 | 0 | 0 |
| Luzula pilosa3 | 94-99 | -1.000(a) | 0,317 | 1 | 0 | 1 |
| Lycopodium annotinum1 | 94-95 | -.175(a) | 0,861 | 13 | 3 | 4 |
| Lycopodium annotinum2 | 94-96 | -.317(a) | 0,751 | 14 | 5 | 6 |
| Lycopodium annotinum3 | 94-99 | -.134(c) | 0,894 | 13 | 5 | 6 |
| Lycopodium clavatum1 | 94-95 | -1.342(a) | 0,18 | 3 | 0 | 2 |
| Lycopodium clavatum2 | 94-96 | -.577(c) | 0,564 | 3 | 2 | 1 |
| Lycopodium clavatum3 | 94-99 | -.816(c) | 0,414 | 3 | 2 | 1 |
| Lysimachia vulgaris1 | 94-95 | -.577(a) | 0,564 | 3 | 1 | 2 |
| Lysimachia vulgaris2 | 94-96 | -1.000(c) | 0,317 | 3 | 1 | 0 |
| Lysimachia vulgaris3 | 94-99 | -.577(c) | 0,564 | 3 | 2 | 1 |
| Maianthemum bifolium1 | 94-95 | -2.313(c) | 0,021 | 32 | 16 | 5 |
| Maianthemum bifolium2 | 94-96 | -2.372(a) | 0,018 | 34 | 4 | 18 |
| Maianthemum bifolium3 | 94-99 | -1.109(c) | 0,267 | 32 | 14 | 11 |
| Marsupella emarginata1 | 94-95 | .000(c) | 1 | 1 | 0 | 0 |

fortsetter neste side

Vedleggstabell 3a. fortsetter:

| Arter | år | Z | Sign | totalt | tilbake | fram |
|--------------------------|-------|-----------|-------|--------|---------|------|
| Marsupella emarginata2 | 94-96 | -1.000(b) | 0,317 | 1 | 1 | 0 |
| Marsupella emarginata3 | 94-99 | -1.000(b) | 0,317 | 1 | 1 | 0 |
| Melampyrum pratense1 | 94-95 | -2.270(a) | 0,023 | 12 | 3 | 9 |
| Melampyrum pratense2 | 94-96 | -3.124(a) | 0,002 | 15 | 1 | 13 |
| Melampyrum pratense3 | 94-99 | -4.027(a) | 0 | 25 | 3 | 22 |
| Melica nutans1 | 94-95 | -1.633(b) | 0,102 | 8 | 1 | 5 |
| Melica nutans2 | 94-96 | -2.511(b) | 0,012 | 10 | 1 | 9 |
| Melica nutans3 | 94-99 | -1.403(b) | 0,161 | 8 | 2 | 5 |
| Mezgeria furcata1 | 94-95 | .000(c) | 1 | 0 | 0 | 0 |
| Mezgeria furcata2 | 94-96 | .000(c) | 1 | 0 | 0 | 0 |
| Mezgeria furcata3 | 94-99 | -1.000(a) | 0,317 | 1 | 0 | 1 |
| Milium effusum1 | 94-95 | .000(b) | 1 | 0 | 0 | 0 |
| Milium effusum2 | 94-96 | .000(b) | 1 | 0 | 0 | 0 |
| Milium effusum3 | 94-99 | .000(b) | 1 | 0 | 0 | 0 |
| Mnium hornum1 | 94-95 | -1.000(b) | 0,317 | 2 | 0 | 1 |
| Mnium hornum2 | 94-96 | -1.000(b) | 0,317 | 1 | 0 | 1 |
| Mnium hornum3 | 94-99 | -1.000(b) | 0,317 | 2 | 0 | 1 |
| Mnium sp.1 | 94-95 | .000(c) | 1 | 0 | 0 | 0 |
| Mnium sp.2 | 94-96 | .000(c) | 1 | 0 | 0 | 0 |
| Mnium sp.3 | 94-99 | .000(c) | 1 | 0 | 0 | 0 |
| Molinia caerulea1 | 94-95 | -1.165(a) | 0,244 | 15 | 7 | 3 |
| Molinia caerulea2 | 94-96 | -.659(a) | 0,51 | 15 | 5 | 4 |
| Molinia caerulea3 | 94-99 | -.533(a) | 0,594 | 15 | 7 | 6 |
| Narthecium ossifragum1 | 94-95 | -1.000(a) | 0,317 | 1 | 0 | 1 |
| Narthecium ossifragum2 | 94-96 | -1.000(a) | 0,317 | 1 | 0 | 1 |
| Narthecium ossifragum3 | 94-99 | .000(b) | 1 | 0 | 0 | 0 |
| Orthilia secunda1 | 94-95 | -1.000(c) | 0,317 | 1 | 1 | 0 |
| Orthilia secunda2 | 94-96 | -1.000(a) | 0,317 | 2 | 0 | 1 |
| Orthilia secunda3 | 94-99 | -1.000(a) | 0,317 | 2 | 0 | 1 |
| Oxalis acetosella1 | 94-95 | -1.342(c) | 0,18 | 2 | 2 | 0 |
| Oxalis acetosella2 | 94-96 | .000(b) | 1 | 2 | 1 | 1 |
| Oxalis acetosella3 | 94-99 | -1.000(a) | 0,317 | 2 | 0 | 1 |
| Paris quadrifolia1 | 94-95 | .000(b) | 1 | 0 | 0 | 0 |
| Paris quadrifolia2 | 94-96 | .000(b) | 1 | 0 | 0 | 0 |
| Paris quadrifolia3 | 94-99 | .000(b) | 1 | 0 | 0 | 0 |
| Pellia epiphylla1 | 94-95 | .000(c) | 1 | 1 | 0 | 0 |
| Pellia epiphylla2 | 94-96 | .000(c) | 1 | 1 | 0 | 0 |
| Pellia epiphylla3 | 94-99 | -1.000(a) | 0,317 | 1 | 0 | 1 |
| Picea abies1 | 94-95 | -2.684(c) | 0,007 | 19 | 11 | 2 |
| Picea abies2 | 94-96 | -.514(a) | 0,607 | 26 | 7 | 12 |
| Picea abies3 | 94-99 | -.507(c) | 0,612 | 24 | 10 | 7 |
| Pinus sylvestris1 | 94-95 | -.791(a) | 0,429 | 8 | 2 | 5 |
| Pinus sylvestris2 | 94-96 | -1.912(a) | 0,056 | 12 | 3 | 9 |
| Pinus sylvestris3 | 94-99 | -3.032(a) | 0,002 | 20 | 2 | 18 |
| Plagiochila asplenoides1 | 94-95 | -2.070(b) | 0,038 | 7 | 5 | 0 |
| Plagiochila asplenoides2 | 94-96 | -.940(a) | 0,347 | 7 | 3 | 4 |
| Plagiochila asplenoides3 | 94-99 | -2.032(a) | 0,042 | 7 | 0 | 5 |
| Plagiomnium affine1 | 94-95 | .000(c) | 1 | 0 | 0 | 0 |
| Plagiomnium affine2 | 94-96 | .000(c) | 1 | 0 | 0 | 0 |
| Plagiomnium affine3 | 94-99 | .000(c) | 1 | 0 | 0 | 0 |
| Plagiothecium laetum1 | 94-95 | -.447(b) | 0,655 | 8 | 2 | 3 |
| Plagiothecium laetum2 | 94-96 | -.541(b) | 0,589 | 8 | 2 | 4 |

fortsetter neste side

Vedleggstabell 3a. fortsetter:

| Arter | år | Z | Sign | totalt | tilbake | fram |
|------------------------------------|-------|-----------|-------|--------|---------|------|
| <i>Plagiothecium laetum</i> 3 | 94-99 | -.104(b) | 0,917 | 11 | 5 | 5 |
| <i>Plagiothecium spp.</i> 1 | 94-95 | -1.000(a) | 0,317 | 2 | 1 | 0 |
| <i>Plagiothecium spp.</i> 2 | 94-96 | -1.000(a) | 0,317 | 2 | 1 | 0 |
| <i>Plagiothecium spp.</i> 3 | 94-99 | .000(c) | 1 | 4 | 2 | 2 |
| <i>Plagiothecium succulentum</i> 1 | 94-95 | .000(c) | 1 | 0 | 0 | 0 |
| <i>Plagiothecium succulentum</i> 2 | 94-96 | .000(c) | 1 | 0 | 0 | 0 |
| <i>Plagiothecium succulentum</i> 3 | 94-99 | .000(c) | 1 | 0 | 0 | 0 |
| <i>Plagiothecium undulatum</i> 1 | 94-95 | -1.602(b) | 0,109 | 27 | 6 | 12 |
| <i>Plagiothecium undulatum</i> 2 | 94-96 | -2.410(b) | 0,016 | 29 | 2 | 17 |
| <i>Plagiothecium undulatum</i> 3 | 94-99 | -2.099(b) | 0,036 | 28 | 5 | 18 |
| <i>Pleurozium schreberi</i> 1 | 94-95 | -.019(a) | 0,985 | 32 | 10 | 10 |
| <i>Pleurozium schreberi</i> 2 | 94-96 | -1.835(b) | 0,066 | 34 | 8 | 17 |
| <i>Pleurozium schreberi</i> 3 | 94-99 | -2.216(b) | 0,027 | 33 | 9 | 18 |
| <i>Poa pratensis</i> 1 | 94-95 | -1.000(a) | 0,317 | 1 | 1 | 0 |
| <i>Poa pratensis</i> 2 | 94-96 | -1.000(a) | 0,317 | 1 | 1 | 0 |
| <i>Poa pratensis</i> 3 | 94-99 | -1.000(a) | 0,317 | 1 | 1 | 0 |
| <i>Pohlia nutans agg.</i> 1 | 94-95 | -.302(a) | 0,763 | 11 | 5 | 3 |
| <i>Pohlia nutans agg.</i> 2 | 94-96 | -1.876(b) | 0,061 | 10 | 2 | 5 |
| <i>Pohlia nutans agg.</i> 3 | 94-99 | -2.456(a) | 0,014 | 10 | 7 | 0 |
| <i>Polytrichum commune</i> 1 | 94-95 | -.577(b) | 0,564 | 4 | 1 | 2 |
| <i>Polytrichum commune</i> 2 | 94-96 | -.577(b) | 0,564 | 3 | 1 | 2 |
| <i>Polytrichum commune</i> 3 | 94-99 | -.272(b) | 0,785 | 4 | 1 | 2 |
| <i>Polytricum formosum</i> 1 | 94-95 | -.850(a) | 0,395 | 19 | 4 | 2 |
| <i>Polytricum formosum</i> 2 | 94-96 | -2.233(b) | 0,026 | 21 | 2 | 9 |
| <i>Polytricum formosum</i> 3 | 94-99 | -.136(b) | 0,892 | 20 | 6 | 5 |
| <i>Polytricum juniperinum</i> 1 | 94-95 | .000(c) | 1 | 4 | 1 | 1 |
| <i>Polytricum juniperinum</i> 2 | 94-96 | -.816(b) | 0,414 | 4 | 1 | 2 |
| <i>Polytricum juniperinum</i> 3 | 94-99 | -1.289(b) | 0,197 | 4 | 1 | 3 |
| <i>Populus tremula</i> 1 | 94-95 | -2.434(a) | 0,015 | 21 | 2 | 10 |
| <i>Populus tremula</i> 2 | 94-96 | -.128(c) | 0,898 | 25 | 10 | 9 |
| <i>Populus tremula</i> 3 | 94-99 | -.935(c) | 0,35 | 24 | 13 | 5 |
| <i>Potentilla erecta</i> 1 | 94-95 | -.182(a) | 0,856 | 20 | 7 | 6 |
| <i>Potentilla erecta</i> 2 | 94-96 | -.116(c) | 0,908 | 20 | 9 | 6 |
| <i>Potentilla erecta</i> 3 | 94-99 | -1.803(a) | 0,071 | 19 | 4 | 10 |
| <i>Pteridium aquilinum</i> 1 | 94-95 | -1.463(a) | 0,143 | 11 | 2 | 5 |
| <i>Pteridium aquilinum</i> 2 | 94-96 | -2.501(a) | 0,012 | 12 | 1 | 8 |
| <i>Pteridium aquilinum</i> 3 | 94-99 | -.413(a) | 0,679 | 12 | 4 | 6 |
| <i>Ptilidium ciliare</i> 1 | 94-95 | -1.633(b) | 0,102 | 3 | 3 | 0 |
| <i>Ptilidium ciliare</i> 2 | 94-96 | -1.134(a) | 0,257 | 4 | 1 | 3 |
| <i>Ptilidium ciliare</i> 3 | 94-99 | -.137(a) | 0,891 | 5 | 2 | 3 |
| <i>Ptilidium pulcherrimum</i> 1 | 94-95 | .000(c) | 1 | 0 | 0 | 0 |
| <i>Ptilidium pulcherrimum</i> 2 | 94-96 | .000(c) | 1 | 0 | 0 | 0 |
| <i>Ptilidium pulcherrimum</i> 3 | 94-99 | .000(c) | 1 | 0 | 0 | 0 |
| <i>Ptilium crista-castrensis</i> 1 | 94-95 | .000(c) | 1 | 4 | 1 | 1 |
| <i>Ptilium crista-castrensis</i> 2 | 94-96 | -.577(b) | 0,564 | 4 | 1 | 2 |
| <i>Ptilium crista-castrensis</i> 3 | 94-99 | -1.414(b) | 0,157 | 5 | 1 | 4 |
| <i>Pyrola minor</i> 1 | 94-95 | .000(b) | 1 | 0 | 0 | 0 |
| <i>Pyrola minor</i> 2 | 94-96 | .000(b) | 1 | 0 | 0 | 0 |
| <i>Pyrola minor</i> 3 | 94-99 | .000(b) | 1 | 0 | 0 | 0 |
| <i>Pyrola rotundifolia</i> 1 | 94-95 | .000(c) | 1 | 0 | 0 | 0 |
| <i>Pyrola rotundifolia</i> 2 | 94-96 | .000(c) | 1 | 0 | 0 | 0 |
| <i>Pyrola rotundifolia</i> 3 | 94-99 | .000(c) | 1 | 0 | 0 | 0 |

fortsetter neste side

Vedleggstabell 3a. fortsetter:

| Arter | år | Z | Sign | totalt | tilbake | fram |
|---------------------------------|-------|-----------|-------|--------|---------|------|
| Querqus sp.1 | 94-95 | .000(b) | 1 | 4 | 0 | 0 |
| Querqus sp.2 | 94-96 | .000(b) | 1 | 5 | 1 | 1 |
| Querqus sp.3 | 94-99 | -1.633(a) | 0,102 | 5 | 0 | 3 |
| Racomitrium lanuginosum1 | 94-95 | .000(c) | 1 | 0 | 0 | 0 |
| Racomitrium lanuginosum2 | 94-96 | .000(c) | 1 | 0 | 0 | 0 |
| Racomitrium lanuginosum3 | 94-99 | -1.000(b) | 0,317 | 1 | 0 | 1 |
| Rhizomnium punctatum1 | 94-95 | -1.414(a) | 0,157 | 4 | 2 | 0 |
| Rhizomnium punctatum2 | 94-96 | -1.414(b) | 0,157 | 6 | 1 | 4 |
| Rhizomnium punctatum3 | 94-99 | -.707(b) | 0,48 | 6 | 2 | 3 |
| Rhodobryum roseum1 | 94-95 | .000(c) | 1 | 0 | 0 | 0 |
| Rhodobryum roseum2 | 94-96 | .000(c) | 1 | 0 | 0 | 0 |
| Rhodobryum roseum3 | 94-99 | .000(c) | 1 | 0 | 0 | 0 |
| Rhytidadelphus loreus1 | 94-95 | -.137(a) | 0,891 | 13 | 3 | 2 |
| Rhytidadelphus loreus2 | 94-96 | -1.265(b) | 0,206 | 15 | 1 | 6 |
| Rhytidadelphus loreus3 | 94-99 | -2.144(a) | 0,032 | 13 | 8 | 1 |
| Rhytidadelphus squarrosus agg.1 | 94-95 | -.545(a) | 0,586 | 12 | 4 | 5 |
| Rhytidadelphus squarrosus agg.2 | 94-96 | .000(c) | 1 | 13 | 5 | 6 |
| Rhytidadelphus squarrosus agg.3 | 94-99 | -2.407(b) | 0,016 | 16 | 3 | 11 |
| Rhytidadelphus triquetrus1 | 94-95 | -1.134(b) | 0,257 | 5 | 1 | 3 |
| Rhytidadelphus triquetrus2 | 94-96 | -1.190(b) | 0,234 | 6 | 2 | 4 |
| Rhytidadelphus triquetrus3 | 94-99 | -1.289(b) | 0,197 | 6 | 1 | 3 |
| Rubus idaeus1 | 94-95 | .000(b) | 1 | 0 | 0 | 0 |
| Rubus idaeus2 | 94-96 | .000(b) | 1 | 0 | 0 | 0 |
| Rubus idaeus3 | 94-99 | .000(b) | 1 | 0 | 0 | 0 |
| Rubus saxatilis1 | 94-95 | -.777(a) | 0,437 | 16 | 3 | 7 |
| Rubus saxatilis2 | 94-96 | -1.181(a) | 0,237 | 16 | 4 | 6 |
| Rubus saxatilis3 | 94-99 | -.459(c) | 0,646 | 16 | 9 | 6 |
| Scapania cf. umbliquina1 | 94-95 | .000(c) | 1 | 0 | 0 | 0 |
| Scapania cf. umbliquina2 | 94-96 | .000(c) | 1 | 0 | 0 | 0 |
| Scapania cf. umbliquina3 | 94-99 | .000(c) | 1 | 0 | 0 | 0 |
| Scapania sp.1 | 94-95 | .000(c) | 1 | 1 | 0 | 0 |
| Scapania sp.2 | 94-96 | -1.000(b) | 0,317 | 1 | 1 | 0 |
| Scapania sp.3 | 94-99 | .000(c) | 1 | 2 | 1 | 1 |
| Solidago virgaurea1 | 94-95 | -1.414(c) | 0,157 | 2 | 2 | 0 |
| Solidago virgaurea2 | 94-96 | -.447(a) | 0,655 | 2 | 1 | 1 |
| Solidago virgaurea3 | 94-99 | -1.342(c) | 0,18 | 2 | 2 | 0 |
| Sorbus aucuparia1 | 94-95 | -.224(a) | 0,823 | 31 | 12 | 12 |
| Sorbus aucuparia2 | 94-96 | -.835(a) | 0,404 | 32 | 11 | 12 |
| Sorbus aucuparia3 | 94-99 | -.654(a) | 0,513 | 32 | 11 | 15 |
| Sphagnum angustifolium1 | 94-95 | -1.000(b) | 0,317 | 2 | 0 | 1 |
| Sphagnum angustifolium2 | 94-96 | -1.342(b) | 0,18 | 2 | 0 | 2 |
| Sphagnum angustifolium3 | 94-99 | -1.342(a) | 0,18 | 2 | 2 | 0 |
| Sphagnum capillifolium1 | 94-95 | -1.633(a) | 0,102 | 5 | 3 | 0 |
| Sphagnum capillifolium2 | 94-96 | -1.841(a) | 0,066 | 5 | 4 | 0 |
| Sphagnum capillifolium3 | 94-99 | -.175(a) | 0,861 | 7 | 4 | 3 |
| Sphagnum centrale1 | 94-95 | .000(c) | 1 | 0 | 0 | 0 |
| Sphagnum centrale2 | 94-96 | .000(c) | 1 | 0 | 0 | 0 |
| Sphagnum centrale3 | 94-99 | .000(c) | 1 | 0 | 0 | 0 |
| Sphagnum fimbriatum1 | 94-95 | -1.000(a) | 0,317 | 1 | 1 | 0 |
| Sphagnum fimbriatum2 | 94-96 | -1.000(a) | 0,317 | 1 | 1 | 0 |
| Sphagnum fimbriatum3 | 94-99 | -1.000(a) | 0,317 | 1 | 1 | 0 |
| Sphagnum girgensohnii1 | 94-95 | -2.857(a) | 0,004 | 24 | 2 | 11 |

fortsetter neste side

Vedleggstabell 3a. fortsetter:

| Arter | år | Z | Sign | totalt | tilbake | fram |
|--------------------------|-------|-----------|-------|--------|---------|------|
| Sphagnum girgensohnii2 | 94-96 | -2.025(a) | 0,043 | 24 | 3 | 12 |
| Sphagnum girgensohnii3 | 94-99 | -2.065(b) | 0,039 | 25 | 14 | 7 |
| Sphagnum palustre1 | 94-95 | -2.041(a) | 0,041 | 6 | 0 | 5 |
| Sphagnum palustre2 | 94-96 | -2.032(a) | 0,042 | 6 | 0 | 5 |
| Sphagnum palustre3 | 94-99 | -2.032(a) | 0,042 | 7 | 0 | 5 |
| Sphagnum quinquefarium1 | 94-95 | -1.620(a) | 0,105 | 15 | 1 | 6 |
| Sphagnum quinquefarium2 | 94-96 | -1.420(a) | 0,156 | 15 | 2 | 6 |
| Sphagnum quinquefarium3 | 94-99 | -2.126(a) | 0,033 | 16 | 3 | 9 |
| Sphagnum russowii1 | 94-95 | -.184(a) | 0,854 | 8 | 2 | 2 |
| Sphagnum russowii2 | 94-96 | -1.739(a) | 0,082 | 10 | 2 | 7 |
| Sphagnum russowii3 | 94-99 | -1.524(a) | 0,127 | 12 | 3 | 9 |
| Sphagnum squarrosum1 | 94-95 | -1.207(a) | 0,227 | 13 | 3 | 6 |
| Sphagnum squarrosum2 | 94-96 | -.284(a) | 0,776 | 13 | 3 | 5 |
| Sphagnum squarrosum3 | 94-99 | -.256(a) | 0,798 | 14 | 4 | 6 |
| Sphagnum wulfianum1 | 94-95 | .000(c) | 1 | 0 | 0 | 0 |
| Sphagnum wulfianum2 | 94-96 | .000(c) | 1 | 0 | 0 | 0 |
| Sphagnum wulfianum3 | 94-99 | .000(c) | 1 | 0 | 0 | 0 |
| Tetrapis pellucida1 | 94-95 | .000(c) | 1 | 3 | 0 | 0 |
| Tetrapis pellucida2 | 94-96 | -1.000(b) | 0,317 | 3 | 1 | 0 |
| Tetrapis pellucida3 | 94-99 | .000(c) | 1 | 3 | 0 | 0 |
| Thelypteris phegopteris1 | 94-95 | -2.039(a) | 0,041 | 19 | 4 | 10 |
| Thelypteris phegopteris2 | 94-96 | -2.157(a) | 0,031 | 20 | 3 | 10 |
| Thelypteris phegopteris3 | 94-99 | -2.553(a) | 0,011 | 21 | 2 | 13 |
| Thuidium thamariscinum1 | 94-95 | -1.604(a) | 0,109 | 5 | 0 | 3 |
| Thuidium thamariscinum2 | 94-96 | -1.890(a) | 0,059 | 6 | 0 | 4 |
| Thuidium thamariscinum3 | 94-99 | -.921(a) | 0,357 | 5 | 1 | 3 |
| Trientalis europaea1 | 94-95 | -1.080(b) | 0,28 | 23 | 9 | 5 |
| Trientalis europaea2 | 94-96 | -.680(b) | 0,497 | 24 | 10 | 7 |
| Trientalis europaea3 | 94-99 | -1.517(a) | 0,129 | 23 | 7 | 12 |
| Vaccinium myrtillus1 | 94-95 | -1.642(a) | 0,101 | 44 | 6 | 10 |
| Vaccinium myrtillus2 | 94-96 | -2.534(a) | 0,011 | 44 | 5 | 12 |
| Vaccinium myrtillus3 | 94-99 | -1.625(a) | 0,104 | 44 | 6 | 12 |
| Vaccinium vitis-idaea1 | 94-95 | -.576(a) | 0,565 | 40 | 11 | 15 |
| Vaccinium vitis-idaea2 | 94-96 | -.199(a) | 0,843 | 41 | 12 | 17 |
| Vaccinium vitis-idaea3 | 94-99 | -1.465(a) | 0,143 | 40 | 10 | 17 |
| Veronica officinalis1 | 94-95 | .000(c) | 1 | 0 | 0 | 0 |
| Veronica officinalis2 | 94-96 | .000(c) | 1 | 0 | 0 | 0 |
| Veronica officinalis3 | 94-99 | .000(c) | 1 | 0 | 0 | 0 |
| Viola palustre1 | 94-95 | -1.511(a) | 0,131 | 7 | 1 | 4 |
| Viola palustre2 | 94-96 | -2.032(a) | 0,042 | 7 | 0 | 5 |
| Viola palustre3 | 94-99 | -2.680(a) | 0,007 | 9 | 0 | 9 |
| Viola riviniana1 | 94-95 | -2.060(a) | 0,039 | 5 | 0 | 5 |
| Viola riviniana2 | 94-96 | -2.555(a) | 0,011 | 8 | 0 | 8 |
| Viola riviniana3 | 94-99 | .000(c) | 1 | 4 | 2 | 1 |

Vedleggstabell 3b. Artsendringer i rutenanalysene. Endringer i frekvens av arter i referanseruter (Spjøtåsen) 1994-95, 1994-96 og 1994-99. Arter som i en gitt periode har hatt signifikant fram- eller tilbakegang er angitt med fete typer. - Changes in the frequency of species in the reference plots. Significant changes marked in bold-faced types.

| Arter | år | Z | Sign | totalt | tilbake | fram |
|------------------------------|-------|-----------|-------|--------|---------|------|
| Agrostis canina1 | 94-95 | .000(a) | 1 | 0 | 0 | 0 |
| Agrostis canina2 | 94-96 | .000(a) | 1 | 0 | 0 | 0 |
| Agrostis canina3 | 94-99 | .000(a) | 1 | 0 | 0 | 0 |
| Agrostis capillaris1 | 94-95 | -1.732(b) | 0,083 | 6 | 3 | 0 |
| Agrostis capillaris2 | 94-96 | .000(a) | 1 | 6 | 2 | 2 |
| Agrostis capillaris3 | 94-99 | -1.081(b) | 0,279 | 6 | 5 | 1 |
| Anemone nemorosa1 | 94-95 | -.541(b) | 0,589 | 12 | 4 | 2 |
| Anemone nemorosa2 | 94-96 | -.577(b) | 0,564 | 13 | 6 | 3 |
| Anemone nemorosa3 | 94-99 | -2.755(b) | 0,006 | 13 | 10 | 2 |
| Athyrium filix-femina1 | 94-95 | .000(a) | 1 | 0 | 0 | 0 |
| Athyrium filix-femina2 | 94-96 | .000(a) | 1 | 0 | 0 | 0 |
| Athyrium filix-femina3 | 94-99 | .000(a) | 1 | 0 | 0 | 0 |
| Atrichum undulatum1 | 94-95 | -1.000(a) | 0,317 | 1 | 0 | 1 |
| Atrichum undulatum2 | 94-96 | -1.000(a) | 0,317 | 1 | 0 | 1 |
| Atrichum undulatum3 | 94-99 | -1.000(a) | 0,317 | 1 | 0 | 1 |
| Barbilophozia attenuata1 | 94-95 | -1.000(a) | 0,317 | 3 | 0 | 1 |
| Barbilophozia attenuata2 | 94-96 | -1.414(a) | 0,157 | 3 | 0 | 2 |
| Barbilophozia attenuata3 | 94-99 | -1.342(b) | 0,18 | 2 | 2 | 0 |
| Barbilophozia barbata1 | 94-95 | .000(c) | 1 | 6 | 1 | 1 |
| Barbilophozia barbata2 | 94-96 | .000(c) | 1 | 5 | 2 | 1 |
| Barbilophozia barbata3 | 94-99 | -.137(b) | 0,891 | 6 | 3 | 2 |
| Barbilophozia floerkei1 | 94-95 | -1.000(b) | 0,317 | 2 | 1 | 0 |
| Barbilophozia floerkei2 | 94-96 | -1.342(b) | 0,18 | 2 | 2 | 0 |
| Barbilophozia floerkei3 | 94-99 | -1.342(b) | 0,18 | 2 | 2 | 0 |
| Barbilophozia lycopodioides1 | 94-95 | -.552(b) | 0,581 | 7 | 2 | 2 |
| Barbilophozia lycopodioides2 | 94-96 | -.272(b) | 0,785 | 7 | 2 | 3 |
| Barbilophozia lycopodioides3 | 94-99 | -2.229(b) | 0,026 | 7 | 6 | 1 |
| Bazzania trilobata1 | 94-95 | -.577(a) | 0,564 | 4 | 1 | 2 |
| Bazzania trilobata2 | 94-96 | -.736(a) | 0,461 | 4 | 2 | 2 |
| Bazzania trilobata3 | 94-99 | -.378(a) | 0,705 | 4 | 2 | 2 |
| Betula pubescens1 | 94-95 | -1.000(b) | 0,317 | 1 | 1 | 0 |
| Betula pubescens2 | 94-96 | -.447(b) | 0,655 | 2 | 1 | 1 |
| Betula pubescens3 | 94-99 | -1.000(b) | 0,317 | 1 | 1 | 0 |
| Blechnum spicant1 | 94-95 | -1.414(c) | 0,157 | 2 | 0 | 2 |
| Blechnum spicant2 | 94-96 | -1.414(b) | 0,157 | 2 | 2 | 0 |
| Blechnum spicant3 | 94-99 | -1.414(c) | 0,157 | 3 | 0 | 2 |
| Blepharostoma trichophyllum1 | 94-95 | .000(b) | 1 | 0 | 0 | 0 |
| Blepharostoma trichophyllum2 | 94-96 | .000(b) | 1 | 0 | 0 | 0 |
| Blepharostoma trichophyllum3 | 94-99 | .000(b) | 1 | 0 | 0 | 0 |
| Brachythecium reflexum1 | 94-95 | .000(c) | 1 | 0 | 0 | 0 |
| Brachythecium reflexum2 | 94-96 | .000(c) | 1 | 0 | 0 | 0 |
| Brachythecium reflexum3 | 94-99 | -1.000(a) | 0,317 | 1 | 0 | 1 |
| Brachythecium rivulare1 | 94-95 | .000(c) | 1 | 0 | 0 | 0 |
| Brachythecium rivulare2 | 94-96 | .000(c) | 1 | 0 | 0 | 0 |
| Brachythecium rivulare3 | 94-99 | .000(c) | 1 | 0 | 0 | 0 |
| Brachythecium rutabulum1 | 94-95 | .000(c) | 1 | 0 | 0 | 0 |
| Brachythecium rutabulum2 | 94-96 | .000(c) | 1 | 0 | 0 | 0 |
| Brachythecium rutabulum3 | 94-99 | .000(c) | 1 | 0 | 0 | 0 |
| Brachythecium salebrosum1 | 94-95 | .000(c) | 1 | 0 | 0 | 0 |
| Brachythecium salebrosum2 | 94-96 | .000(c) | 1 | 0 | 0 | 0 |

Vedleggstabell 3b. fortsetter:

| Arter | år | Z | Sign | totalt | tilbake | fram |
|------------------------------|-------|-----------|-------|--------|---------|------|
| Brachythecium salebrosum3 | 94-99 | .000(c) | 1 | 0 | 0 | 0 |
| Brachythecium spp.1 | 94-95 | .000(c) | 1 | 1 | 0 | 0 |
| Brachythecium spp.2 | 94-96 | .000(c) | 1 | 1 | 0 | 0 |
| Brachythecium spp.3 | 94-99 | -1.000(a) | 0,317 | 2 | 0 | 1 |
| Brachythecium velutinum1 | 94-95 | .000(c) | 1 | 0 | 0 | 0 |
| Brachythecium velutinum2 | 94-96 | .000(c) | 1 | 0 | 0 | 0 |
| Brachythecium velutinum3 | 94-99 | .000(c) | 1 | 0 | 0 | 0 |
| Bryum sp.1 | 94-95 | .000(b) | 1 | 0 | 0 | 0 |
| Bryum sp.2 | 94-96 | .000(b) | 1 | 0 | 0 | 0 |
| Bryum sp.3 | 94-99 | .000(b) | 1 | 0 | 0 | 0 |
| Calamagrostis epigeios1 | 94-95 | .000(a) | 1 | 0 | 0 | 0 |
| Calamagrostis epigeios2 | 94-96 | .000(a) | 1 | 0 | 0 | 0 |
| Calamagrostis epigeios3 | 94-99 | -1.000(c) | 0,317 | 1 | 0 | 1 |
| Calamagrostis purpurea1 | 94-95 | .000(a) | 1 | 6 | 2 | 2 |
| Calamagrostis purpurea2 | 94-96 | -.577(c) | 0,564 | 6 | 1 | 2 |
| Calamagrostis purpurea3 | 94-99 | .000(a) | 1 | 6 | 1 | 1 |
| Calliergon stramineum1 | 94-95 | .000(c) | 1 | 0 | 0 | 0 |
| Calliergon stramineum2 | 94-96 | .000(c) | 1 | 0 | 0 | 0 |
| Calliergon stramineum3 | 94-99 | .000(c) | 1 | 0 | 0 | 0 |
| Calluna vulgaris1 | 94-95 | -1.633(c) | 0,102 | 13 | 1 | 4 |
| Calluna vulgaris2 | 94-96 | -.351(c) | 0,726 | 13 | 4 | 3 |
| Calluna vulgaris3 | 94-99 | -1.433(c) | 0,152 | 13 | 2 | 7 |
| Calypogeia fissa1 | 94-95 | .000(b) | 1 | 0 | 0 | 0 |
| Calypogeia fissa2 | 94-96 | .000(b) | 1 | 0 | 0 | 0 |
| Calypogeia fissa3 | 94-99 | .000(b) | 1 | 0 | 0 | 0 |
| Calypogeia integriflora1 | 94-95 | -1.414(a) | 0,157 | 6 | 0 | 2 |
| Calypogeia integriflora2 | 94-96 | -1.414(a) | 0,157 | 6 | 0 | 2 |
| Calypogeia integriflora3 | 94-99 | -2.200(a) | 0,028 | 9 | 1 | 7 |
| Calypogeia muelleriana agg.1 | 94-95 | -.962(a) | 0,336 | 10 | 2 | 3 |
| Calypogeia muelleriana agg.2 | 94-96 | -1.826(a) | 0,068 | 10 | 0 | 4 |
| Calypogeia muelleriana agg.3 | 94-99 | -1.622(a) | 0,105 | 9 | 1 | 7 |
| Calypogeia neesiana1 | 94-95 | -1.000(c) | 0,317 | 2 | 1 | 0 |
| Calypogeia neesiana2 | 94-96 | -1.000(c) | 0,317 | 2 | 1 | 0 |
| Calypogeia neesiana3 | 94-99 | -1.000(c) | 0,317 | 2 | 1 | 0 |
| Calypogeia sp.1 | 94-95 | .000(b) | 1 | 0 | 0 | 0 |
| Calypogeia sp.2 | 94-96 | .000(b) | 1 | 0 | 0 | 0 |
| Calypogeia sp.3 | 94-99 | -1.342(a) | 0,18 | 2 | 0 | 2 |
| Campanula rotundifolia1 | 94-95 | .000(a) | 1 | 0 | 0 | 0 |
| Campanula rotundifolia2 | 94-96 | .000(a) | 1 | 0 | 0 | 0 |
| Campanula rotundifolia3 | 94-99 | .000(a) | 1 | 0 | 0 | 0 |
| Carex canescens1 | 94-95 | -1.000(c) | 0,317 | 1 | 0 | 1 |
| Carex canescens2 | 94-96 | -1.000(c) | 0,317 | 1 | 0 | 1 |
| Carex canescens3 | 94-99 | .000(a) | 1 | 0 | 0 | 0 |
| Carex digitata1 | 94-95 | .000(a) | 1 | 0 | 0 | 0 |
| Carex digitata2 | 94-96 | .000(a) | 1 | 0 | 0 | 0 |
| Carex digitata3 | 94-99 | .000(a) | 1 | 0 | 0 | 0 |
| Carex echinata1 | 94-95 | .000(a) | 1 | 0 | 0 | 0 |
| Carex echinata2 | 94-96 | .000(a) | 1 | 0 | 0 | 0 |
| Carex echinata3 | 94-99 | .000(a) | 1 | 0 | 0 | 0 |
| Carex pallescens1 | 94-95 | .000(a) | 1 | 3 | 1 | 1 |
| Carex pallescens2 | 94-96 | -1.000(b) | 0,317 | 3 | 1 | 0 |
| Carex pallescens3 | 94-99 | -1.069(b) | 0,285 | 3 | 2 | 1 |

fortsetter neste side

Vedleggstabell 3b. fortsetter:

| Arter | år | Z | Sign | totalt | tilbake | fram |
|----------------------------|-------|-----------|-------|--------|---------|------|
| Carex panicea1 | 94-95 | .000(a) | 1 | 0 | 0 | 0 |
| Carex panicea2 | 94-96 | .000(a) | 1 | 0 | 0 | 0 |
| Carex panicea3 | 94-99 | .000(a) | 1 | 0 | 0 | 0 |
| Carex pilulifera1 | 94-95 | -1.000(c) | 0,317 | 1 | 0 | 1 |
| Carex pilulifera2 | 94-96 | -1.000(c) | 0,317 | 1 | 0 | 1 |
| Carex pilulifera3 | 94-99 | -1.342(c) | 0,18 | 2 | 0 | 2 |
| Cephalozia bicuspidata1 | 94-95 | .000(b) | 1 | 0 | 0 | 0 |
| Cephalozia bicuspidata2 | 94-96 | .000(b) | 1 | 0 | 0 | 0 |
| Cephalozia bicuspidata3 | 94-99 | .000(b) | 1 | 0 | 0 | 0 |
| Cephalozia spp.1 | 94-95 | -1.000(c) | 0,317 | 3 | 1 | 0 |
| Cephalozia spp.2 | 94-96 | -1.000(c) | 0,317 | 3 | 1 | 0 |
| Cephalozia spp.3 | 94-99 | -.577(c) | 0,564 | 3 | 2 | 1 |
| Cephaloziella sp.1 | 94-95 | .000(b) | 1 | 0 | 0 | 0 |
| Cephaloziella sp.2 | 94-96 | .000(b) | 1 | 0 | 0 | 0 |
| Cephaloziella sp.3 | 94-99 | .000(b) | 1 | 0 | 0 | 0 |
| Cetraria islandica1 | 94-95 | -1.000(c) | 0,317 | 2 | 1 | 0 |
| Cetraria islandica2 | 94-96 | .000(b) | 1 | 2 | 0 | 0 |
| Cetraria islandica3 | 94-99 | -1.000(a) | 0,317 | 2 | 0 | 1 |
| Cirsium helenioides1 | 94-95 | .000(a) | 1 | 0 | 0 | 0 |
| Cirsium helenioides2 | 94-96 | .000(a) | 1 | 0 | 0 | 0 |
| Cirsium helenioides3 | 94-99 | .000(a) | 1 | 0 | 0 | 0 |
| Cladonia arbuscula agg.1 | 94-95 | -2.121(c) | 0,034 | 10 | 5 | 0 |
| Cladonia arbuscula agg.2 | 94-96 | -.857(c) | 0,391 | 10 | 5 | 2 |
| Cladonia arbuscula agg.3 | 94-99 | -1.342(c) | 0,18 | 10 | 4 | 1 |
| Cladonia bellidiflora1 | 94-95 | .000(b) | 1 | 0 | 0 | 0 |
| Cladonia bellidiflora2 | 94-96 | .000(b) | 1 | 0 | 0 | 0 |
| Cladonia bellidiflora3 | 94-99 | .000(b) | 1 | 0 | 0 | 0 |
| Cladonia carneola1 | 94-95 | -2.041(c) | 0,041 | 9 | 5 | 0 |
| Cladonia carneola2 | 94-96 | -2.010(c) | 0,044 | 9 | 7 | 1 |
| Cladonia carneola3 | 94-99 | -2.238(c) | 0,025 | 9 | 6 | 1 |
| Cladonia cenotea1 | 94-95 | .000(b) | 1 | 0 | 0 | 0 |
| Cladonia cenotea2 | 94-96 | .000(b) | 1 | 0 | 0 | 0 |
| Cladonia cenotea3 | 94-99 | .000(b) | 1 | 0 | 0 | 0 |
| Cladonia chlorophaea agg.1 | 94-95 | .000(b) | 1 | 12 | 3 | 4 |
| Cladonia chlorophaea agg.2 | 94-96 | -.362(a) | 0,717 | 13 | 5 | 4 |
| Cladonia chlorophaea agg.3 | 94-99 | -1.044(a) | 0,296 | 14 | 2 | 8 |
| Cladonia coccifera agg.1 | 94-95 | -.184(c) | 0,854 | 6 | 2 | 2 |
| Cladonia coccifera agg.2 | 94-96 | -.431(a) | 0,666 | 7 | 2 | 4 |
| Cladonia coccifera agg.3 | 94-99 | -.816(c) | 0,414 | 6 | 2 | 1 |
| Cladonia coniocraea1 | 94-95 | -1.000(a) | 0,317 | 1 | 0 | 1 |
| Cladonia coniocraea2 | 94-96 | -1.000(c) | 0,317 | 1 | 1 | 0 |
| Cladonia coniocraea3 | 94-99 | -1.000(c) | 0,317 | 1 | 1 | 0 |
| Cladonia cornuta1 | 94-95 | -.966(c) | 0,334 | 5 | 4 | 1 |
| Cladonia cornuta2 | 94-96 | -.368(c) | 0,713 | 5 | 3 | 1 |
| Cladonia cornuta3 | 94-99 | -1.633(c) | 0,102 | 5 | 4 | 1 |
| Cladonia crispata1 | 94-95 | -1.000(c) | 0,317 | 2 | 1 | 0 |
| Cladonia crispata2 | 94-96 | -1.000(c) | 0,317 | 2 | 1 | 0 |
| Cladonia crispata3 | 94-99 | -1.000(c) | 0,317 | 2 | 1 | 0 |
| Cladonia digitata1 | 94-95 | -1.342(c) | 0,18 | 4 | 2 | 0 |
| Cladonia digitata2 | 94-96 | -1.633(c) | 0,102 | 4 | 3 | 0 |
| Cladonia digitata3 | 94-99 | -1.633(c) | 0,102 | 4 | 3 | 0 |
| Cladonia floerkeana1 | 94-95 | .000(b) | 1 | 0 | 0 | 0 |
| Cladonia floerkeana3 | 94-99 | .000(b) | 1 | 0 | 0 | 0 |

Vedleggstabell 3b. fortsetter:

| Arter | år | Z | Sign | totalt | tilbake | fram |
|----------------------------------|-------|-----------|-------|--------|---------|------|
| <i>Cladonia floerkeana</i> 2 | 94-96 | .000(b) | 1 | 0 | 0 | 0 |
| <i>Cladonia furcata</i> 1 | 94-95 | -1.725(c) | 0,084 | 7 | 5 | 1 |
| <i>Cladonia furcata</i> 2 | 94-96 | -.647(c) | 0,518 | 7 | 3 | 3 |
| <i>Cladonia furcata</i> 3 | 94-99 | -.780(c) | 0,435 | 8 | 4 | 3 |
| <i>Cladonia gracilis</i> 1 | 94-95 | -1.000(c) | 0,317 | 1 | 1 | 0 |
| <i>Cladonia gracilis</i> 2 | 94-96 | -1.000(c) | 0,317 | 1 | 1 | 0 |
| <i>Cladonia gracilis</i> 3 | 94-99 | -1.000(c) | 0,317 | 1 | 1 | 0 |
| <i>Cladonia rangiferina</i> 1 | 94-95 | -1.476(a) | 0,14 | 11 | 1 | 5 |
| <i>Cladonia rangiferina</i> 2 | 94-96 | -2.209(a) | 0,027 | 11 | 1 | 7 |
| <i>Cladonia rangiferina</i> 3 | 94-99 | -1.798(a) | 0,072 | 11 | 4 | 6 |
| <i>Cladonia spp.</i> 1 | 94-95 | -1.000(a) | 0,317 | 2 | 0 | 1 |
| <i>Cladonia spp.</i> 2 | 94-96 | -1.414(a) | 0,157 | 2 | 0 | 2 |
| <i>Cladonia spp.</i> 3 | 94-99 | -1.414(a) | 0,157 | 2 | 0 | 2 |
| <i>Cladonia squamosa</i> 1 | 94-95 | -1.000(a) | 0,317 | 1 | 1 | 0 |
| <i>Cladonia squamosa</i> 2 | 94-96 | -1.000(a) | 0,317 | 1 | 1 | 0 |
| <i>Cladonia squamosa</i> 3 | 94-99 | .000(b) | 1 | 2 | 1 | 1 |
| <i>Cladonia subulata</i> 1 | 94-95 | .000(b) | 1 | 0 | 0 | 0 |
| <i>Cladonia subulata</i> 2 | 94-96 | .000(b) | 1 | 0 | 0 | 0 |
| <i>Cladonia subulata</i> 3 | 94-99 | .000(b) | 1 | 0 | 0 | 0 |
| <i>Cladonia sulphurina</i> agg.1 | 94-95 | -1.633(a) | 0,102 | 4 | 3 | 0 |
| <i>Cladonia sulphurina</i> agg.2 | 94-96 | -1.134(a) | 0,257 | 4 | 3 | 1 |
| <i>Cladonia sulphurina</i> agg.3 | 94-99 | -1.134(a) | 0,257 | 4 | 3 | 1 |
| <i>Cladonia uncialis</i> 1 | 94-95 | -.378(a) | 0,705 | 5 | 2 | 2 |
| <i>Cladonia uncialis</i> 2 | 94-96 | -1.342(c) | 0,18 | 5 | 0 | 2 |
| <i>Cladonia uncialis</i> 3 | 94-99 | -.828(a) | 0,408 | 6 | 4 | 1 |
| <i>Convallaria majalis</i> 1 | 94-95 | -1.000(c) | 0,317 | 3 | 0 | 1 |
| <i>Convallaria majalis</i> 2 | 94-96 | -1.000(c) | 0,317 | 3 | 0 | 1 |
| <i>Convallaria majalis</i> 3 | 94-99 | -1.000(c) | 0,317 | 3 | 0 | 1 |
| <i>Corylus avellana</i> 1 | 94-95 | .000(a) | 1 | 0 | 0 | 0 |
| <i>Corylus avellana</i> 2 | 94-96 | .000(a) | 1 | 0 | 0 | 0 |
| <i>Corylus avellana</i> 3 | 94-99 | .000(a) | 1 | 0 | 0 | 0 |
| <i>Crepis palludosa</i> 1 | 94-95 | .000(a) | 1 | 0 | 0 | 0 |
| <i>Crepis palludosa</i> 2 | 94-96 | .000(a) | 1 | 0 | 0 | 0 |
| <i>Crepis palludosa</i> 3 | 94-99 | .000(a) | 1 | 0 | 0 | 0 |
| <i>Deschampsia cespitosa</i> 1 | 94-95 | -1.841(a) | 0,066 | 7 | 0 | 4 |
| <i>Deschampsia cespitosa</i> 2 | 94-96 | -1.841(a) | 0,066 | 7 | 0 | 4 |
| <i>Deschampsia cespitosa</i> 3 | 94-99 | -1.511(a) | 0,131 | 7 | 1 | 4 |
| <i>Deschampsia flexuosa</i> 1 | 94-95 | -.632(a) | 0,527 | 35 | 3 | 4 |
| <i>Deschampsia flexuosa</i> 2 | 94-96 | -1.414(a) | 0,157 | 35 | 2 | 6 |
| <i>Deschampsia flexuosa</i> 3 | 94-99 | -1.651(a) | 0,099 | 35 | 2 | 11 |
| <i>Dicranum drummondii</i> 1 | 94-95 | .000(c) | 1 | 0 | 0 | 0 |
| <i>Dicranum drummondii</i> 2 | 94-96 | -1.000(a) | 0,317 | 1 | 0 | 1 |
| <i>Dicranum drummondii</i> 3 | 94-99 | .000(c) | 1 | 0 | 0 | 0 |
| <i>Dicranum fuscescens</i> 1 | 94-95 | -1.403(a) | 0,161 | 13 | 2 | 5 |
| <i>Dicranum fuscescens</i> 2 | 94-96 | -1.100(a) | 0,271 | 13 | 3 | 5 |
| <i>Dicranum fuscescens</i> 3 | 94-99 | .000(c) | 1 | 13 | 4 | 4 |
| <i>Dicranum majus</i> 1 | 94-95 | -1.098(a) | 0,272 | 28 | 3 | 7 |
| <i>Dicranum majus</i> 2 | 94-96 | -1.404(a) | 0,16 | 29 | 3 | 11 |
| <i>Dicranum majus</i> 3 | 94-99 | -1.215(a) | 0,224 | 28 | 7 | 13 |
| <i>Dicranum montanum</i> 1 | 94-95 | -1.633(b) | 0,102 | 6 | 3 | 0 |
| <i>Dicranum montanum</i> 2 | 94-96 | -1.134(b) | 0,257 | 6 | 3 | 1 |
| <i>Dicranum montanum</i> 3 | 94-99 | .000(c) | 1 | 7 | 3 | 3 |

fortsetter neste side

Vedleggstabell 3b. fortsetter:

| Arter | år | Z | Sign | totalt | tilbake | fram |
|----------------------------|-------|-----------|-------|--------|---------|------|
| Dicranum polysetum1 | 94-95 | -.712(b) | 0,476 | 15 | 5 | 3 |
| Dicranum polysetum2 | 94-96 | -.432(b) | 0,666 | 15 | 6 | 4 |
| Dicranum polysetum3 | 94-99 | -2.137(b) | 0,033 | 15 | 10 | 3 |
| Dicranum scoparium1 | 94-95 | -.716(a) | 0,474 | 33 | 8 | 13 |
| Dicranum scoparium2 | 94-96 | -.980(a) | 0,327 | 32 | 12 | 16 |
| Dicranum scoparium3 | 94-99 | -.110(a) | 0,912 | 34 | 15 | 14 |
| Dicranum spurium1 | 94-95 | -1.604(a) | 0,109 | 3 | 0 | 3 |
| Dicranum spurium2 | 94-96 | -1.633(a) | 0,102 | 3 | 0 | 3 |
| Dicranum spurium3 | 94-99 | -1.633(a) | 0,102 | 3 | 0 | 3 |
| Drepanocladus exannulatus1 | 94-95 | .000(c) | 1 | 0 | 0 | 0 |
| Drepanocladus exannulatus2 | 94-96 | .000(c) | 1 | 0 | 0 | 0 |
| Drepanocladus exannulatus3 | 94-99 | .000(c) | 1 | 0 | 0 | 0 |
| Drepanocladus uncinatus1 | 94-95 | .000(c) | 1 | 0 | 0 | 0 |
| Drepanocladus uncinatus2 | 94-96 | .000(c) | 1 | 0 | 0 | 0 |
| Drepanocladus uncinatus3 | 94-99 | .000(c) | 1 | 0 | 0 | 0 |
| Dryopteris expansa agg.1 | 94-95 | -1.633(c) | 0,102 | 4 | 0 | 3 |
| Dryopteris expansa agg.2 | 94-96 | -.816(c) | 0,414 | 4 | 1 | 2 |
| Dryopteris expansa agg.3 | 94-99 | -1.633(c) | 0,102 | 4 | 0 | 3 |
| Dryopteris filix-mas1 | 94-95 | .000(a) | 1 | 0 | 0 | 0 |
| Dryopteris filix-mas2 | 94-96 | .000(a) | 1 | 0 | 0 | 0 |
| Dryopteris filix-mas3 | 94-99 | .000(a) | 1 | 0 | 0 | 0 |
| Epilobium angustifolium1 | 94-95 | .000(a) | 1 | 0 | 0 | 0 |
| Epilobium angustifolium2 | 94-96 | .000(a) | 1 | 0 | 0 | 0 |
| Epilobium angustifolium3 | 94-99 | .000(a) | 1 | 0 | 0 | 0 |
| Filipendula ulmaria1 | 94-95 | .000(a) | 1 | 0 | 0 | 0 |
| Filipendula ulmaria2 | 94-96 | .000(a) | 1 | 0 | 0 | 0 |
| Filipendula ulmaria3 | 94-99 | .000(a) | 1 | 0 | 0 | 0 |
| Frangula alnus1 | 94-95 | .000(a) | 1 | 0 | 0 | 0 |
| Frangula alnus2 | 94-96 | .000(a) | 1 | 0 | 0 | 0 |
| Frangula alnus3 | 94-99 | .000(a) | 1 | 0 | 0 | 0 |
| Galeopsis sp.1 | 94-95 | .000(a) | 1 | 0 | 0 | 0 |
| Galeopsis sp.2 | 94-96 | .000(a) | 1 | 0 | 0 | 0 |
| Galeopsis sp.3 | 94-99 | .000(a) | 1 | 0 | 0 | 0 |
| Geranium sylvaticum1 | 94-95 | .000(a) | 1 | 0 | 0 | 0 |
| Geranium sylvaticum2 | 94-96 | .000(a) | 1 | 0 | 0 | 0 |
| Geranium sylvaticum3 | 94-99 | .000(a) | 1 | 0 | 0 | 0 |
| Geum sp.1 | 94-95 | .000(a) | 1 | 0 | 0 | 0 |
| Geum sp.2 | 94-96 | .000(a) | 1 | 0 | 0 | 0 |
| Geum sp.3 | 94-99 | .000(a) | 1 | 0 | 0 | 0 |
| Goodyera repens1 | 94-95 | .000(a) | 1 | 1 | 0 | 0 |
| Goodyera repens2 | 94-96 | .000(a) | 1 | 1 | 0 | 0 |
| Goodyera repens3 | 94-99 | .000(a) | 1 | 1 | 0 | 0 |
| Gymnocarpium dryopteris1 | 94-95 | -1.857(b) | 0,063 | 5 | 0 | 4 |
| Gymnocarpium dryopteris2 | 94-96 | -1.826(b) | 0,068 | 5 | 0 | 4 |
| Gymnocarpium dryopteris3 | 94-99 | -1.089(b) | 0,276 | 5 | 2 | 3 |
| Hylocomium splendens1 | 94-95 | -.643(a) | 0,52 | 28 | 6 | 8 |
| Hylocomium splendens2 | 94-96 | -.068(a) | 0,946 | 29 | 9 | 9 |
| Hylocomium splendens3 | 94-99 | -2.692(a) | 0,007 | 33 | 6 | 20 |
| Hylocomium umbratum1 | 94-95 | -.378(b) | 0,705 | 5 | 2 | 2 |
| Hylocomium umbratum2 | 94-96 | -.137(a) | 0,891 | 5 | 2 | 3 |
| Hylocomium umbratum3 | 94-99 | -1.289(b) | 0,197 | 5 | 3 | 1 |
| Hypnum cupressiforme1 | 94-95 | .000(c) | 1 | 0 | 0 | 0 |

fortsetter neste side

Vedleggstabell 3b. fortsetter:

| Arter | år | Z | Sign | totalt | tilbake | fram |
|---------------------------|-------|-----------|-------|--------|---------|------|
| Hypnum cupressiforme2 | 94-96 | .000(c) | 1 | 0 | 0 | 0 |
| Hypnum cupressiforme3 | 94-99 | .000(c) | 1 | 0 | 0 | 0 |
| Isothecium myosuroides1 | 94-95 | .000(c) | 1 | 0 | 0 | 0 |
| Isothecium myosuroides2 | 94-96 | .000(c) | 1 | 0 | 0 | 0 |
| Isothecium myosuroides3 | 94-99 | .000(c) | 1 | 0 | 0 | 0 |
| Juniperus communis1 | 94-95 | -1.000(c) | 0,317 | 1 | 1 | 0 |
| Juniperus communis2 | 94-96 | -1.000(c) | 0,317 | 1 | 1 | 0 |
| Juniperus communis3 | 94-99 | -1.000(c) | 0,317 | 1 | 1 | 0 |
| Lathyrus montanus1 | 94-95 | -1.000(c) | 0,317 | 1 | 1 | 0 |
| Lathyrus montanus2 | 94-96 | -1.000(c) | 0,317 | 1 | 1 | 0 |
| Lathyrus montanus3 | 94-99 | .000(a) | 1 | 1 | 0 | 0 |
| Lepidozia reptans1 | 94-95 | .000(b) | 1 | 1 | 0 | 0 |
| Lepidozia reptans2 | 94-96 | .000(b) | 1 | 1 | 0 | 0 |
| Lepidozia reptans3 | 94-99 | -1.000(a) | 0,317 | 1 | 1 | 0 |
| Leucobryum glaucum1 | 94-95 | .000(a) | 1 | 0 | 0 | 0 |
| Leucobryum glaucum2 | 94-96 | .000(a) | 1 | 0 | 0 | 0 |
| Leucobryum glaucum3 | 94-99 | -1.414(b) | 0,157 | 2 | 0 | 2 |
| Linnea borealis1 | 94-95 | -2.000(c) | 0,046 | 6 | 4 | 0 |
| Linnea borealis2 | 94-96 | -.378(c) | 0,705 | 6 | 3 | 1 |
| Linnea borealis3 | 94-99 | -.137(c) | 0,891 | 6 | 3 | 2 |
| Listera cordata1 | 94-95 | .000(a) | 1 | 0 | 0 | 0 |
| Listera cordata2 | 94-96 | .000(a) | 1 | 0 | 0 | 0 |
| Listera cordata3 | 94-99 | .000(a) | 1 | 0 | 0 | 0 |
| Lophocolea bidentata1 | 94-95 | .000(b) | 1 | 0 | 0 | 0 |
| Lophocolea bidentata2 | 94-96 | -1.000(c) | 0,317 | 1 | 0 | 1 |
| Lophocolea bidentata3 | 94-99 | .000(b) | 1 | 0 | 0 | 0 |
| Lophocolea heterophylla1 | 94-95 | -1.633(c) | 0,102 | 3 | 0 | 3 |
| Lophocolea heterophylla2 | 94-96 | -1.633(c) | 0,102 | 3 | 0 | 3 |
| Lophocolea heterophylla3 | 94-99 | -1.633(c) | 0,102 | 4 | 0 | 3 |
| Lophozia obtusa1 | 94-95 | .000(b) | 1 | 0 | 0 | 0 |
| Lophozia obtusa2 | 94-96 | .000(b) | 1 | 0 | 0 | 0 |
| Lophozia obtusa3 | 94-99 | .000(b) | 1 | 0 | 0 | 0 |
| Lophozia ventricosa agg.1 | 94-95 | .000(b) | 1 | 0 | 0 | 0 |
| Lophozia ventricosa agg.2 | 94-96 | .000(b) | 1 | 0 | 0 | 0 |
| Lophozia ventricosa agg.3 | 94-99 | -1.000(c) | 0,317 | 1 | 0 | 1 |
| Luzula pilosa1 | 94-95 | .000(b) | 1 | 0 | 0 | 0 |
| Luzula pilosa2 | 94-96 | .000(b) | 1 | 0 | 0 | 0 |
| Luzula pilosa3 | 94-99 | .000(b) | 1 | 0 | 0 | 0 |
| Lycopodium annotinum1 | 94-95 | .000(a) | 1 | 0 | 0 | 0 |
| Lycopodium annotinum2 | 94-96 | .000(a) | 1 | 0 | 0 | 0 |
| Lycopodium annotinum3 | 94-99 | .000(a) | 1 | 0 | 0 | 0 |
| Lycopodium clavatum1 | 94-95 | -1.000(c) | 0,317 | 1 | 1 | 0 |
| Lycopodium clavatum2 | 94-96 | -1.000(c) | 0,317 | 1 | 1 | 0 |
| Lycopodium clavatum3 | 94-99 | -1.000(c) | 0,317 | 1 | 1 | 0 |
| Lysimachia vulgaris1 | 94-95 | .000(a) | 1 | 0 | 0 | 0 |
| Lysimachia vulgaris2 | 94-96 | .000(a) | 1 | 0 | 0 | 0 |
| Lysimachia vulgaris3 | 94-99 | .000(a) | 1 | 0 | 0 | 0 |
| Maianthemum bifolium1 | 94-95 | .000(a) | 1 | 27 | 8 | 8 |
| Maianthemum bifolium2 | 94-96 | -.389(c) | 0,698 | 27 | 10 | 7 |
| Maianthemum bifolium3 | 94-99 | -.215(c) | 0,83 | 27 | 9 | 8 |
| Marsupella emarginata1 | 94-95 | .000(b) | 1 | 0 | 0 | 0 |
| Marsupella emarginata2 | 94-96 | .000(b) | 1 | 0 | 0 | 0 |

fortsetter neste side

Vedleggstabell 3b. fortsetter:

| Arter | år | Z | Sign | totalt | tilbake | fram |
|--------------------------|-------|-----------|-------|--------|---------|------|
| Marsupella emarginata3 | 94-99 | .000(b) | 1 | 0 | 0 | 0 |
| Melampyrum pratense1 | 94-95 | -1.933(b) | 0,053 | 20 | 5 | 14 |
| Melampyrum pratense2 | 94-96 | -3.153(b) | 0,002 | 19 | 1 | 18 |
| Melampyrum pratense3 | 94-99 | -3.507(b) | 0 | 19 | 2 | 17 |
| Melica nutans1 | 94-95 | .000(a) | 1 | 0 | 0 | 0 |
| Melica nutans2 | 94-96 | .000(a) | 1 | 0 | 0 | 0 |
| Melica nutans3 | 94-99 | .000(a) | 1 | 0 | 0 | 0 |
| Mezgeria furcata1 | 94-95 | .000(b) | 1 | 0 | 0 | 0 |
| Mezgeria furcata2 | 94-96 | .000(b) | 1 | 0 | 0 | 0 |
| Mezgeria furcata3 | 94-99 | .000(b) | 1 | 0 | 0 | 0 |
| Milium effusum1 | 94-95 | .000(a) | 1 | 0 | 0 | 0 |
| Milium effusum2 | 94-96 | .000(a) | 1 | 0 | 0 | 0 |
| Milium effusum3 | 94-99 | .000(a) | 1 | 0 | 0 | 0 |
| Mnium hornum1 | 94-95 | .000(a) | 1 | 0 | 0 | 0 |
| Mnium hornum2 | 94-96 | .000(a) | 1 | 0 | 0 | 0 |
| Mnium hornum3 | 94-99 | .000(a) | 1 | 0 | 0 | 0 |
| Mnium sp.1 | 94-95 | .000(b) | 1 | 0 | 0 | 0 |
| Mnium sp.2 | 94-96 | .000(b) | 1 | 0 | 0 | 0 |
| Mnium sp.3 | 94-99 | -1.000(c) | 0,317 | 1 | 0 | 1 |
| Molinia caerulea1 | 94-95 | -2.121(b) | 0,034 | 8 | 0 | 5 |
| Molinia caerulea2 | 94-96 | -1.667(b) | 0,096 | 8 | 1 | 5 |
| Molinia caerulea3 | 94-99 | -2.041(b) | 0,041 | 9 | 0 | 5 |
| Narthecium ossifragum1 | 94-95 | .000(a) | 1 | 0 | 0 | 0 |
| Narthecium ossifragum2 | 94-96 | .000(a) | 1 | 0 | 0 | 0 |
| Narthecium ossifragum3 | 94-99 | .000(a) | 1 | 0 | 0 | 0 |
| Orthilia secunda1 | 94-95 | -1.414(b) | 0,157 | 3 | 0 | 2 |
| Orthilia secunda2 | 94-96 | -1.000(b) | 0,317 | 3 | 0 | 1 |
| Orthilia secunda3 | 94-99 | -.816(b) | 0,414 | 3 | 1 | 2 |
| Oxalis acetosella1 | 94-95 | -1.000(c) | 0,317 | 1 | 1 | 0 |
| Oxalis acetosella2 | 94-96 | -1.000(c) | 0,317 | 1 | 1 | 0 |
| Oxalis acetosella3 | 94-99 | .000(a) | 1 | 1 | 0 | 0 |
| Paris quadrifolia1 | 94-95 | .000(a) | 1 | 0 | 0 | 0 |
| Paris quadrifolia2 | 94-96 | .000(a) | 1 | 0 | 0 | 0 |
| Paris quadrifolia3 | 94-99 | .000(a) | 1 | 0 | 0 | 0 |
| Pellia epiphylla1 | 94-95 | .000(b) | 1 | 0 | 0 | 0 |
| Pellia epiphylla2 | 94-96 | .000(b) | 1 | 0 | 0 | 0 |
| Pellia epiphylla3 | 94-99 | .000(b) | 1 | 0 | 0 | 0 |
| Picea abies1 | 94-95 | -2.126(c) | 0,033 | 15 | 7 | 1 |
| Picea abies2 | 94-96 | -.735(c) | 0,462 | 14 | 7 | 3 |
| Picea abies3 | 94-99 | -.309(c) | 0,757 | 19 | 9 | 9 |
| Pinus sylvestris1 | 94-95 | -.333(c) | 0,739 | 7 | 4 | 2 |
| Pinus sylvestris2 | 94-96 | -2.724(b) | 0,006 | 14 | 2 | 11 |
| Pinus sylvestris3 | 94-99 | -2.621(b) | 0,009 | 18 | 4 | 14 |
| Plagiochila asplenoides1 | 94-95 | -1.089(a) | 0,276 | 7 | 2 | 1 |
| Plagiochila asplenoides2 | 94-96 | -.966(a) | 0,334 | 7 | 3 | 2 |
| Plagiochila asplenoides3 | 94-99 | -1.703(a) | 0,089 | 7 | 6 | 1 |
| Plagiommium affine1 | 94-95 | -1.000(c) | 0,317 | 1 | 1 | 0 |
| Plagiommium affine2 | 94-96 | -1.000(c) | 0,317 | 1 | 1 | 0 |
| Plagiommium affine3 | 94-99 | -1.414(b) | 0,157 | 2 | 0 | 2 |
| Plagiothecium laetum1 | 94-95 | -1.000(b) | 0,317 | 5 | 0 | 1 |
| Plagiothecium laetum2 | 94-96 | -.816(b) | 0,414 | 6 | 1 | 2 |
| Plagiothecium laetum3 | 94-99 | -1.190(b) | 0,234 | 7 | 2 | 4 |

fortsetter neste side

Vedleggstabell 3b. fortsetter:

| Arter | år | Z | Sign | totalt | tilbake | fram |
|-----------------------------------|-------|-----------|-------|--------|---------|------|
| <i>Plagiothecium spp.1</i> | 94-95 | .000(a) | 1 | 0 | 0 | 0 |
| <i>Plagiothecium spp.2</i> | 94-96 | .000(a) | 1 | 0 | 0 | 0 |
| <i>Plagiothecium spp.3</i> | 94-99 | -1.000(b) | 0,317 | 1 | 0 | 1 |
| <i>Plagiothecium succulentum1</i> | 94-95 | .000(a) | 1 | 0 | 0 | 0 |
| <i>Plagiothecium succulentum2</i> | 94-96 | .000(a) | 1 | 0 | 0 | 0 |
| <i>Plagiothecium succulentum3</i> | 94-99 | .000(a) | 1 | 0 | 0 | 0 |
| <i>Plagiothecium undulatum1</i> | 94-95 | -1.035(b) | 0,301 | 15 | 2 | 5 |
| <i>Plagiothecium undulatum2</i> | 94-96 | -.690(b) | 0,49 | 14 | 3 | 4 |
| <i>Plagiothecium undulatum3</i> | 94-99 | -2.143(b) | 0,032 | 14 | 1 | 11 |
| <i>Pleurozium schreberi1</i> | 94-95 | -1.352(b) | 0,176 | 40 | 7 | 12 |
| <i>Pleurozium schreberi2</i> | 94-96 | -2.216(b) | 0,027 | 40 | 6 | 12 |
| <i>Pleurozium schreberi3</i> | 94-99 | -.338(b) | 0,735 | 41 | 13 | 15 |
| <i>Poa pratensis1</i> | 94-95 | .000(a) | 1 | 0 | 0 | 0 |
| <i>Poa pratensis2</i> | 94-96 | .000(a) | 1 | 0 | 0 | 0 |
| <i>Poa pratensis3</i> | 94-99 | .000(a) | 1 | 0 | 0 | 0 |
| <i>Pohlia nutans agg.1</i> | 94-95 | -.264(c) | 0,792 | 8 | 4 | 3 |
| <i>Pohlia nutans agg.2</i> | 94-96 | -.264(c) | 0,792 | 8 | 4 | 3 |
| <i>Pohlia nutans agg.3</i> | 94-99 | -1.725(c) | 0,084 | 10 | 6 | 2 |
| <i>Polytrichum commune1</i> | 94-95 | .000(a) | 1 | 6 | 0 | 0 |
| <i>Polytrichum commune2</i> | 94-96 | .000(a) | 1 | 6 | 0 | 0 |
| <i>Polytrichum commune3</i> | 94-99 | -.577(c) | 0,564 | 6 | 2 | 1 |
| <i>Polytricum formosum1</i> | 94-95 | -1.552(c) | 0,121 | 17 | 6 | 1 |
| <i>Polytricum formosum2</i> | 94-96 | -2.183(c) | 0,029 | 17 | 10 | 1 |
| <i>Polytricum formosum3</i> | 94-99 | -.353(b) | 0,724 | 19 | 7 | 8 |
| <i>Polytricum juniperinum1</i> | 94-95 | -1.000(b) | 0,317 | 2 | 0 | 1 |
| <i>Polytricum juniperinum2</i> | 94-96 | -1.414(b) | 0,157 | 3 | 0 | 2 |
| <i>Polytricum juniperinum3</i> | 94-99 | -1.000(c) | 0,317 | 1 | 1 | 0 |
| <i>Populus tremula1</i> | 94-95 | -2.360(b) | 0,018 | 10 | 1 | 8 |
| <i>Populus tremula2</i> | 94-96 | -1.308(b) | 0,191 | 11 | 3 | 7 |
| <i>Populus tremula3</i> | 94-99 | -1.654(b) | 0,098 | 11 | 2 | 8 |
| <i>Potentilla erecta1</i> | 94-95 | .000(a) | 1 | 9 | 3 | 3 |
| <i>Potentilla erecta2</i> | 94-96 | -.184(b) | 0,854 | 9 | 2 | 2 |
| <i>Potentilla erecta3</i> | 94-99 | -.071(b) | 0,943 | 9 | 4 | 4 |
| <i>Pteridium aquilinum1</i> | 94-95 | -.771(b) | 0,44 | 10 | 3 | 6 |
| <i>Pteridium aquilinum2</i> | 94-96 | -1.761(b) | 0,078 | 10 | 1 | 7 |
| <i>Pteridium aquilinum3</i> | 94-99 | -1.491(c) | 0,136 | 10 | 5 | 3 |
| <i>Ptilidium ciliare1</i> | 94-95 | -.730(a) | 0,465 | 6 | 2 | 2 |
| <i>Ptilidium ciliare2</i> | 94-96 | -.105(a) | 0,916 | 7 | 3 | 3 |
| <i>Ptilidium ciliare3</i> | 94-99 | -.736(a) | 0,461 | 5 | 3 | 1 |
| <i>Ptilidium pulcherrimum1</i> | 94-95 | .000(b) | 1 | 1 | 0 | 0 |
| <i>Ptilidium pulcherrimum2</i> | 94-96 | .000(b) | 1 | 1 | 0 | 0 |
| <i>Ptilidium pulcherrimum3</i> | 94-99 | -1.511(c) | 0,131 | 5 | 1 | 4 |
| <i>Ptilium crista-castrensis1</i> | 94-95 | -2.285(c) | 0,022 | 21 | 13 | 4 |
| <i>Ptilium crista-castrensis2</i> | 94-96 | -.907(c) | 0,365 | 22 | 10 | 7 |
| <i>Ptilium crista-castrensis3</i> | 94-99 | -.200(c) | 0,841 | 21 | 9 | 9 |
| <i>Pyrola minor1</i> | 94-95 | -1.000(c) | 0,317 | 1 | 1 | 0 |
| <i>Pyrola minor2</i> | 94-96 | -1.000(c) | 0,317 | 1 | 1 | 0 |
| <i>Pyrola minor3</i> | 94-99 | -1.000(c) | 0,317 | 1 | 1 | 0 |
| <i>Pyrola rotundifolia1</i> | 94-95 | .000(b) | 1 | 0 | 0 | 0 |
| <i>Pyrola rotundifolia2</i> | 94-96 | .000(b) | 1 | 0 | 0 | 0 |
| <i>Pyrola rotundifolia3</i> | 94-99 | -1.000(c) | 0,317 | 1 | 0 | 1 |
| <i>Querqus sp.1</i> | 94-95 | .000(a) | 1 | 4 | 1 | 2 |

fortsetter neste side

Vedleggstabell 3b. fortsetter:

| Arter | år | Z | Sign | totalt | tilbake | fram |
|---------------------------------|-------|-----------|-------|--------|---------|------|
| Querqus sp.2 | 94-96 | -.577(b) | 0,564 | 4 | 1 | 2 |
| Querqus sp.3 | 94-99 | .000(a) | 1 | 4 | 1 | 2 |
| Racomitrium lanuginosum1 | 94-95 | .000(a) | 1 | 1 | 0 | 0 |
| Racomitrium lanuginosum2 | 94-96 | .000(a) | 1 | 1 | 0 | 0 |
| Racomitrium lanuginosum3 | 94-99 | -1.000(c) | 0,317 | 1 | 1 | 0 |
| Rhizomnium punctatum1 | 94-95 | .000(a) | 1 | 0 | 0 | 0 |
| Rhizomnium punctatum2 | 94-96 | .000(a) | 1 | 0 | 0 | 0 |
| Rhizomnium punctatum3 | 94-99 | .000(a) | 1 | 0 | 0 | 0 |
| Rhodobryum roseum1 | 94-95 | .000(a) | 1 | 0 | 0 | 0 |
| Rhodobryum roseum2 | 94-96 | .000(a) | 1 | 0 | 0 | 0 |
| Rhodobryum roseum3 | 94-99 | .000(a) | 1 | 0 | 0 | 0 |
| Rhytidadelphus loreus1 | 94-95 | -1.000(c) | 0,317 | 6 | 3 | 1 |
| Rhytidadelphus loreus2 | 94-96 | -.577(c) | 0,564 | 6 | 2 | 1 |
| Rhytidadelphus loreus3 | 94-99 | -.962(b) | 0,336 | 6 | 2 | 3 |
| Rhytidadelphus squarrosus agg.1 | 94-95 | -.184(b) | 0,854 | 6 | 2 | 2 |
| Rhytidadelphus squarrosus agg.2 | 94-96 | -1.200(b) | 0,23 | 8 | 2 | 5 |
| Rhytidadelphus squarrosus agg.3 | 94-99 | .000(a) | 1 | 8 | 2 | 3 |
| Rhytidadelphus triquetrus1 | 94-95 | .000(a) | 1 | 3 | 0 | 0 |
| Rhytidadelphus triquetrus2 | 94-96 | -1.000(b) | 0,317 | 3 | 0 | 1 |
| Rhytidadelphus triquetrus3 | 94-99 | .000(a) | 1 | 3 | 1 | 1 |
| Rubus idaeus1 | 94-95 | -.577(c) | 0,564 | 5 | 2 | 1 |
| Rubus idaeus2 | 94-96 | -1.134(c) | 0,257 | 5 | 3 | 1 |
| Rubus idaeus3 | 94-99 | -2.070(c) | 0,038 | 5 | 5 | 0 |
| Rubus saxatilis1 | 94-95 | -.213(c) | 0,832 | 11 | 3 | 3 |
| Rubus saxatilis2 | 94-96 | -.769(c) | 0,442 | 11 | 4 | 3 |
| Rubus saxatilis3 | 94-99 | -.142(c) | 0,887 | 11 | 4 | 4 |
| Scapania cf. umbliquina1 | 94-95 | .000(a) | 1 | 0 | 0 | 0 |
| Scapania cf. umbliquina2 | 94-96 | .000(a) | 1 | 0 | 0 | 0 |
| Scapania cf. umbliquina3 | 94-99 | .000(a) | 1 | 0 | 0 | 0 |
| Scapania sp.1 | 94-95 | .000(b) | 1 | 0 | 0 | 0 |
| Scapania sp.2 | 94-96 | .000(b) | 1 | 0 | 0 | 0 |
| Scapania sp.3 | 94-99 | .000(b) | 1 | 0 | 0 | 0 |
| Solidago virgaurea1 | 94-95 | -1.342(b) | 0,18 | 5 | 0 | 2 |
| Solidago virgaurea2 | 94-96 | -.447(b) | 0,655 | 5 | 1 | 1 |
| Solidago virgaurea3 | 94-99 | -.756(b) | 0,45 | 5 | 1 | 3 |
| Sorbus aucuparia1 | 94-95 | -.025(a) | 0,98 | 26 | 8 | 9 |
| Sorbus aucuparia2 | 94-96 | -.907(a) | 0,365 | 26 | 7 | 10 |
| Sorbus aucuparia3 | 94-99 | -2.605(a) | 0,009 | 27 | 4 | 16 |
| Sphagnum angustifolium1 | 94-95 | .000(a) | 1 | 0 | 0 | 0 |
| Sphagnum angustifolium2 | 94-96 | .000(a) | 1 | 0 | 0 | 0 |
| Sphagnum angustifolium3 | 94-99 | .000(a) | 1 | 0 | 0 | 0 |
| Sphagnum capillifolium1 | 94-95 | -1.342(c) | 0,18 | 7 | 2 | 0 |
| Sphagnum capillifolium2 | 94-96 | -1.069(c) | 0,285 | 7 | 2 | 1 |
| Sphagnum capillifolium3 | 94-99 | -1.367(c) | 0,172 | 7 | 5 | 1 |
| Sphagnum centrale1 | 94-95 | .000(a) | 1 | 0 | 0 | 0 |
| Sphagnum centrale2 | 94-96 | .000(a) | 1 | 0 | 0 | 0 |
| Sphagnum centrale3 | 94-99 | .000(a) | 1 | 0 | 0 | 0 |
| Sphagnum fimbriatum1 | 94-95 | .000(a) | 1 | 0 | 0 | 0 |
| Sphagnum fimbriatum2 | 94-96 | .000(a) | 1 | 0 | 0 | 0 |
| Sphagnum fimbriatum3 | 94-99 | .000(a) | 1 | 0 | 0 | 0 |
| Sphagnum girgensohnii1 | 94-95 | -.577(a) | 0,564 | 6 | 1 | 2 |
| Sphagnum girgensohnii2 | 94-96 | -1.633(a) | 0,102 | 6 | 0 | 3 |

fortsetter neste side

Vedleggstabell 3b. fortsetter:

| Arter | år | Z | Sign | totalt | tilbake | fram |
|--------------------------|-------|-----------|-------|--------|---------|------|
| Sphagnum girgensohnii3 | 94-99 | -1.633(a) | 0,102 | 6 | 1 | 4 |
| Sphagnum palustre1 | 94-95 | .000(b) | 1 | 0 | 0 | 0 |
| Sphagnum palustre2 | 94-96 | .000(b) | 1 | 0 | 0 | 0 |
| Sphagnum palustre3 | 94-99 | .000(b) | 1 | 0 | 0 | 0 |
| Sphagnum quinquefarium1 | 94-95 | -1.134(a) | 0,257 | 15 | 1 | 3 |
| Sphagnum quinquefarium2 | 94-96 | -.687(a) | 0,492 | 15 | 1 | 4 |
| Sphagnum quinquefarium3 | 94-99 | -.106(c) | 0,915 | 15 | 6 | 7 |
| Sphagnum russowii1 | 94-95 | .000(b) | 1 | 3 | 0 | 0 |
| Sphagnum russowii2 | 94-96 | -1.000(a) | 0,317 | 3 | 0 | 1 |
| Sphagnum russowii3 | 94-99 | -.557(a) | 0,577 | 5 | 1 | 3 |
| Sphagnum squarrosum1 | 94-95 | .000(b) | 1 | 7 | 2 | 2 |
| Sphagnum squarrosum2 | 94-96 | .000(b) | 1 | 7 | 2 | 2 |
| Sphagnum squarrosum3 | 94-99 | -.962(a) | 0,336 | 7 | 2 | 3 |
| Sphagnum wulfianum1 | 94-95 | -1.000(c) | 0,317 | 1 | 1 | 0 |
| Sphagnum wulfianum2 | 94-96 | -1.000(c) | 0,317 | 1 | 1 | 0 |
| Sphagnum wulfianum3 | 94-99 | -1.000(c) | 0,317 | 1 | 1 | 0 |
| Tetrapis pellucida1 | 94-95 | -1.000(a) | 0,317 | 2 | 0 | 1 |
| Tetrapis pellucida2 | 94-96 | -1.000(a) | 0,317 | 2 | 0 | 1 |
| Tetrapis pellucida3 | 94-99 | -.447(c) | 0,655 | 2 | 1 | 1 |
| Thelypteris phegopteris1 | 94-95 | -1.342(a) | 0,18 | 8 | 0 | 2 |
| Thelypteris phegopteris2 | 94-96 | -.948(a) | 0,343 | 8 | 1 | 4 |
| Thelypteris phegopteris3 | 94-99 | -1.633(a) | 0,102 | 8 | 0 | 3 |
| Thuidium thamariscinum1 | 94-95 | .000(b) | 1 | 0 | 0 | 0 |
| Thuidium thamariscinum2 | 94-96 | .000(b) | 1 | 0 | 0 | 0 |
| Thuidium thamariscinum3 | 94-99 | .000(b) | 1 | 0 | 0 | 0 |
| Trientalis europaea1 | 94-95 | -.669(b) | 0,503 | 12 | 4 | 5 |
| Trientalis europaea2 | 94-96 | -.812(b) | 0,417 | 12 | 5 | 6 |
| Trientalis europaea3 | 94-99 | -1.461(a) | 0,144 | 13 | 4 | 8 |
| Vaccinium myrtillus1 | 94-95 | -.106(a) | 0,916 | 37 | 4 | 2 |
| Vaccinium myrtillus2 | 94-96 | -.183(a) | 0,855 | 37 | 3 | 6 |
| Vaccinium myrtillus3 | 94-99 | -1.204(a) | 0,229 | 38 | 5 | 8 |
| Vaccinium vitis-idaea1 | 94-95 | -.182(b) | 0,855 | 38 | 9 | 9 |
| Vaccinium vitis-idaea2 | 94-96 | -.319(a) | 0,75 | 38 | 9 | 8 |
| Vaccinium vitis-idaea3 | 94-99 | -1.003(a) | 0,316 | 38 | 8 | 10 |
| Veronica officinalis1 | 94-95 | -1.000(a) | 0,317 | 1 | 0 | 1 |
| Veronica officinalis2 | 94-96 | -1.000(a) | 0,317 | 1 | 0 | 1 |
| Veronica officinalis3 | 94-99 | -1.000(b) | 0,317 | 1 | 1 | 0 |
| Viola palustre1 | 94-95 | -1.134(b) | 0,257 | 8 | 3 | 1 |
| Viola palustre2 | 94-96 | -.816(b) | 0,414 | 8 | 2 | 1 |
| Viola palustre3 | 94-99 | -.776(a) | 0,438 | 8 | 2 | 5 |
| Viola riviniana1 | 94-95 | -1.633(a) | 0,102 | 5 | 0 | 3 |
| Viola riviniana2 | 94-96 | -1.633(a) | 0,102 | 5 | 0 | 3 |
| Viola riviniana3 | 94-99 | -1.414(a) | 0,157 | 4 | 0 | 2 |

Vedleggstabell 3c. Artsendringer i ruteneanalyseene. Endringer i prosent dekning av arter i kalkingsfeltet (Fugliåsen) 1994-95, 1994-96 og 1994-99. Arter som i en gitt periode har hatt signifikant fram- eller tilbakegang er angitt med fete typer. - Changes in % coverage of species in the limed plots. Significant changes marked in bold-faced types.

| Arter | år | Z | Sign | totalt | tilbake | fram |
|------------------------------|-------|-----------|-------|--------|---------|------|
| Agrostis canina1 | 94-95 | .000(a) | 1 | 8 | 1 | 1 |
| Agrostis canina2 | 94-96 | -1.342(b) | 0,18 | 8 | 0 | 2 |
| Agrostis canina3 | 94-99 | -2.043(b) | 0,041 | 9 | 1 | 6 |
| Agrostis capillaris1 | 94-95 | .000(a) | 1 | 9 | 2 | 2 |
| Agrostis capillaris2 | 94-96 | -577(c) | 0,564 | 9 | 2 | 1 |
| Agrostis capillaris3 | 94-99 | -1.630(b) | 0,103 | 10 | 3 | 6 |
| Anemone nemorosa1 | 94-95 | -.853(c) | 0,394 | 15 | 5 | 2 |
| Anemone nemorosa2 | 94-96 | -2.871(b) | 0,004 | 16 | 0 | 10 |
| Anemone nemorosa3 | 94-99 | -.498(c) | 0,618 | 18 | 6 | 5 |
| Athyrium filix-femina1 | 94-95 | -.447(b) | 0,655 | 3 | 1 | 1 |
| Athyrium filix-femina2 | 94-96 | -1.342(b) | 0,18 | 4 | 0 | 2 |
| Athyrium filix-femina3 | 94-99 | -1.604(b) | 0,109 | 4 | 0 | 3 |
| Atrichum undulatum1 | 94-95 | -1.000(a) | 0,317 | 1 | 1 | 0 |
| Atrichum undulatum2 | 94-96 | .000(b) | 1 | 1 | 0 | 0 |
| Atrichum undulatum3 | 94-99 | -1.000(a) | 0,317 | 1 | 1 | 0 |
| Barbilophozia attenuata1 | 94-95 | -1.000(a) | 0,317 | 3 | 0 | 1 |
| Barbilophozia attenuata2 | 94-96 | -1.732(a) | 0,083 | 5 | 0 | 3 |
| Barbilophozia attenuata3 | 94-99 | .000(b) | 1 | 3 | 1 | 1 |
| Barbilophozia barbata1 | 94-95 | .000(b) | 1 | 0 | 0 | 0 |
| Barbilophozia barbata2 | 94-96 | .000(b) | 1 | 0 | 0 | 0 |
| Barbilophozia barbata3 | 94-99 | .000(b) | 1 | 0 | 0 | 0 |
| Barbilophozia floerkei1 | 94-95 | -1.000(c) | 0,317 | 3 | 1 | 0 |
| Barbilophozia floerkei2 | 94-96 | -1.414(c) | 0,157 | 3 | 2 | 0 |
| Barbilophozia floerkei3 | 94-99 | -1.414(c) | 0,157 | 3 | 2 | 0 |
| Barbilophozia lycopodioides1 | 94-95 | -1.732(a) | 0,083 | 8 | 0 | 3 |
| Barbilophozia lycopodioides2 | 94-96 | -1.732(a) | 0,083 | 8 | 0 | 3 |
| Barbilophozia lycopodioides3 | 94-99 | .000(b) | 1 | 8 | 3 | 3 |
| Bazzania trilobata1 | 94-95 | .000(b) | 1 | 2 | 0 | 0 |
| Bazzania trilobata2 | 94-96 | -1.414(c) | 0,157 | 2 | 2 | 0 |
| Bazzania trilobata3 | 94-99 | -1.414(c) | 0,157 | 2 | 2 | 0 |
| Betula pubescens1 | 94-95 | -1.000(b) | 0,317 | 3 | 0 | 1 |
| Betula pubescens2 | 94-96 | -1.000(b) | 0,317 | 2 | 0 | 1 |
| Betula pubescens3 | 94-99 | -1.342(b) | 0,18 | 2 | 0 | 2 |
| Blechnum spicant1 | 94-95 | -1.342(b) | 0,18 | 3 | 0 | 2 |
| Blechnum spicant2 | 94-96 | -.447(c) | 0,655 | 3 | 1 | 1 |
| Blechnum spicant3 | 94-99 | -1.604(b) | 0,109 | 3 | 0 | 3 |
| Blepharostoma trichophyllum1 | 94-95 | .000(b) | 1 | 1 | 0 | 0 |
| Blepharostoma trichophyllum2 | 94-96 | .000(b) | 1 | 1 | 0 | 0 |
| Blepharostoma trichophyllum3 | 94-99 | .000(b) | 1 | 1 | 0 | 0 |
| Brachythecium reflexum1 | 94-95 | .000(b) | 1 | 4 | 0 | 0 |
| Brachythecium reflexum2 | 94-96 | .000(b) | 1 | 4 | 0 | 0 |
| Brachythecium reflexum3 | 94-99 | -.447(c) | 0,655 | 7 | 2 | 3 |
| Brachythecium rivulare1 | 94-95 | .000(b) | 1 | 0 | 0 | 0 |
| Brachythecium rivulare2 | 94-96 | .000(b) | 1 | 0 | 0 | 0 |
| Brachythecium rivulare3 | 94-99 | .000(b) | 1 | 0 | 0 | 0 |
| Brachythecium rutabulum1 | 94-95 | .000(b) | 1 | 0 | 0 | 0 |
| Brachythecium rutabulum2 | 94-96 | .000(b) | 1 | 0 | 0 | 0 |
| Brachythecium rutabulum3 | 94-99 | .000(b) | 1 | 0 | 0 | 0 |
| Brachythecium salebrosum1 | 94-95 | .000(b) | 1 | 1 | 0 | 0 |
| Brachythecium salebrosum2 | 94-96 | -1.000(c) | 0,317 | 2 | 0 | 1 |

fortsetter neste side

Vedleggstabell 3c. fortsetter:

| Arter | år | Z | Sign | totalt | tilbake | fram |
|------------------------------|-------|-----------|-------|--------|---------|------|
| Brachythecium salebrosum3 | 94-99 | -1.000(a) | 0,317 | 1 | 1 | 0 |
| Brachythecium spp.1 | 94-95 | .000(b) | 1 | 1 | 0 | 0 |
| Brachythecium spp.2 | 94-96 | .000(b) | 1 | 2 | 1 | 1 |
| Brachythecium spp.3 | 94-99 | -.447(c) | 0,655 | 2 | 1 | 1 |
| Brachythecium velutinum1 | 94-95 | .000(b) | 1 | 1 | 0 | 0 |
| Brachythecium velutinum2 | 94-96 | .000(b) | 1 | 1 | 0 | 0 |
| Brachythecium velutinum3 | 94-99 | .000(b) | 1 | 1 | 0 | 0 |
| Bryum sp.1 | 94-95 | .000(b) | 1 | 0 | 0 | 0 |
| Bryum sp.2 | 94-96 | .000(b) | 1 | 0 | 0 | 0 |
| Bryum sp.3 | 94-99 | .000(b) | 1 | 0 | 0 | 0 |
| Calamagrostis epigeios1 | 94-95 | -.813(b) | 0,416 | 8 | 2 | 3 |
| Calamagrostis epigeios2 | 94-96 | -1.461(b) | 0,144 | 8 | 1 | 3 |
| Calamagrostis epigeios3 | 94-99 | -1.820(b) | 0,069 | 8 | 1 | 7 |
| Calamagrostis purpurea1 | 94-95 | -1.134(b) | 0,257 | 17 | 1 | 3 |
| Calamagrostis purpurea2 | 94-96 | -.351(b) | 0,726 | 17 | 3 | 4 |
| Calamagrostis purpurea3 | 94-99 | -2.975(b) | 0,003 | 17 | 2 | 11 |
| Calliergon stramineum1 | 94-95 | .000(b) | 1 | 3 | 0 | 0 |
| Calliergon stramineum2 | 94-96 | -1.414(c) | 0,157 | 5 | 0 | 2 |
| Calliergon stramineum3 | 94-99 | -1.841(c) | 0,066 | 5 | 0 | 4 |
| Calluna vulgaris1 | 94-95 | -.813(b) | 0,416 | 9 | 2 | 3 |
| Calluna vulgaris2 | 94-96 | -.674(c) | 0,5 | 9 | 4 | 1 |
| Calluna vulgaris3 | 94-99 | -2.803(b) | 0,005 | 10 | 0 | 10 |
| Calypogeia fissa1 | 94-95 | .000(b) | 1 | 1 | 0 | 0 |
| Calypogeia fissa2 | 94-96 | .000(b) | 1 | 1 | 0 | 0 |
| Calypogeia fissa3 | 94-99 | -1.000(c) | 0,317 | 1 | 1 | 0 |
| Calypogeia integriflora1 | 94-95 | .000(b) | 1 | 2 | 0 | 0 |
| Calypogeia integriflora2 | 94-96 | -1.000(a) | 0,317 | 3 | 0 | 1 |
| Calypogeia integriflora3 | 94-99 | -1.414(a) | 0,157 | 4 | 0 | 2 |
| Calypogeia muelleriana agg.1 | 94-95 | -.966(a) | 0,334 | 24 | 2 | 3 |
| Calypogeia muelleriana agg.2 | 94-96 | -.632(a) | 0,527 | 25 | 3 | 4 |
| Calypogeia muelleriana agg.3 | 94-99 | -3.325(a) | 0,001 | 29 | 1 | 15 |
| Calypogeia neesiana1 | 94-95 | .000(b) | 1 | 0 | 0 | 0 |
| Calypogeia neesiana2 | 94-96 | .000(b) | 1 | 0 | 0 | 0 |
| Calypogeia neesiana3 | 94-99 | .000(b) | 1 | 0 | 0 | 0 |
| Calypogeia sp.1 | 94-95 | .000(b) | 1 | 0 | 0 | 0 |
| Calypogeia sp.2 | 94-96 | .000(b) | 1 | 0 | 0 | 0 |
| Calypogeia sp.3 | 94-99 | .000(b) | 1 | 0 | 0 | 0 |
| Campanula rotundifolia1 | 94-95 | .000(a) | 1 | 0 | 0 | 0 |
| Campanula rotundifolia2 | 94-96 | .000(a) | 1 | 0 | 0 | 0 |
| Campanula rotundifolia3 | 94-99 | -1.000(b) | 0,317 | 1 | 0 | 1 |
| Carex canescens1 | 94-95 | .000(a) | 1 | 0 | 0 | 0 |
| Carex canescens2 | 94-96 | .000(a) | 1 | 0 | 0 | 0 |
| Carex canescens3 | 94-99 | .000(a) | 1 | 0 | 0 | 0 |
| Carex digitata1 | 94-95 | .000(a) | 1 | 0 | 0 | 0 |
| Carex digitata2 | 94-96 | .000(a) | 1 | 0 | 0 | 0 |
| Carex digitata3 | 94-99 | -1.414(b) | 0,157 | 2 | 0 | 2 |
| Carex echinata1 | 94-95 | .000(a) | 1 | 1 | 0 | 0 |
| Carex echinata2 | 94-96 | .000(a) | 1 | 1 | 0 | 0 |
| Carex echinata3 | 94-99 | -1.000(b) | 0,317 | 1 | 0 | 1 |
| Carex pallescens1 | 94-95 | -1.414(b) | 0,157 | 4 | 0 | 2 |
| Carex pallescens2 | 94-96 | -1.000(b) | 0,317 | 3 | 0 | 1 |
| Carex pallescens3 | 94-99 | -1.342(b) | 0,18 | 3 | 0 | 2 |

fortsetter neste side

Vedleggstabell 3c. fortsetter:

| Arter | år | Z | Sign | totalt | tilbake | fram |
|----------------------------|-------|-----------|-------|--------|---------|------|
| Carex panicea1 | 94-95 | .000(a) | 1 | 3 | 0 | 0 |
| Carex panicea2 | 94-96 | -1.000(b) | 0,317 | 3 | 0 | 1 |
| Carex panicea3 | 94-99 | -1.289(b) | 0,197 | 4 | 1 | 3 |
| Carex pilulifera1 | 94-95 | .000(a) | 1 | 1 | 0 | 0 |
| Carex pilulifera2 | 94-96 | .000(a) | 1 | 1 | 0 | 0 |
| Carex pilulifera3 | 94-99 | -1.633(b) | 0,102 | 3 | 0 | 3 |
| Cephalozia bicuspidata1 | 94-95 | .000(b) | 1 | 0 | 0 | 0 |
| Cephalozia bicuspidata2 | 94-96 | .000(b) | 1 | 0 | 0 | 0 |
| Cephalozia bicuspidata3 | 94-99 | -2.530(a) | 0,011 | 7 | 0 | 7 |
| Cephalozia spp.1 | 94-95 | -1.000(c) | 0,317 | 6 | 3 | 1 |
| Cephalozia spp.2 | 94-96 | -.447(c) | 0,655 | 6 | 3 | 2 |
| Cephalozia spp.3 | 94-99 | -1.633(c) | 0,102 | 6 | 5 | 1 |
| Cephaloziella sp.1 | 94-95 | .000(b) | 1 | 1 | 0 | 0 |
| Cephaloziella sp.2 | 94-96 | .000(b) | 1 | 1 | 0 | 0 |
| Cephaloziella sp.3 | 94-99 | .000(b) | 1 | 1 | 0 | 0 |
| Cetraria islandica1 | 94-95 | .000(b) | 1 | 1 | 0 | 0 |
| Cetraria islandica2 | 94-96 | .000(b) | 1 | 1 | 0 | 0 |
| Cetraria islandica3 | 94-99 | -1.000(c) | 0,317 | 1 | 1 | 0 |
| Cirsium helenioides1 | 94-95 | -1.000(b) | 0,317 | 1 | 0 | 1 |
| Cirsium helenioides2 | 94-96 | -1.000(b) | 0,317 | 1 | 0 | 1 |
| Cirsium helenioides3 | 94-99 | -1.000(b) | 0,317 | 2 | 0 | 1 |
| Cladonia arbuscula agg.1 | 94-95 | -1.000(c) | 0,317 | 2 | 1 | 0 |
| Cladonia arbuscula agg.2 | 94-96 | -.447(c) | 0,655 | 3 | 1 | 1 |
| Cladonia arbuscula agg.3 | 94-99 | -.447(a) | 0,655 | 2 | 1 | 1 |
| Cladonia bellidiflora1 | 94-95 | .000(b) | 1 | 0 | 0 | 0 |
| Cladonia bellidiflora2 | 94-96 | .000(b) | 1 | 0 | 0 | 0 |
| Cladonia bellidiflora3 | 94-99 | .000(b) | 1 | 0 | 0 | 0 |
| Cladonia carneola1 | 94-95 | -1.000(a) | 0,317 | 5 | 0 | 1 |
| Cladonia carneola2 | 94-96 | .000(b) | 1 | 6 | 2 | 2 |
| Cladonia carneola3 | 94-99 | -.447(c) | 0,655 | 6 | 3 | 2 |
| Cladonia cenotea1 | 94-95 | -1.000(c) | 0,317 | 1 | 1 | 0 |
| Cladonia cenotea2 | 94-96 | -1.000(c) | 0,317 | 1 | 1 | 0 |
| Cladonia cenotea3 | 94-99 | -1.000(c) | 0,317 | 1 | 1 | 0 |
| Cladonia chlorophaea agg.1 | 94-95 | -1.342(c) | 0,18 | 11 | 2 | 0 |
| Cladonia chlorophaea agg.2 | 94-96 | -1.342(c) | 0,18 | 11 | 2 | 0 |
| Cladonia chlorophaea agg.3 | 94-99 | .000(b) | 1 | 11 | 2 | 3 |
| Cladonia coccifera agg.1 | 94-95 | -1.000(c) | 0,317 | 2 | 1 | 0 |
| Cladonia coccifera agg.2 | 94-96 | -1.000(c) | 0,317 | 2 | 1 | 0 |
| Cladonia coccifera agg.3 | 94-99 | -1.342(c) | 0,18 | 2 | 2 | 0 |
| Cladonia coniocraea1 | 94-95 | .000(b) | 1 | 0 | 0 | 0 |
| Cladonia coniocraea2 | 94-96 | .000(b) | 1 | 0 | 0 | 0 |
| Cladonia coniocraea3 | 94-99 | .000(b) | 1 | 0 | 0 | 0 |
| Cladonia cornuta1 | 94-95 | .000(b) | 1 | 1 | 0 | 0 |
| Cladonia cornuta2 | 94-96 | .000(b) | 1 | 1 | 0 | 0 |
| Cladonia cornuta3 | 94-99 | .000(b) | 1 | 1 | 0 | 0 |
| Cladonia crispata1 | 94-95 | .000(b) | 1 | 0 | 0 | 0 |
| Cladonia crispata2 | 94-96 | .000(b) | 1 | 0 | 0 | 0 |
| Cladonia crispata3 | 94-99 | .000(b) | 1 | 0 | 0 | 0 |
| Cladonia digitata1 | 94-95 | .000(b) | 1 | 0 | 0 | 0 |
| Cladonia digitata2 | 94-96 | .000(b) | 1 | 0 | 0 | 0 |
| Cladonia digitata3 | 94-99 | .000(b) | 1 | 0 | 0 | 0 |
| Cladonia floerkeana1 | 94-95 | -1.732(a) | 0,083 | 4 | 0 | 3 |

fortsetter neste side

Vedleggstabell 3c. fortsetter:

| Arter | år | Z | Sign | totalt | tilbake | fram |
|---------------------------|-------|-----------|-------|--------|---------|------|
| Cladonia floerkeana2 | 94-96 | -1.732(a) | 0,083 | 4 | 0 | 3 |
| Cladonia floerkeana3 | 94-99 | -1.000(c) | 0,317 | 1 | 1 | 0 |
| Cladonia furcata1 | 94-95 | -1.890(c) | 0,059 | 6 | 4 | 0 |
| Cladonia furcata2 | 94-96 | -1.890(c) | 0,059 | 6 | 4 | 0 |
| Cladonia furcata3 | 94-99 | -2.121(c) | 0,034 | 6 | 5 | 0 |
| Cladonia gracilis1 | 94-95 | .000(a) | 1 | 1 | 0 | 0 |
| Cladonia gracilis2 | 94-96 | .000(a) | 1 | 1 | 0 | 0 |
| Cladonia gracilis3 | 94-99 | .000(a) | 1 | 2 | 1 | 1 |
| Cladonia rangiferina1 | 94-95 | -.447(b) | 0,655 | 7 | 1 | 1 |
| Cladonia rangiferina2 | 94-96 | -.447(b) | 0,655 | 7 | 1 | 1 |
| Cladonia rangiferina3 | 94-99 | -1.186(b) | 0,236 | 8 | 2 | 4 |
| Cladonia spp.1 | 94-95 | .000(a) | 1 | 0 | 0 | 0 |
| Cladonia spp.2 | 94-96 | .000(a) | 1 | 0 | 0 | 0 |
| Cladonia spp.3 | 94-99 | -1.414(b) | 0,157 | 2 | 0 | 2 |
| Cladonia squamosa1 | 94-95 | -1.414(b) | 0,157 | 5 | 0 | 2 |
| Cladonia squamosa2 | 94-96 | -1.414(b) | 0,157 | 5 | 0 | 2 |
| Cladonia squamosa3 | 94-99 | -.577(c) | 0,564 | 4 | 2 | 1 |
| Cladonia subulata1 | 94-95 | -1.000(c) | 0,317 | 1 | 1 | 0 |
| Cladonia subulata2 | 94-96 | -1.000(c) | 0,317 | 1 | 1 | 0 |
| Cladonia subulata3 | 94-99 | -1.000(c) | 0,317 | 1 | 1 | 0 |
| Cladonia sulphurina agg.1 | 94-95 | .000(a) | 1 | 0 | 0 | 0 |
| Cladonia sulphurina agg.2 | 94-96 | .000(a) | 1 | 0 | 0 | 0 |
| Cladonia sulphurina agg.3 | 94-99 | .000(a) | 1 | 0 | 0 | 0 |
| Cladonia uncialis1 | 94-95 | -1.414(c) | 0,157 | 6 | 2 | 0 |
| Cladonia uncialis2 | 94-96 | -1.342(c) | 0,18 | 6 | 2 | 0 |
| Cladonia uncialis3 | 94-99 | -1.633(c) | 0,102 | 6 | 3 | 0 |
| Convallaria majalis1 | 94-95 | .000(a) | 1 | 0 | 0 | 0 |
| Convallaria majalis2 | 94-96 | .000(a) | 1 | 0 | 0 | 0 |
| Convallaria majalis3 | 94-99 | .000(a) | 1 | 0 | 0 | 0 |
| Corylus avellana1 | 94-95 | .000(a) | 1 | 0 | 0 | 0 |
| Corylus avellana2 | 94-96 | .000(a) | 1 | 0 | 0 | 0 |
| Corylus avellana3 | 94-99 | .000(a) | 1 | 0 | 0 | 0 |
| Crepis palludosa1 | 94-95 | .000(a) | 1 | 0 | 0 | 0 |
| Crepis palludosa2 | 94-96 | .000(a) | 1 | 0 | 0 | 0 |
| Crepis palludosa3 | 94-99 | -1.342(b) | 0,18 | 2 | 0 | 2 |
| Deschampsia cespitosa1 | 94-95 | .000(b) | 1 | 1 | 0 | 0 |
| Deschampsia cespitosa2 | 94-96 | .000(b) | 1 | 1 | 0 | 0 |
| Deschampsia cespitosa3 | 94-99 | .000(b) | 1 | 1 | 0 | 0 |
| Deschampsia flexuosa1 | 94-95 | -2.153(a) | 0,031 | 34 | 8 | 1 |
| Deschampsia flexuosa2 | 94-96 | -1.785(a) | 0,074 | 35 | 7 | 2 |
| Deschampsia flexuosa3 | 94-99 | -2.716(c) | 0,007 | 35 | 4 | 14 |
| Dicranum drummondii1 | 94-95 | .000(b) | 1 | 5 | 1 | 2 |
| Dicranum drummondii2 | 94-96 | -.368(c) | 0,713 | 6 | 1 | 3 |
| Dicranum drummondii3 | 94-99 | -.948(c) | 0,343 | 5 | 1 | 4 |
| Dicranum fuscescens1 | 94-95 | .000(b) | 1 | 10 | 2 | 2 |
| Dicranum fuscescens2 | 94-96 | .000(b) | 1 | 11 | 3 | 3 |
| Dicranum fuscescens3 | 94-99 | -.447(a) | 0,655 | 10 | 3 | 2 |
| Dicranum majus1 | 94-95 | -1.693(a) | 0,09 | 31 | 12 | 7 |
| Dicranum majus2 | 94-96 | -2.332(a) | 0,02 | 31 | 14 | 7 |
| Dicranum majus3 | 94-99 | -4.333(c) | 0 | 31 | 2 | 27 |
| Dicranum montanum1 | 94-95 | .000(b) | 1 | 1 | 0 | 0 |
| Dicranum montanum2 | 94-96 | .000(b) | 1 | 1 | 0 | 0 |

fortsetter neste side

Vedleggstabell 3c. fortsetter:

| Arter | år | Z | Sign | totalt | tilbake | fram |
|----------------------------|-------|-----------|-------|--------|---------|------|
| Dicranum montanum3 | 94-99 | .000(b) | 1 | 1 | 0 | 0 |
| Dicranum polysetum1 | 94-95 | -1.300(a) | 0,194 | 9 | 3 | 1 |
| Dicranum polysetum2 | 94-96 | -1.414(c) | 0,157 | 9 | 1 | 4 |
| Dicranum polysetum3 | 94-99 | -2.668(c) | 0,008 | 9 | 0 | 9 |
| Dicranum scoparium1 | 94-95 | -.714(a) | 0,475 | 35 | 8 | 5 |
| Dicranum scoparium2 | 94-96 | .000(b) | 1 | 38 | 8 | 9 |
| Dicranum scoparium3 | 94-99 | -2.028(c) | 0,043 | 38 | 5 | 15 |
| Dicranum spurium1 | 94-95 | -.577(c) | 0,564 | 3 | 1 | 2 |
| Dicranum spurium2 | 94-96 | .000(b) | 1 | 2 | 1 | 1 |
| Dicranum spurium3 | 94-99 | -.577(c) | 0,564 | 3 | 1 | 2 |
| Drepanocladus exannulatus1 | 94-95 | .000(b) | 1 | 0 | 0 | 0 |
| Drepanocladus exannulatus2 | 94-96 | -1.000(c) | 0,317 | 1 | 0 | 1 |
| Drepanocladus exannulatus3 | 94-99 | -1.414(c) | 0,157 | 2 | 0 | 2 |
| Drepanocladus uncinatus1 | 94-95 | .000(b) | 1 | 1 | 0 | 0 |
| Drepanocladus uncinatus2 | 94-96 | .000(b) | 1 | 1 | 0 | 0 |
| Drepanocladus uncinatus3 | 94-99 | -1.000(a) | 0,317 | 1 | 1 | 0 |
| Dryopteris expansa agg.1 | 94-95 | -1.000(b) | 0,317 | 1 | 0 | 1 |
| Dryopteris expansa agg.2 | 94-96 | -1.000(b) | 0,317 | 1 | 0 | 1 |
| Dryopteris expansa agg.3 | 94-99 | -1.000(b) | 0,317 | 1 | 0 | 1 |
| Dryopteris filix-mas1 | 94-95 | .000(a) | 1 | 0 | 0 | 0 |
| Dryopteris filix-mas2 | 94-96 | .000(a) | 1 | 0 | 0 | 0 |
| Dryopteris filix-mas3 | 94-99 | -1.000(b) | 0,317 | 1 | 0 | 1 |
| Epilobium angustifolium1 | 94-95 | .000(a) | 1 | 0 | 0 | 0 |
| Epilobium angustifolium2 | 94-96 | .000(a) | 1 | 0 | 0 | 0 |
| Epilobium angustifolium3 | 94-99 | -1.000(b) | 0,317 | 1 | 0 | 1 |
| Filipendula ulmaria1 | 94-95 | -1.000(b) | 0,317 | 1 | 0 | 1 |
| Filipendula ulmaria2 | 94-96 | -1.000(c) | 0,317 | 1 | 1 | 0 |
| Filipendula ulmaria3 | 94-99 | -1.000(b) | 0,317 | 1 | 0 | 1 |
| Frangula alnus1 | 94-95 | -1.000(c) | 0,317 | 1 | 1 | 0 |
| Frangula alnus2 | 94-96 | -1.000(c) | 0,317 | 1 | 1 | 0 |
| Frangula alnus3 | 94-99 | -1.000(c) | 0,317 | 1 | 1 | 0 |
| Galeopsis sp.1 | 94-95 | .000(a) | 1 | 0 | 0 | 0 |
| Galeopsis sp.2 | 94-96 | .000(a) | 1 | 0 | 0 | 0 |
| Galeopsis sp.3 | 94-99 | .000(a) | 1 | 0 | 0 | 0 |
| Geranium sylvaticum1 | 94-95 | -.447(c) | 0,655 | 11 | 3 | 2 |
| Geranium sylvaticum2 | 94-96 | -.707(c) | 0,48 | 10 | 4 | 1 |
| Geranium sylvaticum3 | 94-99 | -.853(b) | 0,394 | 10 | 2 | 5 |
| Geum sp.1 | 94-95 | -1.000(a) | 0,317 | 1 | 0 | 1 |
| Geum sp.2 | 94-96 | .000(b) | 1 | 0 | 0 | 0 |
| Geum sp.3 | 94-99 | .000(b) | 1 | 0 | 0 | 0 |
| Goodyera repens1 | 94-95 | .000(b) | 1 | 0 | 0 | 0 |
| Goodyera repens2 | 94-96 | .000(b) | 1 | 0 | 0 | 0 |
| Goodyera repens3 | 94-99 | .000(b) | 1 | 0 | 0 | 0 |
| Gymnocarpium dryopteris1 | 94-95 | -.423(a) | 0,672 | 13 | 4 | 4 |
| Gymnocarpium dryopteris2 | 94-96 | -.847(a) | 0,397 | 13 | 2 | 5 |
| Gymnocarpium dryopteris3 | 94-99 | -2.608(a) | 0,009 | 13 | 1 | 9 |
| Hylocomium splendens1 | 94-95 | -.962(a) | 0,336 | 31 | 3 | 2 |
| Hylocomium splendens2 | 94-96 | -1.265(a) | 0,206 | 31 | 5 | 2 |
| Hylocomium splendens3 | 94-99 | -2.172(c) | 0,03 | 32 | 5 | 12 |
| Hylocomium umbratum1 | 94-95 | -1.414(c) | 0,157 | 9 | 0 | 2 |
| Hylocomium umbratum2 | 94-96 | -1.342(c) | 0,18 | 10 | 1 | 4 |
| Hylocomium umbratum3 | 94-99 | -2.751(c) | 0,006 | 11 | 0 | 9 |

fortsetter neste side

Vedleggstabell 3c. fortsetter:

| Arter | år | Z | Sign | totalt | tilbake | fram |
|---------------------------|-------|-----------|-------|--------|---------|------|
| Hypnum cupressiforme1 | 94-95 | -1.000(a) | 0,317 | 4 | 1 | 0 |
| Hypnum cupressiforme2 | 94-96 | .000(b) | 1 | 4 | 0 | 0 |
| Hypnum cupressiforme3 | 94-99 | -1.667(c) | 0,096 | 7 | 1 | 5 |
| Isothecium myosuroides1 | 94-95 | .000(b) | 1 | 1 | 0 | 0 |
| Isothecium myosuroides2 | 94-96 | .000(b) | 1 | 1 | 0 | 0 |
| Isothecium myosuroides3 | 94-99 | .000(b) | 1 | 1 | 0 | 0 |
| Juniperus communis1 | 94-95 | .000(b) | 1 | 0 | 0 | 0 |
| Juniperus communis2 | 94-96 | .000(b) | 1 | 0 | 0 | 0 |
| Juniperus communis3 | 94-99 | .000(b) | 1 | 0 | 0 | 0 |
| Lathyrus montanus1 | 94-95 | .000(b) | 1 | 0 | 0 | 0 |
| Lathyrus montanus2 | 94-96 | .000(b) | 1 | 0 | 0 | 0 |
| Lathyrus montanus3 | 94-99 | .000(b) | 1 | 0 | 0 | 0 |
| Lepidozia reptans1 | 94-95 | .000(a) | 1 | 0 | 0 | 0 |
| Lepidozia reptans2 | 94-96 | .000(a) | 1 | 0 | 0 | 0 |
| Lepidozia reptans3 | 94-99 | -1.000(b) | 0,317 | 1 | 0 | 1 |
| Leucobryum glaucum1 | 94-95 | -1.000(c) | 0,317 | 2 | 0 | 1 |
| Leucobryum glaucum2 | 94-96 | -.447(c) | 0,655 | 2 | 1 | 1 |
| Leucobryum glaucum3 | 94-99 | -1.841(c) | 0,066 | 4 | 0 | 4 |
| Linnea borealis1 | 94-95 | .000(b) | 1 | 3 | 0 | 0 |
| Linnea borealis2 | 94-96 | .000(b) | 1 | 4 | 1 | 1 |
| Linnea borealis3 | 94-99 | -.447(a) | 0,655 | 6 | 2 | 3 |
| Listera cordata1 | 94-95 | -1.000(a) | 0,317 | 1 | 0 | 1 |
| Listera cordata2 | 94-96 | -1.000(a) | 0,317 | 1 | 0 | 1 |
| Listera cordata3 | 94-99 | -2.236(a) | 0,025 | 5 | 0 | 5 |
| Lophocolea bidentata1 | 94-95 | .000(a) | 1 | 0 | 0 | 0 |
| Lophocolea bidentata2 | 94-96 | .000(a) | 1 | 0 | 0 | 0 |
| Lophocolea bidentata3 | 94-99 | .000(a) | 1 | 0 | 0 | 0 |
| Lophocolea heterophylla1 | 94-95 | -1.000(b) | 0,317 | 13 | 0 | 1 |
| Lophocolea heterophylla2 | 94-96 | .000(a) | 1 | 13 | 1 | 1 |
| Lophocolea heterophylla3 | 94-99 | -1.414(c) | 0,157 | 14 | 6 | 2 |
| Lophozia obtusa1 | 94-95 | -1.000(c) | 0,317 | 1 | 1 | 0 |
| Lophozia obtusa2 | 94-96 | .000(a) | 1 | 1 | 0 | 0 |
| Lophozia obtusa3 | 94-99 | -1.000(c) | 0,317 | 1 | 1 | 0 |
| Lophozia ventricosa agg.1 | 94-95 | -1.000(c) | 0,317 | 5 | 1 | 0 |
| Lophozia ventricosa agg.2 | 94-96 | -1.000(b) | 0,317 | 6 | 0 | 1 |
| Lophozia ventricosa agg.3 | 94-99 | -2.000(c) | 0,046 | 5 | 4 | 0 |
| Luzula pilosa1 | 94-95 | .000(b) | 1 | 0 | 0 | 0 |
| Luzula pilosa2 | 94-96 | .000(b) | 1 | 0 | 0 | 0 |
| Luzula pilosa3 | 94-99 | -1.000(c) | 0,317 | 1 | 0 | 1 |
| Lycopodium annotinum1 | 94-95 | -1.633(c) | 0,102 | 13 | 3 | 0 |
| Lycopodium annotinum2 | 94-96 | -.108(a) | 0,914 | 14 | 3 | 3 |
| Lycopodium annotinum3 | 94-99 | -2.727(a) | 0,006 | 13 | 1 | 10 |
| Lycopodium clavatum1 | 94-95 | .000(b) | 1 | 3 | 0 | 0 |
| Lycopodium clavatum2 | 94-96 | -1.000(c) | 0,317 | 3 | 1 | 0 |
| Lycopodium clavatum3 | 94-99 | -.447(a) | 0,655 | 3 | 1 | 1 |
| Lysimachia vulgaris1 | 94-95 | -1.342(a) | 0,18 | 3 | 0 | 2 |
| Lysimachia vulgaris2 | 94-96 | -1.000(a) | 0,317 | 3 | 0 | 1 |
| Lysimachia vulgaris3 | 94-99 | -1.342(a) | 0,18 | 3 | 0 | 2 |
| Maianthemum bifolium1 | 94-95 | -2.969(c) | 0,003 | 32 | 13 | 2 |
| Maianthemum bifolium2 | 94-96 | -.862(a) | 0,389 | 34 | 7 | 10 |
| Maianthemum bifolium3 | 94-99 | -1.245(c) | 0,213 | 32 | 14 | 7 |
| Marsupella emarginata1 | 94-95 | .000(a) | 1 | 1 | 0 | 0 |

fortsetter neste side

Vedleggstabell 3c. fortsetter:

| Arter | år | Z | Sign | totalt | tilbake | fram |
|--------------------------|-------|-----------|-------|--------|---------|------|
| Marsupella emarginata2 | 94-96 | .000(a) | 1 | 1 | 0 | |
| 0Marsupella emarginata3 | 94-99 | .000(a) | 1 | 1 | 0 | 0 |
| Melampyrum pratense1 | 94-95 | -.302(c) | 0,763 | 12 | 4 | 4 |
| Melampyrum pratense2 | 94-96 | -2.799(a) | 0,005 | 15 | 1 | 11 |
| Melampyrum pratense3 | 94-99 | -3.712(a) | 0 | 25 | 3 | 21 |
| Melica nutans1 | 94-95 | -1.000(c) | 0,317 | 8 | 0 | 1 |
| Melica nutans2 | 94-96 | -1.000(c) | 0,317 | 10 | 1 | 3 |
| Melica nutans3 | 94-99 | -2.536(c) | 0,011 | 8 | 0 | 8 |
| Mezgeria furcata1 | 94-95 | .000(a) | 1 | 0 | 0 | 0 |
| Mezgeria furcata2 | 94-96 | .000(a) | 1 | 0 | 0 | 0 |
| Mezgeria furcata3 | 94-99 | -1.000(b) | 0,317 | 1 | 0 | 1 |
| Milium effusum1 | 94-95 | .000(a) | 1 | 0 | 0 | 0 |
| Milium effusum2 | 94-96 | .000(a) | 1 | 0 | 0 | 0 |
| Milium effusum3 | 94-99 | .000(a) | 1 | 0 | 0 | 0 |
| Mnium hornum1 | 94-95 | -1.000(b) | 0,317 | 2 | 0 | 1 |
| Mnium hornum2 | 94-96 | .000(a) | 1 | 1 | 0 | 0 |
| Mnium hornum3 | 94-99 | -1.000(b) | 0,317 | 2 | 0 | 1 |
| Mnium sp.1 | 94-95 | .000(a) | 1 | 0 | 0 | 0 |
| Mnium sp.2 | 94-96 | .000(a) | 1 | 0 | 0 | 0 |
| Mnium sp.3 | 94-99 | .000(a) | 1 | 0 | 0 | 0 |
| Molinia caerulea1 | 94-95 | -.254(c) | 0,799 | 15 | 4 | 3 |
| Molinia caerulea2 | 94-96 | -.878(b) | 0,38 | 15 | 5 | 5 |
| Molinia caerulea3 | 94-99 | -2.699(b) | 0,007 | 15 | 1 | 12 |
| Narthecium ossifragum1 | 94-95 | -1.000(a) | 0,317 | 1 | 0 | 1 |
| Narthecium ossifragum2 | 94-96 | -1.000(a) | 0,317 | 1 | 0 | 1 |
| Narthecium ossifragum3 | 94-99 | .000(b) | 1 | 0 | 0 | 0 |
| Orthilia secunda1 | 94-95 | .000(b) | 1 | 1 | 0 | 0 |
| Orthilia secunda2 | 94-96 | -1.342(a) | 0,18 | 2 | 0 | 2 |
| Orthilia secunda3 | 94-99 | -1.414(a) | 0,157 | 2 | 0 | 2 |
| Oxalis acetosella1 | 94-95 | .000(b) | 1 | 2 | 0 | 0 |
| Oxalis acetosella2 | 94-96 | -1.000(a) | 0,317 | 2 | 0 | 1 |
| Oxalis acetosella3 | 94-99 | -1.414(a) | 0,157 | 2 | 0 | 2 |
| Paris quadrifolia1 | 94-95 | .000(b) | 1 | 0 | 0 | 0 |
| Paris quadrifolia2 | 94-96 | .000(b) | 1 | 0 | 0 | 0 |
| Paris quadrifolia3 | 94-99 | .000(b) | 1 | 0 | 0 | 0 |
| Pellia epiphylla1 | 94-95 | .000(a) | 1 | 1 | 0 | 0 |
| Pellia epiphylla2 | 94-96 | .000(a) | 1 | 1 | 0 | 0 |
| Pellia epiphylla3 | 94-99 | -1.000(b) | 0,317 | 1 | 0 | 1 |
| Picea abies1 | 94-95 | -3.162(c) | 0,002 | 19 | 10 | 0 |
| Picea abies2 | 94-96 | -.277(a) | 0,782 | 26 | 6 | 7 |
| Picea abies3 | 94-99 | -.229(c) | 0,819 | 24 | 9 | 7 |
| Pinus sylvestris1 | 94-95 | -.816(a) | 0,414 | 8 | 2 | 4 |
| Pinus sylvestris2 | 94-96 | -1.897(a) | 0,058 | 12 | 2 | 8 |
| Pinus sylvestris3 | 94-99 | -3.771(a) | 0 | 20 | 1 | 17 |
| Plagiochila asplenoides1 | 94-95 | -2.000(c) | 0,046 | 7 | 4 | 0 |
| Plagiochila asplenoides2 | 94-96 | -1.732(c) | 0,083 | 7 | 3 | 0 |
| Plagiochila asplenoides3 | 94-99 | .000(a) | 1 | 7 | 0 | 0 |
| Plagiomnium affine1 | 94-95 | .000(a) | 1 | 0 | 0 | 0 |
| Plagiomnium affine2 | 94-96 | .000(a) | 1 | 0 | 0 | 0 |
| Plagiomnium affine3 | 94-99 | .000(a) | 1 | 0 | 0 | 0 |
| Plagiothecium laetum1 | 94-95 | -.577(b) | 0,564 | 8 | 1 | 2 |
| Plagiothecium laetum2 | 94-96 | -.577(b) | 0,564 | 8 | 1 | 2 |

fortsetter neste side

Vedleggstabell 3c. fortsetter:

| Arter | år | Z | Sign | totalt | tilbake | fram |
|------------------------------------|-------|-----------|-------|--------|---------|------|
| <i>Plagiothecium laetum</i> 3 | 94-99 | -.707(b) | 0,48 | 11 | 3 | 5 |
| <i>Plagiothecium spp.</i> 1 | 94-95 | -1.000(c) | 0,317 | 2 | 1 | 0 |
| <i>Plagiothecium spp.</i> 2 | 94-96 | -1.000(c) | 0,317 | 2 | 1 | 0 |
| <i>Plagiothecium spp.</i> 3 | 94-99 | .000(a) | 1 | 4 | 2 | 2 |
| <i>Plagiothecium succulentum</i> 1 | 94-95 | .000(a) | 1 | 0 | 0 | 0 |
| <i>Plagiothecium succulentum</i> 2 | 94-96 | .000(a) | 1 | 0 | 0 | 0 |
| <i>Plagiothecium succulentum</i> 3 | 94-99 | .000(a) | 1 | 0 | 0 | 0 |
| <i>Plagiothecium undulatum</i> 1 | 94-95 | -.544(b) | 0,586 | 27 | 6 | 7 |
| <i>Plagiothecium undulatum</i> 2 | 94-96 | -1.353(b) | 0,176 | 29 | 8 | 12 |
| <i>Plagiothecium undulatum</i> 3 | 94-99 | -2.928(b) | 0,003 | 28 | 2 | 17 |
| <i>Pleurozium schreberi</i> 1 | 94-95 | -2.585(c) | 0,01 | 32 | 8 | 0 |
| <i>Pleurozium schreberi</i> 2 | 94-96 | -1.406(c) | 0,16 | 34 | 5 | 2 |
| <i>Pleurozium schreberi</i> 3 | 94-99 | -.846(b) | 0,398 | 33 | 6 | 10 |
| <i>Poa pratensis</i> 1 | 94-95 | -1.000(c) | 0,317 | 1 | 1 | 0 |
| <i>Poa pratensis</i> 2 | 94-96 | -1.000(c) | 0,317 | 1 | 1 | 0 |
| <i>Poa pratensis</i> 3 | 94-99 | -1.000(c) | 0,317 | 1 | 1 | 0 |
| <i>Pohlia nutans</i> agg.1 | 94-95 | -.577(c) | 0,564 | 11 | 2 | 1 |
| <i>Pohlia nutans</i> agg.2 | 94-96 | -1.000(c) | 0,317 | 10 | 1 | 0 |
| <i>Pohlia nutans</i> agg.3 | 94-99 | -2.236(c) | 0,025 | 10 | 5 | 0 |
| <i>Polytrichum commune</i> 1 | 94-95 | -.577(b) | 0,564 | 4 | 1 | 2 |
| <i>Polytrichum commune</i> 2 | 94-96 | .000(a) | 1 | 3 | 1 | 1 |
| <i>Polytrichum commune</i> 3 | 94-99 | -1.732(b) | 0,083 | 4 | 0 | 3 |
| <i>Polytricum formosum</i> 1 | 94-95 | -1.620(c) | 0,105 | 19 | 6 | 1 |
| <i>Polytricum formosum</i> 2 | 94-96 | -1.641(c) | 0,101 | 21 | 7 | 3 |
| <i>Polytricum formosum</i> 3 | 94-99 | -.792(b) | 0,428 | 20 | 4 | 8 |
| <i>Polytricum juniperinum</i> 1 | 94-95 | .000(a) | 1 | 4 | 0 | 0 |
| <i>Polytricum juniperinum</i> 2 | 94-96 | .000(a) | 1 | 4 | 0 | 0 |
| <i>Polytricum juniperinum</i> 3 | 94-99 | -1.604(b) | 0,109 | 4 | 0 | 3 |
| <i>Populus tremula</i> 1 | 94-95 | -.929(a) | 0,353 | 21 | 4 | 7 |
| <i>Populus tremula</i> 2 | 94-96 | -1.268(c) | 0,205 | 25 | 9 | 6 |
| <i>Populus tremula</i> 3 | 94-99 | -.985(a) | 0,325 | 24 | 10 | 11 |
| <i>Potentilla erecta</i> 1 | 94-95 | -.905(c) | 0,366 | 20 | 5 | 3 |
| <i>Potentilla erecta</i> 2 | 94-96 | -.577(c) | 0,564 | 20 | 5 | 4 |
| <i>Potentilla erecta</i> 3 | 94-99 | -2.883(a) | 0,004 | 19 | 2 | 16 |
| <i>Pteridium aquilinum</i> 1 | 94-95 | -1.123(a) | 0,261 | 11 | 3 | 5 |
| <i>Pteridium aquilinum</i> 2 | 94-96 | -2.057(a) | 0,04 | 12 | 2 | 9 |
| <i>Pteridium aquilinum</i> 3 | 94-99 | -2.081(a) | 0,037 | 12 | 3 | 9 |
| <i>Ptilidium ciliare</i> 1 | 94-95 | -1.414(c) | 0,157 | 3 | 2 | 0 |
| <i>Ptilidium ciliare</i> 2 | 94-96 | -.577(b) | 0,564 | 4 | 1 | 2 |
| <i>Ptilidium ciliare</i> 3 | 94-99 | -.577(b) | 0,564 | 5 | 1 | 2 |
| <i>Ptilidium pulcherrimum</i> 1 | 94-95 | .000(a) | 1 | 0 | 0 | 0 |
| <i>Ptilidium pulcherrimum</i> 2 | 94-96 | .000(a) | 1 | 0 | 0 | 0 |
| <i>Ptilidium pulcherrimum</i> 3 | 94-99 | .000(a) | 1 | 0 | 0 | 0 |
| <i>Ptilium crista-castrensis</i> 1 | 94-95 | .000(a) | 1 | 4 | 1 | 1 |
| <i>Ptilium crista-castrensis</i> 2 | 94-96 | .000(a) | 1 | 4 | 1 | 1 |
| <i>Ptilium crista-castrensis</i> 3 | 94-99 | -.577(b) | 0,564 | 5 | 1 | 2 |
| <i>Pyrola minor</i> 1 | 94-95 | .000(b) | 1 | 0 | 0 | 0 |
| <i>Pyrola minor</i> 2 | 94-96 | .000(b) | 1 | 0 | 0 | 0 |
| <i>Pyrola minor</i> 3 | 94-99 | .000(b) | 1 | 0 | 0 | 0 |
| <i>Pyrola rotundifolia</i> 1 | 94-95 | .000(b) | 1 | 0 | 0 | 0 |
| <i>Pyrola rotundifolia</i> 2 | 94-96 | .000(b) | 1 | 0 | 0 | 0 |
| <i>Pyrola rotundifolia</i> 3 | 94-99 | .000(b) | 1 | 0 | 0 | 0 |

fortsetter neste side

Vedleggstabell 3c. fortsetter:

| Arter | år | Z | Sign | totalt | tilbake | fram |
|---------------------------------|-------|-----------|-------|--------|---------|------|
| Querqus sp.1 | 94-95 | -1.000(c) | 0,317 | 4 | 1 | 0 |
| Querqus sp.2 | 94-96 | .000(b) | 1 | 5 | 1 | 1 |
| Querqus sp.3 | 94-99 | -1.732(a) | 0,083 | 5 | 0 | 3 |
| Racomitrium lanuginosum1 | 94-95 | .000(a) | 1 | 0 | 0 | 0 |
| Racomitrium lanuginosum2 | 94-96 | .000(a) | 1 | 0 | 0 | 0 |
| Racomitrium lanuginosum3 | 94-99 | -1.000(b) | 0,317 | 1 | 0 | 1 |
| Rhizomnium punctatum1 | 94-95 | -1.000(c) | 0,317 | 4 | 1 | 0 |
| Rhizomnium punctatum2 | 94-96 | -1.134(b) | 0,257 | 6 | 1 | 3 |
| Rhizomnium punctatum3 | 94-99 | -1.730(b) | 0,084 | 6 | 1 | 5 |
| Rhodobryum roseum1 | 94-95 | .000(a) | 1 | 0 | 0 | 0 |
| Rhodobryum roseum2 | 94-96 | .000(a) | 1 | 0 | 0 | 0 |
| Rhodobryum roseum3 | 94-99 | .000(a) | 1 | 0 | 0 | 0 |
| Rhytidadelphus loreus1 | 94-95 | -.632(b) | 0,527 | 13 | 3 | 3 |
| Rhytidadelphus loreus2 | 94-96 | -.677(b) | 0,498 | 15 | 1 | 4 |
| Rhytidadelphus loreus3 | 94-99 | -.724(b) | 0,469 | 13 | 5 | 6 |
| Rhytidadelphus squarrosus agg.1 | 94-95 | -.577(b) | 0,564 | 12 | 1 | 2 |
| Rhytidadelphus squarrosus agg.2 | 94-96 | -.447(b) | 0,655 | 13 | 2 | 3 |
| Rhytidadelphus squarrosus agg.3 | 94-99 | -2.877(b) | 0,004 | 16 | 1 | 11 |
| Rhytidadelphus triquetrus1 | 94-95 | -1.414(c) | 0,157 | 5 | 2 | 0 |
| Rhytidadelphus triquetrus2 | 94-96 | .000(a) | 1 | 6 | 1 | 1 |
| Rhytidadelphus triquetrus3 | 94-99 | -1.826(b) | 0,068 | 6 | 0 | 4 |
| Rubus idaeus1 | 94-95 | .000(b) | 1 | 0 | 0 | 0 |
| Rubus idaeus2 | 94-96 | .000(b) | 1 | 0 | 0 | 0 |
| Rubus idaeus3 | 94-99 | .000(b) | 1 | 0 | 0 | 0 |
| Rubus saxatilis1 | 94-95 | -.900(a) | 0,368 | 16 | 4 | 5 |
| Rubus saxatilis2 | 94-96 | -.677(a) | 0,498 | 16 | 5 | 7 |
| Rubus saxatilis3 | 94-99 | -1.265(a) | 0,206 | 16 | 5 | 8 |
| Scapania cf. umbliquina1 | 94-95 | .000(a) | 1 | 0 | 0 | 0 |
| Scapania cf. umbliquina2 | 94-96 | .000(a) | 1 | 0 | 0 | 0 |
| Scapania cf. umbliquina3 | 94-99 | .000(a) | 1 | 0 | 0 | 0 |
| Scapania sp.1 | 94-95 | .000(a) | 1 | 1 | 0 | 0 |
| Scapania sp.2 | 94-96 | .000(a) | 1 | 1 | 0 | 0 |
| Scapania sp.3 | 94-99 | -1.000(b) | 0,317 | 2 | 0 | 1 |
| Solidago virgaurea1 | 94-95 | -1.000(c) | 0,317 | 2 | 1 | 0 |
| Solidago virgaurea2 | 94-96 | -1.000(c) | 0,317 | 2 | 1 | 0 |
| Solidago virgaurea3 | 94-99 | -1.414(c) | 0,157 | 2 | 2 | 0 |
| Sorbus aucuparia1 | 94-95 | -1.344(a) | 0,179 | 31 | 12 | 6 |
| Sorbus aucuparia2 | 94-96 | -2.648(a) | 0,008 | 32 | 17 | 5 |
| Sorbus aucuparia3 | 94-99 | -3.058(b) | 0,002 | 32 | 6 | 20 |
| Sphagnum angustifolium1 | 94-95 | -1.000(c) | 0,317 | 2 | 1 | 0 |
| Sphagnum angustifolium2 | 94-96 | -1.000(b) | 0,317 | 2 | 0 | 1 |
| Sphagnum angustifolium3 | 94-99 | -.447(b) | 0,655 | 2 | 1 | 1 |
| Sphagnum capillifolium1 | 94-95 | -1.414(c) | 0,157 | 5 | 2 | 0 |
| Sphagnum capillifolium2 | 94-96 | -2.000(c) | 0,046 | 5 | 4 | 0 |
| Sphagnum capillifolium3 | 94-99 | .000(a) | 1 | 7 | 4 | 3 |
| Sphagnum centrale1 | 94-95 | .000(a) | 1 | 0 | 0 | 0 |
| Sphagnum centrale2 | 94-96 | .000(a) | 1 | 0 | 0 | 0 |
| Sphagnum centrale3 | 94-99 | .000(a) | 1 | 0 | 0 | 0 |
| Sphagnum fimbriatum1 | 94-95 | -1.000(c) | 0,317 | 1 | 1 | 0 |
| Sphagnum fimbriatum2 | 94-96 | -1.000(c) | 0,317 | 1 | 1 | 0 |
| Sphagnum fimbriatum3 | 94-99 | -1.000(c) | 0,317 | 1 | 1 | 0 |
| Sphagnum girgensohnii1 | 94-95 | -2.450(a) | 0,014 | 24 | 10 | 6 |

fortsetter neste side

Vedleggstabell 3c. fortsetter:

| Arter | år | Z | Sign | totalt | tilbake | fram |
|--------------------------|-------|-----------|-------|--------|---------|------|
| Sphagnum girgensohnii2 | 94-96 | -2.114(a) | 0,035 | 24 | 12 | 5 |
| Sphagnum girgensohnii3 | 94-99 | -.750(b) | 0,453 | 25 | 9 | 11 |
| Sphagnum palustre1 | 94-95 | -1.342(b) | 0,18 | 6 | 0 | 2 |
| Sphagnum palustre2 | 94-96 | -1.000(b) | 0,317 | 6 | 0 | 1 |
| Sphagnum palustre3 | 94-99 | -2.207(b) | 0,027 | 7 | 0 | 6 |
| Sphagnum quinquefarium1 | 94-95 | -.846(a) | 0,397 | 15 | 5 | 3 |
| Sphagnum quinquefarium2 | 94-96 | -1.009(a) | 0,313 | 15 | 5 | 4 |
| Sphagnum quinquefarium3 | 94-99 | -2.232(b) | 0,026 | 16 | 4 | 10 |
| Sphagnum russowii1 | 94-95 | -.447(b) | 0,655 | 8 | 1 | 1 |
| Sphagnum russowii2 | 94-96 | -1.732(b) | 0,083 | 10 | 0 | 3 |
| Sphagnum russowii3 | 94-99 | -1.540(b) | 0,124 | 12 | 1 | 7 |
| Sphagnum squarrosum1 | 94-95 | -.962(a) | 0,336 | 13 | 3 | 2 |
| Sphagnum squarrosum2 | 94-96 | -.333(a) | 0,739 | 13 | 3 | 3 |
| Sphagnum squarrosum3 | 94-99 | -1.723(b) | 0,085 | 14 | 2 | 6 |
| Sphagnum wulfianum1 | 94-95 | .000(c) | 1 | 0 | 0 | 0 |
| Sphagnum wulfianum2 | 94-96 | .000(c) | 1 | 0 | 0 | 0 |
| Sphagnum wulfianum3 | 94-99 | .000(c) | 1 | 0 | 0 | 0 |
| Tetrapis pellucida1 | 94-95 | -1.000(a) | 0,317 | 3 | 1 | 0 |
| Tetrapis pellucida2 | 94-96 | -1.414(a) | 0,157 | 3 | 2 | 0 |
| Tetrapis pellucida3 | 94-99 | -1.000(a) | 0,317 | 3 | 1 | 0 |
| Thelypteris phegopteris1 | 94-95 | -2.548(b) | 0,011 | 19 | 3 | 11 |
| Thelypteris phegopteris2 | 94-96 | -2.990(b) | 0,003 | 20 | 2 | 14 |
| Thelypteris phegopteris3 | 94-99 | -3.384(b) | 0,001 | 21 | 1 | 17 |
| Thuidium thamariscinum1 | 94-95 | -.535(b) | 0,593 | 5 | 1 | 2 |
| Thuidium thamariscinum2 | 94-96 | -.557(b) | 0,577 | 6 | 1 | 3 |
| Thuidium thamariscinum3 | 94-99 | -1.826(b) | 0,068 | 5 | 0 | 4 |
| Trientalis europaea1 | 94-95 | -1.000(a) | 0,317 | 23 | 1 | 0 |
| Trientalis europaea2 | 94-96 | .000(c) | 1 | 24 | 2 | 2 |
| Trientalis europaea3 | 94-99 | -2.324(b) | 0,02 | 23 | 2 | 10 |
| Vaccinium myrtillus1 | 94-95 | -1.443(b) | 0,149 | 44 | 11 | 22 |
| Vaccinium myrtillus2 | 94-96 | -3.741(b) | 0 | 44 | 8 | 29 |
| Vaccinium myrtillus3 | 94-99 | -4.953(b) | 0 | 44 | 3 | 38 |
| Vaccinium vitis-idaea1 | 94-95 | -.483(b) | 0,629 | 40 | 8 | 7 |
| Vaccinium vitis-idaea2 | 94-96 | -1.118(b) | 0,263 | 41 | 9 | 9 |
| Vaccinium vitis-idaea3 | 94-99 | -4.091(b) | 0 | 40 | 2 | 23 |
| Veronica officinalis1 | 94-95 | .000(c) | 1 | 0 | 0 | 0 |
| Veronica officinalis2 | 94-96 | .000(c) | 1 | 0 | 0 | 0 |
| Veronica officinalis3 | 94-99 | .000(c) | 1 | 0 | 0 | 0 |
| Viola palustre1 | 94-95 | -2.032(b) | 0,042 | 7 | 0 | 5 |
| Viola palustre2 | 94-96 | -2.032(b) | 0,042 | 7 | 0 | 5 |
| Viola palustre3 | 94-99 | -2.680(b) | 0,007 | 9 | 0 | 9 |
| Viola riviniana1 | 94-95 | -.813(b) | 0,416 | 5 | 2 | 3 |
| Viola riviniana2 | 94-96 | -2.154(b) | 0,031 | 8 | 1 | 7 |
| Viola riviniana3 | 94-99 | -1.473(a) | 0,141 | 4 | 3 | 1 |

Vedleggstabell 3d. Artsendringer i rutenanalysene. Endringer i prosent dekning av arter i referansefeltet (Spjøtåsen) 1994-95, 1994-96 og 1994-99. Arter som i en gitt periode har hatt signifikant fram- eller tilbakegang er angitt med fete typer. - Changes in the % coverage of species in the reference plots. Significant changes marked in bold-faced types.

| Arter | år | Z | Sign | totalt | tilbake | fram |
|------------------------------|-------|-----------|-------|--------|---------|------|
| Agrostis canina1 | 94-95 | .000(a) | 1 | 0 | 0 | 0 |
| Agrostis canina2 | 94-96 | .000(a) | 1 | 0 | 0 | 0 |
| Agrostis canina3 | 94-99 | .000(a) | 1 | 0 | 0 | 0 |
| Agrostis capillaris1 | 94-95 | -1.134(b) | 0,257 | 6 | 3 | 1 |
| Agrostis capillaris2 | 94-96 | -.816(b) | 0,414 | 6 | 2 | 1 |
| Agrostis capillaris3 | 94-99 | -.687(b) | 0,492 | 6 | 4 | 1 |
| Anemone nemorosa1 | 94-95 | -.512(c) | 0,609 | 12 | 3 | 4 |
| Anemone nemorosa2 | 94-96 | -2.323(c) | 0,02 | 13 | 1 | 8 |
| Anemone nemorosa3 | 94-99 | -.241(c) | 0,809 | 13 | 4 | 5 |
| Athyrium filix-femina1 | 94-95 | .000(a) | 1 | 0 | 0 | 0 |
| Athyrium filix-femina2 | 94-96 | .000(a) | 1 | 0 | 0 | 0 |
| Athyrium filix-femina3 | 94-99 | .000(a) | 1 | 0 | 0 | 0 |
| Atrichum undulatum1 | 94-95 | -1.000(a) | 0,317 | 1 | 0 | 1 |
| Atrichum undulatum2 | 94-96 | -1.000(a) | 0,317 | 1 | 0 | 1 |
| Atrichum undulatum3 | 94-99 | -1.000(a) | 0,317 | 1 | 0 | 1 |
| Barbilophozia attenuata1 | 94-95 | -1.000(a) | 0,317 | 3 | 0 | 1 |
| Barbilophozia attenuata2 | 94-96 | -1.000(a) | 0,317 | 3 | 0 | 1 |
| Barbilophozia attenuata3 | 94-99 | -1.414(b) | 0,157 | 2 | 2 | 0 |
| Barbilophozia barbata1 | 94-95 | .000(c) | 1 | 6 | 1 | 1 |
| Barbilophozia barbata2 | 94-96 | -1.000(b) | 0,317 | 5 | 1 | 0 |
| Barbilophozia barbata3 | 94-99 | .000(c) | 1 | 6 | 2 | 2 |
| Barbilophozia floerkei1 | 94-95 | .000(c) | 1 | 2 | 0 | 0 |
| Barbilophozia floerkei2 | 94-96 | .000(c) | 1 | 2 | 0 | 0 |
| Barbilophozia floerkei3 | 94-99 | -1.000(b) | 0,317 | 2 | 1 | 0 |
| Barbilophozia lycopodioides1 | 94-95 | .000(c) | 1 | 7 | 0 | 0 |
| Barbilophozia lycopodioides2 | 94-96 | .000(c) | 1 | 7 | 0 | 0 |
| Barbilophozia lycopodioides3 | 94-99 | -1.342(b) | 0,18 | 7 | 4 | 1 |
| Bazzania trilobata1 | 94-95 | -1.000(b) | 0,317 | 4 | 1 | 0 |
| Bazzania trilobata2 | 94-96 | -1.342(b) | 0,18 | 4 | 2 | 0 |
| Bazzania trilobata3 | 94-99 | .000(c) | 1 | 4 | 1 | 1 |
| Betula pubescens1 | 94-95 | -1.000(b) | 0,317 | 1 | 1 | 0 |
| Betula pubescens2 | 94-96 | -.447(b) | 0,655 | 2 | 1 | 1 |
| Betula pubescens3 | 94-99 | -1.000(b) | 0,317 | 1 | 1 | 0 |
| Blechnum spicant1 | 94-95 | -.447(c) | 0,655 | 2 | 1 | 1 |
| Blechnum spicant2 | 94-96 | -1.000(b) | 0,317 | 2 | 1 | 0 |
| Blechnum spicant3 | 94-99 | -1.604(c) | 0,109 | 3 | 0 | 3 |
| Blepharostoma trichophyllum1 | 94-95 | .000(c) | 1 | 0 | 0 | 0 |
| Blepharostoma trichophyllum2 | 94-96 | .000(c) | 1 | 0 | 0 | 0 |
| Blepharostoma trichophyllum3 | 94-99 | .000(c) | 1 | 0 | 0 | 0 |
| Brachythecium reflexum1 | 94-95 | .000(b) | 1 | 0 | 0 | 0 |
| Brachythecium reflexum2 | 94-96 | .000(b) | 1 | 0 | 0 | 0 |
| Brachythecium reflexum3 | 94-99 | -1.000(a) | 0,317 | 1 | 0 | 1 |
| Brachythecium rivulare1 | 94-95 | .000(b) | 1 | 0 | 0 | 0 |
| Brachythecium rivulare2 | 94-96 | .000(b) | 1 | 0 | 0 | 0 |
| Brachythecium rivulare3 | 94-99 | .000(b) | 1 | 0 | 0 | 0 |
| Brachythecium rutabulum1 | 94-95 | .000(b) | 1 | 0 | 0 | 0 |
| Brachythecium rutabulum2 | 94-96 | .000(b) | 1 | 0 | 0 | 0 |
| Brachythecium rutabulum3 | 94-99 | .000(b) | 1 | 0 | 0 | 0 |
| Brachythecium salebrosum1 | 94-95 | .000(b) | 1 | 0 | 0 | 0 |
| Brachythecium salebrosum2 | 94-96 | .000(b) | 1 | 0 | 0 | 0 |

fortsetter neste side

Vedleggstabell 3d. fortsetter:

| Arter | år | Z | Sign | totalt | tilbake | fram |
|------------------------------|-------|-----------|-------|--------|---------|------|
| Brachythecium salebrosum3 | 94-99 | .000(b) | 1 | 0 | 0 | 0 |
| Brachythecium spp.1 | 94-95 | .000(b) | 1 | 1 | 0 | 0 |
| Brachythecium spp.2 | 94-96 | .000(b) | 1 | 1 | 0 | 0 |
| Brachythecium spp.3 | 94-99 | -1.000(a) | 0,317 | 2 | 0 | 1 |
| Brachythecium velutinum1 | 94-95 | .000(b) | 1 | 0 | 0 | 0 |
| Brachythecium velutinum2 | 94-96 | .000(b) | 1 | 0 | 0 | 0 |
| Brachythecium velutinum3 | 94-99 | .000(b) | 1 | 0 | 0 | 0 |
| Bryum sp.1 | 94-95 | .000(b) | 1 | 0 | 0 | 0 |
| Bryum sp.2 | 94-96 | .000(b) | 1 | 0 | 0 | 0 |
| Bryum sp.3 | 94-99 | .000(b) | 1 | 0 | 0 | 0 |
| Calamagrostis epigeios1 | 94-95 | .000(a) | 1 | 0 | 0 | 0 |
| Calamagrostis epigeios2 | 94-96 | .000(a) | 1 | 0 | 0 | 0 |
| Calamagrostis epigeios3 | 94-99 | -1.000(c) | 0,317 | 1 | 0 | 1 |
| Calamagrostis purpurea1 | 94-95 | -0.447(c) | 0,655 | 6 | 1 | 1 |
| Calamagrostis purpurea2 | 94-96 | .000(a) | 1 | 6 | 1 | 1 |
| Calamagrostis purpurea3 | 94-99 | -1.826(c) | 0,068 | 6 | 0 | 4 |
| Calliergon stramineum1 | 94-95 | .000(b) | 1 | 0 | 0 | 0 |
| Calliergon stramineum2 | 94-96 | .000(b) | 1 | 0 | 0 | 0 |
| Calliergon stramineum3 | 94-99 | .000(b) | 1 | 0 | 0 | 0 |
| Calluna vulgaris1 | 94-95 | -.060(b) | 0,952 | 13 | 4 | 5 |
| Calluna vulgaris2 | 94-96 | -.270(b) | 0,787 | 13 | 5 | 6 |
| Calluna vulgaris3 | 94-99 | -3.041(c) | 0,002 | 13 | 1 | 12 |
| Calypogeia fissa1 | 94-95 | .000(c) | 1 | 0 | 0 | 0 |
| Calypogeia fissa2 | 94-96 | .000(c) | 1 | 0 | 0 | 0 |
| Calypogeia fissa3 | 94-99 | .000(c) | 1 | 0 | 0 | 0 |
| Calypogeia integriflora1 | 94-95 | .000(c) | 1 | 6 | 0 | 0 |
| Calypogeia integriflora2 | 94-96 | .000(c) | 1 | 6 | 0 | 0 |
| Calypogeia integriflora3 | 94-99 | -1.342(a) | 0,18 | 9 | 1 | 4 |
| Calypogeia muelleriana agg.1 | 94-95 | -.577(a) | 0,564 | 10 | 1 | 2 |
| Calypogeia muelleriana agg.2 | 94-96 | -1.414(a) | 0,157 | 10 | 0 | 2 |
| Calypogeia muelleriana agg.3 | 94-99 | -1.604(a) | 0,109 | 9 | 0 | 3 |
| Calypogeia neesiana1 | 94-95 | -1.000(b) | 0,317 | 2 | 1 | 0 |
| Calypogeia neesiana2 | 94-96 | -1.000(b) | 0,317 | 2 | 1 | 0 |
| Calypogeia neesiana3 | 94-99 | -1.000(b) | 0,317 | 2 | 1 | 0 |
| Calypogeia sp.1 | 94-95 | .000(c) | 1 | 0 | 0 | 0 |
| Calypogeia sp.2 | 94-96 | .000(c) | 1 | 0 | 0 | 0 |
| Calypogeia sp.3 | 94-99 | -1.414(a) | 0,157 | 2 | 0 | 2 |
| Campanula rotundifolia1 | 94-95 | .000(a) | 1 | 0 | 0 | 0 |
| Campanula rotundifolia2 | 94-96 | .000(a) | 1 | 0 | 0 | 0 |
| Campanula rotundifolia3 | 94-99 | .000(a) | 1 | 0 | 0 | 0 |
| Carex canescens1 | 94-95 | -1.000(c) | 0,317 | 1 | 0 | 1 |
| Carex canescens2 | 94-96 | -1.000(c) | 0,317 | 1 | 0 | 1 |
| Carex canescens3 | 94-99 | .000(a) | 1 | 0 | 0 | 0 |
| Carex digitata1 | 94-95 | .000(a) | 1 | 0 | 0 | 0 |
| Carex digitata2 | 94-96 | .000(a) | 1 | 0 | 0 | 0 |
| Carex digitata3 | 94-99 | .000(a) | 1 | 0 | 0 | 0 |
| Carex echinata1 | 94-95 | .000(a) | 1 | 0 | 0 | 0 |
| Carex echinata2 | 94-96 | .000(a) | 1 | 0 | 0 | 0 |
| Carex echinata3 | 94-99 | .000(a) | 1 | 0 | 0 | 0 |
| Carex pallescens1 | 94-95 | .000(a) | 1 | 3 | 0 | 0 |
| Carex pallescens2 | 94-96 | .000(a) | 1 | 3 | 0 | 0 |
| Carex pallescens3 | 94-99 | -1.000(c) | 0,317 | 3 | 0 | 1 |

fortsetter neste side

Vedleggstabell 3d. fortsetter:

| Arter | år | Z | Sign | totalt | tilbake | fram |
|----------------------------|-------|-----------|-------|--------|---------|------|
| Carex panicea1 | 94-95 | .000(a) | 1 | 0 | 0 | 0 |
| Carex panicea2 | 94-96 | .000(a) | 1 | 0 | 0 | 0 |
| Carex panicea3 | 94-99 | .000(a) | 1 | 0 | 0 | 0 |
| Carex pilulifera1 | 94-95 | -1.000(c) | 0,317 | 1 | 0 | 1 |
| Carex pilulifera2 | 94-96 | -1.000(b) | 0,317 | 1 | 1 | 0 |
| Carex pilulifera3 | 94-99 | -1.414(c) | 0,157 | 2 | 0 | 2 |
| Cephalozia bicuspidata1 | 94-95 | .000(c) | 1 | 0 | 0 | 0 |
| Cephalozia bicuspidata2 | 94-96 | .000(c) | 1 | 0 | 0 | 0 |
| Cephalozia bicuspidata3 | 94-99 | .000(c) | 1 | 0 | 0 | 0 |
| Cephalozia spp.1 | 94-95 | -1.000(b) | 0,317 | 3 | 1 | 0 |
| Cephalozia spp.2 | 94-96 | -1.000(b) | 0,317 | 3 | 1 | 0 |
| Cephalozia spp.3 | 94-99 | -1.414(b) | 0,157 | 3 | 2 | 0 |
| Cephaloziella sp.1 | 94-95 | .000(c) | 1 | 0 | 0 | 0 |
| Cephaloziella sp.2 | 94-96 | .000(c) | 1 | 0 | 0 | 0 |
| Cephaloziella sp.3 | 94-99 | .000(c) | 1 | 0 | 0 | 0 |
| Cetraria islandica1 | 94-95 | -1.000(b) | 0,317 | 2 | 1 | 0 |
| Cetraria islandica2 | 94-96 | -1.000(b) | 0,317 | 2 | 1 | 0 |
| Cetraria islandica3 | 94-99 | -1.000(a) | 0,317 | 2 | 0 | 1 |
| Cirsium helenioides1 | 94-95 | .000(a) | 1 | 0 | 0 | 0 |
| Cirsium helenioides2 | 94-96 | .000(a) | 1 | 0 | 0 | 0 |
| Cirsium helenioides3 | 94-99 | .000(a) | 1 | 0 | 0 | 0 |
| Cladonia arbuscula agg.1 | 94-95 | -.853(b) | 0,394 | 10 | 5 | 2 |
| Cladonia arbuscula agg.2 | 94-96 | -.271(a) | 0,786 | 10 | 3 | 2 |
| Cladonia arbuscula agg.3 | 94-99 | -2.002(a) | 0,045 | 10 | 2 | 8 |
| Cladonia bellidiflora1 | 94-95 | .000(c) | 1 | 0 | 0 | 0 |
| Cladonia bellidiflora2 | 94-96 | .000(c) | 1 | 0 | 0 | 0 |
| Cladonia bellidiflora3 | 94-99 | .000(c) | 1 | 0 | 0 | 0 |
| Cladonia carneola1 | 94-95 | -1.414(b) | 0,157 | 9 | 2 | 0 |
| Cladonia carneola2 | 94-96 | -1.732(b) | 0,083 | 9 | 3 | 0 |
| Cladonia carneola3 | 94-99 | -2.000(b) | 0,046 | 9 | 4 | 0 |
| Cladonia cenotea1 | 94-95 | .000(c) | 1 | 0 | 0 | 0 |
| Cladonia cenotea2 | 94-96 | .000(c) | 1 | 0 | 0 | 0 |
| Cladonia cenotea3 | 94-99 | .000(c) | 1 | 0 | 0 | 0 |
| Cladonia chlorophaea agg.1 | 94-95 | -1.342(b) | 0,18 | 12 | 2 | 0 |
| Cladonia chlorophaea agg.2 | 94-96 | -.816(b) | 0,414 | 13 | 2 | 1 |
| Cladonia chlorophaea agg.3 | 94-99 | -1.155(a) | 0,248 | 14 | 2 | 7 |
| Cladonia coccifera agg.1 | 94-95 | -1.414(b) | 0,157 | 6 | 2 | 0 |
| Cladonia coccifera agg.2 | 94-96 | -.577(b) | 0,564 | 7 | 2 | 1 |
| Cladonia coccifera agg.3 | 94-99 | -.378(a) | 0,705 | 6 | 2 | 2 |
| Cladonia coniocraea1 | 94-95 | .000(c) | 1 | 1 | 0 | 0 |
| Cladonia coniocraea2 | 94-96 | .000(c) | 1 | 1 | 0 | 0 |
| Cladonia coniocraea3 | 94-99 | -1.000(b) | 0,317 | 1 | 1 | 0 |
| Cladonia cornuta1 | 94-95 | -.577(b) | 0,564 | 5 | 2 | 1 |
| Cladonia cornuta2 | 94-96 | .000(c) | 1 | 5 | 1 | 1 |
| Cladonia cornuta3 | 94-99 | -.577(b) | 0,564 | 5 | 2 | 1 |
| Cladonia crispata1 | 94-95 | -1.000(b) | 0,317 | 2 | 1 | 0 |
| Cladonia crispata2 | 94-96 | -1.000(b) | 0,317 | 2 | 1 | 0 |
| Cladonia crispata3 | 94-99 | -1.000(b) | 0,317 | 2 | 1 | 0 |
| Cladonia digitata1 | 94-95 | -1.000(b) | 0,317 | 4 | 1 | 0 |
| Cladonia digitata2 | 94-96 | -1.414(b) | 0,157 | 4 | 2 | 0 |
| Cladonia digitata3 | 94-99 | -1.732(b) | 0,083 | 4 | 3 | 0 |
| Cladonia floerkeana1 | 94-95 | .000(c) | 1 | 0 | 0 | 0 |

fortsetter neste side

Vedleggstabell 3d. fortsetter:

| Arter | år | Z | Sign | totalt | tilbake | fram |
|---------------------------|-------|-----------|-------|--------|---------|------|
| Cladonia floerkeana2 | 94-96 | .000(c) | 1 | 0 | 0 | 0 |
| Cladonia floerkeana3 | 94-99 | .000(c) | 1 | 0 | 0 | 0 |
| Cladonia furcata1 | 94-95 | -1.414(b) | 0,157 | 7 | 2 | 0 |
| Cladonia furcata2 | 94-96 | -1.000(b) | 0,317 | 7 | 1 | 0 |
| Cladonia furcata3 | 94-99 | .000(c) | 1 | 8 | 1 | 1 |
| Cladonia gracilis1 | 94-95 | .000(a) | 1 | 1 | 0 | 0 |
| Cladonia gracilis2 | 94-96 | .000(a) | 1 | 1 | 0 | 0 |
| Cladonia gracilis3 | 94-99 | -1.000(b) | 0,317 | 1 | 1 | 0 |
| Cladonia rangiferina1 | 94-95 | -.213(b) | 0,832 | 11 | 3 | 3 |
| Cladonia rangiferina2 | 94-96 | -1.529(c) | 0,126 | 11 | 2 | 5 |
| Cladonia rangiferina3 | 94-99 | -2.803(c) | 0,005 | 11 | 1 | 10 |
| Cladonia spp.1 | 94-95 | .000(a) | 1 | 2 | 0 | 0 |
| Cladonia spp.2 | 94-96 | .000(a) | 1 | 2 | 0 | 0 |
| Cladonia spp.3 | 94-99 | .000(a) | 1 | 2 | 0 | 0 |
| Cladonia squamosa1 | 94-95 | .000(a) | 1 | 1 | 0 | 0 |
| Cladonia squamosa2 | 94-96 | .000(a) | 1 | 1 | 0 | 0 |
| Cladonia squamosa3 | 94-99 | -1.000(c) | 0,317 | 2 | 0 | 1 |
| Cladonia subulata1 | 94-95 | .000(a) | 1 | 0 | 0 | 0 |
| Cladonia subulata2 | 94-96 | .000(a) | 1 | 0 | 0 | 0 |
| Cladonia subulata3 | 94-99 | .000(a) | 1 | 0 | 0 | 0 |
| Cladonia sulphurina agg.1 | 94-95 | -1.414(b) | 0,157 | 4 | 2 | 0 |
| Cladonia sulphurina agg.2 | 94-96 | -1.414(b) | 0,157 | 4 | 2 | 0 |
| Cladonia sulphurina agg.3 | 94-99 | -1.732(b) | 0,083 | 4 | 3 | 0 |
| Cladonia uncialis1 | 94-95 | -1.000(b) | 0,317 | 5 | 1 | 0 |
| Cladonia uncialis2 | 94-96 | -1.000(b) | 0,317 | 5 | 1 | 0 |
| Cladonia uncialis3 | 94-99 | -1.342(c) | 0,18 | 6 | 1 | 4 |
| Convallaria majalis1 | 94-95 | .000(a) | 1 | 3 | 1 | 1 |
| Convallaria majalis2 | 94-96 | -1.414(c) | 0,157 | 3 | 0 | 2 |
| Convallaria majalis3 | 94-99 | -1.342(c) | 0,18 | 3 | 0 | 2 |
| Corylus avellana1 | 94-95 | .000(a) | 1 | 0 | 0 | 0 |
| Corylus avellana2 | 94-96 | .000(a) | 1 | 0 | 0 | 0 |
| Corylus avellana3 | 94-99 | .000(a) | 1 | 0 | 0 | 0 |
| Crepis palludosa1 | 94-95 | .000(a) | 1 | 0 | 0 | 0 |
| Crepis palludosa2 | 94-96 | .000(a) | 1 | 0 | 0 | 0 |
| Crepis palludosa3 | 94-99 | .000(a) | 1 | 0 | 0 | 0 |
| Deschampsia cespitosa1 | 94-95 | -1.342(c) | 0,18 | 7 | 2 | 0 |
| Deschampsia cespitosa2 | 94-96 | -.816(c) | 0,414 | 7 | 2 | 1 |
| Deschampsia cespitosa3 | 94-99 | -2.384(a) | 0,017 | 7 | 0 | 7 |
| Deschampsia flexuosa1 | 94-95 | -2.714(c) | 0,007 | 35 | 12 | 2 |
| Deschampsia flexuosa2 | 94-96 | -2.215(c) | 0,027 | 35 | 10 | 3 |
| Deschampsia flexuosa3 | 94-99 | -4.020(a) | 0 | 35 | 3 | 29 |
| Dicranum drummondii1 | 94-95 | .000(b) | 1 | 0 | 0 | 0 |
| Dicranum drummondii2 | 94-96 | -1.000(a) | 0,317 | 1 | 0 | 1 |
| Dicranum drummondii3 | 94-99 | .000(b) | 1 | 0 | 0 | 0 |
| Dicranum fuscescens1 | 94-95 | -.333(a) | 0,739 | 13 | 3 | 3 |
| Dicranum fuscescens2 | 94-96 | -.108(a) | 0,914 | 13 | 3 | 3 |
| Dicranum fuscescens3 | 94-99 | -1.098(c) | 0,272 | 13 | 5 | 3 |
| Dicranum majus1 | 94-95 | -2.848(c) | 0,004 | 28 | 10 | 1 |
| Dicranum majus2 | 94-96 | -2.977(c) | 0,003 | 29 | 11 | 2 |
| Dicranum majus3 | 94-99 | -2.542(a) | 0,011 | 28 | 5 | 21 |
| Dicranum montanum1 | 94-95 | .000(b) | 1 | 6 | 0 | 0 |
| Dicranum montanum2 | 94-96 | .000(b) | 1 | 6 | 0 | 0 |

fortsetter neste side

Vedleggstabell 3d. fortsetter:

| Arter | år | Z | Sign | totalt | tilbake | fram |
|----------------------------|-------|-----------|-------|--------|---------|------|
| Dicranum montanum3 | 94-99 | -1.732(a) | 0,083 | 7 | 0 | 3 |
| Dicranum polysetum1 | 94-95 | -.276(c) | 0,783 | 15 | 3 | 2 |
| Dicranum polysetum2 | 94-96 | -.551(a) | 0,582 | 15 | 4 | 5 |
| Dicranum polysetum3 | 94-99 | -1.436(a) | 0,151 | 15 | 3 | 6 |
| Dicranum scoparium1 | 94-95 | -.790(c) | 0,43 | 33 | 7 | 4 |
| Dicranum scoparium2 | 94-96 | -1.634(c) | 0,102 | 32 | 10 | 3 |
| Dicranum scoparium3 | 94-99 | -.914(a) | 0,361 | 34 | 9 | 11 |
| Dicranum spurium1 | 94-95 | -1.414(a) | 0,157 | 3 | 0 | 2 |
| Dicranum spurium2 | 94-96 | -1.414(a) | 0,157 | 3 | 0 | 2 |
| Dicranum spurium3 | 94-99 | -1.414(a) | 0,157 | 3 | 0 | 2 |
| Drepanocladus exannulatus1 | 94-95 | .000(b) | 1 | 0 | 0 | 0 |
| Drepanocladus exannulatus2 | 94-96 | .000(b) | 1 | 0 | 0 | 0 |
| Drepanocladus exannulatus3 | 94-99 | .000(b) | 1 | 0 | 0 | 0 |
| Drepanocladus uncinatus1 | 94-95 | .000(b) | 1 | 0 | 0 | 0 |
| Drepanocladus uncinatus2 | 94-96 | .000(b) | 1 | 0 | 0 | 0 |
| Drepanocladus uncinatus3 | 94-99 | .000(b) | 1 | 0 | 0 | 0 |
| Dryopteris expansa agg.1 | 94-95 | -1.414(c) | 0,157 | 4 | 0 | 2 |
| Dryopteris expansa agg.2 | 94-96 | -1.414(c) | 0,157 | 4 | 0 | 2 |
| Dryopteris expansa agg.3 | 94-99 | -1.841(c) | 0,066 | 4 | 0 | 4 |
| Dryopteris filix-mas1 | 94-95 | .000(a) | 1 | 0 | 0 | 0 |
| Dryopteris filix-mas2 | 94-96 | .000(a) | 1 | 0 | 0 | 0 |
| Dryopteris filix-mas3 | 94-99 | .000(a) | 1 | 0 | 0 | 0 |
| Epilobium angustifolium1 | 94-95 | .000(a) | 1 | 0 | 0 | 0 |
| Epilobium angustifolium2 | 94-96 | .000(a) | 1 | 0 | 0 | 0 |
| Epilobium angustifolium3 | 94-99 | .000(a) | 1 | 0 | 0 | 0 |
| Filipendula ulmaria1 | 94-95 | .000(a) | 1 | 0 | 0 | 0 |
| Filipendula ulmaria2 | 94-96 | .000(a) | 1 | 0 | 0 | 0 |
| Filipendula ulmaria3 | 94-99 | .000(a) | 1 | 0 | 0 | 0 |
| Frangula alnus1 | 94-95 | .000(a) | 1 | 0 | 0 | 0 |
| Frangula alnus2 | 94-96 | .000(a) | 1 | 0 | 0 | 0 |
| Frangula alnus3 | 94-99 | .000(a) | 1 | 0 | 0 | 0 |
| Galeopsis sp.1 | 94-95 | .000(a) | 1 | 0 | 0 | 0 |
| Galeopsis sp.2 | 94-96 | .000(a) | 1 | 0 | 0 | 0 |
| Galeopsis sp.3 | 94-99 | .000(a) | 1 | 0 | 0 | 0 |
| Geranium sylvaticum1 | 94-95 | .000(a) | 1 | 0 | 0 | 0 |
| Geranium sylvaticum2 | 94-96 | .000(a) | 1 | 0 | 0 | 0 |
| Geranium sylvaticum3 | 94-99 | .000(a) | 1 | 0 | 0 | 0 |
| Geum sp.1 | 94-95 | .000(a) | 1 | 0 | 0 | 0 |
| Geum sp.2 | 94-96 | .000(a) | 1 | 0 | 0 | 0 |
| Geum sp.3 | 94-99 | .000(a) | 1 | 0 | 0 | 0 |
| Goodyera repens1 | 94-95 | .000(a) | 1 | 1 | 0 | 0 |
| Goodyera repens2 | 94-96 | .000(a) | 1 | 1 | 0 | 0 |
| Goodyera repens3 | 94-99 | .000(a) | 1 | 1 | 0 | 0 |
| Gymnocarpium dryopteris1 | 94-95 | -1.000(b) | 0,317 | 5 | 0 | 1 |
| Gymnocarpium dryopteris2 | 94-96 | -1.000(b) | 0,317 | 5 | 0 | 1 |
| Gymnocarpium dryopteris3 | 94-99 | -1.633(b) | 0,102 | 5 | 0 | 3 |
| Hylocomium splendens1 | 94-95 | -2.990(c) | 0,003 | 28 | 12 | 1 |
| Hylocomium splendens2 | 94-96 | -2.290(c) | 0,022 | 29 | 12 | 3 |
| Hylocomium splendens3 | 94-99 | -2.602(a) | 0,009 | 33 | 5 | 21 |
| Hylocomium umbratum1 | 94-95 | .000(b) | 1 | 5 | 1 | 1 |
| Hylocomium umbratum2 | 94-96 | -1.000(c) | 0,317 | 5 | 1 | 0 |
| Hylocomium umbratum3 | 94-99 | .000(b) | 1 | 5 | 1 | 1 |

fortsetter neste side

Vedleggstabell 3d. fortsetter:

| Arter | år | Z | Sign | totalt | tilbake | fram |
|---------------------------|-------|-----------|-------|--------|---------|------|
| Hypnum cupressiforme1 | 94-95 | .000(b) | 1 | 0 | 0 | 0 |
| Hypnum cupressiforme2 | 94-96 | .000(b) | 1 | 0 | 0 | 0 |
| Hypnum cupressiforme3 | 94-99 | .000(b) | 1 | 0 | 0 | 0 |
| Isothecium myosuroides1 | 94-95 | .000(b) | 1 | 0 | 0 | 0 |
| Isothecium myosuroides2 | 94-96 | .000(b) | 1 | 0 | 0 | 0 |
| Isothecium myosuroides3 | 94-99 | .000(b) | 1 | 0 | 0 | 0 |
| Juniperus communis1 | 94-95 | -1.000(c) | 0,317 | 1 | 1 | 0 |
| Juniperus communis2 | 94-96 | -1.000(b) | 0,317 | 1 | 0 | 1 |
| Juniperus communis3 | 94-99 | -1.000(b) | 0,317 | 1 | 0 | 1 |
| Lathyrus montanus1 | 94-95 | .000(a) | 1 | 1 | 0 | 0 |
| Lathyrus montanus2 | 94-96 | .000(a) | 1 | 1 | 0 | 0 |
| Lathyrus montanus3 | 94-99 | -1.000(b) | 0,317 | 1 | 0 | 1 |
| Lepidozia reptans1 | 94-95 | .000(a) | 1 | 1 | 0 | 0 |
| Lepidozia reptans2 | 94-96 | .000(a) | 1 | 1 | 0 | 0 |
| Lepidozia reptans3 | 94-99 | .000(a) | 1 | 1 | 0 | 0 |
| Leucobryum glaucum1 | 94-95 | .000(b) | 1 | 0 | 0 | 0 |
| Leucobryum glaucum2 | 94-96 | .000(b) | 1 | 0 | 0 | 0 |
| Leucobryum glaucum3 | 94-99 | -1.414(a) | 0,157 | 2 | 0 | 2 |
| Linnea borealis1 | 94-95 | -1.000(c) | 0,317 | 6 | 1 | 0 |
| Linnea borealis2 | 94-96 | .000(a) | 1 | 6 | 0 | 0 |
| Linnea borealis3 | 94-99 | .000(a) | 1 | 6 | 2 | 1 |
| Listera cordata1 | 94-95 | .000(a) | 1 | 0 | 0 | 0 |
| Listera cordata2 | 94-96 | .000(a) | 1 | 0 | 0 | 0 |
| Listera cordata3 | 94-99 | .000(a) | 1 | 0 | 0 | 0 |
| Lophocolea bidentata1 | 94-95 | .000(a) | 1 | 0 | 0 | 0 |
| Lophocolea bidentata2 | 94-96 | -1.000(c) | 0,317 | 1 | 0 | 1 |
| Lophocolea bidentata3 | 94-99 | .000(a) | 1 | 0 | 0 | 0 |
| Lophocolea heterophylla1 | 94-95 | -1.414(c) | 0,157 | 3 | 0 | 2 |
| Lophocolea heterophylla2 | 94-96 | -1.414(c) | 0,157 | 3 | 0 | 2 |
| Lophocolea heterophylla3 | 94-99 | -1.732(c) | 0,083 | 4 | 0 | 3 |
| Lophozia obtusa1 | 94-95 | .000(a) | 1 | 0 | 0 | 0 |
| Lophozia obtusa2 | 94-96 | .000(a) | 1 | 0 | 0 | 0 |
| Lophozia obtusa3 | 94-99 | .000(a) | 1 | 0 | 0 | 0 |
| Lophozia ventricosa agg.1 | 94-95 | .000(a) | 1 | 0 | 0 | 0 |
| Lophozia ventricosa agg.2 | 94-96 | .000(a) | 1 | 0 | 0 | 0 |
| Lophozia ventricosa agg.3 | 94-99 | -1.000(c) | 0,317 | 1 | 0 | 1 |
| Luzula pilosa1 | 94-95 | .000(b) | 1 | 0 | 0 | 0 |
| Luzula pilosa2 | 94-96 | .000(b) | 1 | 0 | 0 | 0 |
| Luzula pilosa3 | 94-99 | .000(b) | 1 | 0 | 0 | 0 |
| Lycopodium annotinum1 | 94-95 | .000(a) | 1 | 0 | 0 | 0 |
| Lycopodium annotinum2 | 94-96 | .000(a) | 1 | 0 | 0 | 0 |
| Lycopodium annotinum3 | 94-99 | .000(a) | 1 | 0 | 0 | 0 |
| Lycopodium clavatum1 | 94-95 | .000(a) | 1 | 1 | 0 | 0 |
| Lycopodium clavatum2 | 94-96 | .000(a) | 1 | 1 | 0 | 0 |
| Lycopodium clavatum3 | 94-99 | -1.000(c) | 0,317 | 1 | 1 | 0 |
| Lysimachia vulgaris1 | 94-95 | .000(a) | 1 | 0 | 0 | 0 |
| Lysimachia vulgaris2 | 94-96 | .000(a) | 1 | 0 | 0 | 0 |
| Lysimachia vulgaris3 | 94-99 | .000(a) | 1 | 0 | 0 | 0 |
| Maianthemum bifolium1 | 94-95 | -.516(b) | 0,606 | 27 | 3 | 4 |
| Maianthemum bifolium2 | 94-96 | -1.128(b) | 0,259 | 27 | 7 | 8 |
| Maianthemum bifolium3 | 94-99 | -.664(b) | 0,506 | 27 | 6 | 12 |
| Marsupella emarginata1 | 94-95 | .000(a) | 1 | 0 | 0 | 0 |

fortsetter neste side

Vedleggstabell 3d. fortsetter:

| Arter | år | Z | Sign | totalt | tilbake | fram |
|--------------------------|-------|-----------|-------|--------|---------|------|
| Marsupella emarginata2 | 94-96 | .000(a) | 1 | 0 | 0 | 0 |
| Marsupella emarginata3 | 94-99 | .000(a) | 1 | 0 | 0 | 0 |
| Melampyrum pratense1 | 94-95 | -.420(b) | 0,675 | 20 | 4 | 8 |
| Melampyrum pratense2 | 94-96 | -1.889(b) | 0,059 | 19 | 2 | 10 |
| Melampyrum pratense3 | 94-99 | -3.425(b) | 0,001 | 19 | 0 | 15 |
| Melica nutans1 | 94-95 | .000(b) | 1 | 0 | 0 | 0 |
| Melica nutans2 | 94-96 | .000(b) | 1 | 0 | 0 | 0 |
| Melica nutans3 | 94-99 | .000(b) | 1 | 0 | 0 | 0 |
| Mezgeria furcata1 | 94-95 | .000(a) | 1 | 0 | 0 | 0 |
| Mezgeria furcata2 | 94-96 | .000(a) | 1 | 0 | 0 | 0 |
| Mezgeria furcata3 | 94-99 | .000(a) | 1 | 0 | 0 | 0 |
| Milium effusum1 | 94-95 | .000(a) | 1 | 0 | 0 | 0 |
| Milium effusum2 | 94-96 | .000(a) | 1 | 0 | 0 | 0 |
| Milium effusum3 | 94-99 | .000(a) | 1 | 0 | 0 | 0 |
| Mnium hornum1 | 94-95 | .000(a) | 1 | 0 | 0 | 0 |
| Mnium hornum2 | 94-96 | .000(a) | 1 | 0 | 0 | 0 |
| Mnium hornum3 | 94-99 | .000(a) | 1 | 0 | 0 | 0 |
| Mnium sp.1 | 94-95 | .000(a) | 1 | 0 | 0 | 0 |
| Mnium sp.2 | 94-96 | .000(a) | 1 | 0 | 0 | 0 |
| Mnium sp.3 | 94-99 | -1.000(b) | 0,317 | 1 | 0 | 1 |
| Molinia caerulea1 | 94-95 | -1.000(c) | 0,317 | 8 | 3 | 1 |
| Molinia caerulea2 | 94-96 | -.412(b) | 0,68 | 8 | 3 | 2 |
| Molinia caerulea3 | 94-99 | -2.388(b) | 0,017 | 9 | 0 | 7 |
| Narthecium ossifragum1 | 94-95 | .000(a) | 1 | 0 | 0 | 0 |
| Narthecium ossifragum2 | 94-96 | .000(a) | 1 | 0 | 0 | 0 |
| Narthecium ossifragum3 | 94-99 | .000(a) | 1 | 0 | 0 | 0 |
| Orthilia secunda1 | 94-95 | .000(a) | 1 | 3 | 0 | 0 |
| Orthilia secunda2 | 94-96 | .000(a) | 1 | 3 | 0 | 0 |
| Orthilia secunda3 | 94-99 | -.816(b) | 0,414 | 3 | 1 | 2 |
| Oxalis acetosella1 | 94-95 | -1.000(c) | 0,317 | 1 | 1 | 0 |
| Oxalis acetosella2 | 94-96 | -1.000(c) | 0,317 | 1 | 1 | 0 |
| Oxalis acetosella3 | 94-99 | .000(a) | 1 | 1 | 0 | 0 |
| Paris quadrifolia1 | 94-95 | .000(a) | 1 | 0 | 0 | 0 |
| Paris quadrifolia2 | 94-96 | .000(a) | 1 | 0 | 0 | 0 |
| Paris quadrifolia3 | 94-99 | .000(a) | 1 | 0 | 0 | 0 |
| Pellia epiphylla1 | 94-95 | .000(a) | 1 | 0 | 0 | 0 |
| Pellia epiphylla2 | 94-96 | .000(a) | 1 | 0 | 0 | 0 |
| Pellia epiphylla3 | 94-99 | .000(a) | 1 | 0 | 0 | 0 |
| Picea abies1 | 94-95 | -1.897(c) | 0,058 | 15 | 6 | 1 |
| Picea abies2 | 94-96 | -1.265(c) | 0,206 | 14 | 6 | 1 |
| Picea abies3 | 94-99 | -1.435(b) | 0,151 | 19 | 6 | 10 |
| Pinus sylvestris1 | 94-95 | -1.342(c) | 0,18 | 7 | 4 | 1 |
| Pinus sylvestris2 | 94-96 | -1.667(b) | 0,096 | 14 | 2 | 7 |
| Pinus sylvestris3 | 94-99 | -2.524(b) | 0,012 | 18 | 3 | 13 |
| Plagiochila asplenoides1 | 94-95 | -1.414(b) | 0,157 | 7 | 2 | 0 |
| Plagiochila asplenoides2 | 94-96 | -1.414(b) | 0,157 | 7 | 2 | 0 |
| Plagiochila asplenoides3 | 94-99 | -1.732(b) | 0,083 | 7 | 3 | 0 |
| Plagiomnium affine1 | 94-95 | .000(a) | 1 | 1 | 0 | 0 |
| Plagiomnium affine2 | 94-96 | .000(a) | 1 | 1 | 0 | 0 |
| Plagiomnium affine3 | 94-99 | -1.000(b) | 0,317 | 2 | 0 | 1 |
| Plagiothecium laetum1 | 94-95 | -1.000(b) | 0,317 | 5 | 0 | 1 |
| Plagiothecium laetum2 | 94-96 | -.577(b) | 0,564 | 6 | 1 | 2 |

fortsetter neste side

Vedleggstabell 3d. fortsetter:

| Arter | år | Z | Sign | totalt | tilbake | fram |
|------------------------------------|-------|-----------|-------|--------|---------|------|
| <i>Plagiothecium laetum</i> 3 | 94-99 | -.447(b) | 0,655 | 7 | 2 | 3 |
| <i>Plagiothecium spp.</i> 1 | 94-95 | .000(a) | 1 | 0 | 0 | 0 |
| <i>Plagiothecium spp.</i> 2 | 94-96 | .000(a) | 1 | 0 | 0 | 0 |
| <i>Plagiothecium spp.</i> 3 | 94-99 | -1.000(b) | 0,317 | 1 | 0 | 1 |
| <i>Plagiothecium succulentum</i> 1 | 94-95 | .000(a) | 1 | 0 | 0 | 0 |
| <i>Plagiothecium succulentum</i> 2 | 94-96 | .000(a) | 1 | 0 | 0 | 0 |
| <i>Plagiothecium succulentum</i> 3 | 94-99 | .000(a) | 1 | 0 | 0 | 0 |
| <i>Plagiothecium undulatum</i> 1 | 94-95 | -1.511(c) | 0,131 | 15 | 4 | 1 |
| <i>Plagiothecium undulatum</i> 2 | 94-96 | -.962(c) | 0,336 | 14 | 4 | 1 |
| <i>Plagiothecium undulatum</i> 3 | 94-99 | -1.684(b) | 0,092 | 14 | 1 | 8 |
| <i>Pleurozium schreberi</i> 1 | 94-95 | -.947(b) | 0,344 | 40 | 9 | 10 |
| <i>Pleurozium schreberi</i> 2 | 94-96 | -.081(b) | 0,935 | 40 | 11 | 8 |
| <i>Pleurozium schreberi</i> 3 | 94-99 | -2.611(b) | 0,009 | 41 | 7 | 21 |
| <i>Poa pratensis</i> 1 | 94-95 | .000(a) | 1 | 0 | 0 | 0 |
| <i>Poa pratensis</i> 2 | 94-96 | .000(a) | 1 | 0 | 0 | 0 |
| <i>Poa pratensis</i> 3 | 94-99 | .000(a) | 1 | 0 | 0 | 0 |
| <i>Pohlia nutans</i> agg.1 | 94-95 | -1.732(c) | 0,083 | 8 | 3 | 0 |
| <i>Pohlia nutans</i> agg.2 | 94-96 | -1.732(c) | 0,083 | 8 | 3 | 0 |
| <i>Pohlia nutans</i> agg.3 | 94-99 | -.333(c) | 0,739 | 10 | 5 | 4 |
| <i>Polytrichum commune</i> 1 | 94-95 | -1.342(c) | 0,18 | 6 | 2 | 0 |
| <i>Polytrichum commune</i> 2 | 94-96 | -1.069(c) | 0,285 | 6 | 2 | 1 |
| <i>Polytrichum commune</i> 3 | 94-99 | -.730(b) | 0,465 | 6 | 2 | 2 |
| <i>Polytricum formosum</i> 1 | 94-95 | -2.842(c) | 0,004 | 17 | 10 | 0 |
| <i>Polytricum formosum</i> 2 | 94-96 | -2.814(c) | 0,005 | 17 | 10 | 0 |
| <i>Polytricum formosum</i> 3 | 94-99 | -2.135(b) | 0,033 | 19 | 3 | 12 |
| <i>Polytricum juniperinum</i> 1 | 94-95 | -1.000(b) | 0,317 | 2 | 0 | 1 |
| <i>Polytricum juniperinum</i> 2 | 94-96 | -1.414(b) | 0,157 | 3 | 0 | 2 |
| <i>Polytricum juniperinum</i> 3 | 94-99 | -1.000(c) | 0,317 | 1 | 1 | 0 |
| <i>Populus tremula</i> 1 | 94-95 | -1.027(b) | 0,305 | 10 | 2 | 6 |
| <i>Populus tremula</i> 2 | 94-96 | -1.265(b) | 0,206 | 11 | 2 | 5 |
| <i>Populus tremula</i> 3 | 94-99 | -1.603(b) | 0,109 | 11 | 3 | 7 |
| <i>Potentilla erecta</i> 1 | 94-95 | -.447(c) | 0,655 | 9 | 1 | 1 |
| <i>Potentilla erecta</i> 2 | 94-96 | -.577(b) | 0,564 | 9 | 1 | 2 |
| <i>Potentilla erecta</i> 3 | 94-99 | -2.094(b) | 0,036 | 9 | 2 | 7 |
| <i>Pteridium aquilinum</i> 1 | 94-95 | -.772(b) | 0,44 | 10 | 3 | 5 |
| <i>Pteridium aquilinum</i> 2 | 94-96 | -1.364(b) | 0,173 | 10 | 3 | 6 |
| <i>Pteridium aquilinum</i> 3 | 94-99 | -1.275(b) | 0,202 | 10 | 3 | 7 |
| <i>Ptilidium ciliare</i> 1 | 94-95 | .000(a) | 1 | 6 | 1 | 1 |
| <i>Ptilidium ciliare</i> 2 | 94-96 | -.577(c) | 0,564 | 7 | 1 | 2 |
| <i>Ptilidium ciliare</i> 3 | 94-99 | -1.000(b) | 0,317 | 5 | 1 | 0 |
| <i>Ptilidium pulcherrimum</i> 1 | 94-95 | .000(a) | 1 | 1 | 0 | 0 |
| <i>Ptilidium pulcherrimum</i> 2 | 94-96 | .000(a) | 1 | 1 | 0 | 0 |
| <i>Ptilidium pulcherrimum</i> 3 | 94-99 | -1.342(c) | 0,18 | 5 | 1 | 4 |
| <i>Ptilium crista-castrensis</i> 1 | 94-95 | -1.633(c) | 0,102 | 21 | 4 | 1 |
| <i>Ptilium crista-castrensis</i> 2 | 94-96 | -1.294(c) | 0,196 | 22 | 5 | 3 |
| <i>Ptilium crista-castrensis</i> 3 | 94-99 | -1.507(b) | 0,132 | 21 | 4 | 10 |
| <i>Pyrola minor</i> 1 | 94-95 | -1.000(c) | 0,317 | 1 | 1 | 0 |
| <i>Pyrola minor</i> 2 | 94-96 | -1.000(c) | 0,317 | 1 | 1 | 0 |
| <i>Pyrola minor</i> 3 | 94-99 | -1.000(c) | 0,317 | 1 | 1 | 0 |
| <i>Pyrola rotundifolia</i> 1 | 94-95 | .000(a) | 1 | 0 | 0 | 0 |
| <i>Pyrola rotundifolia</i> 2 | 94-96 | .000(a) | 1 | 0 | 0 | 0 |
| <i>Pyrola rotundifolia</i> 3 | 94-99 | -1.000(b) | 0,317 | 1 | 0 | 1 |

fortsetter neste side

Vedleggstabell 3d. fortsetter:

| Arter | år | Z | Sign | totalt | tilbake | fram |
|---------------------------------|-------|-----------|-------|--------|---------|------|
| Querqus sp.1 | 94-95 | -1.000(c) | 0,317 | 4 | 1 | 0 |
| Querqus sp.2 | 94-96 | .000(a) | 1 | 4 | 2 | 1 |
| Querqus sp.3 | 94-99 | -.535(b) | 0,593 | 4 | 1 | 2 |
| Racomitrium lanuginosum1 | 94-95 | .000(a) | 1 | 1 | 0 | 0 |
| Racomitrium lanuginosum2 | 94-96 | .000(a) | 1 | 1 | 0 | 0 |
| Racomitrium lanuginosum3 | 94-99 | -1.000(c) | 0,317 | 1 | 1 | 0 |
| Rhizomnium punctatum1 | 94-95 | .000(a) | 1 | 0 | 0 | 0 |
| Rhizomnium punctatum2 | 94-96 | .000(a) | 1 | 0 | 0 | 0 |
| Rhizomnium punctatum3 | 94-99 | .000(a) | 1 | 0 | 0 | 0 |
| Rhodobryum roseum1 | 94-95 | .000(a) | 1 | 0 | 0 | 0 |
| Rhodobryum roseum2 | 94-96 | .000(a) | 1 | 0 | 0 | 0 |
| Rhodobryum roseum3 | 94-99 | .000(a) | 1 | 0 | 0 | 0 |
| Rhytidadelphus loreus1 | 94-95 | -.816(b) | 0,414 | 6 | 1 | 2 |
| Rhytidadelphus loreus2 | 94-96 | -.816(b) | 0,414 | 6 | 1 | 2 |
| Rhytidadelphus loreus3 | 94-99 | -1.633(b) | 0,102 | 6 | 1 | 4 |
| Rhytidadelphus squarrosus agg.1 | 94-95 | -1.000(c) | 0,317 | 6 | 1 | 0 |
| Rhytidadelphus squarrosus agg.2 | 94-96 | -.577(b) | 0,564 | 8 | 1 | 2 |
| Rhytidadelphus squarrosus agg.3 | 94-99 | -1.414(b) | 0,157 | 8 | 1 | 4 |
| Rhytidadelphus triquetrus1 | 94-95 | .000(a) | 1 | 3 | 0 | 0 |
| Rhytidadelphus triquetrus2 | 94-96 | .000(a) | 1 | 3 | 0 | 0 |
| Rhytidadelphus triquetrus3 | 94-99 | .000(a) | 1 | 3 | 1 | 1 |
| Rubus idaeus1 | 94-95 | -1.000(c) | 0,317 | 5 | 1 | 0 |
| Rubus idaeus2 | 94-96 | -1.414(c) | 0,157 | 5 | 2 | 0 |
| Rubus idaeus3 | 94-99 | -1.890(c) | 0,059 | 5 | 4 | 0 |
| Rubus saxatilis1 | 94-95 | -.862(c) | 0,389 | 11 | 5 | 2 |
| Rubus saxatilis2 | 94-96 | -.213(c) | 0,832 | 11 | 3 | 3 |
| Rubus saxatilis3 | 94-99 | -1.395(b) | 0,163 | 11 | 2 | 8 |
| Scapania cf. umbliquina1 | 94-95 | .000(a) | 1 | 0 | 0 | 0 |
| Scapania cf. umbliquina2 | 94-96 | .000(a) | 1 | 0 | 0 | 0 |
| Scapania cf. umbliquina3 | 94-99 | .000(a) | 1 | 0 | 0 | 0 |
| Scapania sp.1 | 94-95 | .000(a) | 1 | 0 | 0 | 0 |
| Scapania sp.2 | 94-96 | .000(a) | 1 | 0 | 0 | 0 |
| Scapania sp.3 | 94-99 | .000(a) | 1 | 0 | 0 | 0 |
| Solidago virgaurea1 | 94-95 | .000(a) | 1 | 5 | 0 | 0 |
| Solidago virgaurea2 | 94-96 | .000(a) | 1 | 5 | 1 | 1 |
| Solidago virgaurea3 | 94-99 | -1.414(b) | 0,157 | 5 | 1 | 4 |
| Sorbus aucuparia1 | 94-95 | -2.088(a) | 0,037 | 26 | 10 | 2 |
| Sorbus aucuparia2 | 94-96 | -2.809(a) | 0,005 | 26 | 11 | 1 |
| Sorbus aucuparia3 | 94-99 | -4.117(b) | 0 | 27 | 1 | 22 |
| Sphagnum angustifolium1 | 94-95 | .000(a) | 1 | 0 | 0 | 0 |
| Sphagnum angustifolium2 | 94-96 | .000(a) | 1 | 0 | 0 | 0 |
| Sphagnum angustifolium3 | 94-99 | .000(a) | 1 | 0 | 0 | 0 |
| Sphagnum capillifolium1 | 94-95 | .000(a) | 1 | 7 | 0 | 0 |
| Sphagnum capillifolium2 | 94-96 | .000(a) | 1 | 7 | 0 | 0 |
| Sphagnum capillifolium3 | 94-99 | -1.000(c) | 0,317 | 7 | 5 | 1 |
| Sphagnum centrale1 | 94-95 | .000(a) | 1 | 0 | 0 | 0 |
| Sphagnum centrale2 | 94-96 | .000(a) | 1 | 0 | 0 | 0 |
| Sphagnum centrale3 | 94-99 | .000(a) | 1 | 0 | 0 | 0 |
| Sphagnum fimbriatum1 | 94-95 | .000(a) | 1 | 0 | 0 | 0 |
| Sphagnum fimbriatum2 | 94-96 | .000(a) | 1 | 0 | 0 | 0 |
| Sphagnum fimbriatum3 | 94-99 | .000(a) | 1 | 0 | 0 | 0 |
| Sphagnum girgensohnii1 | 94-95 | -1.000(a) | 0,317 | 6 | 1 | 0 |

fortsetter neste side

Vedleggstabell 3d. fortsetter:

| Arter | år | Z | Sign | totalt | tilbake | fram |
|--------------------------|-------|-----------|-------|--------|---------|------|
| Sphagnum girgensohnii2 | 94-96 | .000(b) | 1 | 6 | 0 | 0 |
| Sphagnum girgensohnii3 | 94-99 | -2.207(c) | 0,027 | 6 | 0 | 6 |
| Sphagnum palustre1 | 94-95 | .000(b) | 1 | 0 | 0 | 0 |
| Sphagnum palustre2 | 94-96 | .000(b) | 1 | 0 | 0 | 0 |
| Sphagnum palustre3 | 94-99 | .000(b) | 1 | 0 | 0 | 0 |
| Sphagnum quinquefarium1 | 94-95 | -.184(a) | 0,854 | 15 | 2 | 2 |
| Sphagnum quinquefarium2 | 94-96 | -.365(a) | 0,715 | 15 | 2 | 2 |
| Sphagnum quinquefarium3 | 94-99 | -1.201(c) | 0,23 | 15 | 6 | 7 |
| Sphagnum russowii1 | 94-95 | .000(b) | 1 | 3 | 0 | 0 |
| Sphagnum russowii2 | 94-96 | .000(b) | 1 | 3 | 0 | 0 |
| Sphagnum russowii3 | 94-99 | -.577(c) | 0,564 | 5 | 1 | 2 |
| Sphagnum squarrosum1 | 94-95 | -.378(c) | 0,705 | 7 | 2 | 2 |
| Sphagnum squarrosum2 | 94-96 | -.378(c) | 0,705 | 7 | 2 | 2 |
| Sphagnum squarrosum3 | 94-99 | -.816(c) | 0,414 | 7 | 1 | 2 |
| Sphagnum wulfianum1 | 94-95 | -1.000(a) | 0,317 | 1 | 1 | 0 |
| Sphagnum wulfianum2 | 94-96 | -1.000(a) | 0,317 | 1 | 1 | 0 |
| Sphagnum wulfianum3 | 94-99 | -1.000(a) | 0,317 | 1 | 1 | 0 |
| Tetrapis pellucida1 | 94-95 | .000(b) | 1 | 2 | 0 | 0 |
| Tetrapis pellucida2 | 94-96 | .000(b) | 1 | 2 | 0 | 0 |
| Tetrapis pellucida3 | 94-99 | -1.000(a) | 0,317 | 2 | 1 | 0 |
| Thelypteris phegopteris1 | 94-95 | -1.490(b) | 0,136 | 8 | 1 | 4 |
| Thelypteris phegopteris2 | 94-96 | -.912(b) | 0,362 | 8 | 2 | 6 |
| Thelypteris phegopteris3 | 94-99 | -2.524(b) | 0,012 | 8 | 0 | 8 |
| Thuidium thamariscinum1 | 94-95 | .000(b) | 1 | 0 | 0 | 0 |
| Thuidium thamariscinum2 | 94-96 | .000(b) | 1 | 0 | 0 | 0 |
| Thuidium thamariscinum3 | 94-99 | .000(b) | 1 | 0 | 0 | 0 |
| Trientalis europaea1 | 94-95 | -1.000(a) | 0,317 | 12 | 1 | 0 |
| Trientalis europaea2 | 94-96 | .000(c) | 1 | 12 | 1 | 1 |
| Trientalis europaea3 | 94-99 | -1.134(b) | 0,257 | 13 | 2 | 5 |
| Vaccinium myrtillus1 | 94-95 | -3.019(a) | 0,003 | 37 | 22 | 6 |
| Vaccinium myrtillus2 | 94-96 | -.041(b) | 0,968 | 37 | 12 | 13 |
| Vaccinium myrtillus3 | 94-99 | -5.171(b) | 0 | 38 | 1 | 37 |
| Vaccinium vitis-idaea1 | 94-95 | -1.196(b) | 0,232 | 38 | 8 | 8 |
| Vaccinium vitis-idaea2 | 94-96 | -1.483(b) | 0,138 | 38 | 7 | 12 |
| Vaccinium vitis-idaea3 | 94-99 | -4.230(b) | 0 | 38 | 3 | 30 |
| Veronica officinalis1 | 94-95 | .000(c) | 1 | 1 | 0 | 0 |
| Veronica officinalis2 | 94-96 | .000(c) | 1 | 1 | 0 | 0 |
| Veronica officinalis3 | 94-99 | -1.000(b) | 0,317 | 1 | 0 | 1 |
| Viola palustre1 | 94-95 | -1.300(a) | 0,194 | 8 | 3 | 1 |
| Viola palustre2 | 94-96 | -1.289(a) | 0,197 | 8 | 3 | 1 |
| Viola palustre3 | 94-99 | -1.270(b) | 0,204 | 8 | 2 | 5 |
| Viola riviniana1 | 94-95 | -1.414(b) | 0,157 | 5 | 0 | 2 |
| Viola riviniana2 | 94-96 | -1.414(b) | 0,157 | 5 | 0 | 2 |
| Viola riviniana3 | 94-99 | -1.342(b) | 0,18 | 4 | 0 | 2 |

NINA Fagrapport 75

ISSN 0805-469X
ISBN 82-426-1442-3

NINA Norsk institutt for naturforskning
NINA Hovedkontor • Tungasletta 2 • 7485 Trondheim
Telefon: 73 80 14 00 • Telefaks: 73 80 14 01
<http://www.nina.no>